



Marko Giacomelli, Gregor Omahen

**Poročilo o izpostavljenosti prebivalcev Slovenije  
umetni radioaktivnosti v letu 2022**

Marko Giacomelli, Gregor Omahen

# Poročilo o izpostavljenosti prebivalcev Slovenije umetni radioaktivnosti v letu 2022



ZVD Zavod za varstvo pri delu d.o.o.

Center za fizikalne meritve, Laboratorij za meritve specifičnih aktivnosti radionuklidov

© 2023 ZVD d.o.o.

V poročilu o obsevanosti prebivalcev Slovenije analiziramo meritve v okviru rednega monitoringa radioaktivnosti v Sloveniji, ki ga financirata Ministrstvo za naravne vire in prostor ter Ministrstvo za zdravje. Namen meritev je izračun doze umetnih radionuklidov v okolju, ki jo zaradi življenja v Sloveniji prejme povprečen prebivalec Slovenije. Poročilo o obsevanosti prebivalcev Slovenije nima namena prikazati sevalnih obremenitev, katerim je izpostavljen prebivalstvo zaradi naravnih virov ali tehnološko modificiranih naravnih virov sevanja (radon v bivalnem okolju, rudnik urana Žirovski vrh), delovanja jedrske elektrarne Krško ali vpliva medicinskih virov.

V poročilu so zajeti predvsem podatki o stanju obstoječe radioaktivne kontaminacije življenjskega okolja kot posledice izvajanja preteklih jedrskeh eksplozij, černobilske in fukušimske jedrske nesreče ter morebitnih drugih sevalnih nesreč z večjimi izpusti v okolje.

---

Poročilo vsebuje skupaj 172 strani ter ga je dovoljeno reproducirati samo v celoti.

Izdal: ZVD ZAVOD ZA VARSTVO PRI DELU D.O.O., LJUBLJANA, marec 2023

Slika na naslovnici: Greben do vrha Porezna, Petrovo Brdo, © Marko Giacomelli

Slika na zadnji strani: Gozd na pobočjih Porezna, Petrovo Brdo © Marko Giacomelli

[marko.giacomelli@zvd.si](mailto:marko.giacomelli@zvd.si)

---

ZVD zavod za varstvo pri delu d.o.o.

Pot k izviru 6, 1260 Ljubljana-Polje, Slovenija

T: +386 (0)1 585 51 00; F: +386 (0)1 585 51 01; E: [info@zvd.si](mailto:info@zvd.si); W: [www.zvd.si](http://www.zvd.si)

ID št. za DDV: SI21282692; Matična št.: 5055580

Vpis družbe: Okrožno sodišče v Ljubljani, vložna št.: 10024700



# Zavod za varstvo pri delu d.o.o.

<b>Naslov poročila:</b>	Poročilo o izpostavljenosti prebivalcev Slovenije umetni radioaktivnosti v letu 2022
<b>Izdelovalec:</b>	ZVD Zavod za varstvo pri delu d.o.o., Center za fizikalne meritve, Laboratorij za meritve specifičnih aktivnosti radionuklidov, Pot k izviru 6, 1260 Ljubljana-Polje
<b>Številka poročila:</b>	LMSAR-20230004-MG
<b>Datum poročila:</b>	31.03.2023
<b>Naročnik:</b>	Ministrstvo za zdravje, Uprava RS za varstvo pred sevanji, Ajdovščina 4, 1000 Ljubljana
<b>Številka pogodbe:</b>	C2717-23-232001
<b>Skrbnika pogodbe:</b>	dr. Nina Jug (URSVS), dr. Gregor Omahen (ZVD)
<b>Program:</b>	Radioaktivnost v življenjskem okolju Slovenije v letu 2022 Radioactivity in the living environment of Slovenia in the year 2022
<b>Izvajalca programa:</b>	ZVD Zavod za varstvo pri delu d.o.o. in Institut "Jožef Stefan"
<b>Koordinatorja:</b>	dr. Gregor Omahen (ZVD) dr. Benjamin Zorko (IJS)
<b>Poslano:</b>	naročnik (6 tiskanih izvodov, digitalna verzija) in arhiv ZVD (2 izvoda)

---

**Poročilo pripravil:** dr. MARKO GIACOMELLI, univ.dipl.fiz.

---

**Pregledal in odobril:** dr. GREGOR OMAHEN, univ.dipl.fiz.





## Povzetek / Abstract

V pričajočem poročilu so zbrani, analizirani in komentirani rezultati meritev radioaktivnosti antropogenih umetnih in naravnih radionuklidov v vzorcih biosfere, kakor tudi v posameznih členih prehrambne verige. Umetna radioaktivnost okolja je posledica človekove dejavnosti, t.j. globalnega onesnaženja zaradi poskusnih jedrskeh eksplozij v ozračju in jedrskeh nesreč v Černobilu in Fukušimi (prispevek slednje je v Sloveniji zanemarljiv). Na podlagi rezultatov meritev radioaktivnosti v okviru različnih monitoringov, ki se izvajajo v Sloveniji pod okriljem Ministrstva za zdravje in Ministrstvo za naravne vire in prostor, smo izdelali oceno doz prebivalstva zaradi izpostavljenosti dolgoživim umetnim radionuklidom (naravni so izvzeti). Ocenili smo doze sevanja po različnih ekspozicijskih prenosnih poteh. Ocenjena doza zaradi izpostavljenosti umetnim radionuklidom po vseh prenosnih poteh, znaša v letu 2022 za dojenčke  $4,5 \mu\text{Sv}$  oziroma  $< 5,8 \mu\text{Sv}$ , za otroke od 7 do 12 let  $3,1 \mu\text{Sv}$  oziroma  $< 3,4 \mu\text{Sv}$  in za odrasle  $2,1 \mu\text{Sv}$  oziroma  $< 2,4 \mu\text{Sv}$ . Ta vrednost predstavlja približno 1 % mejne letne doze za dolgoročno izpostavljenost posameznika iz prebivalstva ionizirajočemu sevanju.

In the present report the collected results of radioactivity measurements for manmade and natural radionuclides in the biosphere and in the particular elements of the food chain are analyzed and commented. Induced radioactivity of the environment is a consequence of human activities, *i.e.*, the general radioactive contamination due to the nuclear test explosions and Chernobyl and Fukushima accidents (the contribution of the latter is in Slovenia negligible). Based on the results of radioactivity measurement performed within the frameworks of various monitoring performed under the auspices of Ministry of Health and Ministry of Natural Resources and Spatial Planning we have assessed the doses to members of the public due to exposure to long-lived anthropogenic radionuclides (natural excluded). We have estimated doses for important exposure pathways. Dose estimates for infants, children for 7 up to 12 years and adults for manmade radionuclides in the year 2022 are  $4,5 \mu\text{Sv}$  or  $< 5,8 \mu\text{Sv}$ ,  $3,1 \mu\text{Sv}$  or  $< 3,4 \mu\text{Sv}$  and  $2,1 \mu\text{Sv}$  or  $< 2,4 \mu\text{Sv}$ , respectively. These values represent approximately 1 % of the annual dose limit for the long term exposure of the individuals from the population, exposed to the man made sources of ionizing radiation.

## **Ključne besede / Keywords**

radioaktivno onesnaženje okolja, umetni in naravni radionuklidi, koncentracija aktivnosti radionuklidov, reke, vodovodi, suhi in mokri used, zrak, aerosoli, zemlja, hrana, ingestija, doze zunanjega sevanja, ocena efektivnih doz

radioactive contamination of the environment, artificial and natural radionuclides, specific activity, rivers, tap water, dry and wet deposition, air, aerosols, soil, food, ingestion, external dose, effective dose assessments



# Kazalo

<b>Povzetek / Abstract .....</b>	<b>5</b>
<b>Ključne besede / Keywords</b>	<b>6</b>
<b>1 Uvod .....</b>	<b>17</b>
<b>1.1 Zakonodajne podlage</b>	<b>17</b>
<b>1.2 Okvirni program meritev</b>	<b>17</b>
<b>1.3 Obseg poročila</b>	<b>18</b>
<b>2 Program in metodologija meritev .....</b>	<b>19</b>
<b>2.1 Vrste meritev</b>	<b>19</b>
<b>2.2 Lokacije vzorčenja</b>	<b>19</b>
<b>2.3 Metodologija meritev</b>	<b>20</b>
<b>2.4 Akreditirane meritve</b>	<b>20</b>
<b>2.4.1 Originalna poročila z meritvami .....</b>	<b>24</b>
<b>2.5 Izračuni koncentracij aktivnosti ali specifičnih aktivnosti</b>	<b>24</b>
<b>2.6 Orientacijske vrednosti meje detekcije</b>	<b>25</b>
<b>3 Okoljski monitoring .....</b>	<b>27</b>
<b>3.1 Zrak</b>	<b>27</b>
<b>3.1.1 Vzorčenje in rezultati meritev .....</b>	<b>27</b>
<b>3.1.2 Dolgoročni trend aktivnosti Cs-137 .....</b>	<b>29</b>
<b>3.1.3 Sezonske variacije Cs-137 .....</b>	<b>31</b>
<b>3.1.4 Lesna kuriva .....</b>	<b>39</b>
<b>3.1.5 Sezonske variacije Be-7 in Pb-210 .....</b>	<b>44</b>
<b>3.1.6 Dolgoročni trend aktivnosti Be-7 in Pb-210 .....</b>	<b>49</b>

3.1.7	Zgodovinski pregled opaženih posebnosti . . . . .	55
<b>3.2</b>	<b>Padavine</b>	<b>59</b>
3.2.1	Vzorčenje in rezultati meritev . . . . .	59
3.2.2	Specifična aktivnost sevalcev gama in Sr-90 . . . . .	59
3.2.3	Koncentracija aktivnosti H-3 . . . . .	65
3.2.4	Specifična aktivnost kozmogenega Be-7 . . . . .	66
<b>3.3</b>	<b>Tekoče vode</b>	<b>70</b>
3.3.1	Vzorčenje in rezultati meritev . . . . .	70
3.3.2	Dolgoročni trendi . . . . .	72
3.3.3	Študija K-40 na poljedeljsko intenzivnih območjih . . . . .	72
<b>4</b>	<b>Monitoring zemlje in zunanjega sevanja</b>	<b>81</b>
<b>4.1</b>	<b>Zemlja</b>	<b>81</b>
4.1.1	Vzorčenje in rezultati meritev . . . . .	81
4.1.2	Dolgoročni trendi . . . . .	84
<b>4.2</b>	<b>TL dozimetri zunanjega sevanja</b>	<b>89</b>
4.2.1	Lokacije meritev . . . . .	89
4.2.2	Rezultati meritev . . . . .	89
4.2.3	Dolgoročni trend doz . . . . .	92
<b>5</b>	<b>Monitoring pitne vode, hrane in krme</b>	<b>95</b>
<b>5.1</b>	<b>Pitna voda</b>	<b>95</b>
<b>5.2</b>	<b>Mleko</b>	<b>98</b>
5.2.1	Dolgoročni trendi . . . . .	98
<b>5.3</b>	<b>Hrana</b>	<b>104</b>
5.3.1	Živila živalskega izvora . . . . .	104
5.3.2	Žitarice in žitni izdelki . . . . .	104
5.3.3	Sadje . . . . .	106
5.3.4	Zelenjava . . . . .	107
5.3.5	Otroška hrana . . . . .	107
<b>5.4</b>	<b>Krmila</b>	<b>111</b>
<b>6</b>	<b>Ocena prejetih doz sevanja</b>	<b>113</b>
<b>6.1</b>	<b>Osnovne enačbe</b>	<b>113</b>
<b>6.2</b>	<b>Uporabljeni podatki in predpostavke</b>	<b>115</b>
6.2.1	Umetni radionuklidi . . . . .	115
6.2.2	Naravni radionuklidi . . . . .	115
6.2.3	Starostne skupine . . . . .	115
6.2.4	Prehranjevalne predpostavke . . . . .	115
6.2.5	Prizvete koncentracije aktivnosti . . . . .	116
<b>6.3</b>	<b>Doza zaradi ingestije in inhalacije</b>	<b>116</b>
6.3.1	Ingestija . . . . .	118
6.3.2	Inhalacija . . . . .	118
6.3.3	Naravni radionuklidi (informativno) . . . . .	118
6.3.4	Prispevki posameznih vrst hrane . . . . .	118

6.3.5	Prispevki posameznih izotopov .....	122
<b>6.4</b>	<b>Doza zaradi zunanjega sevanja</b>	<b>122</b>
<b>6.5</b>	<b>Skupna ocena doze</b>	<b>124</b>
<b>7</b>	<b>Zaključki .....</b>	<b>127</b>
<b>7.1</b>	<b>Ugotovitve</b>	<b>127</b>
<b>7.2</b>	<b>Priporočila</b>	<b>128</b>
<b>8</b>	<b>Rezultati meritev .....</b>	<b>131</b>
<b>8.1</b>	<b>Pojasnila k tabelam</b>	<b>131</b>
8.1.1	Zapisi meritev ZVD .....	131
8.1.2	Zapisi meritev IJS .....	131
<b>8.2</b>	<b>Zrak</b>	<b>133</b>
<b>8.3</b>	<b>Lesna kuriva</b>	<b>138</b>
<b>8.4</b>	<b>Padavine</b>	<b>139</b>
<b>8.5</b>	<b>Tekoče vode</b>	<b>143</b>
<b>8.6</b>	<b>Zemlja</b>	<b>151</b>
<b>8.7</b>	<b>Morje - voda in sedimenti</b>	<b>156</b>
<b>8.8</b>	<b>Zunanje sevanje</b>	<b>157</b>
<b>8.9</b>	<b>Pitna voda</b>	<b>158</b>
<b>8.10</b>	<b>Hrana</b>	<b>160</b>
<b>8.11</b>	<b>Krmila</b>	<b>163</b>
<b>9</b>	<b>Literatura .....</b>	<b>165</b>





## Slike

3.1	Lokacije vzorčenja vzorcev zraka. . . . .	28
3.2	Letna povprečja koncentracij aktivnosti Cs-137 v zraku na lokaciji Ljubljana od leta 1981 dalje . . . . .	29
3.3	Slika po jedrski nesreči v Fukušimi (marec 2011) . . . . .	30
3.4	Slika požara iz letala (april 2020) . . . . .	30
3.5	Obseg in posledice požara v okolini Černobila . . . . .	31
3.6	Sezonske variacije koncentracij Cs-137 v zraku v Ljubljani. . . . .	32
3.7	Različni viri prašnih delcev PM <sub>10</sub> (za obdobje od 2000 do 2020). . . . .	33
3.8	Temperaturna korelacija prašnih delcev PM <sub>10</sub> za preteklo leto na lokaciji v Ljubljani – oznake ob merskih točkah predstavljajo mesec meritve, barvna oznaka pa količino padavin. . . . .	34
3.9	Zgodovinski pregled temperaturne korelacije prašnih delcev PM <sub>10</sub> na lokaciji v Ljubljani. . . . .	35
3.10	Zgodovinski pregled temperaturne korelacije prašnih delcev PM <sub>10</sub> na lokaciji v Ljubljani - nadaljevanje. . . . .	36
3.11	Sezonske korelacje med aktivnostjo Cs-137 v zraku in koncentracijo prašnih delcev PM <sub>10</sub> oziroma temperaturo na lokaciji Ljubljana. . . . .	37
3.12	Sezonske korelacie med aktivnostjo naravnih radionuklidov, Th-228 in Pb-210, v zraku in koncentracijo prašnih delcev PM <sub>10</sub> oziroma temperaturo v letu 2022 na lokaciji Ljubljana. . . . .	38
3.13	Raba obnovljivih virov energije - les in druga trdna biomasa (ARSO) oziroma OVE za ogrevanje (EUROSTAT). Pri vsakem letu je zapisna povprečna zimska temperatura (v času kurilne sezone – januar-februar, november-december) . . . . .	39
3.14	Končna poraba energije lesnih kuriv v gospodinjstvih izračunana s pomočjo modela rabe energije v gospodinjstvih (IJS-CEU). Vrednosti za leto 2022 so ocenjene z linearno ekstrapolacijo trenda preteklih 5 let. . . . .	40
3.15	Lokacije vzorčenja ali lokacija izvora vzorcev lesnih kuriv. . . . .	42
3.16	Sezonska variacija koncentracij atmosferskega Pb-210 in Be-7 v zraku in padavin na bližnjih lokacijah. . . . .	44

3.17	S površine Sonca izhaja t.i. solarni veter, ki praktično ne more prodreti v zemljino atmosfero (shematski prikaz); slika: ESA/ATG medialab. . . . .	45
3.18	Zimske in poletne korelacije med izmerjenimi koncentracijami atmosferskega Pb-210 in Be-7 v zraku na različnih lokacijah v letu 2022 – številka ob meritvi pomeni mesec vzorčenja. . . . .	47
3.19	Vetrovne razmere na lokacijah vzorčenja zraka ali v neposredni bližini. . . . .	48
3.20	Povprečne celoletne koncentracije aktivnosti Pb-210 in Be-7 v zraku za obdobje od leta 1996 dalje za Slovenijo (povprečje vseh treh lokacij vzorčenja).49	
3.21	V času večje sončeve aktivnosti heliosfera zmanjšuje fluks galaktičnih kozmičnih žarkov do zemljine atmosfere. . . . .	50
3.22	Sončeve pege so merilo za sončovo aktivnost in solarni veter; slika: NASA. .	51
3.23	Povprečno mesečno število sončevih peg – neprekinjena črta predstavlja drseče povprečje zadnjih 13 mesecev. . . . .	51
3.24	Antikorelacija sončevega cikla z letnimi koncentracijami Be-7 v zraku od leta 1996 dalje. . . . .	53
3.25	Antikorelacija sončevega cikla z mesečnimi koncentracijami Be-7 v zraku od leta 2000 dalje z delnim upoštevanjem izpiranja zaradi padavin. . . . .	54
3.26	Podrobnejše meritve koncentracij aktivnosti Ru-106 v zraku v Ljubljani, na Jareninskem vrhu in Predmeji. . . . .	55
3.27	Modeliranje razširjanja oblaka z izpusti Ru-106 - 24.9.2017 - 30.9.2017. . .	57
3.28	Modeliranje razširjanja oblaka z izpusti Ru-106 - 1.10.2017 - 11.10.2017. .	58
3.29	Lokacije vzorčenja vzorcev padavin. . . . .	60
3.30	Povprečni letni used Cs-137, Sr-90 in Pb-210 na enoto površine za obdobje od leta 2000 dalje (povprečje vseh lokacij po Sloveniji) . . . . .	62
3.31	Povprečni letni used Cs-137, Sr-90 in Pb-210 na enoto površine za obdobje od leta 2010 dalje na posamičnih lokacijah: Ljubljana, Novo mesto, Murska Sobota in Bovec. . . . .	63
3.32	Korelacija količine padavin s povprečnim letnim usedom Cs-137, Sr-90 in Pb-210 na različnih lokacijah po Sloveniji od leta 2000 dalje. . . . .	64
3.33	Povprečne letne koncentracije aktivnosti H-3 v padavinah iz Ljubljane za obdobje od leta 1990 dalje. . . . .	65
3.34	Specifične aktivnosti Be-7 v padavinah iz Ljubljane za obdobje od leta 1996 dalje. . . . .	67
3.35	Korelacija skupnega letnega useda, povprečnega mesečnega useda in specifičnega letnega ter specifičnega mesečnega useda Be-7 s sončevim ciklom od leta 1996 dalje. . . . .	68
3.36	Korelacija izmerjenega mesečnega useda Be-7 v padavinah v Ljubljani in količino padavin oziroma številom deževnih dni (za leto 2022). . . . .	69
3.37	Lokacije vzorčenja tekočih vod. . . . .	71
3.38	Karta preostale specifične aktivnosti Cs-137 v tleh v Avstriji (leto 2021). .	72
3.39	Povprečne letne koncentracije aktivnosti Cs-137, I-131 in H-3 v reki Savi (povprečje lokacij Ljubljana in Brežice) in Dravi (lokacija Dravograd) od leta 2002 dalje. . . . .	73
3.40	Lokacije vzorčenja rečne vode, zemlje in poljsčin na poljedelsko intenzivnih področjih Slovenije. . . . .	74
3.41	Koncentracije K-40 in Cs-137 v obdelani zemlji na poljedelsko intenzivnih območjih . . . . .	75
3.42	Koncentracije K-40 in Cs-137 v nefiltrirani rečni vodi na različnih lokacijah intenzivnega poljedelstva . . . . .	76

3.43 Koncentracije K-40 v poljščinah na različnih lokacijah intenzivnega poljedelstva	77
3.44 Analiza korelacije izotopa K-40 v obdelani zemlji in nefiltrirani rečni vodi. . . . .	78
3.45 Analiza korelacije izotopa K-40 v zemlji in poljščinah. . . . .	78
3.46 Analiza korelacije izotopa K-40 in Cs-137 v zemlji. . . . .	79
 4.1 Lokacije vzorčenja vzorcev zemlje. . . . .	82
4.2 Povprečna letna koncentracija aktivnosti K-40 v zemlji . . . . .	83
4.3 Povprečna letna koncentracija aktivnosti Cs-137 v zemlji . . . . .	83
4.4 Povprečna letna koncentracija aktivnosti Sr-90 v zemlji . . . . .	84
4.5 Specifične aktivnosti — depozit – Cs-137, Cs-134 in Sr-90 v Ljubljani v različnih plasteh ter preračun radioaktivnega razpada od leta 1986 dalje. . . . .	86
4.6 Specifične aktivnosti — depozit – Cs-137, Cs-134 in Sr-90 v Kobaridu v različnih plasteh ter preračun radioaktivnega razpada od leta 1986 dalje. . . . .	87
4.7 Specifične aktivnosti — depozit – Cs-137, Cs-134 in Sr-90 v Murski Soboti v različnih plasteh ter preračun radioaktivnega razpada od leta 1986 dalje. . . . .	88
4.8 Lokacije TL dozimetrov za meritve letne doze zunanjega sevanja. . . . .	90
4.9 Izmerjena letna doza s TL dozimetri na različnih lokacijah po Sloveniji. . . . .	91
4.10 Radonski potencial v tleh v Sloveniji. . . . .	91
4.11 Izmerjene koncentracije radona v bivalnih prostorih – mediana porazdelitve.	92
4.12 Doza zaradi zunanjega sevanja za Ljubljano za obdobje od leta 1986 dalje. . .	93
4.13 Energijska odvisnost razmerja okoljskega, $H^*(10)$ , in fotonskega doznega ekvivalenta, Hx. . . . .	94
 5.1 Lokacije vzorčenja vzorcev pitne vode. . . . .	96
5.2 Povprečne letne koncentracije aktivnosti Cs-137, Sr-90 in H-3 v pitni vodi od leta 2009 dalje (povprečje vseh vzetih vzorcev). . . . .	97
5.3 Lokacije vzorčenja vzorcev mleka. . . . .	99
5.4 Primerjava povprečnih letnih koncentracij aktivnosti Cs-137 in Sr-90 v surovem mleku na različnih lokacijah v Sloveniji za leto 2022. . . . .	100
5.5 Koncentracije aktivnosti K-40, Cs-137 in Sr-90 v posamičnih dvomesečnih vzorcih surovega mleka iz Ljubljane, Kobarida in Bohinjske Bistrike. . . . .	101
5.6 Koncentracije aktivnosti K-40, Cs-137 in Sr-90 v posamičnih dvomesečnih vzorcih mleka v prahu iz Murske Sobote. . . . .	102
5.7 Povprečne letne koncentracije aktivnosti Cs-137, Cs-134 in Sr-90 v mleku z različnih lokacij od leta 1986 dalje. . . . .	103
5.8 Lokacije vzorčenja vzorcev živil živalskega izvora in žitaric ter žitnih izdelkov.	105
5.9 Povprečne letne koncentracije aktivnosti Cs-137 in Sr-90 v živilih živalskega izvora od leta 2008 dalje (povprečje vseh vzetih vzorcev razen medu in divjačine). . . . .	106
5.10 Povprečne letne koncentracije aktivnosti Cs-137 in Sr-90 v žitaricah in žitnih izdelkih od leta 2008 dalje (povprečje vseh vzetih vzorcev). . . . .	106
5.11 Lokacije vzorčenja vzorcev sadja in zelenjave. . . . .	108
5.12 Povprečne letne koncentracije aktivnosti Cs-137 in Sr-90 v sadju od leta 2008 dalje (povprečje vseh vzetih vzorcev razen specifičnih z večjo akumulacijo).	109
5.13 Povprečne letne koncentracije aktivnosti Cs-137 in Sr-90 v zelenjavi od leta 2008 dalje (povprečje vseh vzetih vzorcev brez gob). . . . .	109
5.14 Lokacije vzorčenja vzorcev celovitega obroka otrok. . . . .	110
5.15 Povprečne letne koncentracije aktivnosti Cs-137 in Sr-90 v obrokih otroške hrane od leta 2008 dalje (povprečje vseh vzetih vzorcev). . . . .	111
5.16 Lokacije vzorčenja vzorcev krme. . . . .	112

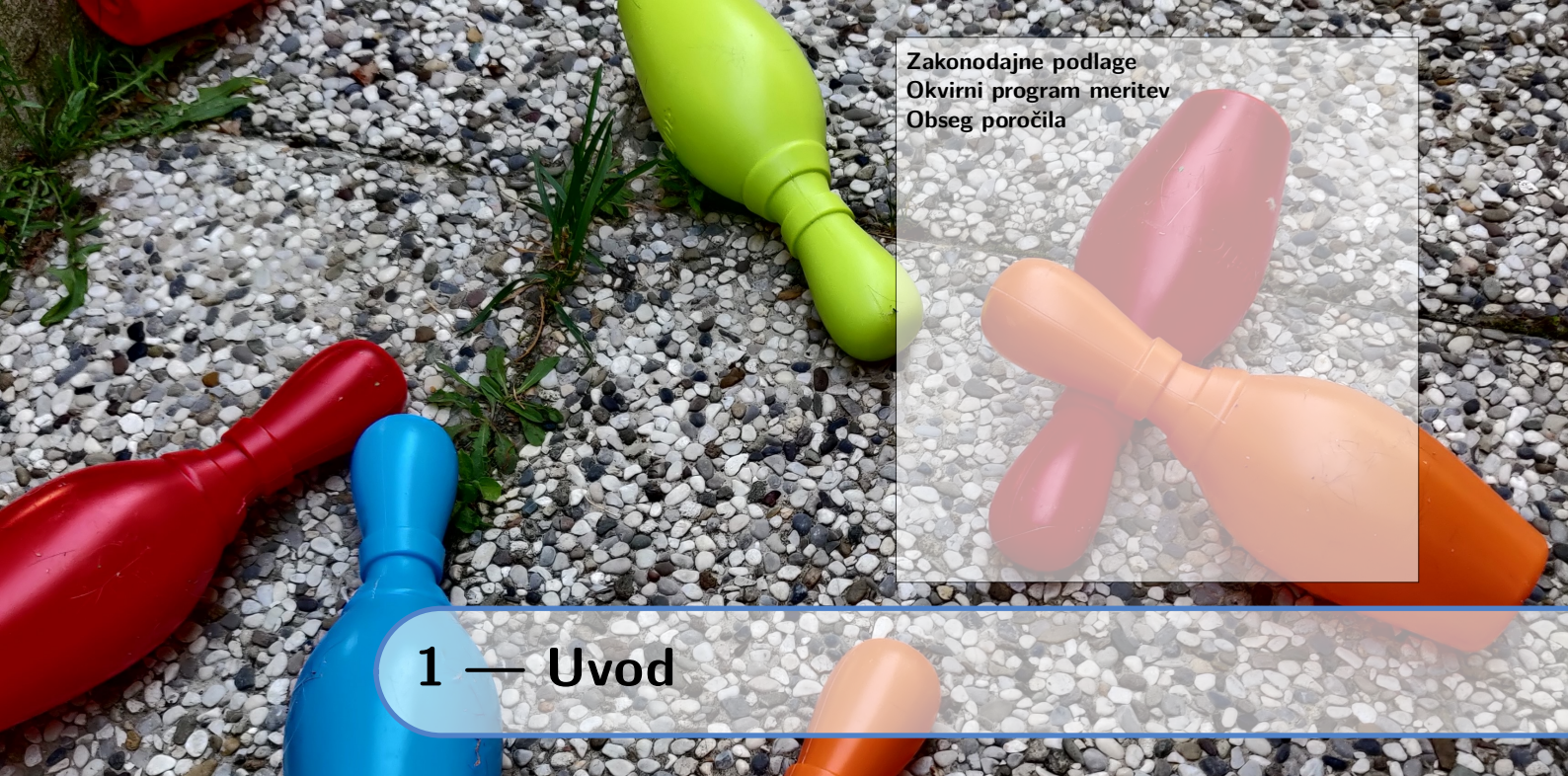
6.1	Shematski prikaz prenosnih poti za notranje in zunanje obsevanje. . . . .	114
6.2	Shematski prikaz določitve različnih starostnih in referenčnih skupin, ki so specifične bodisi zaradi lokacije bodisi prehranjevalnih navad. . . . .	117
6.3	Relativni prispevki k dozi zaradi ingestije in inhalacije posameznih vrst hrane, vode in zraka za tri starostne skupine prebivalstva (ljubljansko mleko).121	
6.4	Relativni prispevki k dozi posameznih radionuklidov za tri starostne skupine prebivalstva (ljubljansko mleko) . . . . .	122
6.5	Predvidena efektivna doza $H_E$ zaradi kontaminacije okolja z dolgoživimi umetnimi radionuklidi za odrasle (slovensko povprečje) za obdobje od leta 2000 dalje . . . . .	125



## Tabele

2.1	Program meritev radioaktivnosti v življenjskem okolju v Sloveniji v 2022 . . . . .	21
2.2	Program meritev radioaktivnosti v živil, pitne vode in krmil v Sloveniji v 2022 . . . . .	22
2.3	Orientacijske vrednosti meje detekcije za različne vzorce in radionuklide . . . . .	25
3.1	Izpusti Cs-137 v zrak zaradi uporabe lesnih kuriv in primerjava z izpusti NEK43	
3.2	Povprečne letne vsote specifičnih aktivnosti Cs-137, Sr-90 in Pb-210 na enoto površine za obdobje od leta 2000 dalje (povprečje vseh lokacij) . . . . .	61
3.3	Najvišje izmerjene, $A_{\max}$ , in povprečne koncentracije, $\bar{A}$ , radionuklidov v vzorcih tekočih vod . . . . .	70
4.1	Seznam TL-dozimetrov v Republiki Sloveniji z GPS koordinatami . . . . .	89
6.1	Podatki o letni količini zaužite hrane za starostne skupine . . . . .	116
6.2	Povprečne koncentracije aktivnosti sevalcev gama in Sr-90 ter H-3 v hrani, pitni vodi in zraku za leto 2022 . . . . .	118
6.3	Efektivne doze zaradi ingestije in inhalacije umetnih radionuklidov za različne skupine prebivalstva v letu 2022. . . . .	119
6.4	Efektivne doze zaradi ingestije in inhalacije Pb-210 (le informativno) za različne skupine prebivalstva v letu 2022. . . . .	120
6.5	Predpostavke o deležih zadrževanja v zaprtih prostorih in na prostem za izračun doz zunanjega sevanja . . . . .	123
6.6	Ocenjene doze zaradi zunanjega obsevanja odraslih prebivalcev v preteklih letih	124
6.7	Obsevna obremenitev prebivalstva v letu 2022 zaradi kontaminacije okolja z dolgoživimi umetnimi radionuklidji – pregledna zbirna tabela . . . . .	126
8.1	Koncentracije aktivnosti izotopov v vzorcih zraka - Ljubljana <b>IJS</b> . . . . .	134
8.2	Koncentracije aktivnosti izotopov v vzorcih zraka v obdobju jedrske nesreče v Fukušimi marca 2011 - Ljubljana <b>IJS</b> . . . . .	135
8.3	Koncentracije aktivnosti izotopov v vzorcih zraka v obdobju požara v Černobilu aprila 2020 - Ljubljana <b>IJS</b> . . . . .	136
8.4	Koncentracije aktivnosti izotopov v vzorcih zraka - Murska Sobota <b>ZVD</b> . . . . .	137
8.5	Koncentracije aktivnosti izotopov v vzorcih zraka - Predmeja <b>ZVD</b> . . . . .	137

8.6 Koncentracije aktivnosti izotopov v vzorcih lesa in lesnih kuriv	<b>ZVD</b>	<b>IJS</b>	138
8.7 Specifične aktivnosti izotopov v vzorcih padavin - Novo mesto	<b>ZVD</b>		139
8.8 Specifične aktivnosti izotopov v vzorcih padavin - Murska Sobota	<b>ZVD</b>		139
8.9 Specifične aktivnosti izotopov v vzorcih padavin - Bovec	<b>ZVD</b>		140
8.10 Specifične aktivnosti izotopov v vzorcih padavin - Ljubljana	<b>ZVD</b>		141
8.11 Koncentracije aktivnosti H-3 v vzorci padavin - Ljubljana	<b>IJS</b>		142
8.12 Koncentracije aktivnosti izotopov v vzorcih rek - Sava	<b>IJS</b>		143
8.13 Koncentracije aktivnosti izotopov v vzorcih rek - Drava	<b>IJS</b>		144
8.14 Koncentracije aktivnosti izotopov v vzorcih rek - Mura	<b>IJS</b>		145
8.15 Koncentracije aktivnosti izotopov v vzorcih rek - Savinja	<b>IJS</b>		145
8.16 Koncentracije aktivnosti izotopov v vzorcih rek - Soča	<b>IJS</b>		146
8.17 Koncentracije aktivnosti izotopov v vzorcih rek - Krka	<b>IJS</b>		146
8.18 Koncentracije aktivnosti izotopov v vzorcih rek - Kolpa	<b>IJS</b>		147
8.19 Koncentracije aktivnosti izotopov v vzorcih neobdelane zemlje na poljedeljsko intenzivnih področjih	<b>ZVD</b>		148
8.20 Koncentracije aktivnosti izotopov v vzorcih nefiltrirane rečne vode na poljedeljsko intenzivnih področjih	<b>ZVD</b>		149
8.21 Koncentracije aktivnosti izotopov v vzorcih poljščin na poljedeljsko intenzivnih področjih	<b>ZVD</b>		150
8.22 Koncentracije aktivnosti izotopov v vzorcih zemlje - Ljubljana	<b>IJS</b>		152
8.23 Specifične aktivnosti izotopov v vzorcih zemlje - Ljubljana	<b>IJS</b>		153
8.24 Koncentracije aktivnosti izotopov v vzorcih zemlje - Kobarid	<b>ZVD</b>		154
8.25 Koncentracije aktivnosti izotopov v vzorcih zemlje - Murska Sobota	<b>ZVD</b>		155
8.26 Koncentracije aktivnosti izotopov v vzorcih morja - vode in sedimentov	<b>IJS</b>		156
8.27 Izmerjene vrednosti zunanjega sevanja s TL dozimetri	<b>IJS</b>		157
8.28 Koncentracije aktivnosti izotopov v vzorcih pitne vode	<b>IJS</b>		158
8.29 Koncentracije aktivnosti izotopov v vzorcih pitne vode – nadaljevanje	<b>IJS</b>		159
8.30 Koncentracije aktivnosti izotopov v vzorcih mleka - Ljubljana	<b>ZVD</b>		160
8.31 Koncentracije aktivnosti izotopov v vzorcih mleka - Kobarid	<b>ZVD</b>		160
8.32 Koncentracije aktivnosti izotopov v vzorcih mleka - Bohinjska Bistrica	<b>ZVD</b>		160
8.33 Koncentracije aktivnosti izotopov v vzorcih mleka - Murska Sobota	<b>ZVD</b>		161
8.34 Koncentracije aktivnosti izotopov v vzorcih živil živalskega izvora	<b>ZVD</b>		161
8.35 Koncentracije aktivnosti izotopov v vzorcih kruha in žitaric	<b>ZVD</b>		161
8.36 Koncentracije aktivnosti izotopov v vzorcih zelenjave	<b>ZVD</b>		162
8.37 Koncentracije aktivnosti izotopov v vzorcih sadja	<b>ZVD</b>		162
8.38 Koncentracije aktivnosti izotopov v vzorcih obroka hrane	<b>ZVD</b>		162
8.39 Koncentracije aktivnosti izotopov v vzorcih krme	<b>ZVD</b>		164



## 1 — Uvod

### 1.1 Zakonodajne podlage

Zakon o varstvu pred ionizirajočimi sevanji in jedrski varnosti (ZVISJV) [1] ureja varstvo pred ionizirajočimi sevanji z namenom zmanjšanja škode za zdravje ljudi in radioaktivne kontaminacije življenjskega okolja zaradi uporabe virov ionizirajočih sevanj do najmanjše možne mere tako, da se hkrati mogoči uporaba virov sevanj in izvajanje sevalnih dejavnosti. V 158. in 159. členu ZVISJV so podane zahteve za spremeljanje stanja radioaktivnosti okolja, na podlagi katerih se izvajajo meritve v okolju, ki jih podrobneje ureja Pravilnik o monitoringu radioaktivnosti (JV10) [2]. V 35. členu ZVISJV so podane zahteve za mejne doze za prebivalstvo, ki jih podrobneje razčlenjujeta Pravilnik o posebnih zahtevah varstva pred sevanji in načinu ocene doz (SV5) [3] in Uredba o mejnih dozah, referenčnih ravneh in radioaktivni kontaminaciji (UV2) [4]. V 63. členu ZVISJV so podane zahteve za izdelavo poročila o ocenah prejetih doz za prebivalstvo, ki temelji na prej omenjenih pravilnikih in uredbi.

V pravilniku JV10 so navedene metode vzorčenja in merjenja ter program meritev, ki upošteva vse pomembne načine izpostavljenosti prebivalstva ionizirajočim sevanjem, prenosne poti razširjanja radioaktivnosti in radionuklide, ki pomembno prispevajo k efektivni dozi.

### 1.2 Okvirni program meritev

Program zajema merjenje zunanjega sevanja, radioaktivne kontaminacije zraka, vode, tal, živil, kmetijskih proizvodov, hrane in krme.

V celotnem programu so zajeti vzorci vzorčeni na različne načine, in sicer:

- enkratni vzorci (npr. vzorci živil),
- vzorci, ki se sprotno posamično odvzemajo, kumulativno zbirajo, ovrednoti pa se radioaktivnost celotnega zbranega vzorca v daljšem časovnem obdobju (npr. mleko kot dvomesečni kompozitni vzorec) ter
- vzorci, ki se zbirajo kontinuirano skozi celotni mesec, meri pa se mesečni kompozitni vzorec (npr. vzorci zraka, padavin).

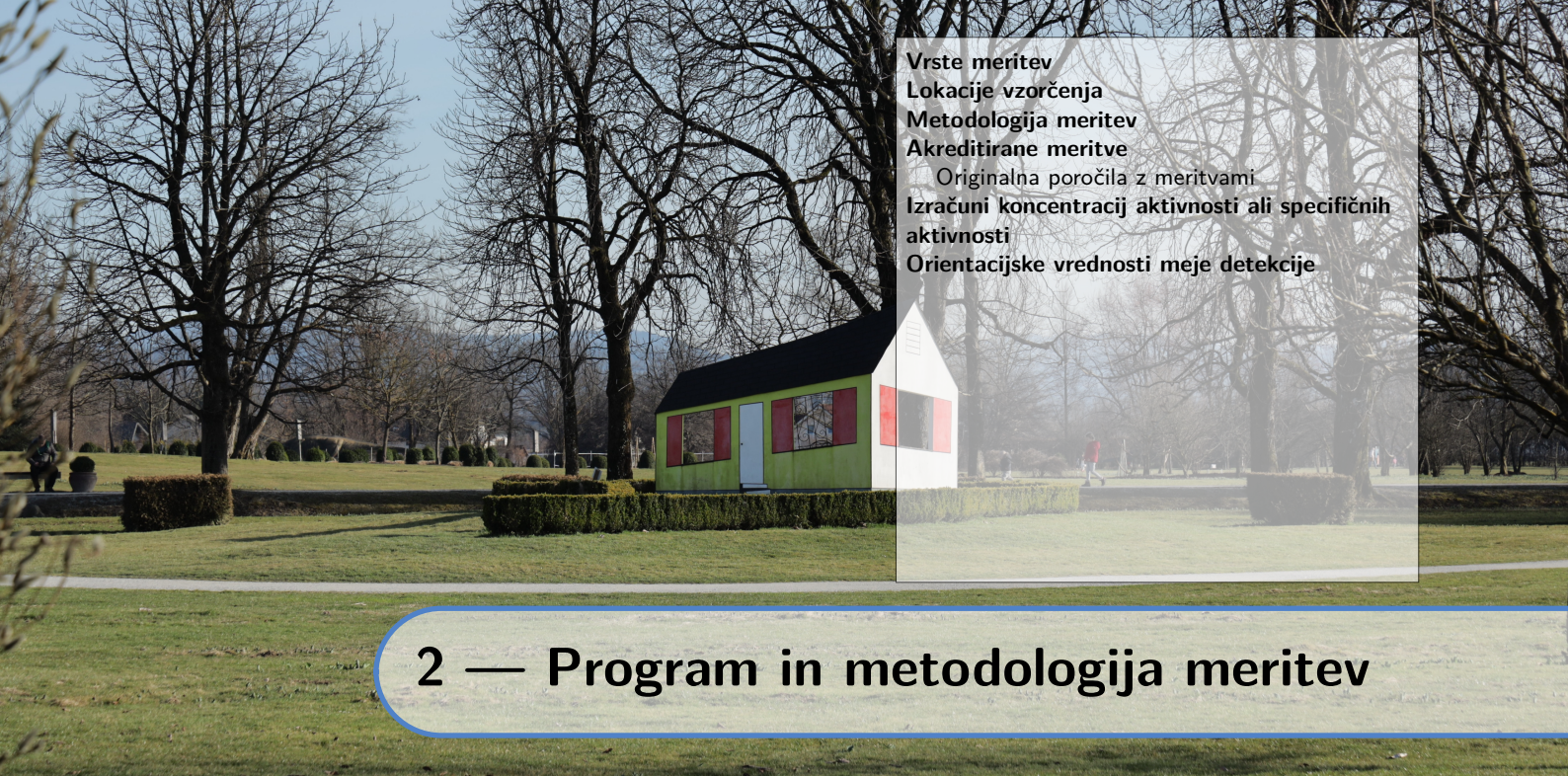
Izvajalca nadzornih meritev v življenjskem okolju Republike Slovenije sta Zavod za varstvo pri delu d.o.o. (ZVD) in Institut "Jožef Stefan" (IJS). Oba izvajalca se redno

udeležujeta tudi mednarodnih interkomparacijskih meritov z namenom, da se zagotovi in preverja kakovost meritov. Dodatne primerjalne meritve vzorcev sta izvajalca opravljala v sklopu nadzornih meritov v programu nadzora radioaktivnosti v okolici NE Krško in pri rednih obhodih mobilnih enot v okolici NEK.

### 1.3 Obseg poročila

V poročilu o obsevanosti prebivalcev Slovenije analiziramo meritve radioaktivnosti v okviru rednega monitoringa radioaktivnosti v Sloveniji, ki ga financirata Ministrstvo za naravne vire in prostor ter Ministrstvo za zdravje. Namen meritov je izračun doze umetnih radionuklidov v okolju, ki jo zaradi življenja v Sloveniji prejme povprečen prebivalec Slovenije. Poročilo o obsevanosti prebivalcev Slovenije nima namena prikazati sevalnih obremenitev, katerim je izpostavljen prebivalstvo zaradi naravnih virov ali tehnološko modificiranih naravnih virov sevanja (radon v bivalnem okolju, rudnik urana Žirovski vrh), delovanja jedrske elektrarne Krško ali vpliva medicinskih virov.

V poročilu so zajeti predvsem podatki o stanju obstoječe radioaktivne kontaminacije življenjskega okolja kot posledice izvajanja preteklih jedrskeih eksplozij, černobilske in fukušimske jedrske nesreče ter morebitnih drugih sevalnih nesreč z večjimi izpusti v okolje.



**Vrste meritev**  
**Lokacije vzorčenja**  
**Metodologija meritev**  
**Akreditirane meritve**  
Originalna poročila z meritvami  
**Izračuni koncentracij aktivnosti ali specifičnih aktivnosti**  
**Orientacijske vrednosti meje detekcije**

## 2 — Program in metodologija meritev

### 2.1 Vrste meritev

Program meritev radioaktivne kontaminacije življenjskega okolja v Republiki Sloveniji je bil v letu 2022 podoben kot v prejšnjih letih, pri vzorčenju zemlje sta bili v letu 2019 dodani novi globini vzorčenja zemlje (30 - 40 cm in 40 - 50 cm). Način zbiranja in odvzema vzorcev, priprava in obdelava ter meritve radioaktivnosti so v skladu z enotno metodologijo, predpisano s Pravilnikom JV10 [2].

Program meritev v Sloveniji v letu 2022 je prikazan v tabelah 2.1 in 2.2. V posebnem stolpcu so označene meritve, ki ji je opravil bodisi ZVD bodisi IJS.

Stalen nadzor nad kontaminacijo okolja s sevalci gama, Sr-90, I-131 in H-3 je tudi v letu 2022 zajel najpomembnejše člene prehrambne verige in tako kot v prejšnjih letih, upošteval padavinsko različna področja. Na podlagi černobilskih izkušenj so v programu tudi termoluminiscentni (TL) dozimetri in sicer na več krajih v Sloveniji, ki služijo za indikacijo nihanj zunanjega sevanja gama oziroma za določevanje prejetih doz prebivalstva zaradi zunanjega sevanja gama (vključno z naravnimi radionuklidi in kozmičnim sevanjem).

### 2.2 Lokacije vzorčenja

Lokacije vzorčenja zraka, padavin, zemlje, tekočih vod ter merilna mesta doz zunanjega sevanja so ostala enaka kot v prejšnjih letih, pri ostalih vzorcih pa se lokacije vzorčenja določajo sproti za vsako leto. Pri lesnih kurivih vzorčimo reprezentativne vzorce na tržišču pri večjih ponudnikih v Sloveniji, pri čemer sledimo raznolikosti bodisi lokacij odvzema bodisi porekla kuriv. Kraji vzorčenja pitne vode so določeni na podlagi Programa meritev, kjer izvedbo vzorčenja pitne vode in dostavo vzorcev izvajalcu meritev zagotovi Uprava RS za varstvo pred sevanji. Vzorce hrane določi in lokacije vzorčenja določi Uprava za varno hrano, veterinarstvo in varstvo rastlin, kjer sledijo zagotovitvi reprezentativnih vzorcev na tržišču pri ponudnikih v različnih mestih po Sloveniji. Vzorce nato dostavijo izvajalcu meritev.

Posamezne lokacije vzorčenja so prikazane v na zemljevidih v posameznih pripadajočih poglavjih, in sicer:

- zrak – slika 3.1 na strani 28

- lesna kuriva – slika 3.15 na strani 42
- padavine – slika 3.29 na strani 60
- tekoče vode – slika 3.37 na strani 71
- zemlja – slika 4.1 na strani 82
- zunanje sevanje – slika 4.8 na strani 90
- pitna voda – slika 5.1 na strani 96
- hrana – slika ?? na strani ??
- krma – slika 5.16 na strani 112

## 2.3 Metodologija meritov

Meritve v okviru rednega monitoringa življenskega okolja v Republiki Sloveniji v letu 2022 sta izvajala ZVD in IJS. Za določanje koncentracij aktivnosti radionuklidov v vzorcih iz okolja smo uporabljali visoko ločljivostno spektrometrijo gama (ZVD in IJS), radiokemično analizo Sr-90 (ZVD in IJS), radiokemično analizo H-3 (IJS) in radiokemično analizo I-131 (ZVD). Za meritve doze zunanjega sevanja smo uporabljali TL dozimetre (IJS).

### ZVD Zavod za varstvo pri delu d.o.o.

Vzorce zraka, padavin, neobdelane zemlje, krmil ter hrane rastlinskega in živalskega porekla smo v letu 2022 na ZVD vzorčili, pripravili in merili v skladu z odobrenimi delovnimi postopki za vzorčenje, pripravo vzorcev in izvajanje meritov koncentracij aktivnosti gama in beta sevalcev v vzorcih iz življenskega okolja [5–14].

### IJS Institut "Jožef Stefan".

IJS je v letu 2022 izvajal meritve radioaktivnosti tekočih vod, pitnih vod, sedimenta, zemlje in zraka v Ljubljani ter zunanjega sevanja. Vzorce so na IJS vzorčili, pripravili in merili v skladu s sprejetimi postopki IJS. Sevalce gama določajo po internih postopkih ali navodilih z visokoločljivo spektrometrijo gama v laboratoriju, vsebnost Sr-89/90 z beta štetjem in vsebnost tritija s tekočinskim scintilacijskim štetjem [15–19].

### Zagtavljanje kakovosti meritov.

Stalno izvajanje kontrolnih meritov v laboratorijih po definiranih programih, udeležba na primerjavnih meritvah doma in v tujini, uporaba standardnih virov radioaktivnosti s certifikati, zagotavlja kakovostne meritve, zanesljivost rezultatov in sledljivost do mednarodnih etalonov za merila.

## 2.4 Akreditirane meritve

ZVD in IJS sta za izvajanje meritov z metodo visoko ločljivostne spektrometrije gama, radiokemične analize Sr-89, Sr-90 in H-3 (samo IJS) ter meritve doze zunanjega sevanja akreditirana v skladu s standardi SIST EN ISO/IEC 17025 – akreditacijske listine številka LP-022, LP-032 in LP-090. Radiokemične analize I-131 (samo ZVD) se ne izvajajo po akreditirani metodi, vendar izvajalci meritov vzdržujejo sistem kakovosti in nenehnega izboljševanja. V poglavju 8 pričajočega poročila (od strani 131 naprej) so zbrane in predstavljene tabele z rezultati meritov monitoringa radioaktivnosti v okolju. Meritve označene z znakom # in v **odebeljenem tisku** se nanašajo na neakreditirano dejavnost.

Ker sta meritve izvajala ZVD Zavod za varstvo pri delu in Institut »Jožef Stefan«, je vsaka tabela poglavja 8 ob strani posebej označena z logotipom organizacije, in sicer z **ZVD** za meritve ZVD in **IJS** za meritve IJS.

**Tabela 2.1 |** Program meritov radioaktivnosti v življenjskem okolju v Sloveniji v 2022

Vrsta in opis meritov	Vzorčevalno mesto	Vrsta vzorca	Pogostost in št. meritov	Izvajalec
<b>ZRAK - partikulati</b>				
VL spektronom. gama	Ljubljana	kontinuirano črpanje skozi filter	mesecno, 12	IJS
	Murska Sobota		mesecno, 12	ZVD
Predmeja			mesecno, 12	ZVD
<b>LESNA KURIVA</b>				
VL spektronom. gama	različni dobaviteљi	peleti, briketi, drva	letno, 8	ZVD, IJS
<b>TRDE IN TEKOČE PADAVINE</b>				
VL spektronom. gama	Ljubljana	Zbirna količina skupnega useda	mesecno, 12	ZVD
	Bovec		trimestrno, 4	ZVD
	Murska Sobota		trimestrno, 4	ZVD
	Novo mesto		trimestrno, 4	ZVD
Specif. analiza Sr-90	Ljubljana	Zbirna količina skupnega useda	trimestrno, 4	ZVD
	Bovec		trimestrno, 4	ZVD
	Murska Sobota		trimestrno, 4	ZVD
	Novo mesto		trimestrno, 4	ZVD
Specifična analiza H-3	Ljubljana	Zbirna količina skupnega useda	mesecno, 12	IJS
<b>REKE, MORJE</b>				
VL spektronom. gama	SAVA (Ljubljana)	voda	poletno, 2	IJS
	SAVA (Brežice)	voda	poletno, 2	IJS
	DRAVA (Dravograd)	voda	poletno, 2	IJS
	SOČA (Solkan)	voda	poletno, 2	IJS
	SAVINJA (Celje)	voda	poletno, 2	IJS
	MURA (Petanjci)	voda	poletno, 2	IJS
	KRKA (Otočec)	voda	poletno, 2	IJS
	KOLPA (Vinica)	voda	poletno, 2	IJS
	MORJE (Piran)	voda	poletno, 2	IJS
nadaljevanje na naslednji strani –				

**Tabela 2.1 | – nadaljevanje s prejšnje strani**

Vrsta	Vzorčevalno mesto	Vrsta vzorca	Pogostost in št. meritev	Izvajalec
MORJE (Piran)	MORJE (Piran)	sediment	poletno, 2	IJS
Specifična analiza H-3	SAVA (Ljubljana) SAVA (Brežice)	voda voda	poletno, 2	IJS
DRAVA (Dravograd)	DRAVA (Petanjci)	voda voda	poletno, 2	IJS
Specif. analiza Sr-90	SAVA (Ljubljana) DRAVA (Maribor) MURJA (Petanjci)	voda voda voda	poletno, 2	IJS
<b>ZEMELJIŠČE - neobdelano zemljišče v različnih globinah</b>				
VL spektrom. gama	Ljubljana Kobarid Murska Sobota	zemlja z globin 0-10-20-30-40-50 cm (pomlad, jesen) zemlja z globin 0-10-20-30-40-50 cm (pomlad, jesen) zemlja z globin 0-10-20-30-40-50 cm (pomlad, jesen)	poletno, 10	IJS
Specif. analiza Sr-90	Ljubljana Kobarid Murska Sobota	zemlja z globin 0-10-20-30-40-50 cm (pomlad, jesen) zemlja z globin 0-10-20-30-40-50 cm (pomlad, jesen) zemlja z globin 0-10-20-30-40-50 cm (pomlad, jesen)	poletno, 10	ZVD
TLD	50 lokacij po Sloveniji	H*(10)	poletno, 100	IJS

**Tabela 2.2 | Program meritev radioaktivnosti v živil, pitne vode in krmil v Sloveniji v 2022**

Vrsta in opis meritev	Vzorčevalno mesto	Vrsta vzorca	Pogostost in št. meritev	Izvajalec
<b>PITNA VODA</b>				
VL spektrom. gama	15 lokacij po Sloveniji	vodovodi - enkratni vzorec	letno, 15	IJS
Specifična analiza H-3	15 lokacij po Sloveniji	vodovodi - enkratni vzorec	letno, 15	IJS
Specif. analiza Sr-90	15 lokacij po Sloveniji	vodovodi - enkratni vzorec	letno, 15	IJS
nadaljevanje na naslednji strani –				

**Tabela 2.2 | – nadaljevanje s prejšnje strani**

Vrsta	Vzorčevalno mesto	Vrsta vzorca	Pogostost in št. meritiv	Izvajalec
<b>HRANA</b>				
<b>Hrana rastlinskega porekla</b>				
VL spektrom. gama	Večja mesta po Sloveniji	<i>Sez. zelenjava:</i> npr. krompir, solata, špinaca, korenje, zelje, fižol, paradžnik	letno, 6	ZVD
Specif. analiza Sr-90	Večja mesta po Sloveniji	<i>Sez. zelenjava:</i> npr. krompir, solata, špinaca, korenje, zelje, fižol, paradžnik	letno, 6	ZVD
VL spektrom. gama	Večja mesta po Sloveniji	<i>Sezonsko sadje:</i> npr. jabolka, breskve, česnje, slive, hruške, jagode, češnje	letno, 6	ZVD
Specif. analiza Sr-90	Večja mesta po Sloveniji	<i>Sezonsko sadje:</i> npr. jabolka, breskve, česnje, slive, hruške, jagode, češnje	letno, 6	ZVD
VL spektrom. gama	Večja mesta po Sloveniji	<i>Žito, kruh:</i> npr. pšenica, koruza, rž, ječmen, kruh, bela moka	letno, 6	ZVD
Specif. analiza Sr-90	Večja mesta po Sloveniji	<i>Žito, kruh:</i> npr. pšenica, koruza, rž, ječmen, kruh, bela moka	letno, 6	ZVD
<b>Hrana živalskega porekla</b>				
VL spektrom. gama	Večja mesta po Sloveniji	sir, jajca, goveje meso, svinjsko meso, ribe, perutnina, med, divjačina	letno, 8	ZVD
Specif. analiza Sr-90	Večja mesta po Sloveniji	sir, jajca, goveje meso, svinjsko meso, ribe, perutnina, med, divjačina	letno, 8	ZVD
Ljubljana				
VL spektrom. gama	Kobarid	mleko	dvomesečno, 6	ZVD
Specif. analiza Sr-90	Bohinjska Bistrica		dvomesečno, 6	ZVD
Murska Sobota				
Ljubljana				
VL spektrom. gama	Kobarid	mleko	dvomesečno, 6	ZVD
Specif. analiza Sr-90	Bohinjska Bistrica		dvomesečno, 6	ZVD
Murska Sobota				
<b>Celovit obrok hrane</b>				
VL spektrom. gama	Vrtci po različnih mestih	obrok	letno, 5	ZVD
Specif. analiza Sr-90	Vrtci po različnih mestih	obrok	letno, 5	ZVD
<b>KRMILA, GNOJILA, FOSFATI</b>				
VL spektrom. gama	10 lokacij	enkratni vzorec	letno, 12	ZVD
Specif. analiza Sr-90	10 lokacij	enkratni vzorec	letno, 12	ZVD

### 2.4.1 Originalna poročila z meritvami

Rezultati navedeni v tabelah v poglavju 8 so pridobljeni iz naslednjih akreditiranih poročil ZVD in IJS v okviru izvajanja rednih monitoringov, in sicer:

- Monitoring radioaktivnosti v življenjskem okolju [20–22], naročnik Uprava RS za jedrsko varnost (Ministrstvo za naravne vire in prostor)
- Monitoring radioaktivnosti živil [23], naročnik Uprava RS za varstvo pred sevanji (Ministrstvo za zdravje)
- Monitoring radioaktivnosti pitne vode [24], naročnik Uprava RS za varstvo pred sevanji (Ministrstvo za zdravje)
- Monitoring radioaktivnosti živalske krme [25], naročnik Uprava RS za varno hrano, veterinarstvo in varstvo rastlin (Ministrstvo za kmetijstvo, gozdarstvo in prehrano)
- Izdelava študije koncentracije radionuklida K-40 in drugih zaznanih gama sevalcev na poljedelskih območjih [26], naročnik Uprava RS za jedrsko varnost (Ministrstvo za okolje in prostor – v letu 2020)

### 2.5 Izračuni koncentracij aktivnosti ali specifičnih aktivnosti

Koncentracije aktivnosti radionuklidov v vzorcih zraka podajamo v  $\text{Bq}/\text{m}^3$ , v vzorcih tekočih in pitnih vod v  $\text{Bq}/\text{m}^3$ , v vzorcih padavin bodisi kot radioaktivni used na enoto prestrezne površine v  $\text{Bq}/\text{m}^2$  bodisi preračunano na količino padavin v  $\text{Bq}/\text{m}^3$ . V vzorcih zemlje podajamo koncentracije aktivnosti radionuklidov bodisi v  $\text{Bq}/\text{kg}$  bodisi specifične aktivnosti preračunane na enoto površine v  $\text{Bq}/\text{m}^2$ . Koncentracije aktivnosti radionuklidov v vzorcih hrane (mleko, meso, sadje, zelenjava in močnati izdelki) podajamo v  $\text{Bq}/\text{kg}$ . Doze zaradi zunanjega sevanja in efektivne doze za prebivalstvo podajamo v  $\text{mSv}$  oziroma  $\mu\text{Sv}$ .

Koncentracije aktivnosti ali specifične aktivnosti radionuklidov v vzorcih so preračunane na datum vzorčenja. Število podano za znakom  $\pm$  je skupna standardna negotovost in se nanaša na interval zaupanja z 68% zanesljivostjo (v kolikor ni drugače navedeno). Število podano za znakom  $<$  je spodnja meja aktivnosti, ki jo lahko določimo za dani izotop in se nanaša na interval zaupanja z 68% zanesljivostjo. Aktivnosti navedene v poročilu v poglavju 8 se nanašajo le na izmerjeni vzorec in ne na celotni vzorčeni material. Podrobnejša pojasnila k zapisom rezultatov meritev so navedena v poglavju 8.1.

Za vsako vrsto vzorca smo v tem poročilu izračunali povprečno letno vrednost koncentracije aktivnosti ali specifične aktivnosti in njeno negotovost, ki ju kasneje upoštevamo v izračunu doz prebivalcev. Izračun povprečij ZVD poteka po internem navodilu [27] oziroma na naslednji način:

- neizmerjena vrednost v danem obdobju k povprečju prispeva vrednost 0;
- poročana spodnja meja detekcije k povprečju prispeva polovico njene vrednosti, če je vsaj ena meritev v letu bila poročana nad mejo detekcije;
- poročana spodnja meja detekcije k povprečju prispeva vrednost 0, če v letu ni bila poročana nobena vrednost nad mejo detekcije.

Izračun povprečij IJS se izvede tako, da se v tabelah upošteva izmerjena vrednost, kjer pa je poročana meja detekcije, se k povprečju upošteva 1/4 meje detekcije kot predpostavljena vrednost. Te vrednosti IJS ne podaja s pripadajočo negotovostjo. Zaradi tega tudi negotovosti aritmetičnega povprečja za izbrano leto ne podaja z apriorno negotovostjo, temveč z aposteriorno negotovostjo (t.j. upošteva stresanje vrednosti).

Negotovosti posameznih meritev ZVD so podane v tabelah v poglavju 8. K negotovosti izračunanega povprečja koncentracij aktivnosti vzorca prispevajo tako *a prióri*

negotovosti posameznih meritev  $\sigma_{x_i}$  (enačba 2.1) kot *a posteriori* negotovost zaradi stresanja vrednosti oziroma standardna deviacija posameznih meritev od povprečne vrednosti  $\sigma_{stdev}$  (enačba 2.2), kot je prikazano v spodnjih enačbah.

$$\bar{\sigma} = \sqrt{\sum_{i=1}^n \frac{\sigma_{x_i}}{n}} \quad (2.1)$$

$$\sigma_{stdev} = \sqrt{\sum_{i=1}^n \frac{(\bar{x} - x_i)^2}{n-1}} \quad (2.2)$$

$$\sigma_{\bar{x}} = \sqrt{\sigma_{stdev}^2 + \bar{\sigma}^2} \quad (2.3)$$

kjer je  $\sigma_{\bar{x}}$  negotovost povprečne vrednosti. To pomeni, da bo, na primer, pri izmerjenih vzorcih, ki imajo velik razpon vrednosti prevladovala negotovost zaradi velike standardne deviacije od povprečja, pri vzorcih s konstantnimi vrednostmi pa negotovost zaradi negotovosti posamičnih meritev. Zato se je v primeru velikih negotovosti za povprečne vrednosti koncentracij aktivnosti vzorcev v tem poročilu potrebno zavedati, da te v večini primerov niso posledica merske negotovosti, ampak predvsem širokega razpona aktivnosti v posameznih vzorcih iste vrste.

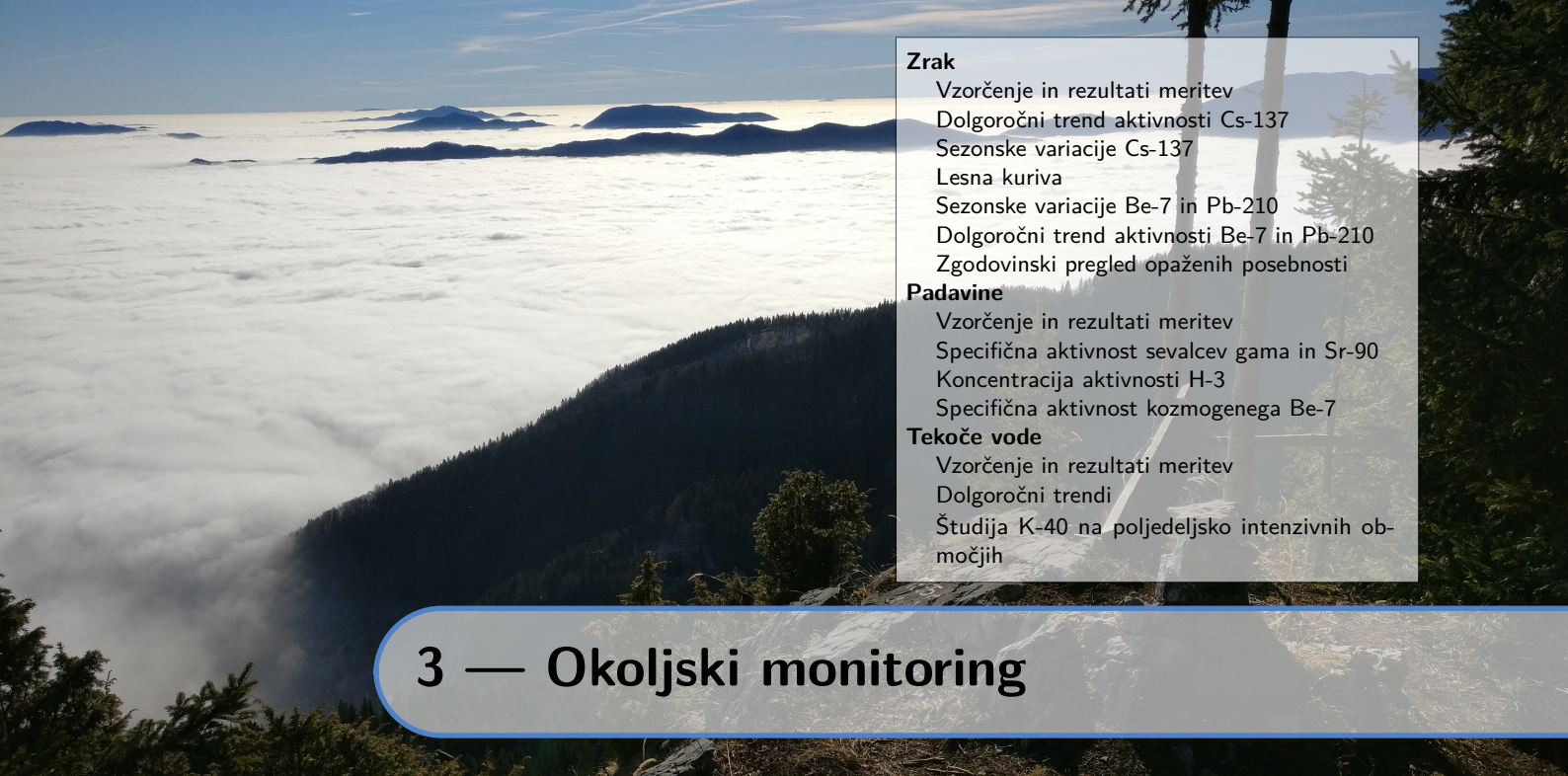
## 2.6 Orientacijske vrednosti meje detekcije

V spodnji tabeli 2.3 so prikazane orientacijske vrednosti meje detekcije za različne vzorce in radionuklide za metodo visoko ločljivostne spektrometrije gama.

**Tabela 2.3 |** Orientacijske vrednosti meje detekcije za različne vzorce in radionuklide

Vrsta vzorca	zemlja	voda	sediment	zrak
Količina vzorca	1 kg	0,02 m <sup>3</sup>	1 kg	10000 m <sup>3</sup>
Trajanje meritve	1 dan	1 dan	2 dni	1 dan
Spodnja meja detekcije				
Radionuklid	Bq/kg	Bq/m <sup>3</sup>	Bq/kg	$\mu$ Bq/m <sup>3</sup>
K-40	0,9	18	0,7	35
Co-60	0,1	4,1	0,8	54
I-131	0,089	3,2	0,7	43
Cs-134	0,096	3,6	0,8	51
Cs-137	0,1	3,8	0,8	54
Pb-210	1,1	13	0,7	26
Ra-228	0,5	7,0	0,4	14
Th-228	0,2	4,0	0,2	8,0
Ra-226	0,3	2,3	0,2	4,5
U-238	0,8	12	0,6	23
Am-241	0,15	3,5	1,0	51





## Zrak

Vzorčenje in rezultati meritev  
Dolgoročni trend aktivnosti Cs-137  
Sezonske variacije Cs-137  
Lesna kuriva  
Sezonske variacije Be-7 in Pb-210  
Dolgoročni trend aktivnosti Be-7 in Pb-210  
Zgodovinski pregled opaženih posebnosti

## Padavine

Vzorčenje in rezultati meritev  
Specifična aktivnost sevalcev gama in Sr-90  
Koncentracija aktivnosti H-3  
Specifična aktivnost kozmogenega Be-7

## Tekoče vode

Vzorčenje in rezultati meritev  
Dolgoročni trendi  
Študija K-40 na poljedeljsko intenzivnih območjih

# 3 — Okoljski monitoring

## 3.1 Zrak

### 3.1.1 Vzorčenje in rezultati meritev

Meritve so se v letu 2022 izvajale na lokacijah Ljubljana<sup>1</sup>, Predmeja<sup>2</sup> in Murska Sobota<sup>3</sup>. Lokacije so označene na zemljevidu na sliki 3.1.

Zrak se kontinuirano vzorči, analize sevalcev gama sestavljenih vzorcev pa se opravljajo mesečno. Kapacitete zračnih črpalk so  $180 \text{ m}^3/\text{h}$  v Ljubljani,  $60 \text{ m}^3/\text{h}$  na Predmeji<sup>4</sup> in  $60 \text{ m}^3/\text{h}$  v Murski Soboti. Rezultati so podani v poglavju 8 v tabelah 8.1, 8.4 in 8.5.

#### Umetni radionuklidi

Celoletna letna povprečna vrednost koncentracije aktivnosti Cs-137 na lokaciji vzorčenja v Ljubljani je bila  $1,0 \pm 0,1 \mu\text{Bq}/\text{m}^3$ , na lokaciji vzorčenja v Murski Soboti  $0,9 \pm 0,5 \mu\text{Bq}/\text{m}^3$  in na lokaciji vzorčenja na Predmeji  $0,6 \pm 0,3 \mu\text{Bq}/\text{m}^3$ .

#### Naravni radionuklidi

Poleg umetnih radionuklidov so v vzorcih zraka opazni tudi naravnih radionuklidov (k dozi največ prispeva Pb-210) in kozmogeni Be-7. Povprečna letna vrednost koncentracije aktivnosti je bila:

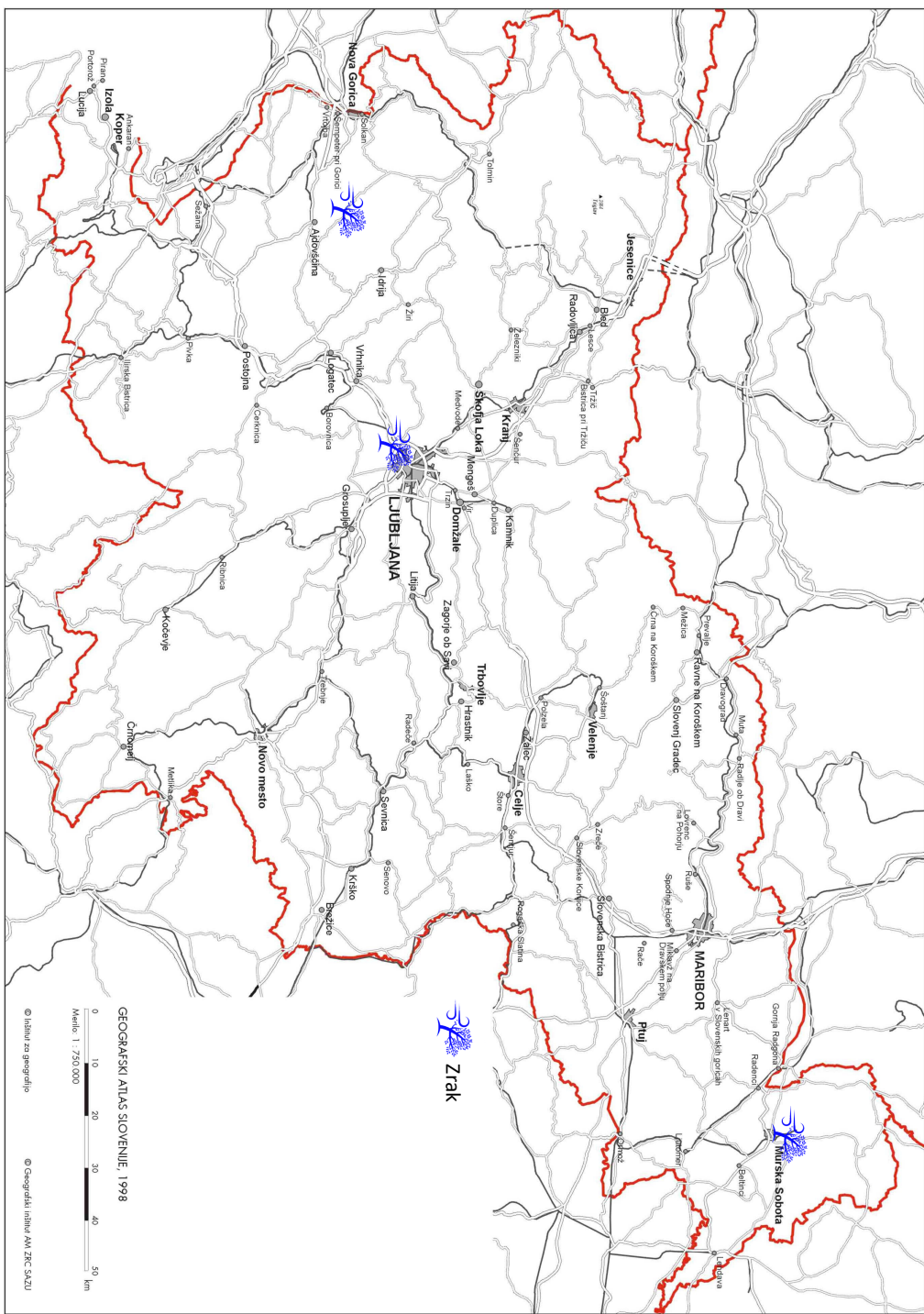
- v Ljubljani za Be-7  $4,3 \pm 0,1 \text{ mBq}/\text{m}^3$  oziroma za Pb-210  $0,83 \pm 0,05 \text{ mBq}/\text{m}^3$ ,
- v Murski Soboti za Be-7  $3,6 \pm 1,8 \text{ mBq}/\text{m}^3$  oziroma za Pb-210  $1,3 \pm 1,2 \text{ mBq}/\text{m}^3$  in
- na Predmeji za Be-7  $3,1 \pm 1,1 \text{ mBq}/\text{m}^3$  oziroma za Pb-210  $0,34 \pm 0,12 \text{ mBq}/\text{m}^3$ .

<sup>1</sup>Od avgusta 2009 se vzorčenje v Ljubljani namesto na lokaciji Reaktorskega centra Podgorica izvaja na lokaciji IJS na Jamovi cesti

<sup>2</sup>V decembru 2021 sta bila zamenjana zračna črpalka (s 6-krat večjo zmogljivostjo kot stara) in plinomer, ki je bil okvarjen in posledično zaznaval manjše prečrpane volumne od realnih, zato so tudi izračuni koncentracij aktivnosti radionuklidov v zraku za leto 2021 za lokacijo Predmeja napačni.

<sup>3</sup>Namesto lokacije na Jareninskem vrhu pri Mariboru od leta 2018 dalje poteka vzorčenje zraka v Murski Soboti (Rakičan).

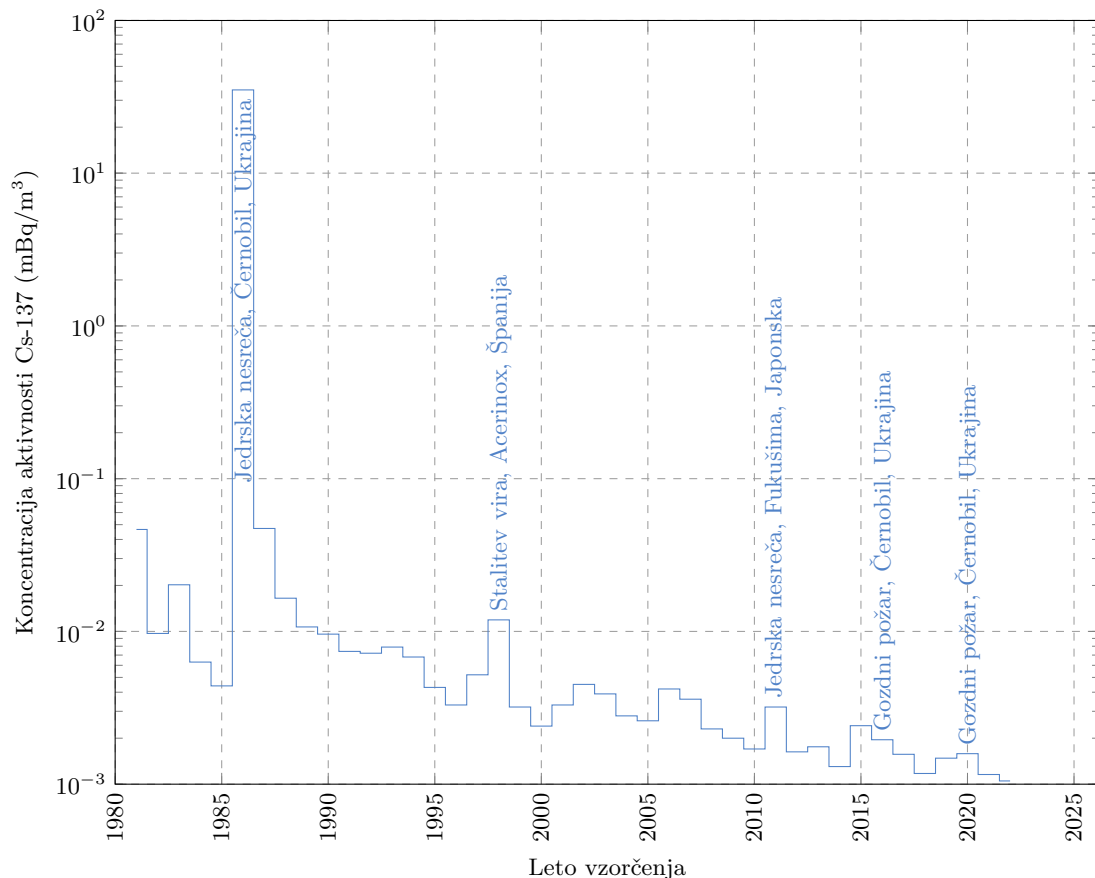
<sup>4</sup>od konca leta 2021 dalje, prej  $10 \text{ m}^3/\text{h}$



Slika 3.1 | Lokacije vzorčenja vzorcev zraka.

### 3.1.2 Dolgoročni trend aktivnosti Cs-137

Na spodnji sliki 3.2 so prikazane povprečne mesečne koncentracije aktivnosti za Cs-137 za Ljubljano za obdobje od leta 1981 dalje.



**Slika 3.2 |** Letna povprečja koncentracij aktivnosti Cs-137 v zraku na lokaciji Ljubljana od leta 1981 dalje

Mesečne koncentracije Cs-137 po letu 1986, ko so bile najvišje zaradi černobilske nesreče, padajo. Povprečne letne koncentracije Cs-137 v zraku v Ljubljani se po letu 2000 gibljejo v območju vrednosti 1–5  $\mu\text{Bq}/\text{m}^3$  in kažejo rahel trend padanja.

Letno povprečje mesečnih koncentracij Cs-137 v letu 2022 je na nivoju vrednosti letnih povprečij v preteklih letih (z izjemo 2011 zaradi nesreče v Fukushimi).

#### Zgodovinski pregled odstopanja koncentracij Cs-137

Edino povišanje po černobilski nesreči leta 1986 je bilo vidno leta 1998, v času nezgode v jeklarni Acerinox v Španiji (Algeciras), kjer so stalili radioaktivni vir Cs-137, zaradi česar so bile izmerjene vrednosti okoli 10  $\mu\text{Bq}/\text{m}^3$  [28], ter prvih nekaj mesecev po nesreči v jedrski elektrarni v Fukušimi na Japonskem marca 2011. Zaradi velike oddaljenosti in posledične razredčitve vpliv nesreče v Sloveniji ni bil močno opazen, povišane vrednosti za velikostni red od siceršnjih vrednosti so bile opazne le v prvih dveh mesecih po nesreči. Julija 2016 je prišlo do gozdnega požara v černobilski izključitveni coni oziroma v t.i. rdečem gozdu [29]. Požar je bil pogašen v enem dnevu, bistvenih vplivov na Evropo ni bilo, z meritvami nismo zaznali nikakršnega odstopanja. V letu 2020 je ponovno prišlo do požara v izključitveni coni (glej sliko 3.4 [30]), in sicer naj bi se začel 4. aprila 2020

[31]. Obseg požara je bil večji kot leta 2016 (glej sliko 3.5 [32]) in je trajal dlje, kjer je bil v večini pogašen šele v naslednjih dveh tednih.

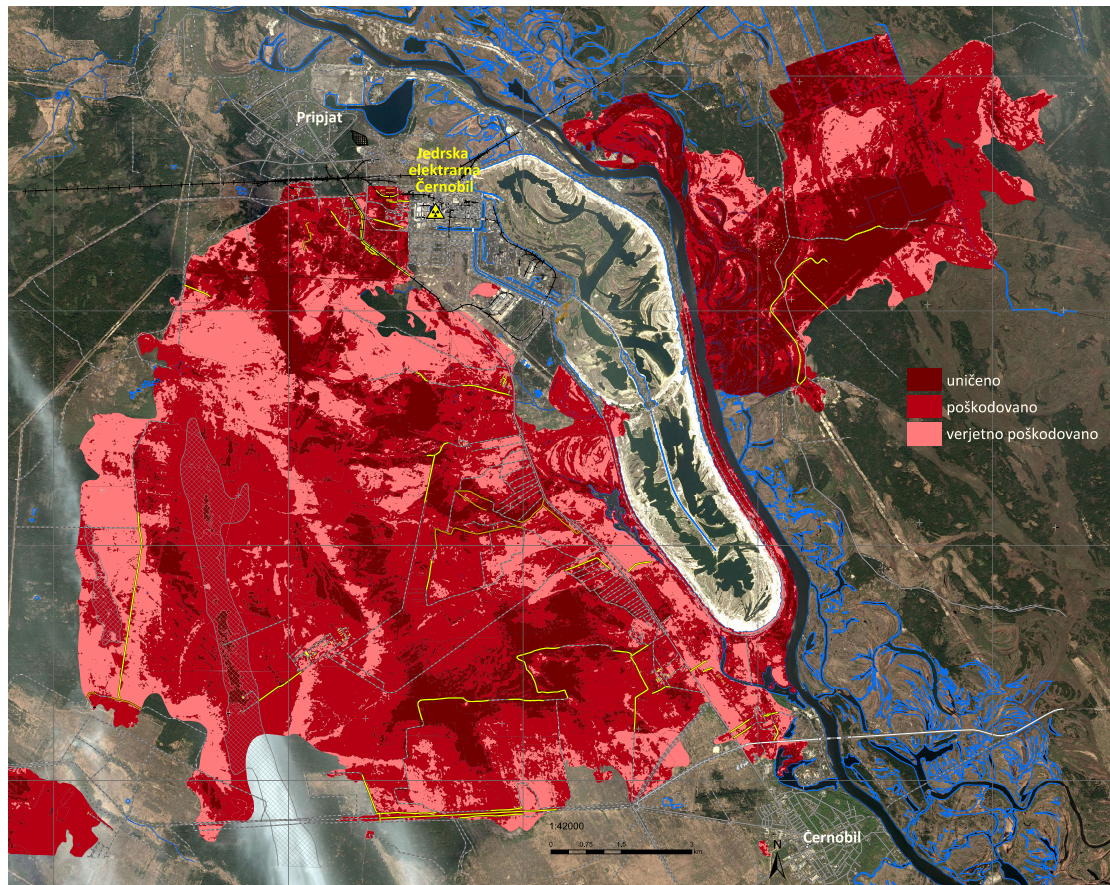


**Slika 3.3 | Slika po jedrske nesreči v Fukušimi (marec 2011)**



**Slika 3.4 | Slika požara iz letala (april 2020)**

V tabeli 8.2 na strani 135 so predstavljene podrobnejše meritve na lokaciji Ljubljana



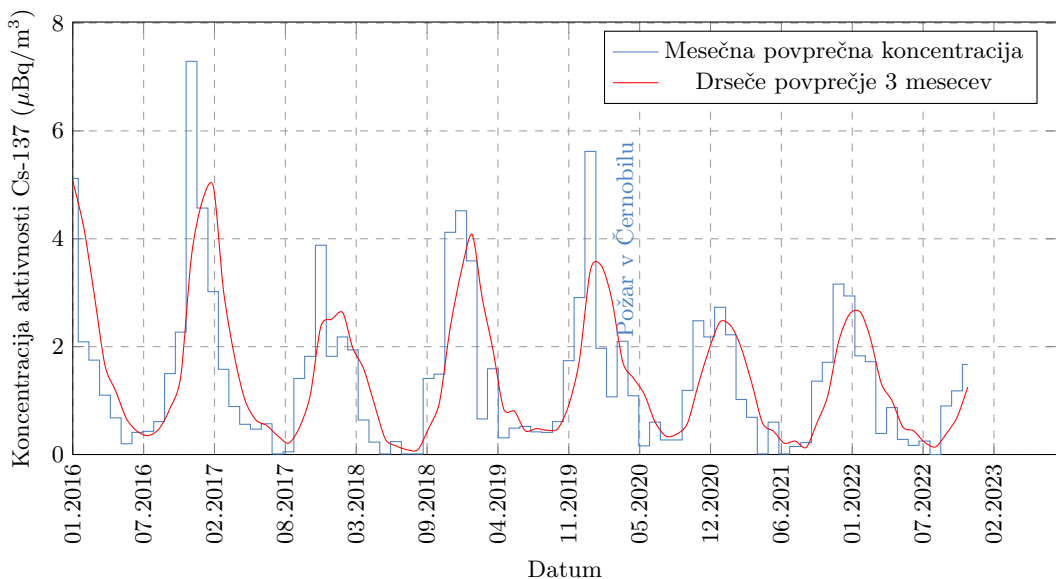
**Slika 3.5 | Obseg in posledice požara v okolici Černobila**

v času med in po jedrski nesreči v Fukušimi leta 2011. V prvi polovici marca 2011 je bila izmerjena koncentracija aktivnosti Cs-137 na nivoju preteklih mesecev oziroma sezonskega povprečja –  $1,7 \pm 0,1 \mu\text{Bq}/\text{m}^3$  –, v drugi polovici marca oziroma v aprilu 2011 pa že povišana, in sicer  $12 \pm 1 \mu\text{Bq}/\text{m}^3$  oziroma  $16 \pm 1 \mu\text{Bq}/\text{m}^3$ . Zaznana sta bila tudi izotopa I-131 in Cs-134. V juniju 2011 so bile nato koncentracije praktično že na nivoju sezonskega povprečja. Iz meritev lahko sklepamo, da je vpliv jedrske nesreče v Sloveniji sicer bil močno zaznan, ni pa imel bistvenega učinka na prejete doze, saj je dodaten prispevek na letni ravni praktično zanemarljiv.

V tabeli 8.3 na strani 136 so predstavljene podrobnejše meritve na lokaciji Ljubljana v času med in po černobilskem požaru 2020. V prvi oziroma drugi polovici aprila 2020 sta bila izmerjeni koncentraciji aktivnosti Cs-137  $2,7 \pm 0,3 \mu\text{Bq}/\text{m}^3$  oziroma  $1,6 \pm 0,3 \mu\text{Bq}/\text{m}^3$ , ki sta višji kot meseca marca ( $1,1 \pm 0,2 \mu\text{Bq}/\text{m}^3$ ) in maja (prav tako  $1,1 \pm 0,2 \mu\text{Bq}/\text{m}^3$ ). Iz meritev lahko sklepamo, da je vpliv požara v Sloveniji sicer bil zaznan, ni pa imel bistvenega učinka na prejete doze, saj je dodaten prispevek na letni ravni praktično zanemarljiv.

### 3.1.3 Sezonske variacije Cs-137

Pri meritvah mesečnih koncentracij Cs-137 v zraku opažamo redne sezonske variacije, kjer so koncentracije povišane v hladnih in nizkih toplejših mesecih, kot je za mesečne izmerke v Ljubljani prikazano za zadnjih nekaj let na sliki 3.6. Na lokaciji Ljubljana je zelo zmogljiva zračna črpalka, zato so meje detekcije zelo nizke in koncentracije natančno določene tudi v poletnih mesecih.



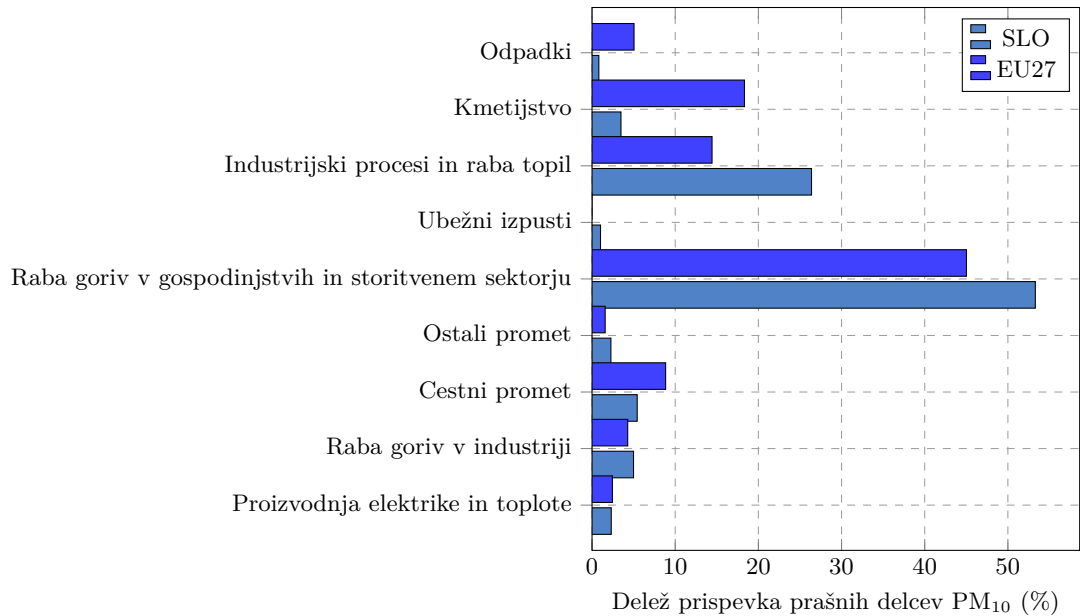
**Slika 3.6 |** Sezonske variacije koncentracij Cs-137 v zraku v Ljubljani.

Sezonske variacije že več let povezujemo z uporabo lesnih kuriv. Nekatera tuja literatura namreč navaja pojav izmerkov povišane koncentracije Cs-137, ki so bile do tedaj pod mejami detekcije, kar pripisujejo povišani uporabi drv in lesne biomase (peleti, briketi), ki vsebujejo višje aktivnosti Cs-137 zaradi kontaminacije po černobilski nesreči [33]. V literaturi [33–38] je moč najti potrditve, da zaradi prenosnih mehanizmov prihaja do akumulacije Cs-137 v drevesih, posebej so povišane vrednosti v lubju. Na podlagi predpostavk in ugotovitev v teh znanstvenih člankih smo potrdili, da je takšen pojav viden tudi v Sloveniji, kjer bi lahko znaten vir Cs-137 v zraku prispeval ravno uporaba biomase. V preteklih letih smo z analizami ugotovili korelacijo aktivnosti Cs-137 z nizkimi temperaturami in koncentracijo prašnih delcev PM<sub>10</sub> (velikosti delcev z aerodinamičnim premerom pod 10 µm) [39–41]. Tako na izmerjenih podatkih povprečnih mesečnih koncentracij Cs-137 na filtrihi vzorčevalnih črpalk na lokaciji v Ljubljani, kjer je kapaciteta zračne črpalke največja in s tem zanesljivost merskih podatkov velika (meja detekcije je dovolj nizka, da dobimo izmerke tudi v poletnih mesecih), potrdimo, da je uporaba lesne biomase glavni vir Cs-137 v zraku v zimskih mesecih, ne pa resuspenzija Cs-137 iz zemlje, kot se je smatralo pred letom 2013 [42, 43] in ki prispeva glavnino Cs-137 v poletnih mesecih.

#### Prašni delci PM<sub>10</sub>.

Na podlagi rednih meritev Agencija RS za okolje spremlja različne kazalce okolja v Sloveniji, kjer so lahko identificirali različne vire delcev PM<sub>10</sub> [44]. Deleži posameznih prispevkov so prikazani na sliki 3.7, za primerjavo pa so dodani še podatki povprečja vseh držav EU, kjer je razvidno, da k onesnaženju z delci daleč največ prispevajo individualna kurišča (drvna, briketi, peleti) – kategorija "Raba goriv v gospodinjstvih in storitvenem sektorju" –, deloma in v precej manjši meri pa tudi promet, industrija in ponovni dvig ter lebdenje delcev v ozračju.

Iz meritev prašnih delcev PM<sub>10</sub> tipično ugotovimo, da so koncentracije povišane predvsem v hladnejših mesecih [45–54]. To je tudi razvidno na slikah 3.8 in 3.9, kjer primerjamo koncentracije prašnih delcev PM<sub>10</sub> in povprečne mesečne temperature za več



**Slika 3.7 | Različni viri prašnih delcev PM<sub>10</sub> (za obdobje od 2000 do 2020).**

zaporednih let. Tako je med kurihno sezono lepo viden dvig koncentracij PM<sub>10</sub>, v toplih mesecih izven kurihne sezone so koncentracije dokaj stalne zaradi ostalih omenjenih virov PM<sub>10</sub>. Izjeme so lahko meseci, kjer je bil v zraku nad Slovenijo prisoten puščavski pesek iz Afrike [55]: na primer marec in deloma junij 2022, junij 2021, marec 2020, april 2019. Velik vpliv na koncentracijo delcev imajo vremenske razmere in, ker so koncentracije lahko zmanjšane zaradi padavin (izpiranje z dežjem), tako v grafu na slikah 3.8 in 3.9 dodatna barvna oznaka odraža količino padavin v posameznem mesecu.

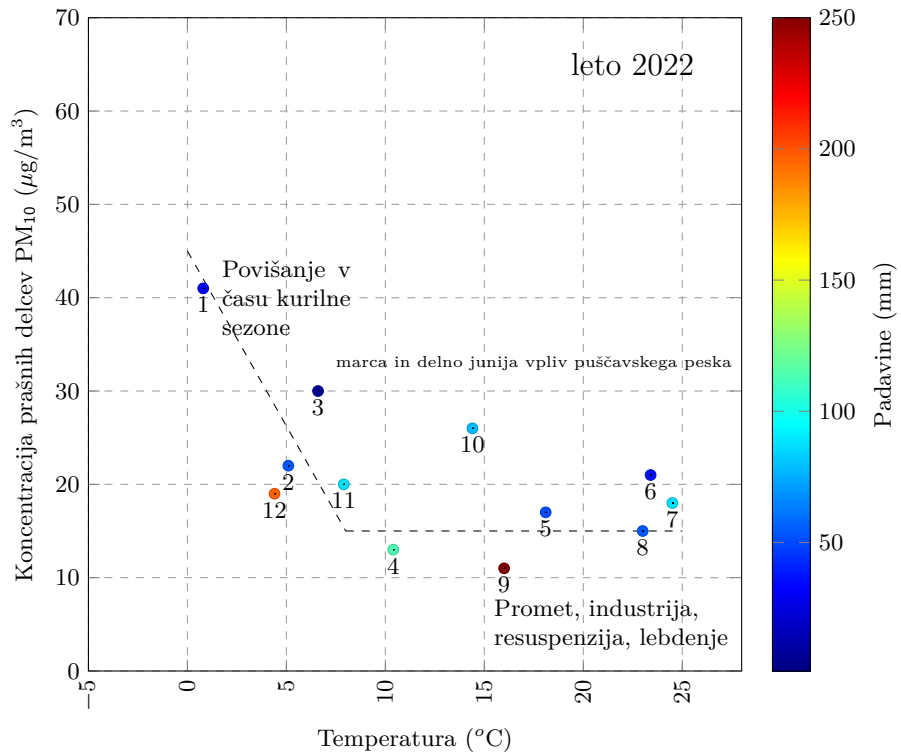
#### **Odvisnost koncentracij aktivnosti od prašnih delcev oziroma temperature.**

Na slikah 3.11 in 3.12 smo primerjali odvisnost izmerjenih aktivnosti nekaterih radionuklidov v zraku (Cs-137, Th-228, Pb-210) od povprečnih mesečnih temperatur oziroma koncentracij prašnih delcev.

Predvsem za koncentracije aktivnosti Cs-137 lahko ugotovimo močno variacijo med oziroma izven kurihne sezone, tj. korelacijo s koncentracijami prašnih delcev oziroma močno antikorelacijo s temperaturo (kot indikator za kurihno sezono) (glej sliko 3.6 v povezavi s slike 3.11). V nekaterih mesecih so možne izjeme, kjer so višje koncentracije posledica drugih vplivov, predvsem občasno prisotnega oblaka prahu puščavskega peska iz Afrike ali Azije<sup>5</sup>. Korelacija je precej manj izrazita za naravni radionuklid Pb-210 ali pa le-ta sploh ni prisotna za izotop Th-228, kot je razvidno na sliki 3.12. Iz zgornjih ugotovitev izhaja, da je se zaradi uporabe lesnih kuriv s Cs-137 v hladnih mesecih povišajo vrednosti Cs-137 tudi v ozračju. To potrjujejo tudi meritve, kjer so aktivnosti Cs-137 izmerjene v hladnejših mesecih lahko tudi za velikostni red višje od vrednosti v toplejših mesecih, na nekaterih merilnih postajah pa so te velikokrat celo pod mejo detekcije. Ugibamo lahko, da so mehanizmi vezave radionuklidov na aerosole (prašne delce) različni, in sicer se Cs-137 veže močno, Pb-210 manj, medtem ko Th-228 skoraj nič oziroma je le-ta v zraku posledica drugih virov in ne lesnih kuriv.

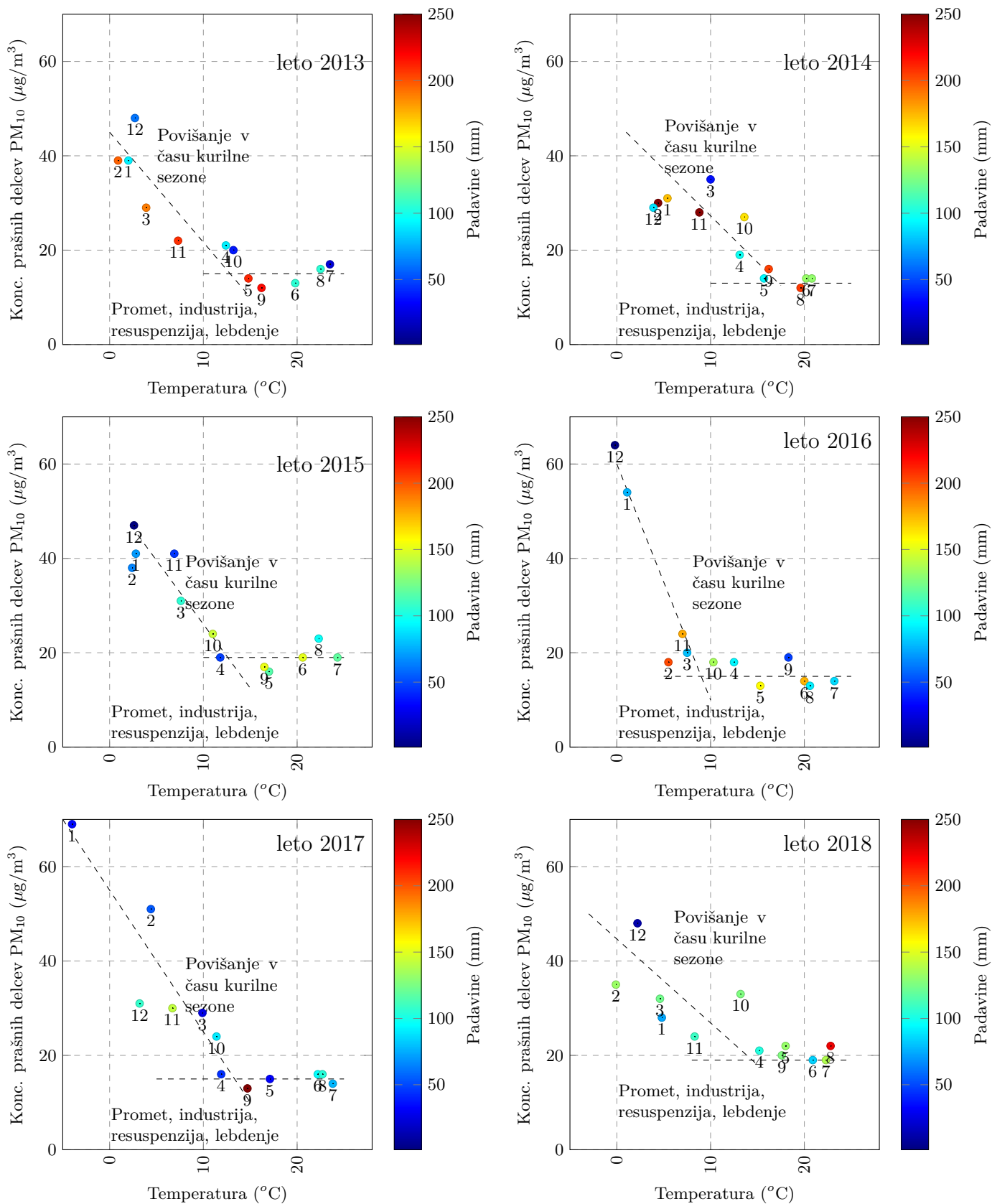
Iz tega lahko zaključimo, da je prispevek k specifični aktivnosti Cs-137 v zraku v

<sup>5</sup>npr. marec/april 2018, april 2019, marec 2020, februar, junij/julij 2021

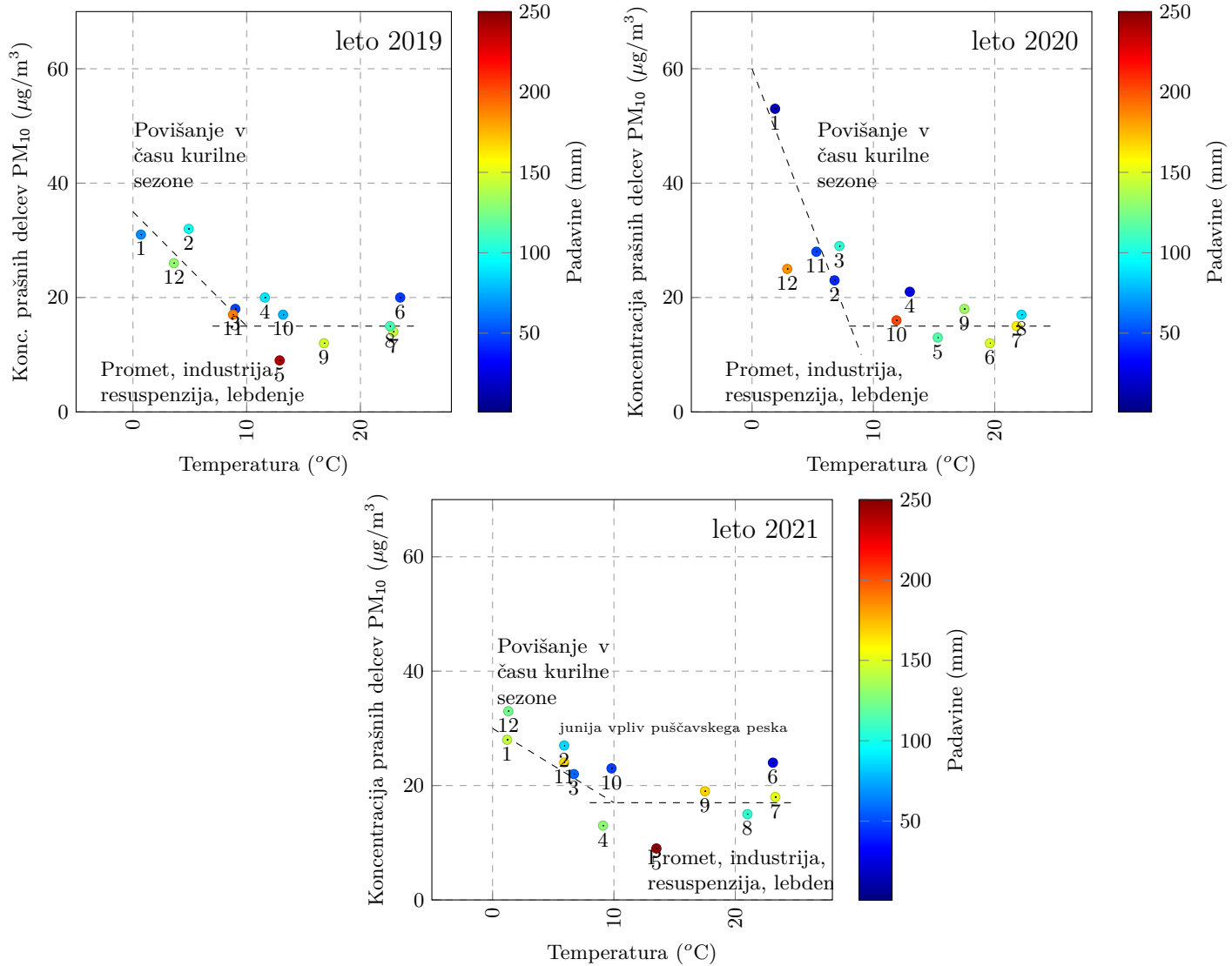


**Slika 3.8 |** Temperaturna korelacija prašnih delcev PM<sub>10</sub> za preteklo leto na lokaciji v Ljubljani – oznake ob merskih točkah predstavljajo mesec meritve, barvna oznaka pa količino padavin.

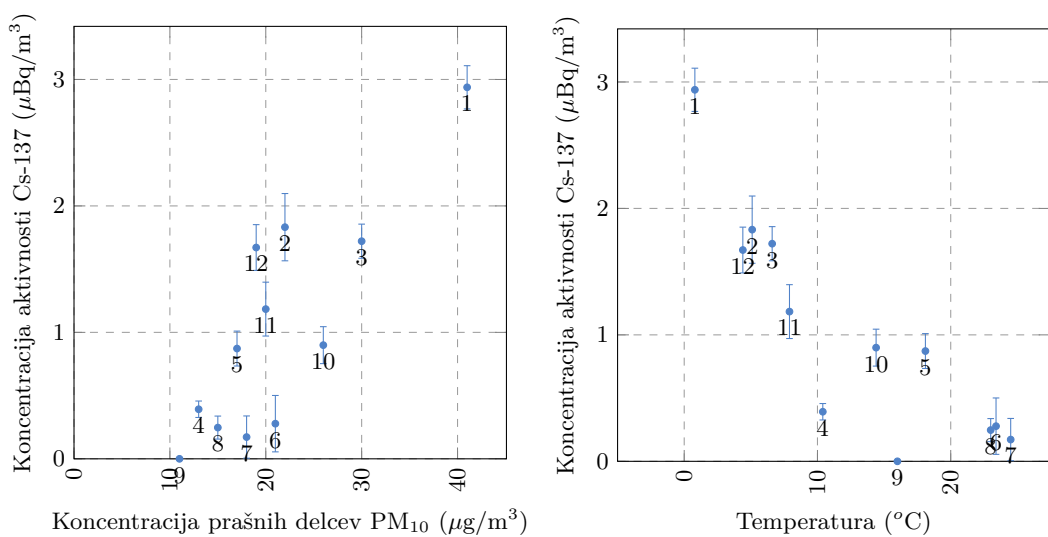
hladnih mesecih v veliki meri posledica uporabe trdih goriv (predvsem lesa, briketov in peletov). V toplih mesecih pa je prispevek manj izrazit in je najverjetneje posledica več faktorjev, v prvi meri zaradi resuspenzije iz tal in lebdenja delcev v ozračju ter v manjši meri zaradi prometa in industrije.



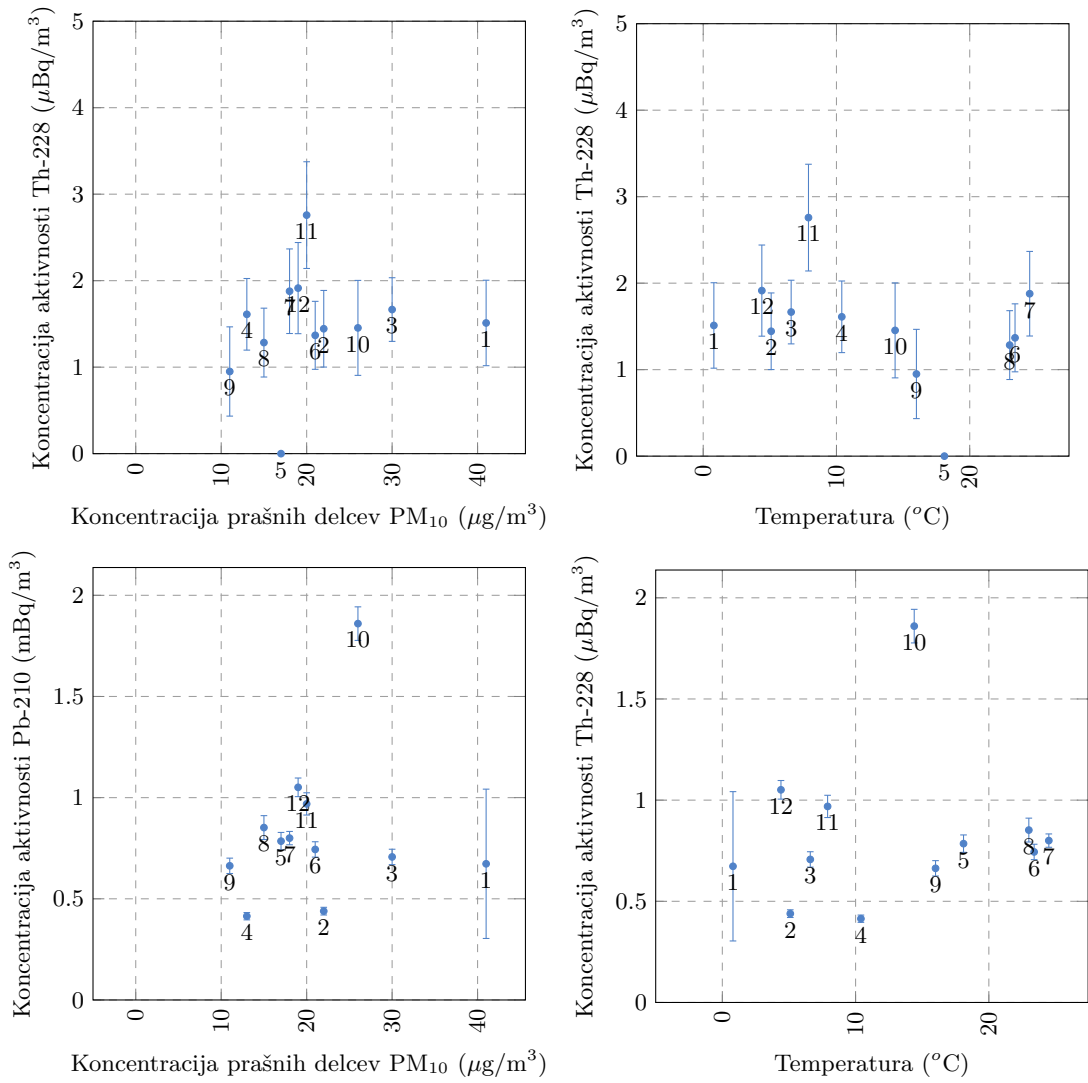
Slika 3.9 | Zgodovinski pregled temperaturne korelacije prašnih delcev  $\text{PM}_{10}$  na lokaciji v Ljubljani.



**Slika 3.10 |** Zgodovinski pregled temperaturne korelacije pršilnih delcev  $\text{PM}_{10}$  na lokaciji v Ljubljani - nadaljevanje.



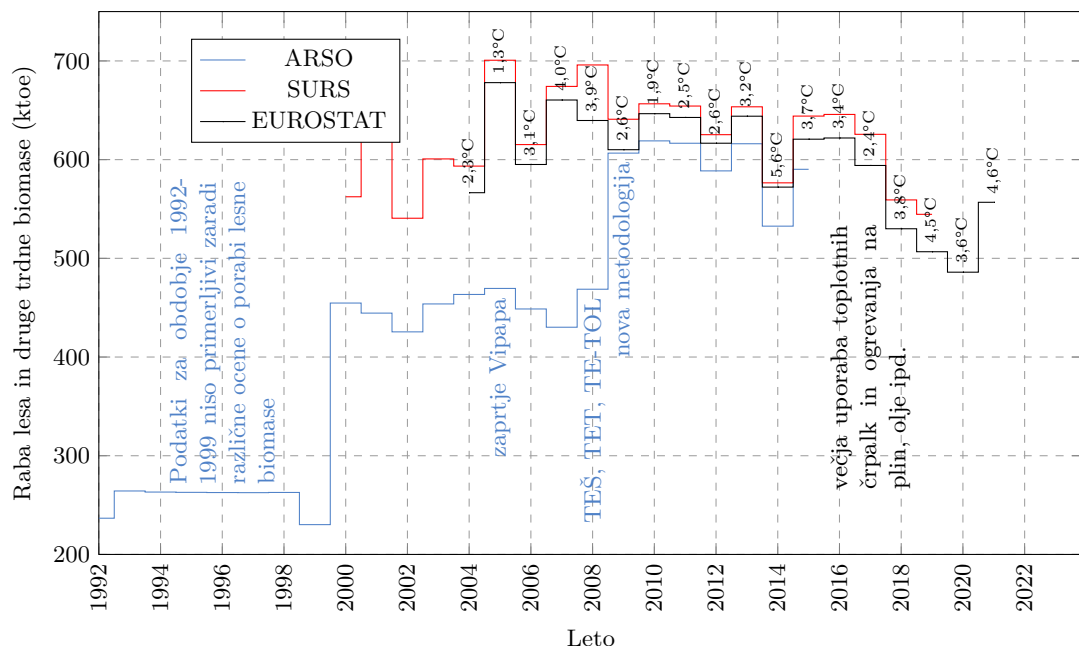
**Slika 3.11 |** Sezonske korelacije med aktivnostjo Cs-137 v zraku in koncentracijo prašnih delcev PM<sub>10</sub> oziroma temperaturo na lokaciji Ljubljana.



**Slika 3.12 |** Sezonske korelacije med aktivnostjo naravnih radionuklidov, Th-228 in Pb-210, v zraku in koncentracijo prašnih delcev PM<sub>10</sub> oziroma temperaturo v letu 2022 na lokaciji Ljubljana.

### 3.1.4 Lesna kuriva

Visoka rabe lesne biomase v Sloveniji je glede na veliko pokritost z gozdovi pričakovana in smotrna. Poleg lesa trdna biomasa zajema tudi kostno moko in maščobe, papirni mulj ter lužnico, ki se uporablja v industriji. Les je leta 2011 predstavljal 98 % rabe trdne biomase. Variacija po letih je lahko odvisna od različnih faktorjev, največkrat hladnejših ali toplejših zim, industrijske proizvodnje ali tudi zaradi zamenjave starih kotlov na lesno biomaso z novejšimi učinkovitejšimi in zaradi energetske obnove stavb. Na sliki 3.13 so predstavljeni podatki, ki jih je zbiral ARSO [56], SURS [57] in EUROSTAT [58]. Pri vsakem letu je zapisna tudi povprečna temperatura v kurilni sezoni (meseci januar, februar, november in december).



**Slika 3.13 |** Raba obnovljivih virov energije - les in druga trdna biomasa (ARSO) oziroma OVE za ogrevanje (EUROSTAT). Pri vsakem letu je zapisna povprečna zimska temperatura (v času kurilne sezone – januar-februar, november-december)

### Podatki ARSO in SURS

Po podatkih ARSO se največ trdne biomase porabi v gospodinjstvih (leta 2011 415 ktoe<sup>6</sup>), sledita industrija s 50 ktoe in pridobivanje energije s 46 ktoe, poraba je po letih prikazana na sliki 3.13 [56]. Leta 2009 se je raba v gospodinjstvih navidezno močno povečala glede na predhodna leta. Povečanje je zlasti posledica izboljšanja metodologije spremjanja rabe lesne biomase v gospodinjstvih. Preračuni za nazaj niso bili narejeni. V obdobju 2002-2008 je bila raba konstanta, leta 2009 pa se je na podlagi rezultatov ankete o porabi energije v gospodinjstvih izdelal model, s katerim se vsako leto oceni raba lesne biomase [56]. V industriji se je raba biomase po letih rasti od leta 2005 zmanjševala. Glavni vzrok je zaprtje proizvodnje celuloze v podjetju Vipap. Leta 2011 je bila za 23 % nižja kot leta 2000. Raba v transformacijah je bila leta 2011 za 94 % višja kot leta 2000. Znatno se je povečala leta 2008, ko so začele les uporabljati tudi velike termoelektrarne TEŠ, TET in TE-TOL. V letih 2009-2013 je les od velikih TE uporabljala le TE-TOL.

<sup>6</sup>kilotonne of oil equivalent

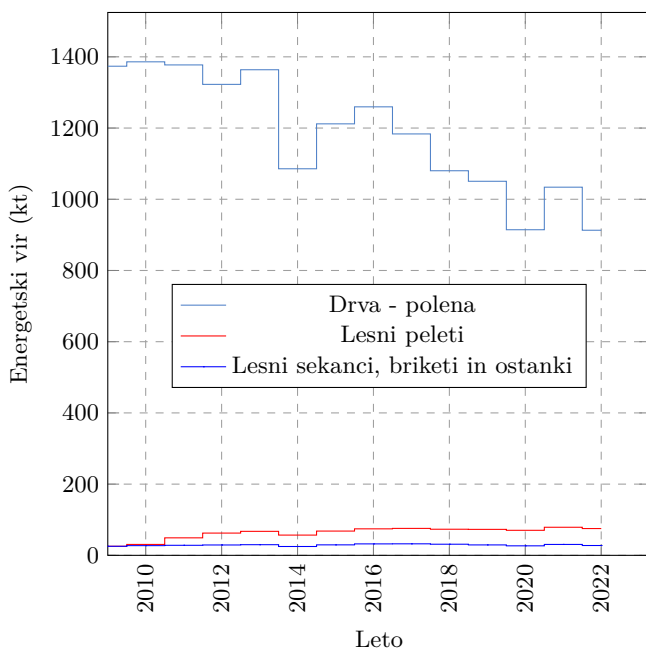
Narašča tudi poraba lesa v daljinskem ogrevanju, saj se povečuje število manjših sistemov na lesno biomaso [59]. Od leta 2015 naprej ni mogoče več najti podatkov ARSO o porabi lesnih kuriv in druge trdne biomase. V letu 2022 so kazalci rabe lesa in druge trdne biomase na spletni strani ARSO posodobljeni s sklicem na podatke SURS [57], vendar podrobnejša metodologija ni posodobljena oziroma pojasnjena. Glede na vrednosti pa so to najverjetneje podatki, ki so posredovani v EUROSTAT, kot je opisano v nadaljevanju.

### Podatki EUROSTAT

V zbirnih tabelah SHARES [58]<sup>7</sup> so podrobnejši podatki o uporabi obnovljivih virov energije za ogrevanje, ki jih zbira EUROSTAT. Podatki so na voljo od vstopa Slovenije v EU, torej od 2004, in so prikazani na sliki 3.13, kjer je bila poraba v letih do 2016 dokaj stalna z nekaterimi variacijami, od leta 2016 pa je viden trend upadanja. Manjšanje uporabe gre na račun večjega deleža ogrevanja s pomočjo toplotnih črpalk in ogrevanja na plin, olje ipd., deloma pa lahko vpliva tudi prenova hiš in posledično manjše toplotne izgube.

### Podatki SURS

Statistični urad RS spremišča končno porabo energije v gospodinjstvih po vrsti energetskega vira (naravne enote) od leta 2009 dalje [60]. Poraba lesnih kuriv je določena na podlagi zbranih podatkov SURS in s pomočjo preračuna Instituta "Jožef Stefan" – Center za energetska učinkovitost (IJS-CEU) in je prikazana na sliki 3.14 [60]. Iz slike je razviden izrazit trend naraščanja uporabe lesnih peletov, sekancev, briketov in ostankov, uporaba drv oziroma polen pa rahlo upada, po letih pa odraža hladnejše ali toplejše zime (npr. izrazit minimum v letu 2014).



**Slika 3.14** | Končna poraba energije lesnih kuriv v gospodinjstvih izračunana s pomočjo modela rabe energije v gospodinjstvih (IJS-CEU). Vrednosti za leto 2022 so ocenjene z linearno ekstrapolacijo trenda preteklih 5 let.

<sup>7</sup>v letu 2019 je bil po posodobljeni metodologiji in/ali podatkih narejen preračun za vsa leta nazaj do 2004

### Meritve in analiza koncentracij aktivnosti

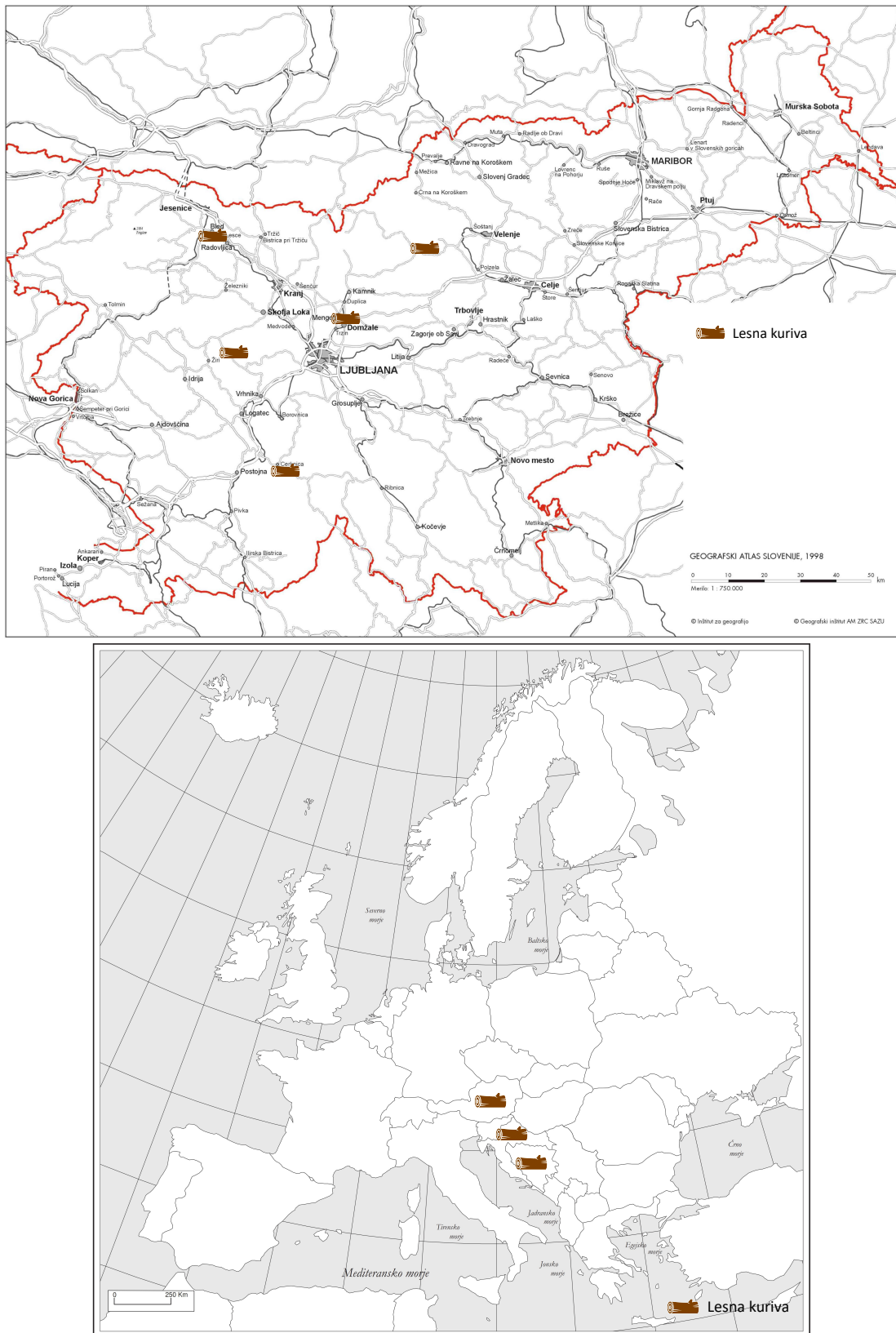
V preteklem letu smo vzorčili in analizirali osem vzorcev lesa oziroma lesnih kuriv:

- 4 vzorcev lesnih peletov in
- 4 vzorcev lesenih drv.

Lokacije vzorčenja domačih peletov oziroma briketov ali iz uvoza (Avstrija, Bosna in Hercegovina, Nemčija, Romunija in Slovenija) so prikazane na zemljevidu na sliki 3.15.

Rezultati meritev so prikazani v poglavju 8 v tabeli 8.6, koncentracije aktivnosti Cs-137 so bile od 0,3 Bq/kg do 1,9 Bq/kg. Povprečna koncentracija aktivnosti Cs-137 v lesnih kurivih je  $1,0 \pm 0,4$  Bq/kg. Za leto 2022 še ni dostopnih podatkov o porabi lesnih kuriv. Povprečje letne porabe v obdobju zadnjih 5 let do vključno leta 2021 znaša 1157 kt (skupaj polen, peletov in sekancev ter briketov), vendar se na sliki 3.14 zadnjih nekaj let kaže trend upadanja porabe. Tako lahko z linearno ekstrapolacijo trenda podatkov preteklih 5 let ocenimo, da je bilo v letu 2022 verjetno porabljenih okrog 1016 kt lesnih kuriv (v oceni ni upoštevana odvisnost od različnih faktorjev, kot na primer od zunanje temperature, toplotnih sanacij stavb, menjave kurišč ipd.). Ob upoštevanju povprečne vrednosti koncentracije aktivnosti Cs-137 v lesnih kurivih je bilo v letu 2022 v zrak izpuščena ocenjena skupna aktivnost 1,0 GBq Cs-137. Če to vrednost primerjamo z izpusti Cs-137 skozi oddušnik Nuklearne elektrarne Krško, ugotovimo, da so te za več velikostnih redov nižje: v letu 2022 je bilo izpuščeno 19 kBq, v letu 2021 je bilo izpuščeno 1,3 MBq, v letu 2020 je bilo izpuščeno 2,0 kBq, v letu 2019 je bilo izpuščeno 870 Bq, v letu 2018 ni bilo izpustov Cs-137, v letu 2017 je bilo izpuščeno 1 kBq Cs-137 in v letu 2016 0,7 MBq Cs-137. Podatki o dejanski, povprečni in napovedani porabi kuriv in posledičnih izpustih Cs-137 so pregledno zbrani v tabeli 3.1.

Iz podatkov o vsebnosti Cs-137 v lesnih kurivih lahko informativno ocenimo koncentracijo aktivnosti Cs-137 v zraku v bližini kurišč (do 500 m). V Sloveniji se približno četrtina (23%) od okrog 825.000 gospodinjstev ogreva z lesno biomaso. Pri zgoraj ocenjeni letni porabi lesne biomase, znaša povprečna letna poraba slovenskega gospodinjstva, ki se ogreva le z lesno biomaso, 5357 kg v letu 2022. Skupna letna izpuščena povprečna aktivnost na gospodinjstvo znaša 5,5 kBq. Ob zelo grobih predpostavkah, da se v okolje izpusti celotna količina Cs-137 pri zgorevanju lesa v peči in če informativno uporabimo arbitrarno vrednost razredčitvenega faktorja na razdalji 500 m  $\chi/Q = 10^{-4}$  s/m<sup>3</sup> (talni izpust) [61] ter upoštevamo konstantni izpust s povprečno hitrostjo izpuščene aktivnosti 1,8 kBq/s (predpostavili smo, da se kuriva skurijo v 4 mesecih), dobimo oceno za koncentracijo aktivnosti Cs-137 v zraku okrog  $0,05 \mu\text{Bq}/\text{m}^3$  v bližini hiše, kjer se za ogrevanje uporablja peč na lesno biomaso. Ta vrednost je nižja od povprečne koncentracije aktivnosti Cs-137,  $1,9 \mu\text{Bq}/\text{m}^3$ , v zraku v Ljubljani za štiri zimske mesece v letu 2022. Če upoštevamo prispevke nekaj gospodinjstev hkrati, pa dobimo že zelo primerljive vrednosti enakega velikostnega reda. Pri tej oceni je veliko neznank in gre za grobo vrednost, v prihodnje bi bilo smiselno uporabiti realne razredčitvene faktorje, reprezentativno porabo lesne biomase, bližina in število kurišč v bližini vzorčevalne postaje ipd., vendar to že presega namen in vsebinski obseg tega poročila.



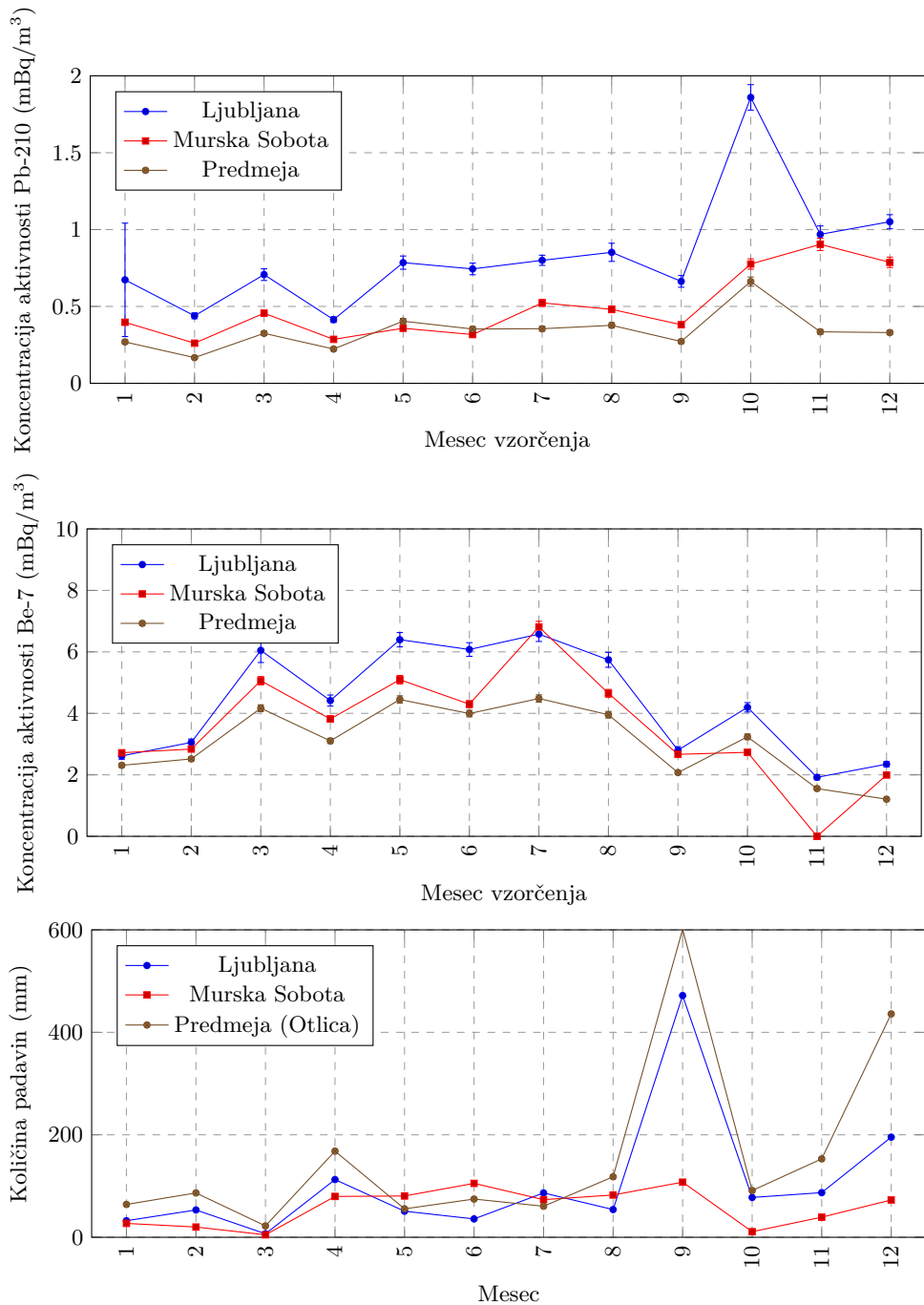
**Slika 3.15 | Lokacije vzorčenja ali lokacija izvora vzorcev lesnih kuriv.**

**Tabela 3.1 | Izpusti Cs-137 v zrak zaradi uporabe lesnih kuriv in primerjava z izpusti NEK**

leto	poraba lesnih kuriv (kt)			izpust Cs-137 v zrak (GBq)		
	dej. poraba	5-letno povp.	napoved	dejanski	napovedani	NEK
2015	1272	1361	1224	-	-	
2016	1249	1344	1200	-	-	$0,7 \cdot 10^{-3}$
2017	1292	1319	1269	-	-	$1,0 \cdot 10^{-6}$
2018	1185	1264	1277	2,4	2,6	0
2019	1153	1261	1269	5,3	5,8	$0,9 \cdot 10^{-6}$
2020	1011	1201	1112	6,4	7,0	$2,0 \cdot 10^{-6}$
2021	1143	1157	947	3,6	3,2	$1,3 \cdot 10^{-3}$
2022	-	-	1016	-	1,0	$1,9 \cdot 10^{-5}$

### 3.1.5 Sezonske variacije Be-7 in Pb-210

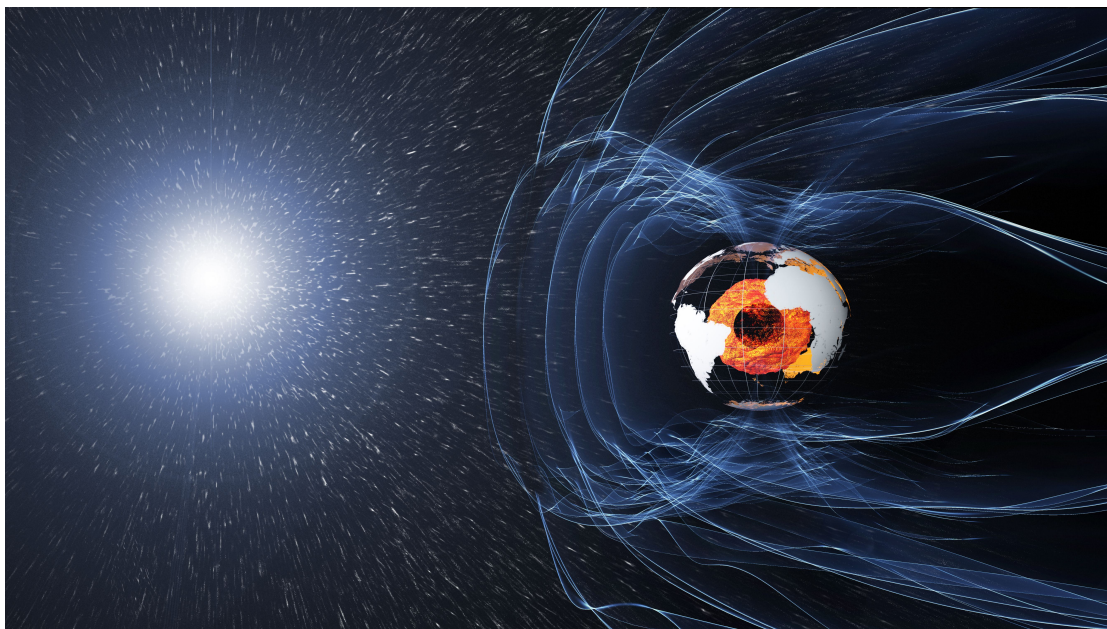
Analizirali smo sezonske variacije koncentracij aktivnosti Be-7 v letu 2022, ki so prikazane na sliki 3.16.



**Slika 3.16 |** Sezonska variacija koncentracij atmosferskega Pb-210 in Be-7 v zraku in padavin na bližnjih lokacijah.

Kozmogeni Be-7 nastaja kot fragmentacijski oziroma spalacijski produkt jader kisika in dušika pri trkih z bodisi visoko energijskimi galaktičnimi kozmičnimi žarki bodisi nizko energijskimi delci solarnega vetra v zemeljski atmosferi, pri čemer je prispevek

slednjih precej manjši. Solarni veter je sestavljen iz protonov in elektronov pospešenih v sončevi koroni ali ob solarnih izbruhih. Večinoma so energije teh delcev prenizke, da bi prispeli v zemljino atmosfero, saj se zaradi Zemljinega magnetnega polja uklanjajo (prikazano na sliki 3.17 [62]). Njihov sicer majhen vpliv je možen le na magnetnih polih, kjer je usmerjenost magnetnih silnic taka, da delci solarnega vetra lahko prodrejo do nižjih nadmorskih višin.



**Slika 3.17 |** S površine Sonca izhaja t.i. solarni veter, ki praktično ne more prodati v zemljino atmosfero (shematski prikaz); slika: ESA/ATG medialab.

Kozmogeni radionuklid Be-7 tako nastaja pretežno v jedrskih reakcijah fragmentacije ob interakcijah z galaktičnimi kozmičnimi žarki v zemeljski atmosferi [63]. Večina Be-7 tako nastane v spodnji stratosferi in nato počasi prehaja navzdol do nadmorskih višin zemeljskega površja, količina nastalega Be-7 je tako močno odvisna od sončeve aktivnosti.

Sezonske variacije koncentracij Be-7 v zraku so povezane z vsaj štirimi faktorji [63–65]:

- hitrost prehajanja zračnih mas med stratosfero (višine do 50-60 km) in troposfero (višine do 8-15 km)
- vertikalno mešanje zračnih mas v troposferi
- prehajanje zračnih mas iz srednjih do visokih nadmorskih višin v troposferi in
- izpiranje atmosferskih aerosolov iz zraka preko padavin.

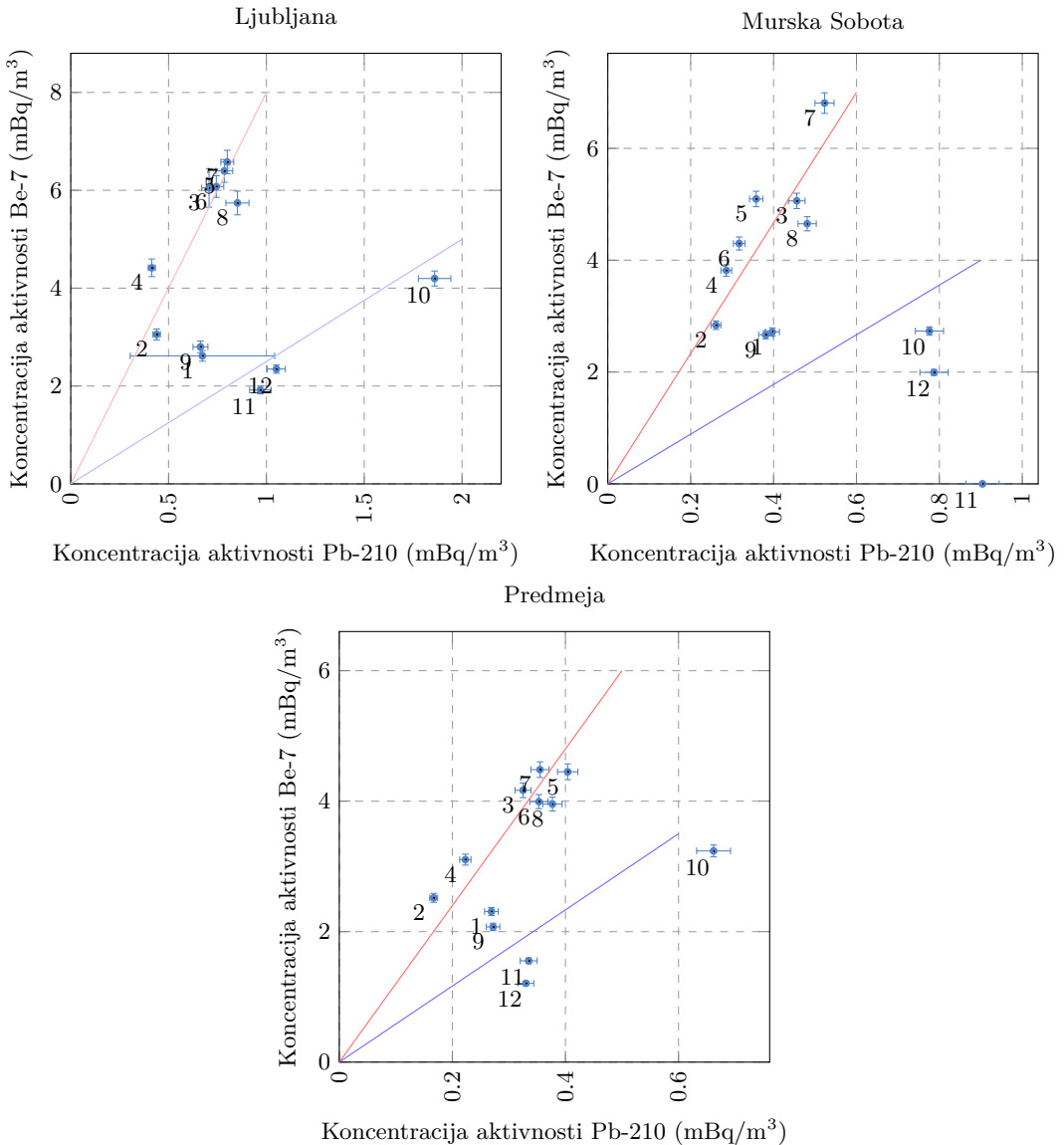
Izpiranje Be-7 s pomočjo padavin je dobro vidno na sliki 3.16, kjer so prikazane mesečne vrednosti aktivnosti Be-7 v zraku, dodatno pa za primerjavo še količina padavin v Ljubljani. Lepo je tudi vidna korelacija med količino padavin in mesečnim usedom Be-7 v padavinah na sliki 3.36 v poglavju 3.2.4.

Poleg izpiranja s padavinami, pa so sezonske variacije v obdobjih, kjer ni zaznanih velikih sprememb v količinah padavin – predvsem hladnejši meseci –, nedvomno povezane s premiki atmosferskih zračnih mas.

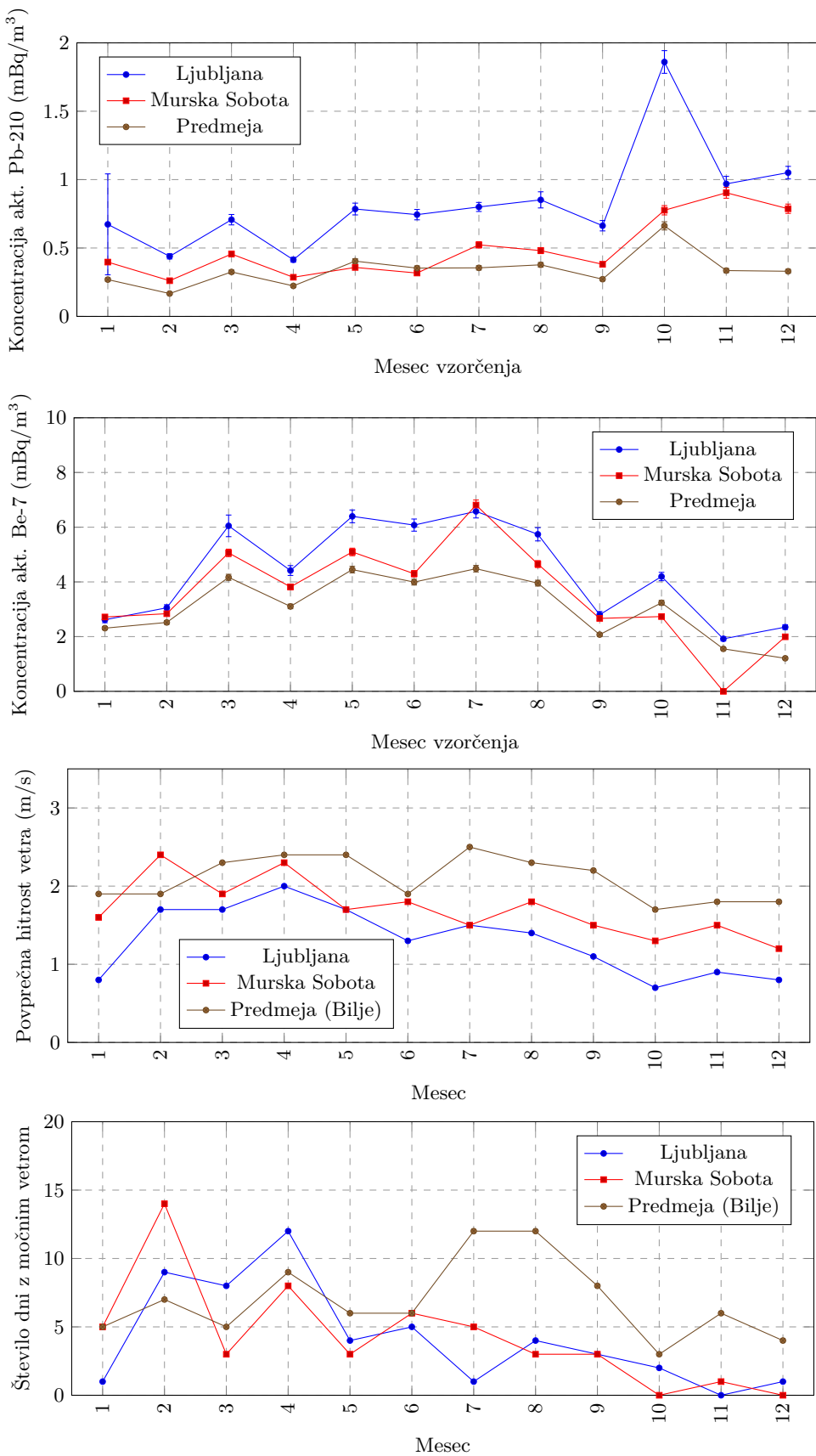
Na sliki 3.16 podrobneje analiziramo sezonske variacije, kjer poleg Be-7 analiziramo tudi koncentracije Pb-210. Oba radionuklida sta v literaturi uporabljeni kot dobra sledilca atmosferskih gibanj zraka, Pb-210 za aerosole v nizkih višinah atmosfere (saj izhaja iz tal), Be-7 pa za aerosole na visokih nadmorskih višinah (nastaja pri interakcijah

z galaktičnimi kozmičnimi žarki). V Sloveniji so koncentracije Pb-210 v zraku višje v zimskih mesecih, predvsem ob nizki vlažnosti, posledično manjših padavinah in majhnim usedom. Ob deževnih mesecih (tipično spomladi in jeseni) se koncentracije Pb-210 v zraku zmanjšajo. Koncentracija Be-7 v zraku najbolj naraste v poletnih mesecih, kjer najverjetneje poletni azorski anticiklon poskrbi za pretakanje zračnih mas iz višjih plasti troposfere oziroma stratosfere v nižje. Na ta način pride do povečanja koncentracij Be-7 na nadmorskih višinah ob zemeljskem površju.

Oba opisana pojava za koncentracije Pb-210 in Be-7 pomenita dvojno korelacijsko funkcijo za zimske in poletne mesece, ki sta lepo opazni na lokacijah Ljubljana in Murska Sobota na sliki 3.18. Odstopanja od te dvojne korelacije so predvsem posledica padavin in vetrovnih razmer z večjim mešanjem zraka. Lokacija v Predmeji je izpostavljena stalnim vetrovom, zato ta dvojna korelacija praktično ni opazna. Vetrovne razmere na lokacijah vzorčenja ali najbližji možni lokaciji so predstavljene na sliki 3.19 za Ljubljano, Mursko Soboto in Bilje pri Novi Gorici (najbližja Predmeji), kjer prikazujemo povprečno hitrost vetra in število dni v mesecu z močnim vetrom (nad 6 bf oziroma nad 11 m/s).



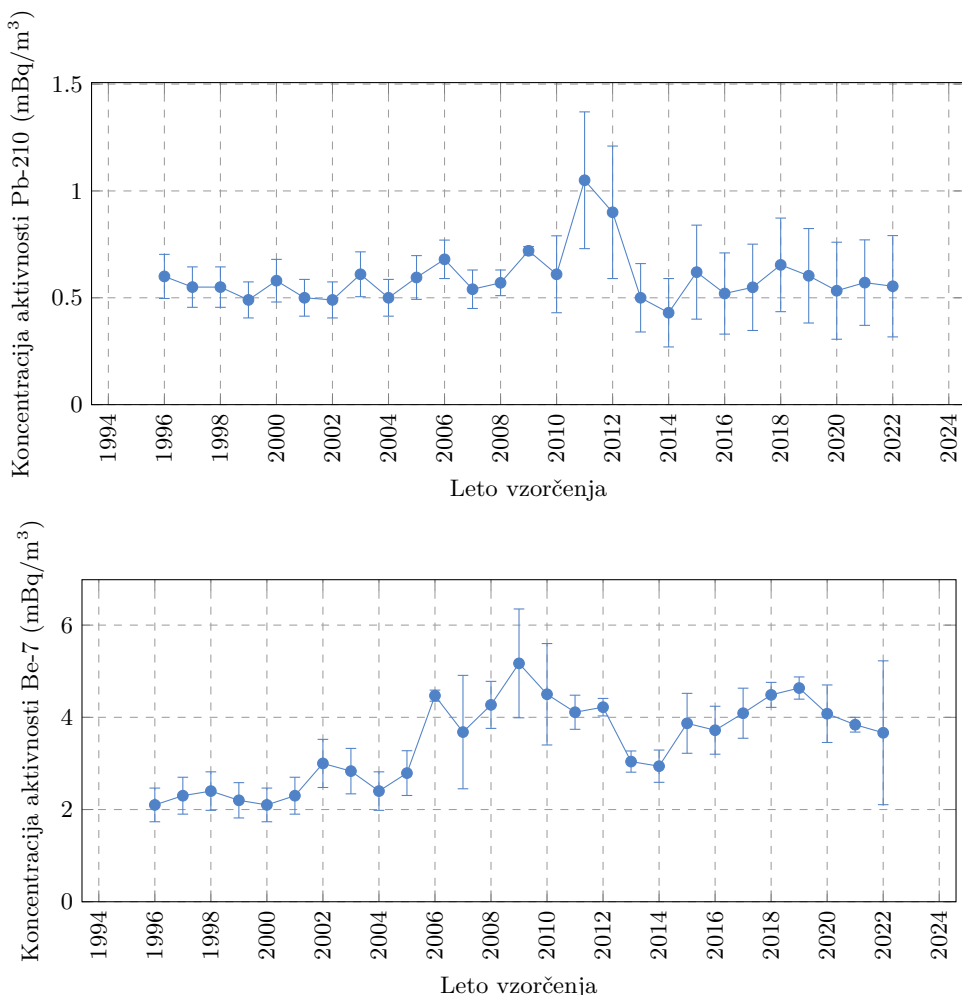
**Slika 3.18 |** Zimske in poletne korelacije med izmerjenimi koncentracijami atmosferskega Pb-210 in Be-7 v zraku na različnih lokacijah v letu 2022 – številka ob meritvi pomeni mesec vzorčenja.



Slika 3.19 | Vetrovne razmere na lokacijah vzorčenja zraka ali v neposredni bližini.

### 3.1.6 Dolgoročni trend aktivnosti Be-7 in Pb-210

Na spodnji sliki 3.20 so prikazane povprečne celoletne vrednosti koncentracij aktivnosti v zraku iz vseh treh lokacij vzorčenja za Pb-210 in kozmogeni Be-7 za obdobje od 1996 dalje.<sup>8</sup>



**Slika 3.20** | Povprečne celoletne koncentracije aktivnosti Pb-210 in Be-7 v zraku za obdobje od leta 1996 dalje za Slovenijo (povprečje vseh treh lokacij vzorčenja).

Iz slike 3.20 je razvidno, da je koncentracija aktivnosti Pb-210 skozi celotno obdobje spremljanja dokaj konstantna in variira okrog povprečne vrednosti  $0,6 \text{ mBq}/\text{m}^3$ . Izjema sta leta 2011 in 2012, kjer je koncentracija aktivnosti skoraj dvakrat višja od povprečja. Ustrezne razlage nimamo,<sup>9</sup> saj načeloma na koncentracije Pb-210 vplivajo atmosferski premiki zračnih mas (vertikalno in horizontalno mešanje) ter izpiranje aerosolov, na katere se veže Pb-210, s padavinami. Vrednosti koncentracij aktivnosti Be-7 se gibajo med  $2,1$ - $5,1 \text{ mBq}/\text{m}^3$ . V letih 2006-2011 so izmerjene vrednost Be-7 v zraku za slabo polovico višje kot v prejšnjih letih (do 2005), dodatno je opazen rahel vrh okrog leta 2002.

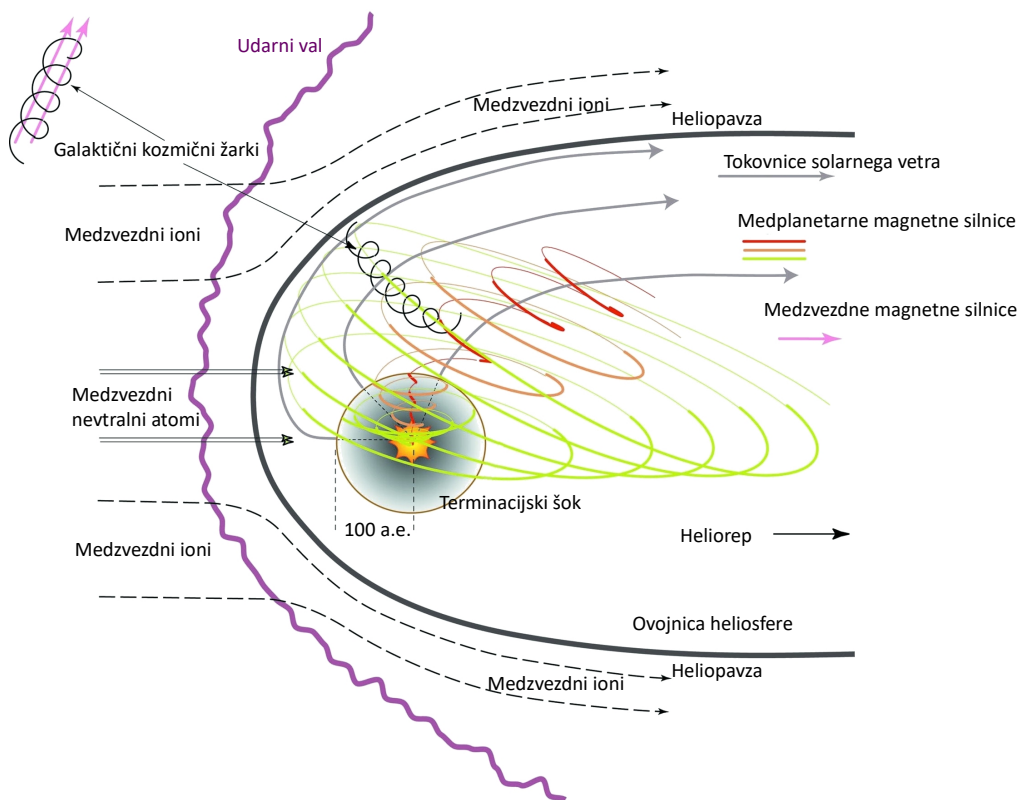
<sup>8</sup>V letu 2021 je zaradi napake plinomera in posledično nepravilnih vrednosti koncentracij iz povprečja izvzeta lokacija Predmeja.

<sup>9</sup>Višja vrednost je predvsem posledica nekaterih višjih mesečnih vrednosti na lokaciji Jareninski vrh

Podoben trend je možno opaziti tudi pri vrednostih Be-7 v vzorcih padavin (prikazane na sliki 3.34), kjer je tudi opazno povišanje koncentracij v letih 2006-2011 v primerjavi s preteklimi leti. Potrebno pa se je zavedati, da je vsebnost Be-7 v padavinah v kratkih vzorčevalnih obdobjih (npr. mesečnih) antikorelirana z vsebnostjo Be-7 v zraku, v letnih povprečjih pa so koncentracije korelirane.

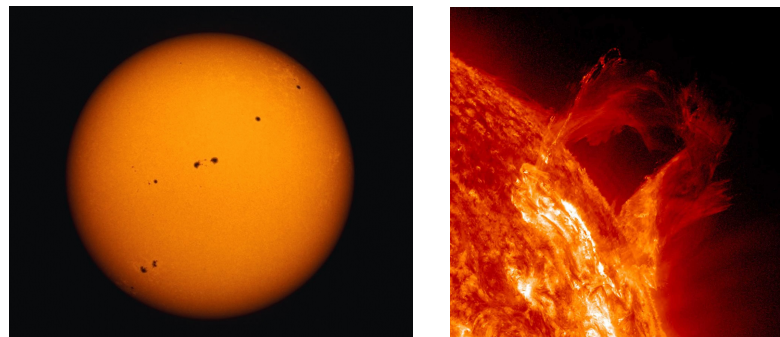
Variacije glede na leta opazovanja v koncentracijah Be-7 bi lahko pojasnili s t.i. sončevim ciklusom. Solarni veter gledano v celotnem našem osončju pomeni tudi kontinuiran tok plazme (protoni in elektroni), območje vpliva te plazme pa imenujemo heliosfera in sega onkraj Plutonove orbite. Ker je plazma električno prevodna, prenaša del Sončevega magnetnega polja. Na ta način ima solarni veter močan vpliv na galaktične kozmične žarke.

Galaktični kozmični žarki prihajajo tipično izven našega osončja iz medzvezdnega prostora naše galaksije. To so visoko energijski nabiti delci – protoni, elektroni in popolnoma ionizirana jedra lahkih elementov. Ko se galaktični kozmični žarki približajo našemu osončju, v heliosferi lahko izgubijo precejšen del svoje energije in posledično v manjši meri prodrejo v Zemljino atmosfero (slika 3.21 [66]). V tem primeru je verjetnost nastajanja kozmogenega Be-7 zmanjšana.

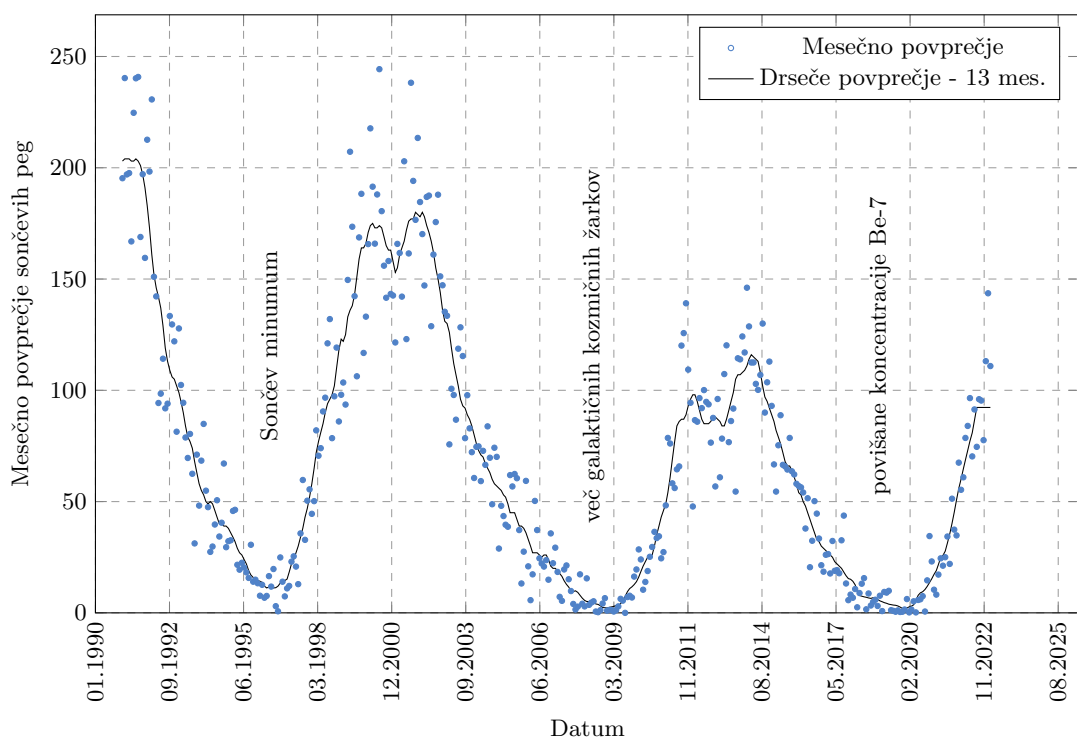


**Slika 3.21** | V času večje sončeve aktivnosti heliosfera zmanjšuje fluks galaktičnih kozmičnih žarkov do zemljine atmosfere.

Sončeva aktivnost ima svoj tipični 11-letni ciklus [67]. Odraz aktivnosti je viden kot povečanje ali zmanjšanje števila sončevih peg (slika 3.22 [68]). V času solarnega maksimuma je število peg večje, v času minimuma pa manjše. Med sončevim maksimumom je tudi solarni veter močnejši, kar posledično preko močnejše heliosfere pomeni zmanjšan vpliv galaktičnih kozmičnih žarkov na Zemljino atmosfero. Časovna odvisnost sončeve aktivnosti je prikazana na spodnji sliki 3.23 [67].



**Slika 3.22 |** Sončeve pege so merilo za sončevu aktivnost in solarni veter; slika: NASA.

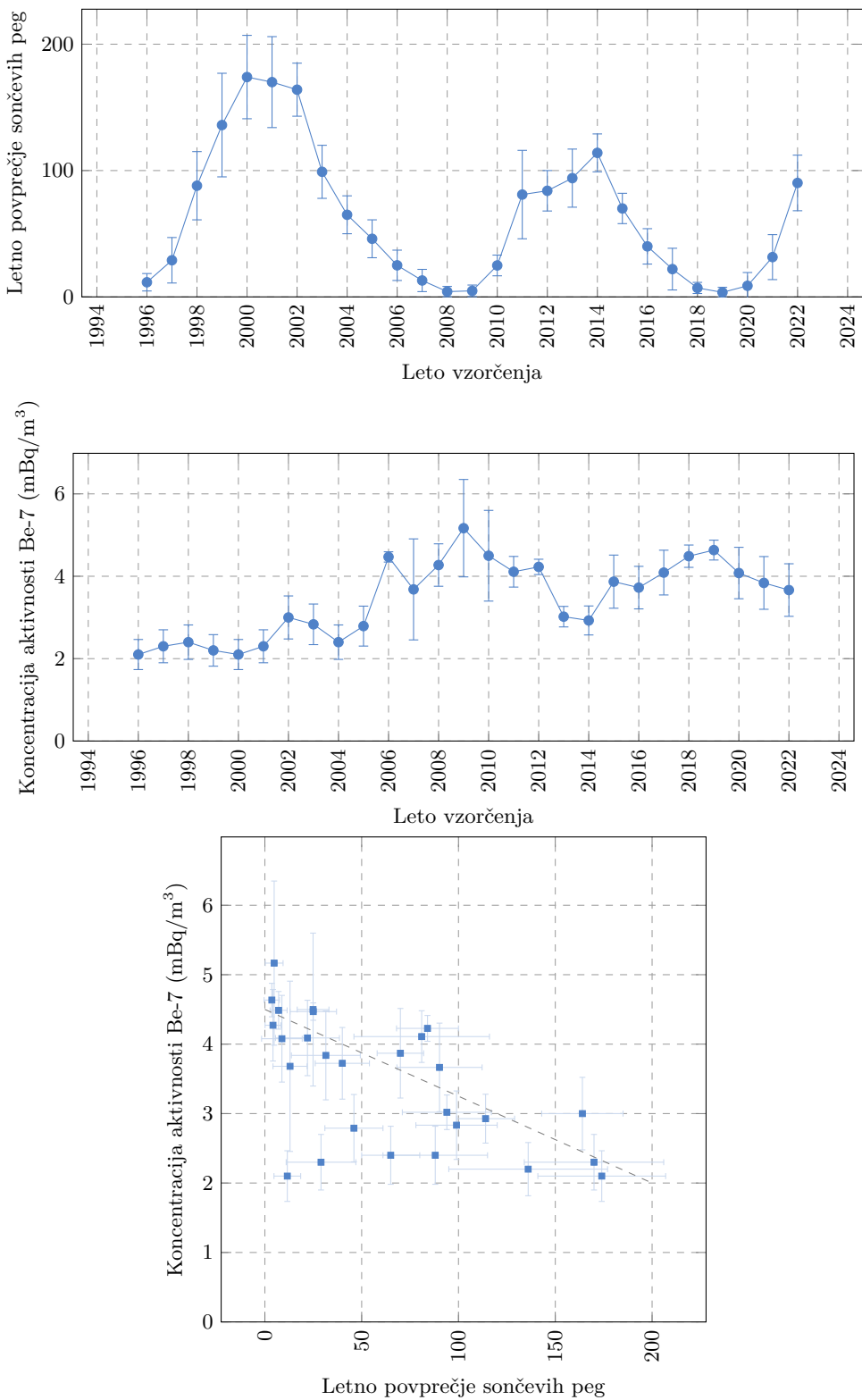


**Slika 3.23 |** Povprečno mesečno število sončevih peg – neprekinjena črta predstavlja drseče povprečje zadnjih 13 mesecev.

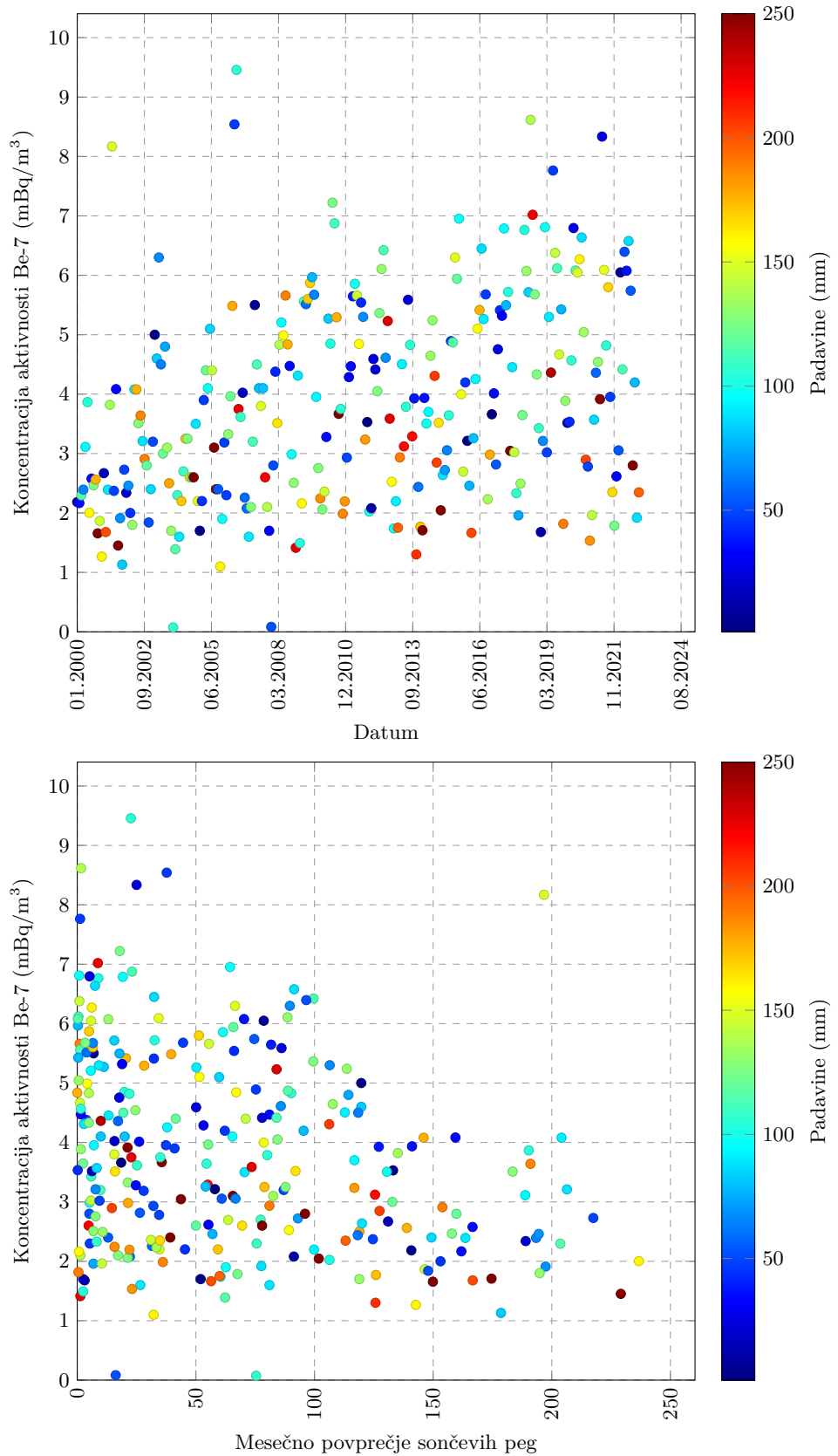
Če primerjamo izmerjene koncentracije aktivnosti Be-7 v zraku (slika 3.20) in sončevu aktivnost (slika 3.23) ugotovimo močno antikorelacijo, ki je prikazana na sliki 3.24. V času sončevega minimuma (od 2006 do 2010) je zaradi večjega fluksa galaktičnih kozmičnih žarkov narasla koncentracija aktivnosti Be-7, v času sončevega maksimuma (od 1999 do 2003) pa so koncentracije aktivnosti Be-7 v zraku nizke, z izjemo lokalnega sončevega minimuma v letu 2001-2002, ki se prav tako odraža v lokalnem maksimumu izmerjene koncentracije aktivnosti Be-7 v zraku v letu 2002. Z letom 2011 se je začel nov sončev maksimum, zato so pričakovano koncentracije Be-7 v zraku nižje (glej sliko 3.20) do okrog leta 2016. Po letu 2016 smo prešli v sončev minimum, zato so koncentracije Be-7 v zraku višje, kar so bile po pričakovanju še nekaj let, po letu 2020 pa preidemo v nov sončev maksimum, zato pričakujemo da bodo koncentracije Be-7 ponovno nižje.

Delno na izmerjene koncentracije Be-7 v zraku vplivajo padavine, ki ga izpirajo

iz ozračja, vendar se v letnih podatkih to dovolj povpreči, da je vpliv zmanjšan. Če analiziramo mesečne podatke, pa ta slika ni več tako izrazita in antikorelacijske skoraj niso opazne. Na sliki 3.25 je prikazana časovna odvisnost mesečnih koncentracij Be-7 in antikorelacija sončevega cikla – število peg – z izmerjenimi mesečnimi koncentracijami Be-7 za merske podatke od leta 2000 dalje. Na grafih so za posamične meritve dodane tudi količine mesečnih padavin, ki so obarvane z ustrezno barvo glede na njihovo višino. Najverjetneje pa na slabše izrazito antikorelacijsko odvisnost vpliva tudi delna zakasnitev zaradi transporta izotopa Be-7 od mesta nastanka v atmosferi do tal, kjer vzorčimo zrak.



Slika 3.24 | Antikorelacija sončevega cikla z letnimi koncentracijami Be-7 v zraku od leta 1996 dalje.



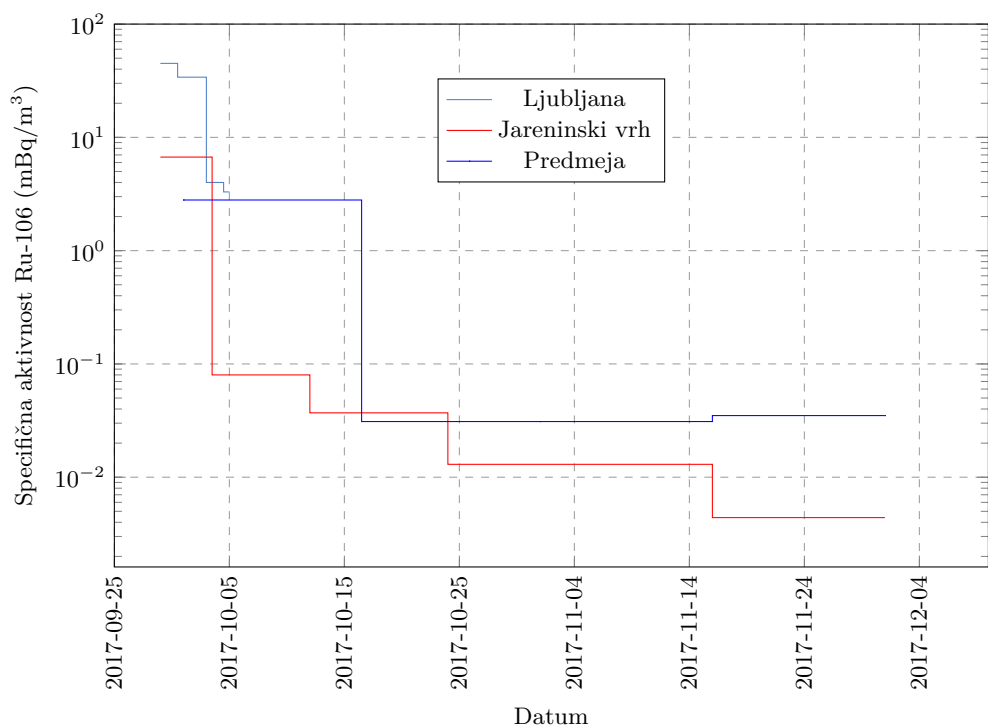
**Slika 3.25 |** Antikorelacija sončevega cikla z mesečnimi koncentracijami Be-7 v zraku od leta 2000 dalje z delnim upoštevanjem izpiranja zaradi padavin.

### 3.1.7 Zgodovinski pregled opaženih posebnosti

#### Radioaktivni oblak Ru-106 nad Evropo v letu 2017

Konec septembra 2017 je bil zrak nad jugovzhodno Evropo onesnažen z izotopoma Ru-103 in Ru-106. Medtem ko je bila vsebnost Ru-103 v zraku le v sledovih in izmerjena le v nekaj laboratorijih v Evropi [69], kjer so bile aktivnosti v zraku zaradi meteoroloških razmer višje ter kapaciteta vzorčenja višja, smo raven onesnaženja zraka z radionuklidom Ru-106 lahko natančno določili v Sloveniji. Razmerje aktivnosti Ru-106/Ru-103 je bilo približno 4000:1, torej so bile koncentracije Ru-103 daleč pod mejo detekcije in zato ni bil Ru-103 viden niti v Ljubljani, na Jareninskem vrhu niti na Predmeji.

Številne države vzhodne in jugovzhodne Evrope so poročale koncentracije aktivnosti Ru-106 v zraku primerljive tistim, ki so bile izmerjene po Sloveniji, na koncu septembra oziroma začetku oktobra nekaj  $\text{mBq}/\text{m}^3$  nato pa en do dva velikostna red nižje. Koncentracija aktivnosti Ru-106 v zraku v Ljubljani se je v prvem tednu oktobra znižala pod mejo detekcije, na lokacijah Jareninski vrh oziroma Predmeja pa je bil detektiran do novembra oziroma decembra. Meritve so prikazane na sliki 3.26. Septembriske povprečne vrednosti so bile za realnejši prikaz iz povprečnih mesečnih preračunane na delež prečrpanega zraka 29. in 30.9., kot privzeti datum prihoda radioaktivnega oblaka v Slovenijo.

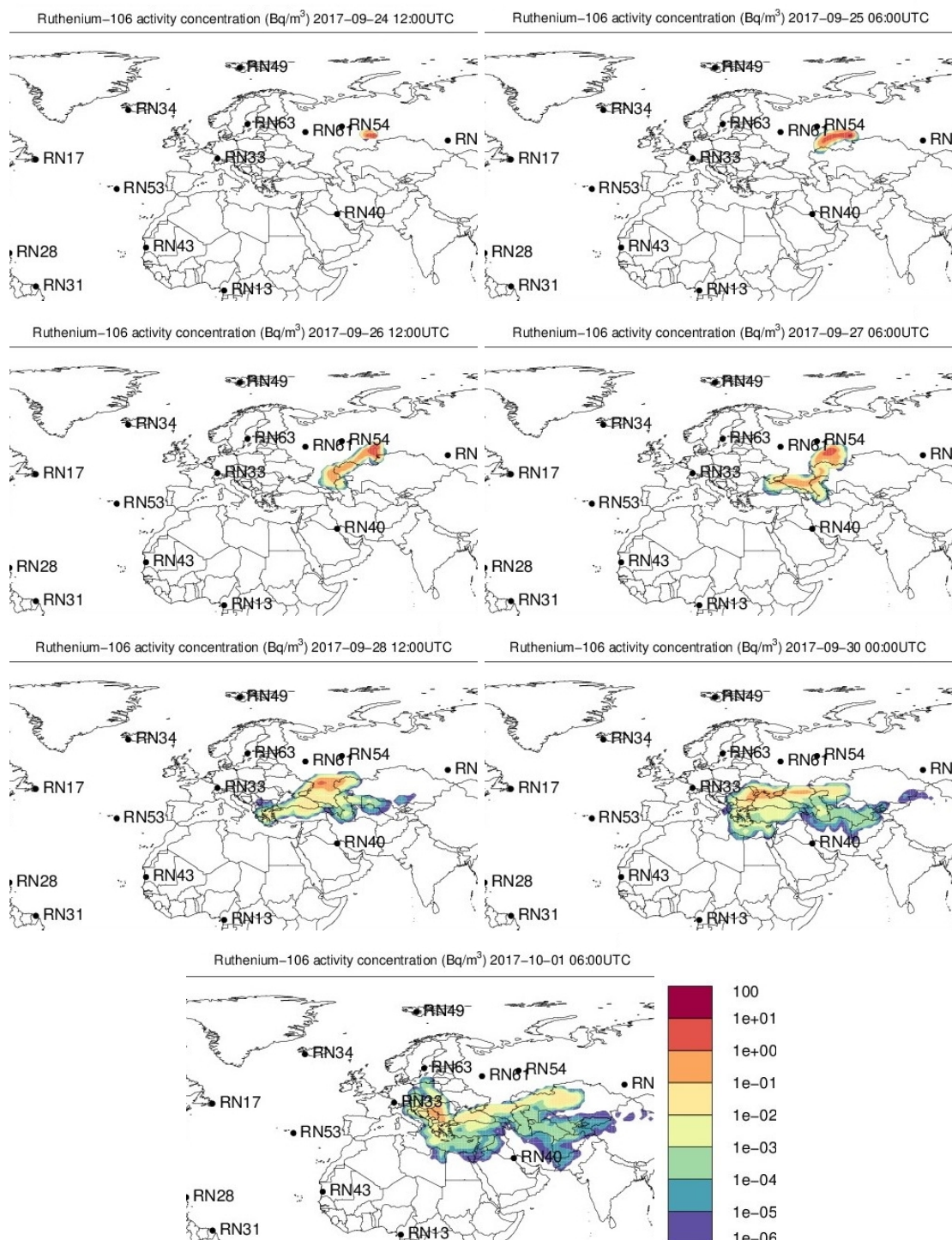


**Slika 3.26** | Podrobnejše meritve koncentracij aktivnosti Ru-106 v zraku v Ljubljani, na Jareninskem vrhu in Predmeji.

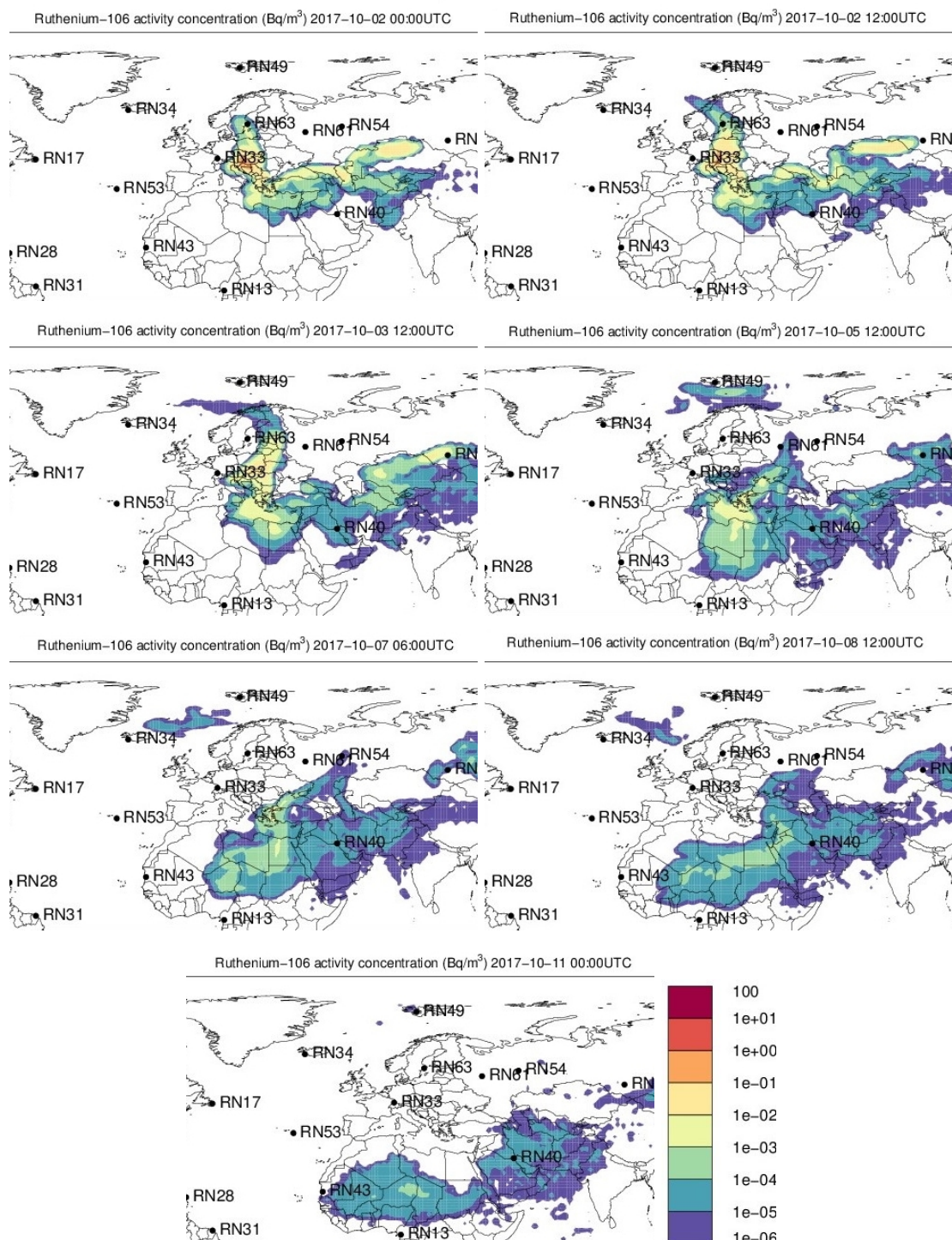
Točen izvor izotopa Ru-106 ni znan, zagotovo pa ne gre za nesrečo v jedrskem reaktorju, saj bi v takem primeru dobili kopico drugih cepitvenih in aktivacijskih produktov. Vse vesoljske agencije so izključile padec satelita z vgrajenim takšnim radioaktivnim virom, ki je služil kot električni generator za napajanje komponent satelita. V izčrpnem poročilu je inštitut IRSN (Francija) [69] opravil podrobno analizo, iz katerega sledi, da

je edini verjetni scenarij izpusta Ru-106 posledica uhajanja iz predelovalnega obrata za jedrsko gorivo. Ocenjena skupna izpuščena aktivnost Ru-106 je bila 100-300 TBq. Izpust naj bi se zgodil med 25.9. in 28.9., pri čemer ni trajal dlje od 24 ur. V postopkih predelave izrabljenega jedrskega goriva se v različnih fazah predelave (PUREX) rutenij lahko nahaja v trdni (kovina ali oksid  $\text{RuO}_2$ ), tekoči (nitrosil kompleks  $\text{RuNO}(\text{NO}_3)_3$ ) ali plinski obliki ( $\text{RuO}_4$ ). V postopku PUREX lahko nastaja rutenij v plinski obliki  $\text{RuO}_4$ , če pride do pregravanja nitrosil kompleksa nad 100-120°C. Tako bi v primeru nesreče v predelovalnem obratu ob izgubi hlajenja lahko nastale tolikšne količine  $\text{RuO}_4$ , da ga sistem za zadrževane plinske izpustove ne bi v celoti zadržal. V takem primeru bi najverjetnejše filtracija zadržala druge izotope na aerosolnih filterih (Cs, Sr), del  $\text{RuO}_4$  bi se zajel ob stikih s hladnimi površinami ( $\text{RuO}_2$ ), del pa bi ušel skozi prezračevalni sistem. Zato tak scenarij tudi pojasni prisotnost izključno izotopov Ru-103 in Ru-106 v radioaktivnem oblaku (ostali morebitni izotopi Ru imajo zelo kratko razpolovno dobo). Podoben dogodek se je pripetil v predelovalnem obratu AREVA v La Hague (Francija), kjer pa je bila aktivnost izpusta Ru-106 na nekaj GBq.

Lokacijo izvora je poleg inštituta IRSN [69] ocenil tudi inštitut SCK-CEN (Belgia) z modeliranjem svetovnih vremenskih razmer konec septembra in v začetku oktobra [70], s katerim so ugotovili, da se je širjenje Ru-106 začelo nekje južno od Urala v Rusiji, kjer je na tem območju kar nekaj predelovalnih obratov za jedrsko gorivo. Potek razširjanja radioaktivnega oblaka Ru-106 je prikazan na slikah 3.27 v mesecu septembru in 3.28 v mesecu oktobru.



Slika 3.27 | Modeliranje razširjanja oblaka z izpusti Ru-106 - 24.9.2017 - 30.9.2017.



Slika 3.28 | Modeliranje razširjanja oblaka z izpusti Ru-106 - 1.10.2017 - 11.10.2017.

## 3.2 Padavine

### 3.2.1 Vzorčenje in rezultati meritev

Padavine smo vzorčili kontinuirano v Ljubljani, Murski Soboti, Bovcu in Novem mestu, kjer v Ljubljani merimo mesečni kompozitni vzorec, na ostalih lokacijah pa merimo trimesečni kompozitni vzorec.

Rezultati meritev so zbrani v poglavju 8 v tabelah od 8.7 do 8.11.

Letna količina padavin v letu 2022 v Ljubljani je bila 1262 mm, v Bovcu 2039 mm, v Novem mestu 1142 mm in v Murski Soboti 704 mm. Poleg umetnih radionuklidov Cs-137, Sr-90 in H-3 (H-3 je lahko umetnega in naravnega izvora) smo določali tudi naravne radionuklide U-238, Ra-226, Pb-210, Th-228, Ra-228, K-40 ter kozmogeni Be-7.

Primerjava rezultatov 2022 z leti pred tem kaže, da se koncentracije posameznih radionuklidov v padavinah oziroma radioaktivni used ni bistveno spremenil, kar je normalna posledica podobne količine padavin glede na pretekla leta. Prisotnosti naravnih radionuklidov ni smiselno komentirati, saj ne predstavlja pravega atmosferskega useda.

Od umetnih radionuklidov sta dolgoročno opazna samo Cs-137 in Sr-90, vendar so specifične aktivnosti večkrat na meji detekcije, tako da so negotovosti pri meritvah precej velike. Najvišji letni used Cs-137 je bil izmerjen v Bovcu  $1,1 \pm 0,2 \text{ Bq/m}^2$ , v Ljubljani pa  $0,9 \pm 0,1 \text{ Bq/m}^2$ . Letni usedi Sr-90 so bili večinoma pod mejo detekcije praktično na vseh lokacijah vzorčenja, razen po ena kvartalna meritev v Bovcu in v Ljubljani.

Od naravnih radionuklidov naj omenimo še skupne vrednosti kozmogenega Be-7, katerega rezultati znašajo od  $218 \text{ Bq/m}^2$  v Murski Soboti do  $706 \text{ Bq/m}^2$  v Ljubljani.

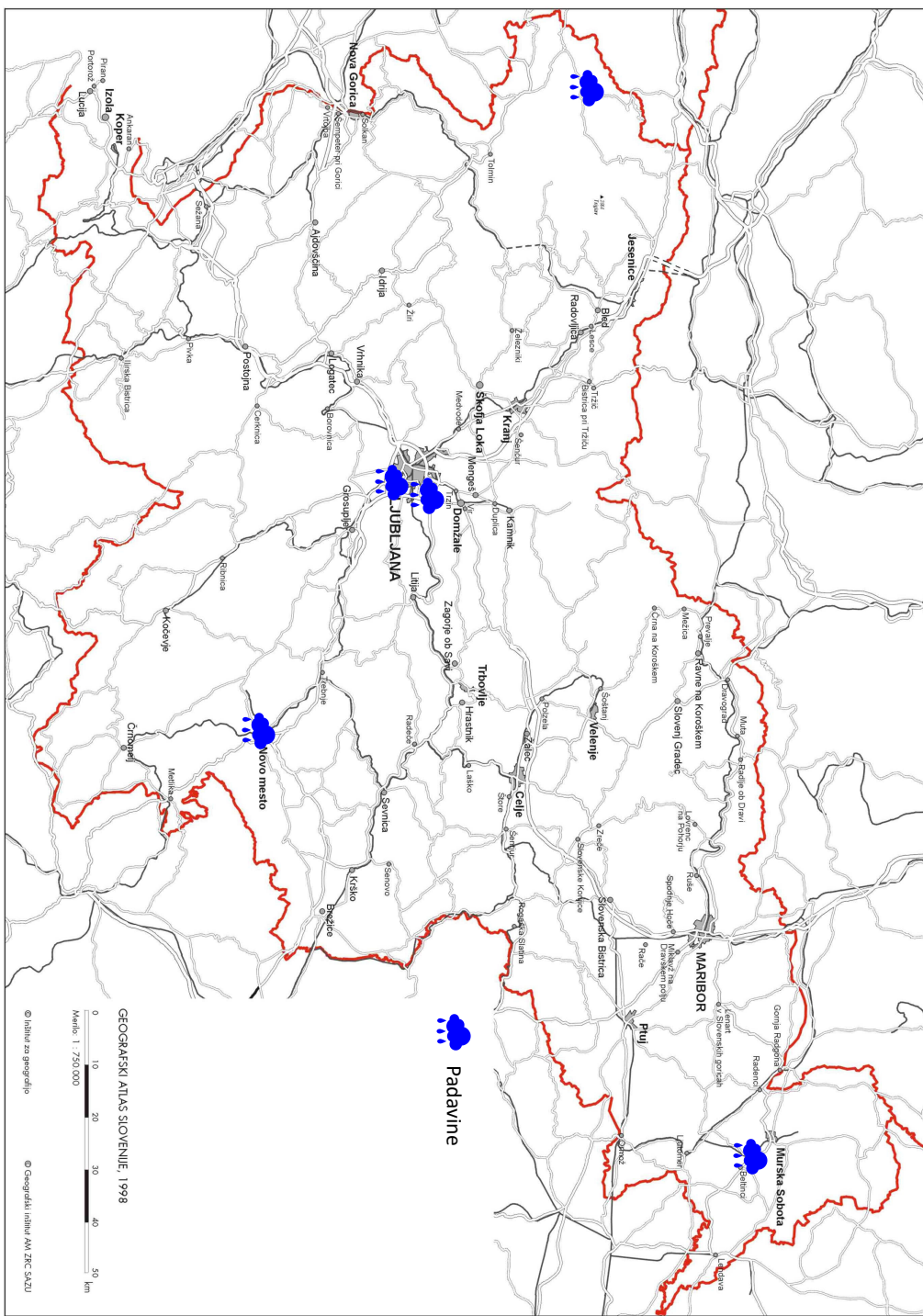
### 3.2.2 Specifična aktivnost sevalcev gama in Sr-90

V tabeli 3.2 so prikazane povprečne letne vsote specifičnih aktivnosti Cs-137, Sr-90 in Pb-210 na enoto površine povprečene na vse lokacije vzorčenja za obdobje od leta 2000 naprej. Dodane so tudi povprečne količine padavin na vseh merskih lokacijah za to obdobje.

Iz rezultatov v tabeli 3.2 je razvidno, da vrednosti specifičnih aktivnosti Cs-137 in Sr-90 na enoto površine povprečene po lokacijah Slovenije variirajo z leti. Na sliki 3.30 je časovna odvisnost letnega useda od leta 2000 dalje prikazana na grafu. Relativno visoka vrednost za Sr-90 v 2005 v Ljubljani je posledica ene same visoke vrednosti, izmerjene v marcu 2005  $41,0 \pm 0,2 \text{ Bq/m}^3$ . Za leti 2012 in 2013 ugotavljamo, da je velika večina meritev aktivnosti Sr-90 pod mejo detekcije, ki ima dokaj velik razpon bodisi je nižja od tipično izmerjenih vrednosti bodisi višja. Ker v analizi pri izračunu povprečnih letnih vrednosti upoštevamo tudi vzorce z izmerki pod spodnjo mejo detekcije, je v teh letih potrebno povprečno vrednost upoštevati kot orientacijsko vrednost. Vendar pa, če primerjamo odvisnost letnega useda od letne količine padavin (prikazano na sliki 3.32), korelacija med njima ni zelo opazna. To najverjetneje pomeni, da ne glede na količino padavin, le-te izperejo praktično celotno aktivnost Sr-90 v zraku ali pa je metoda določevanja Sr-90 pri danih aktivnostih že nezanesljiva oziroma so aktivnosti že primerljive s spodnjo mejo detekcije. Zato tudi na letni ravni ni zaznati velikih variacij. Je pa na sliki 3.32 opazna korelacija za izotopa Cs-137 oziroma Pb-210, katerih koncentracija v zraku je višja (sploh v zimskih mesecih) oziroma bistveno višja.

Primerjava rezultatov za merjene radionuklide pokaže, da se koncentracije posameznih radionuklidov v padavinah niso bistveno spremenile v primerjavi s prejšnjimi leti. Dejstvo pa je, da so koncentracije pogosto blizu meje detekcije, tako da so tudi merske negotovosti relativno velike in prispevajo k vsakoletnemu in medletnemu sisanju rezultatov.

Največja odstopanja v rezultatih po posameznih trimesečjih povzročajo zimski meseci, ki so lahko zelo suhi ali pa obilni s padavinami (glej tabele z rezultati meritev od 8.7 do

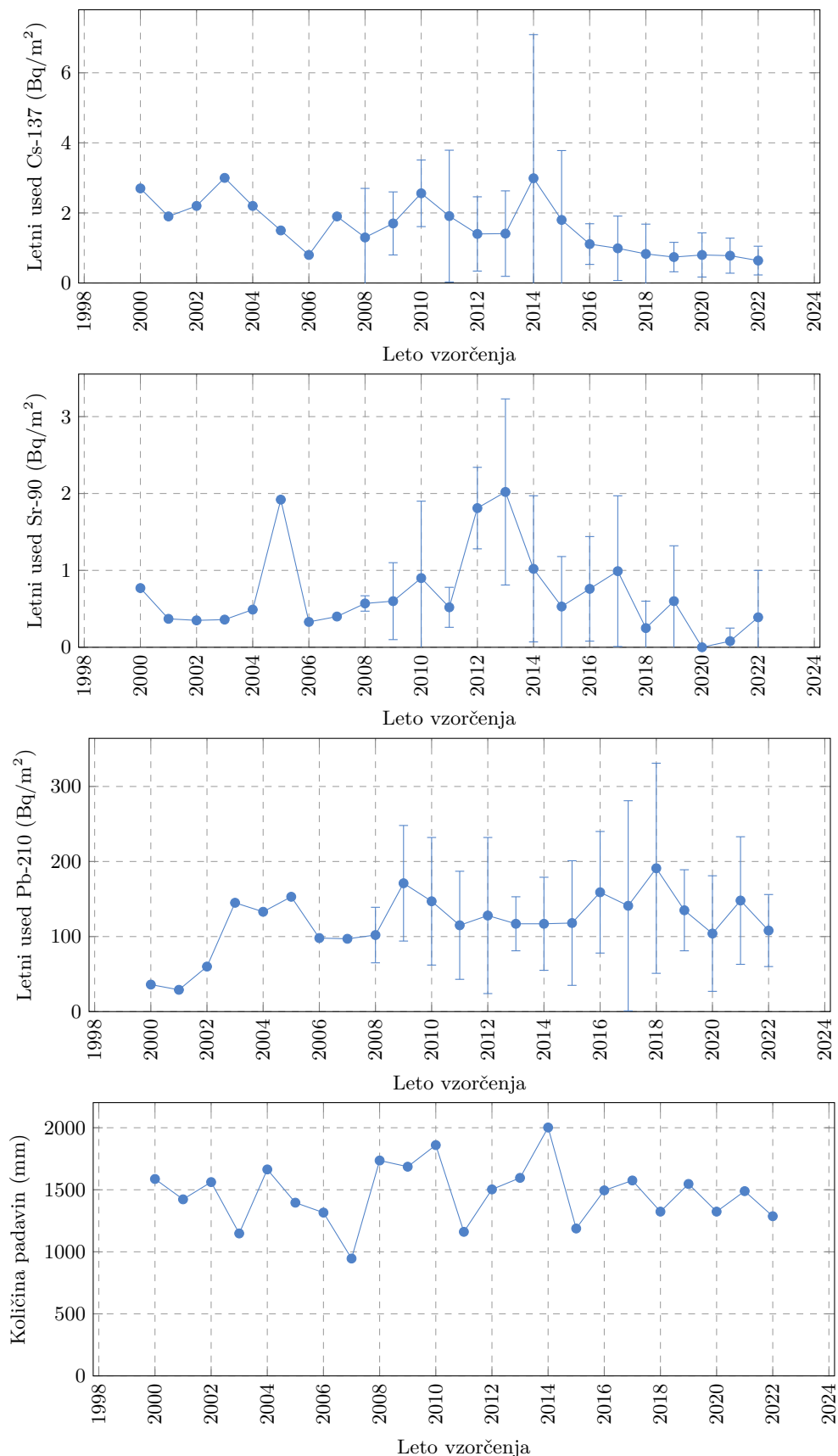


Slika 3.29 | Lokacije vzorčenja vzorcev padavin.

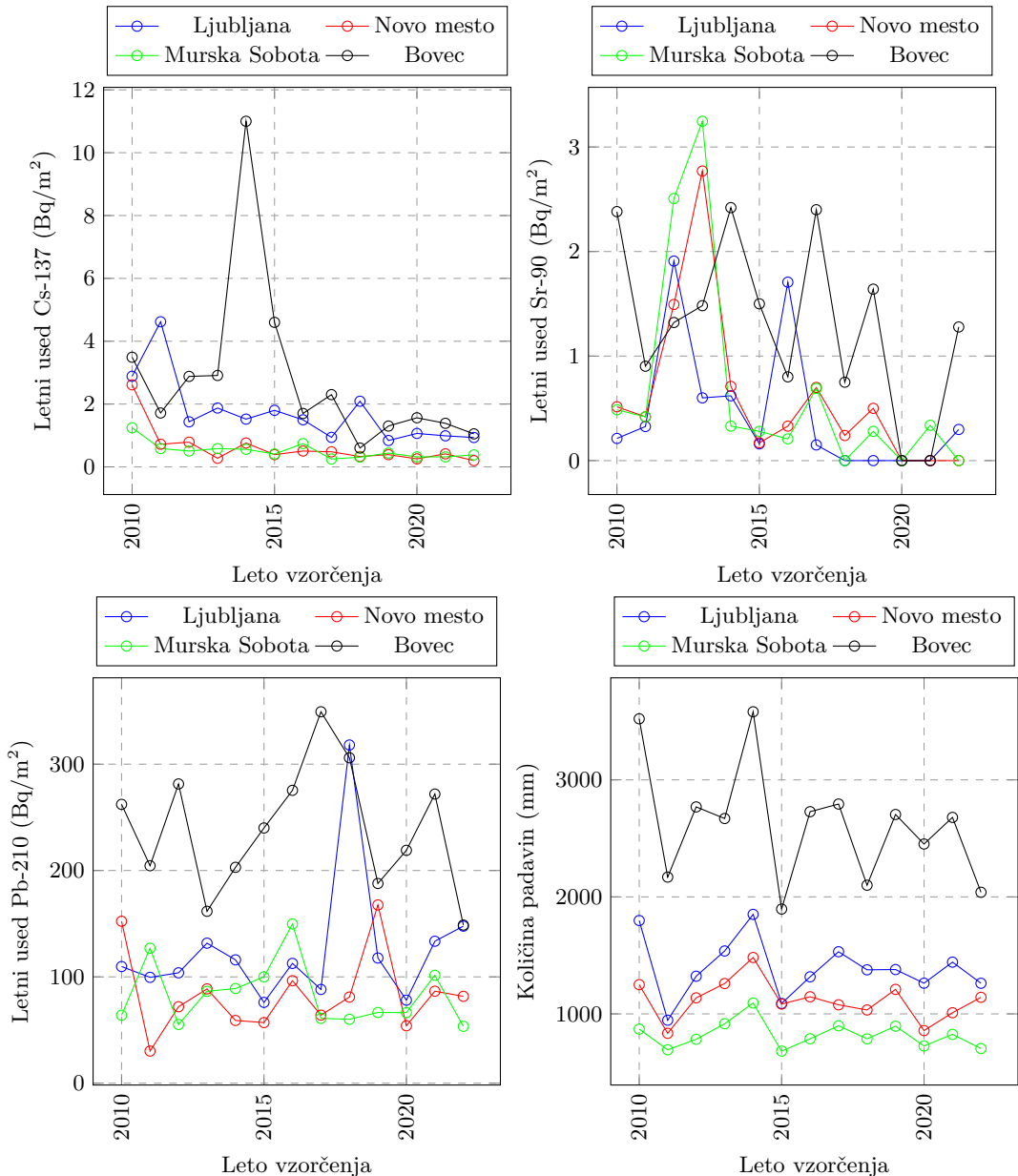
**Tabela 3.2 |** Povprečne letne vsote specifičnih aktivnosti Cs-137, Sr-90 in Pb-210 na enoto površine za obdobje od leta 2000 dalje (povprečje vseh lokacij)

Leto	Radionuklid			Količina padavin (mm)
	Sr-90	Cs-137	Pb-210	
	Letni used (Bq/m <sup>2</sup> )			
2000	0,77	2,7	36	1587
2001	0,37	1,9	29	1423
2002	0,35	2,2	60	1562
2003	0,36	3,0	145	1148
2004	0,49	2,2	133	1664
2005	1,92	1,5	153	1396
2006	0,33	0,8	98	1316
2007	0,40	1,9	97	946
2008	0,57 ± 0,10	1,3 ± 1,4	102 ± 37	1736
2009	0,61 ± 0,47	1,73 ± 0,90	171 ± 77	1686
2010	0,90 ± 1,00	2,56 ± 0,95	147 ± 85	1860 ± 1172
2011	0,53 ± 0,26	1,9 ± 1,9	115 ± 72	1161 ± 680
2012	1,81 ± 0,53	1,40 ± 1,06	128 ± 104	1503 ± 873
2013	1,7 ± 1,2	1,41 ± 1,22	117 ± 36	1596 ± 760
2014	1,02 ± 0,95	3,0 ± 4,1	117 ± 62	2002 ± 1098
2015	0,53 ± 0,65	1,8 ± 2,0	118 ± 83	1188 ± 509
2016	0,76 ± 0,68	1,1 ± 0,6	159 ± 81	1495 ± 851
2017	1,0 ± 1,00	1,0 ± 0,9	141 ± 140	1575 ± 855
2018	0,25 ± 0,35	0,83 ± 0,85	191 ± 140	1324 ± 571
2019	0,60 ± 0,72	0,74 ± 0,42	135 ± 54	1547 ± 797
2020	0,0	0,80 ± 0,63	104 ± 77	1324 ± 786
2021	0,08 ± 0,17	0,78 ± 0,50	148 ± 85	1489 ± 835
2022	0,39 ± 0,61	0,64 ± 0,41	108 ± 48	1287 ± 556

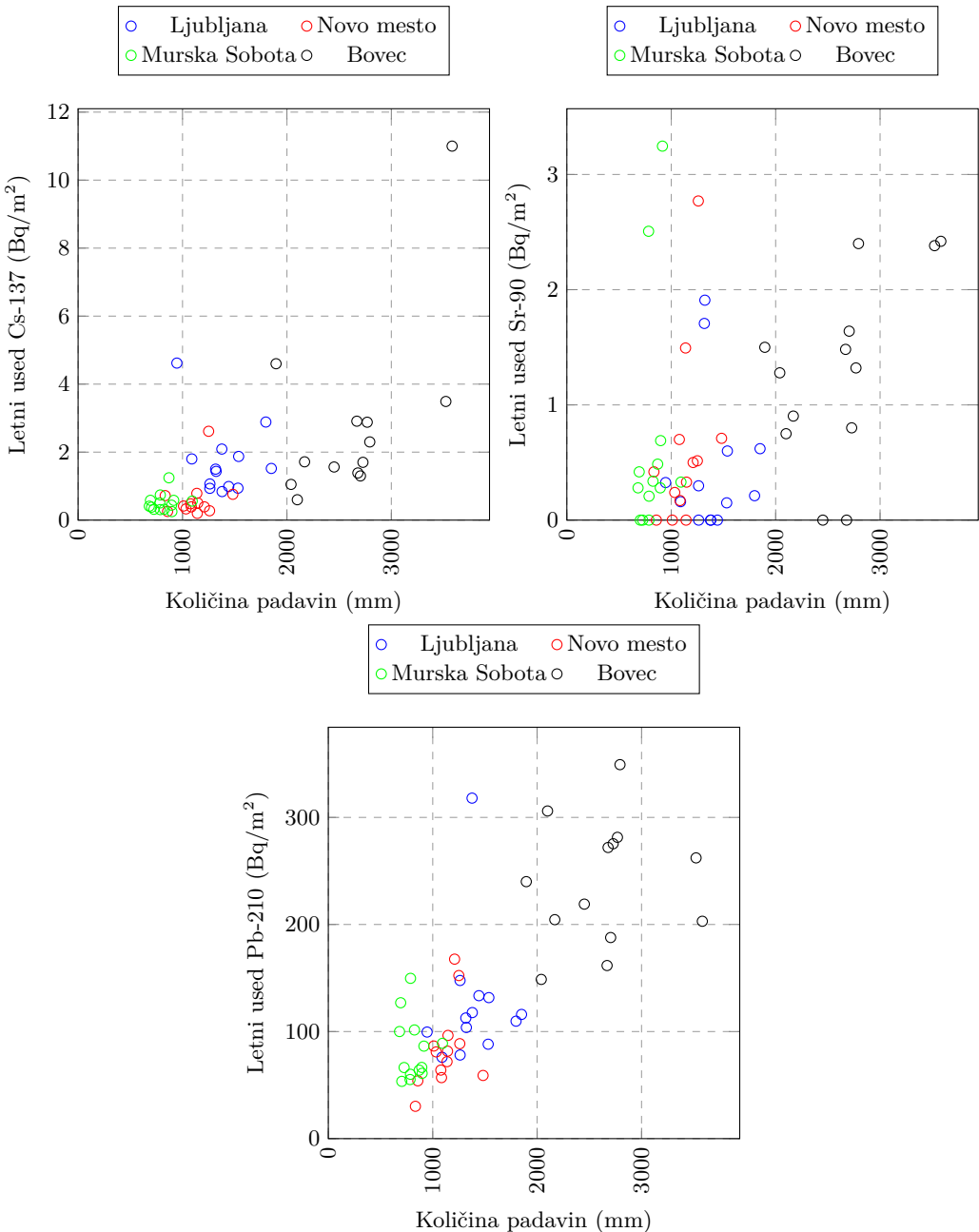
8.10 v poglavju 8).



**Slika 3.30 |** Povprečni letni used Cs-137, Sr-90 in Pb-210 na enoto površine za obdobje od leta 2000 dalje (povprečje vseh lokacij po Sloveniji)



**Slika 3.31 |** Povprečni letni used Cs-137, Sr-90 in Pb-210 na enoto površine za obdobje od leta 2010 dalje na posamičnih lokacijah: Ljubljana, Novo mesto, Murska Sobota in Bovec.

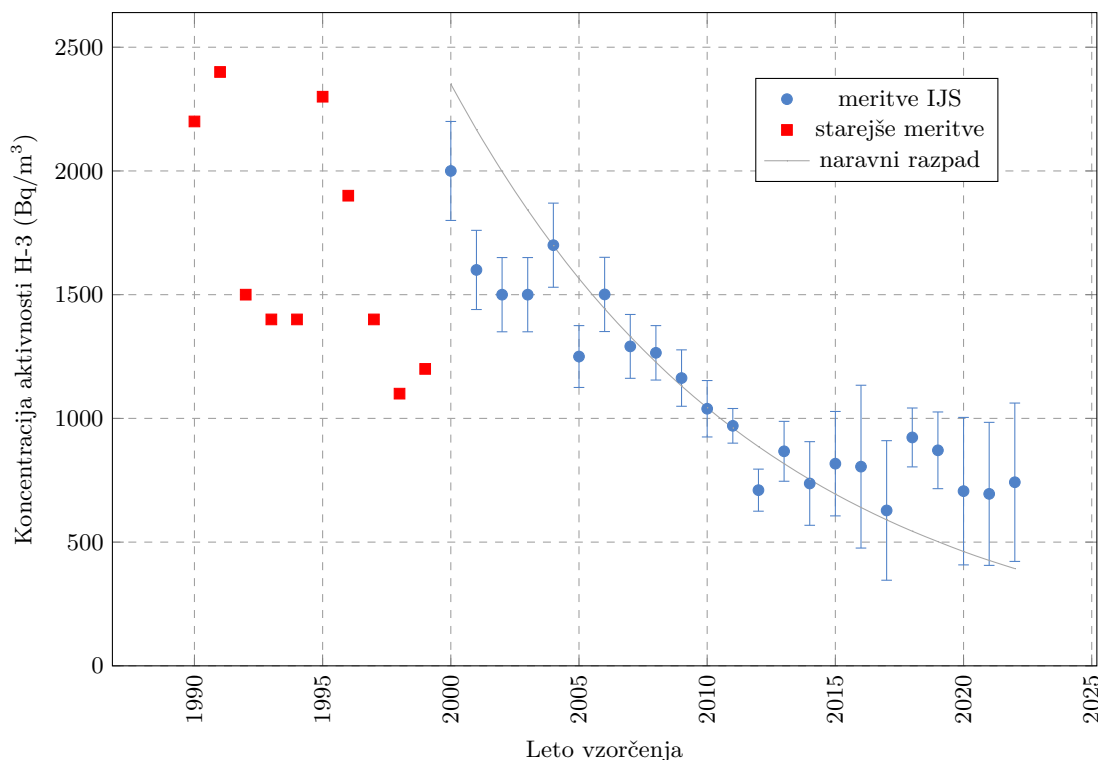


**Slika 3.32 |** Korelacija količine padavin s povprečnim letnim usedom Cs-137, Sr-90 in Pb-210 na različnih lokacijah po Sloveniji od leta 2000 dalje.

### 3.2.3 Koncentracija aktivnosti H-3

Meritve koncentracije aktivnosti H-3 v vzorcih padavin smo opravili le v mesečnih vzorcih iz Ljubljane (meritve je izvajal IJS). Rezultati meritev so prikazani v poglavju 8. Koncentracije aktivnosti H-3 v deževnici v letu 2022 so pod dolgoletnim povprečjem. Vrednosti koncentracij aktivnosti H-3 v obdobju od leta 1990 dalje se gibajo v območju  $600\text{--}2400 \text{ Bq/m}^3$ . Povprečna letna koncentracija H-3 v letu 2022 je znašala  $742 \pm 320 \text{ Bq/m}^3$ . Večja odstopanja med vrednostmi pri določenih letih pred 2000 so lahko posledica dveh različnih izvajalcev meritev, in sicer laboratorija IJS in Seibersdorf. V preteklosti smo preverili takšno domnevo in izvedli primerjavo meritev koncentracij H-3 v istih vzorcih v obeh laboratorijsih (IJS in Seibersdorf). Rezultati so pokazali odstopanje tudi za faktor 2 (IJS izmeri višje vrednosti). Zaradi konsistentnosti v zadnjih letih vedno meritve izvaja IJS (O2).

Na sliki 3.33 so prikazane vrednosti koncentracij aktivnosti H-3 v vzorcih padavin iz Ljubljane za obdobje od leta 1990 dalje. Dolgoročni trend kaže padanje vrednosti, po letu 2000 izmerjene količine H-3 sledijo trendu naravnega radioaktivnega razpada z razpolovno dobo H-3 12,3 let. V letih od 2018 dalje so vrednosti sicer višje od pričakovanih po trendu radioaktivnega razpada, kar lahko pomeni, da je H-3, ki je nastajal zaradi atmosferskih jedrskih poskusov, že razpadel, sedaj prevladuje prispevek H-3, ki inastaja z naravnimi procesi (glej spodnjo razlago o virih H-3 v okolju), morebitne delno variacije pa lahko pojasnimo z minimumom oziroma maksimumom sončevega cikla (večje oziroma manjše nastajanje kozmogenega H-3) ter korelacijo izpustov H-3 iz NEK in padavin. Vrednosti pred letom 2000 so nižje od pričakovane ekstrapolacije za nazaj, vendar je to lahko posledica nezanesljivih meritev, kar delno potrdi tudi zgoraj ugotovljeno odstopanje izmerkov med dvema laboratorijsema.



Slika 3.33 | Povprečne letne koncentracije aktivnosti H-3 v padavinah iz Ljubljane za obdobje od leta 1990 dalje.

### **Viri H-3 v okolju**

V splošnem se je s pojavom atmosferskih poskusov jedrskega orožja in razvojem jedrske energije količina H-3 v okolju sicer dvignila, vendar je zaradi radioaktivnega razpada okrog 90 % aktivnosti, nastale od leta 1945 do poznih 60ih let, že izginila.

#### **Nastajanje z naravnimi procesi.**

H-3 sicer v naravi nastaja predvsem v jedrskih reakcijah dušikovih in kisikovih jeder z visoko energijskimi kozmičnimi žarki v zgornjih plasteh atmosfere, kjer skoraj 99 % nastalega H-3 oksidira v tritirano vodo (HTO) in s padavinami preide v površinske vode. Letna naravna produkcija H-3 v atmosferi ob upoštevanju radioaktivnega ravnovesja tako znaša  $0,15\text{-}0,20 \text{ kg oziroma } 5,0\text{-}7,0 \cdot 10^{16} \text{ Bq}$  [71]. Zaradi naravnega nastajanja zaradi kozmičnih žarkov je v okolju tako stalno okrog  $3,5 \text{ kg H-3 oziroma } 1,2 \cdot 10^{18} \text{ Bq}$ .

#### **Umetni viri.**

Veliko različnih radionuklidov, vključno s H-3, je bilo izpuščenih v okolje med izvajanjem atmosferskih poskusov jedrskega orožja, ki so bili izvedeni večinoma med letoma 1945 in 1963. Tako je z jedrskimi poskusi v okolju nastalo približno 650 kg H-3 oziroma  $2,3 \cdot 10^{20} \text{ Bq}$  (80% na severni in 20% na južni polobli). Ob upoštevanju radioaktivnega razpada z razpolovnim časom 12,3 let je od teh poskusov v atmosferi leta 2007 prisotnih še 40 kg H-3 oziroma še  $1,4 \cdot 10^{19} \text{ Bq}$  [72, 73].

Med jedrskimi objekti, ki prispevajo k izpustom H-3 v okolje, so tlačnovodni reaktorji in obrati za predelavo jedrskega goriva. Pri reaktorjih hlajenih in moderiranih s težko vodo H-3 nastaja z nevronsko aktivacijo devterija, kjer tako letno nastane okrog 1,9 g oziroma  $6,8 \cdot 10^{14} \text{ Bq H-3}$  za reaktor z močjo 900 MWe, prispevek pa je mnogo večji od prispevka izpustov tlačnovodnih reaktorjev, kjer H-3 nastaja z zajetjem nevronov v B-10, ki je sestavni del primarnega hladila (borova kislina), in sicer letno okrog 0,03 g oziroma  $1,1 \cdot 10^{13} \text{ Bq H-3}$  za reaktor z močjo 900 MWe ali 0,09 g oziroma  $3,2 \cdot 10^{13} \text{ Bq H-3}$  za reaktor z močjo 1300 MWe. Zelo majhen del H-3 nastane tudi s cepitvijo nekaterih uranovih in plutonijevih izotopov, ki pa skoraj v celoti ostane v gorivu samem. Trenutna inštalirana moč vseh jedrskih reaktorjev je okrog 384000 MWe [74], od tega znaša delež težkovodnih reaktorjev okrog 5 % [75].

H-3 v obsevanem gorivu se večinoma izloči med predelavo goriva pri rezanju gorivnih palic, v okolje pa prehaja v obliki tritirane vode med tekočimi izpusti. V obratu La Hague (FR) izpustijo letno približno 30 g oziroma  $10^{16} \text{ Bq H-3}$  za vsakih 1600 ton jedrskega materiala, v obratu Sellafield (VB) pa letno približno 8 g oziroma  $2,8 \cdot 10^{15} \text{ Bq H-3}$  [71].

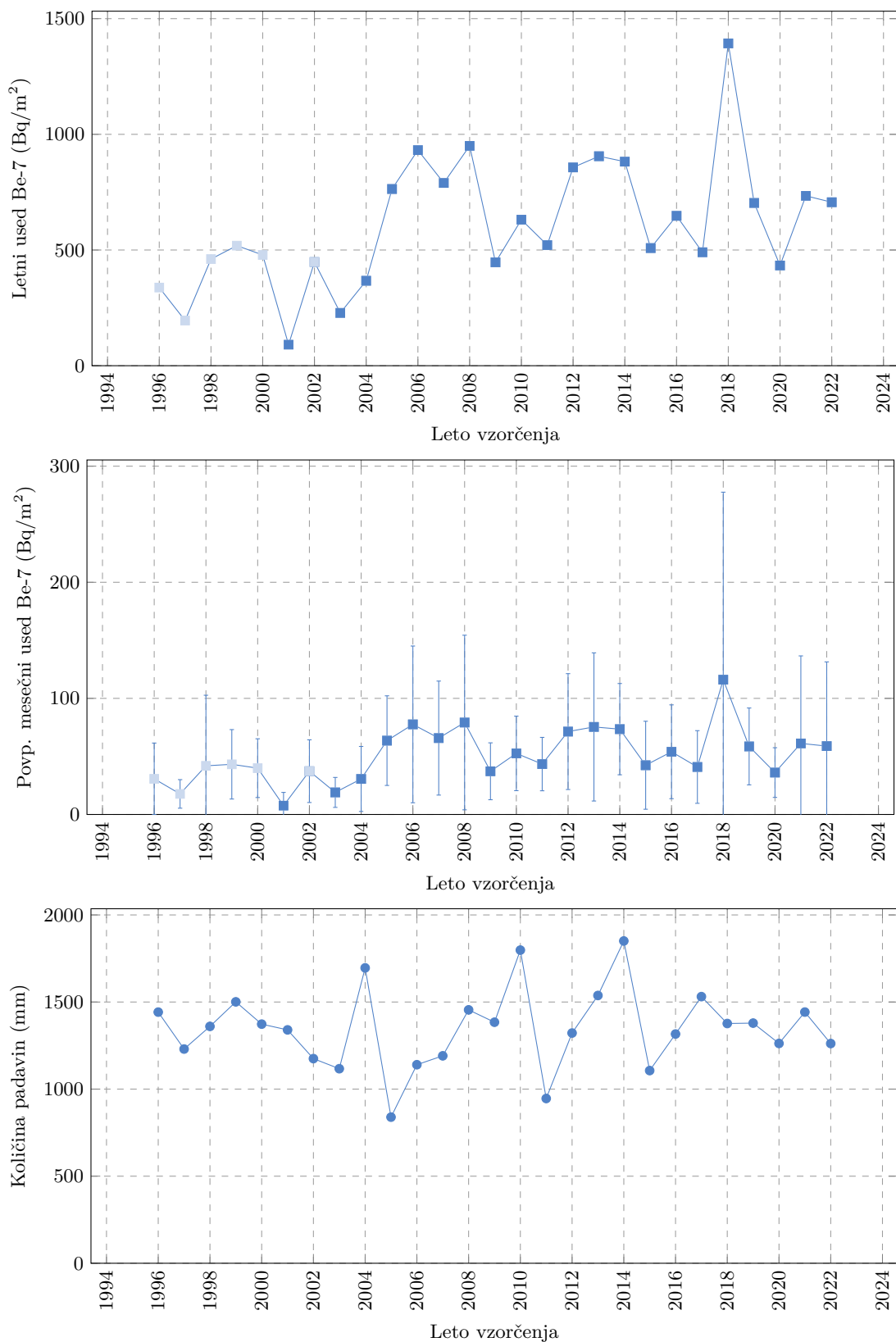
### **3.2.4 Specifična aktivnost kozmogenega Be-7**

Na sliki 3.34 so predstavljene dolgoročne meritve vsebnosti kozmogenega Be-7 v padavinah iz Ljubljane (od leta 2000 dalje). Posebej podajamo skupni letni used ( $\text{Bq}/\text{m}^2$ ) in povprečni mesečni used ( $\text{Bq}/\text{m}^2$ ) ter za orientacijo še količino padavin.

Posebej so v grafih označene starejše vrednosti v letih do 2000 in v letu 2002, kjer so koncentracije useda Be-7 izračunane na podlagi koncentracije aktivnosti zbranega vzorca padavin na enoto mase. V obdobju enomesečnega zbiranja padavin lahko del vzorca tudi izpari, kar pomeni, da so vrednosti navedene v grafih lahko celo za faktor 1-2 previsoke.

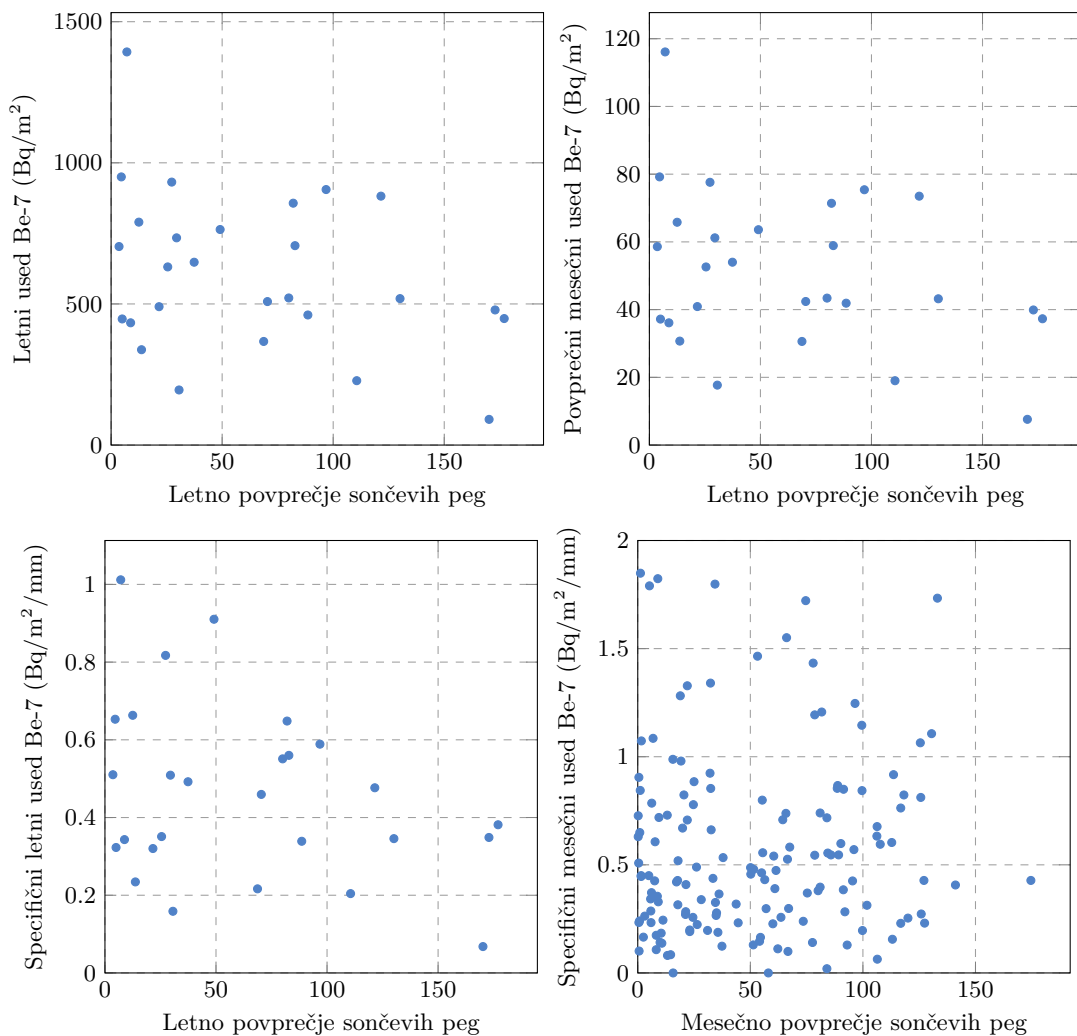
V letih okrog 2007 in v letu 2018 so opazne višje koncentracije Be-7 glede na prejšnja leta, in sicer približno za polovico. Podobno kot za vzorce zraka, lahko takšno povečanje pojasnimo s sončevim ciklusom, ki je podrobno opisan že v podpoglavlju 3.1.2.

Odvisnost useda Be-7 v padavinah od sončeve aktivnosti je vidna na sliki 3.35, kjer je zgoraj prikazana medsebojna odvisnost letnega oziroma povprečnega mesečnega



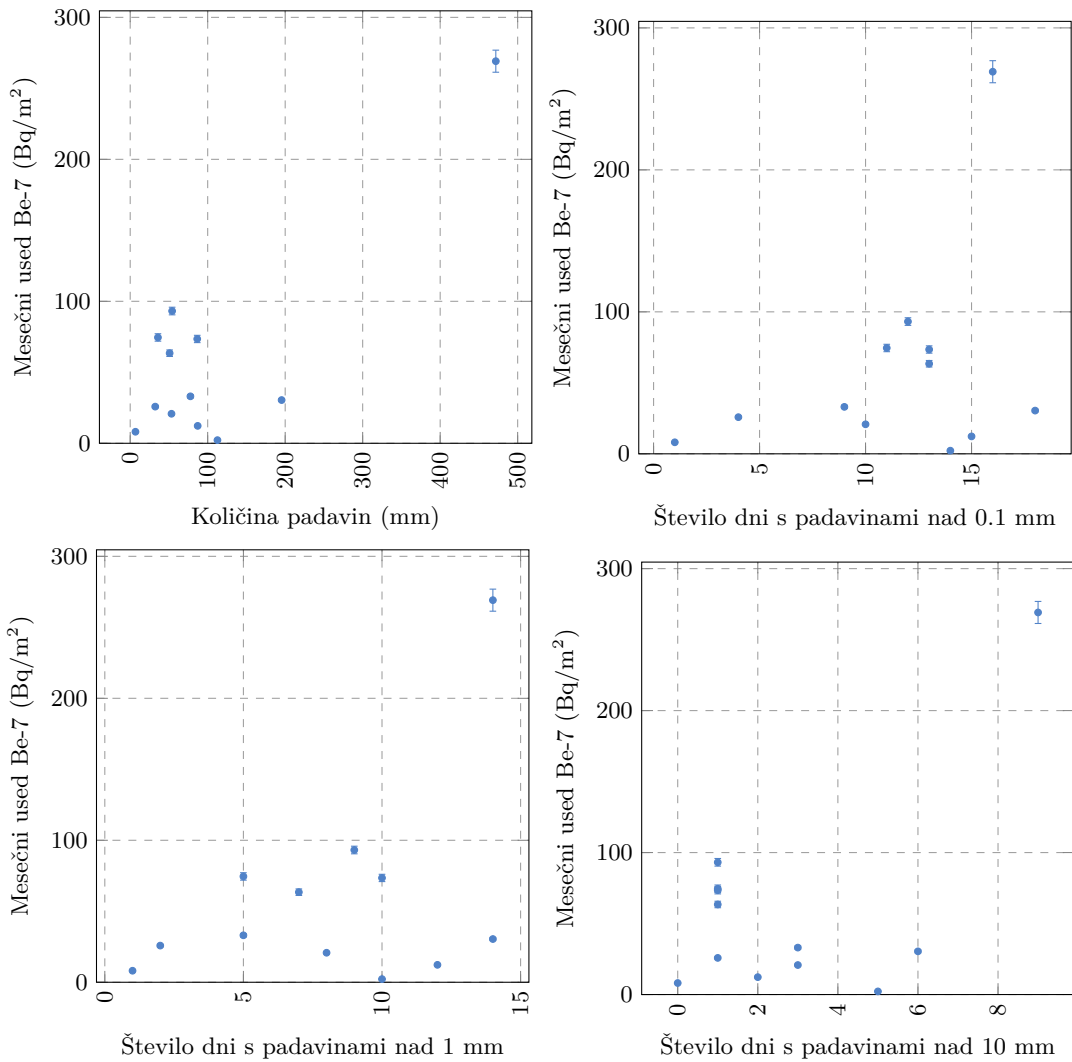
Slika 3.34 | Specifične aktivnosti Be-7 v padavinah iz Ljubljane za obdobje od leta 1996 dalje.

useda od števila sončevih peg. Used je jasno neposredno odvisen od količine padavin, ki izpirajo Be-7 iz zraka, zato je smiselno takšno izpiranje upoštevati. Tako lahko določimo nekakšen specifični letni oziroma mesečni used (letni oziroma mesečni used Be-7 preračunan na letno oziroma mesečno količino padavin), ki je prikazan na sliki 3.35 spodaj. Antikorelacija teh specifičnih usedov je delno vidna le na letnem nivoju, ni pa tako izrazita kot pri zraku (slika 3.24). Razliko lahko pojasnimo s samo dinamiko izpiranja, saj v primeru obilnih padavin, lahko kmalu pride do popolnega izpiranja Be-7 iz zraka, preračun specifičnega useda pa zaradi velike količine padavin da zelo nizko vrednost, delno pa lahko prispeva tudi zgoraj omenjena izguba vzorca zaradi izparevanja.



**Slika 3.35 | Korelacija skupnega letnega useda, povprečnega mesečnega useda in specifičnega letnega ter specifičnega mesečnega useda Be-7 s sončevim ciklom od leta 1996 dalje.**

Pri mesečnem usedu pa ni pomembna samo količina padavin, ampak tudi način izpiranja, npr. kratke močne plohe ali dolgotrajne minimalne padavine. Smiselno je torej poleg količine padavin upoštevati še število dni z zadostnimi padavinami, saj pri dnevnih padavilih < 1 mm izpiranje ni nujno dovolj učinkovito. Zato so na sliki 3.36 prikazane korelacije tudi s takšnimi podatki – število dni s padavinami nad določeno količino.



**Slika 3.36 |** Korelacija izmerjenega mesečnega useda Be-7 v padavinah v Ljubljani in količino padavin oziroma številom deževnih dni (za leto 2022).

### 3.3 Tekoče vode

#### 3.3.1 Vzorčenje in rezultati meritev

Meritve tekočih vod so bile opravljene na istih lokacijah kot v prejšnjih letih, in sicer v dveh enkratnih vzorcih rek Save v Ljubljani in Brežicah, Drave pri Dravogradu in Mariboru (ta lokacija je bila dodana v letu 2022), Mure pri Petanjcih, Savinje pod Celjem, Krke pri Otočcu, Soče pri Solkanu in Kolpe pri Vinici ter morja in sedimenta v Piranu. V vzorcih rek Save, Drave in Mure so bile opravljene meritve koncentracije aktivnosti H-3 ter Sr-90.

Rezultati meritev so prikazani v poglavju 8 v tabelah od 8.12 do 8.14.

V vzorcih rek smo merili umetne radionuklide Cs-137, Sr-90 in H-3, ki so produkt človekovih dejavnosti, ter I-131, ki se uporablja v terapevtske namene v bolnišnicah v Sloveniji in v Avstriji, in sicer izpusti iz Onkološkega instituta in Univerzitetnega kliničnega centra Ljubljana v Savo, bolnice v Celovcu<sup>10</sup> v Dravo in bolnice v Gradcu<sup>11</sup> v Muro. Višje izmerjene koncentracije Cs-137 in Sr-90 so pričakovano v Muri (delno v Dravi), ki s sabo nosi izpran material iz avstrijskega dela Alp, kjer je bilo po nesreči v Černobilu tudi največ radioaktivnega useda teh dveh radionuklidov in je tam prisoten še danes, kot je prikazano na sliki 3.38 [76]. V Savi, Savinji, Muri in Dravi je bil opažen tudi umetni radionuklid Lu-177, ki se v zadnjem času uporablja bodisi za zdravljenje tumorjev bodisi za diagnostiko. V letu 2022 je v Savi v Brežicah vzorčenje potekalo ravno po izpustu H-3 iz Nuklearne elektrarne Krško, saj je ena izmerjena koncentracija za dva velikostna reda višja od siceršnjih. Posledično je povprečje koncentracije aktivnosti H-3 za leto 2022 bistveno višje od prejšnjih let.

Določali smo tudi koncentracije aktivnosti naravnih radionuklidov uranove in torijeve vrste ter K-40 in Be-7. Najvišje izmerjene koncentracije in povprečne vrednosti so predstavljene v spodnji tabeli 3.3.

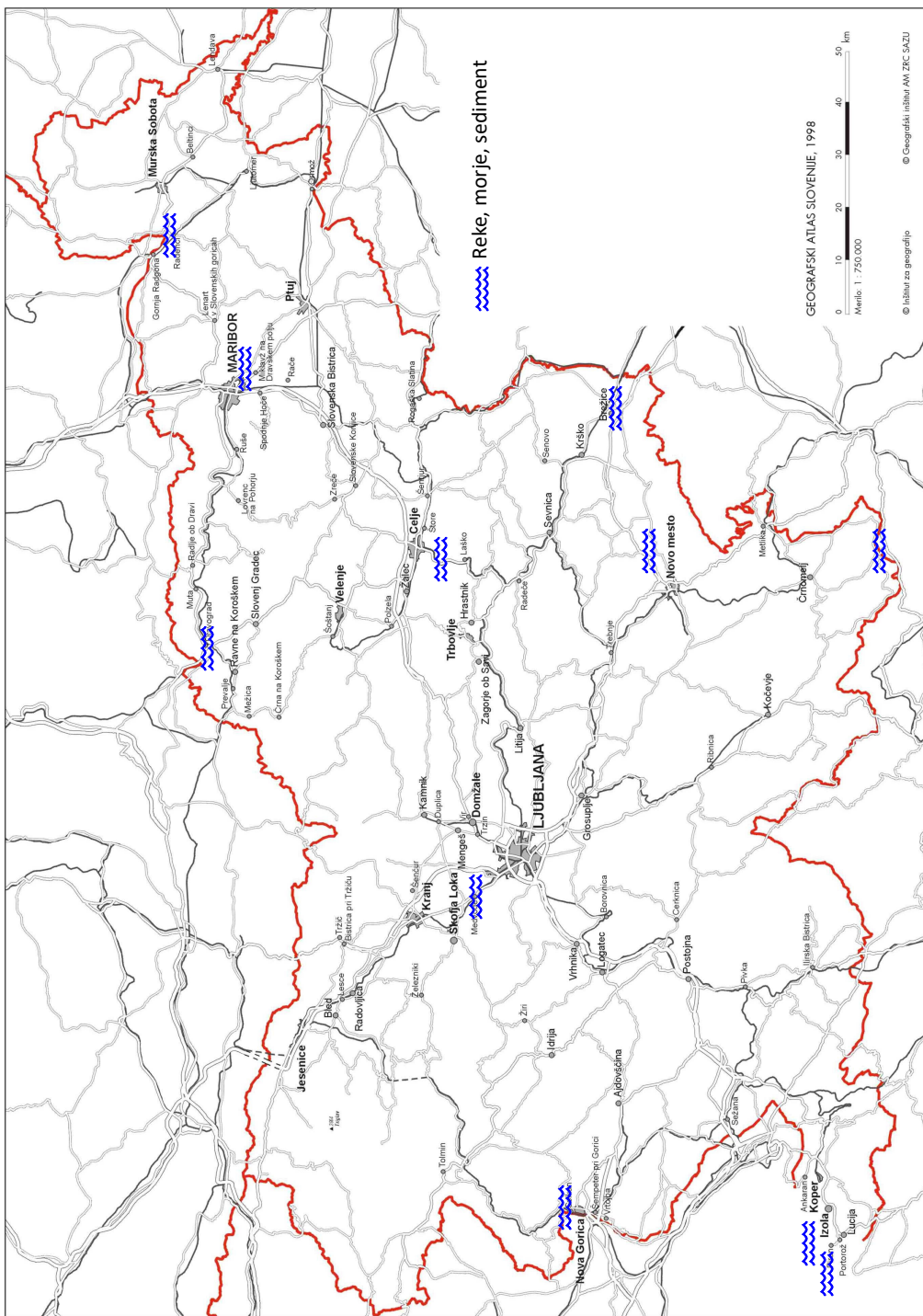
**Tabela 3.3 |** Najvišje izmerjene,  $A_{\max}$ , in povprečne koncentracije,  $\bar{A}$ , radionuklidov v vzorcih tekočih vod

Radionuklid	$A_{\max}$ (Bq/m <sup>3</sup> )	Lokacija	$\bar{A}$ (Bq/m <sup>3</sup> )
Cs-137	1,3	Mura	$0,26 \pm 0,08$
Sr-90	2,2	Sava - Ljubljana	$1,6 \pm 0,1$
I-131	17	Sava - Ljubljana	$2,0 \pm 0,2$
Lu-177	115	Sava - Ljubljana	$49 \pm 5$
H-3	41500	Sava - Brežice	$4720 \pm 160$
Pb-210	28	Sava - Brežice	$4,5 \pm 2,2$
K-40	274	Savinja	$53 \pm 2$
Be-7	5,0	Sava - Ljubljana	$5,2 \pm 0,8$

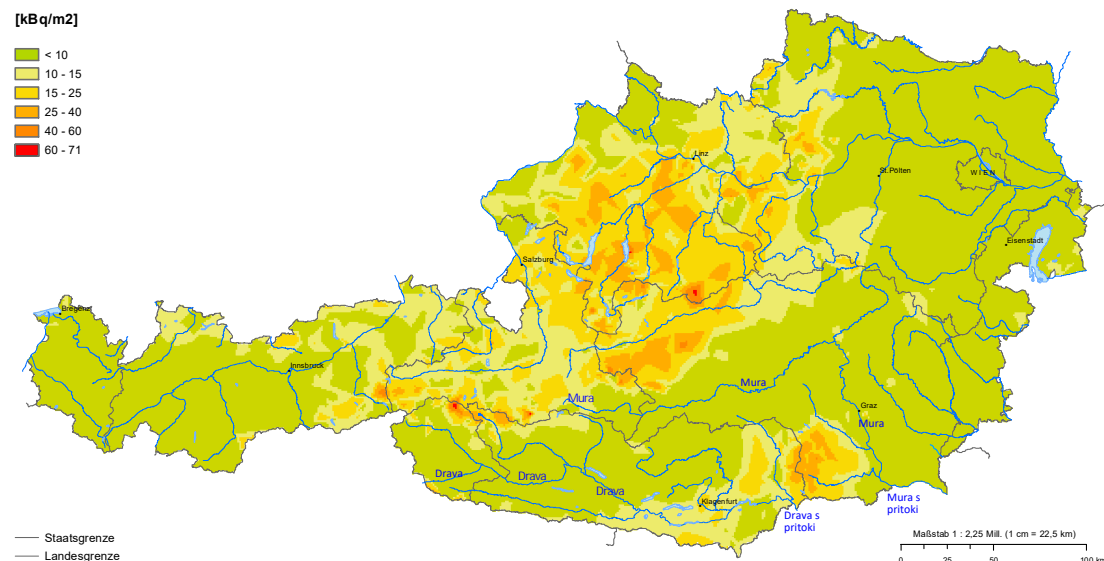
Iz tabele meritev 8.15 vidimo, da je koncentracija K-40 v Savinji pri Celju in v Muri pri Petanjcih za približno en velikostni red višja kot na drugih mestih. V letu 2020 je bila izvedena posebna študija na poljedelsko intenzivnih območjih Slovenije, kjer so bile poleg rečnih hkrati izmerjene koncentracije K-40 in ostalih radionuklidov v obdelovalni zemlji ter poljščinah. Izsledki študije so predstavljeni v podpoglavlju 3.3.3. Zanesljivih zaključkov povečanja koncentracij zaradi gnojenja gnojili bogatimi z K-40 ne moremo ugotoviti, povišanje koncentracij v Savinji pa je najverjetnejše posledica mešanja vode v čistilni napravi pri Celju. Zajem vzorčenja v letu 2022 še ni bil izveden protitočno od čistilne naprave.

<sup>10</sup>Klinikum Klagenfurt am Wörthersee

<sup>11</sup>Steiermärkische Krankenanstalten-GmbH, LKH-Univ. Klinikum Graz



Slika 3.37 | Lokacije vzorčenja tekočih vod.



**Slika 3.38 | Karta preostale specifične aktivnosti Cs-137 v tleh v Avstriji (leto 2021).**

### 3.3.2 Dolgoročni trendi

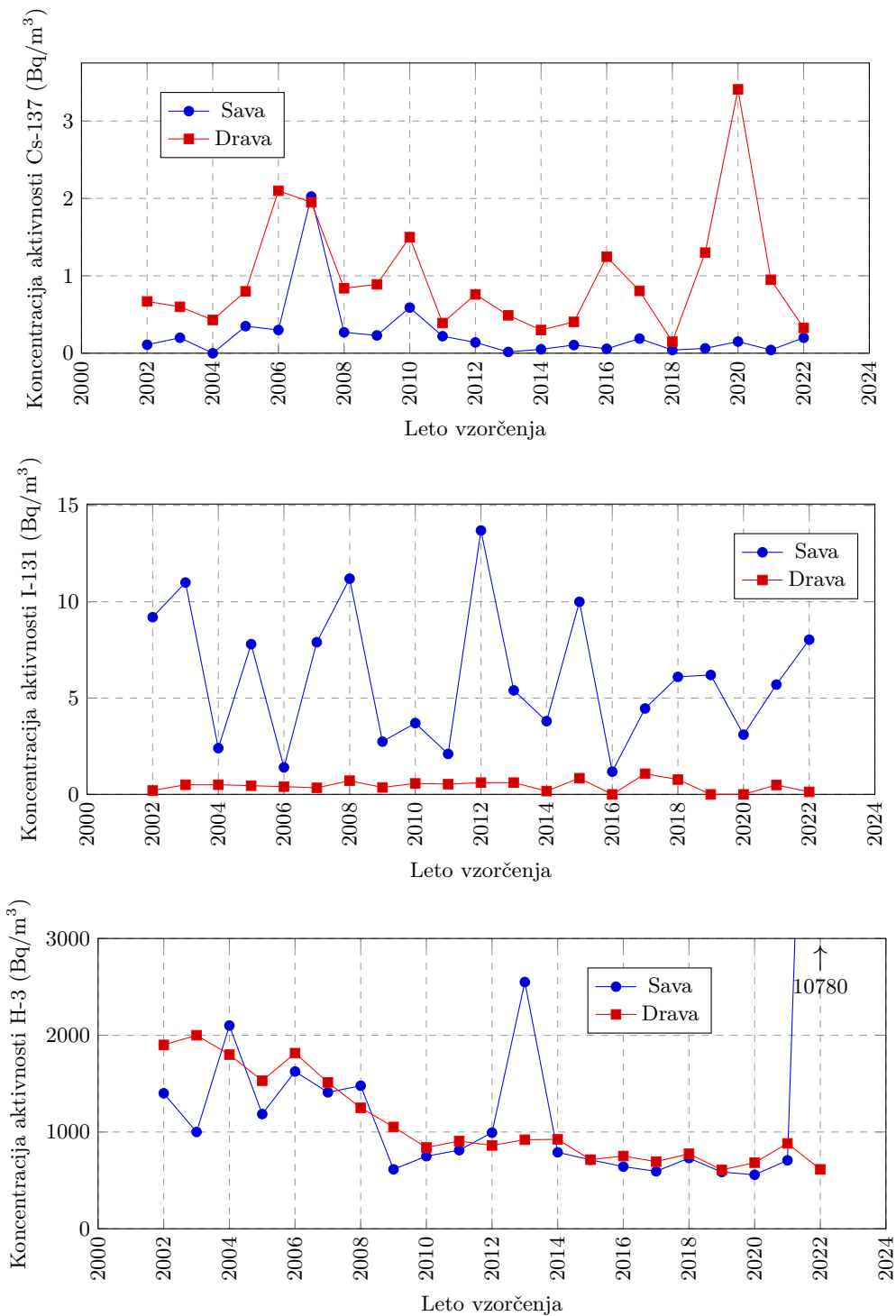
Na sliki 3.39 so prikazane povprečne vrednosti koncentracij aktivnosti Cs-137, I-131 in H-3 v rekah Savi (povprečje lokacije pri Ljubljani in Brežicah) in Dravi v Dravogradu za obdobje od leta 2002 dalje. V letu 2007 opazimo navidezno višjo vrednost koncentracij Cs-137 v reki Savi, vendar lahko ugotovimo, da je bila koncentracija pod mejo detekcije, ki je bila v tem primeru višja za to specifično meritev. Enako velja tudi za koncentracije Cs-137 v reki Dravi v letih 2006 in 2007. V okviru dolgoročnih meritev Opazimo lahko tudi, da je I-131 prisoten v Savi (Ljubljana in Brežice), Savinji in Dravi, kar je najbrž posledica izpustov I-131 iz Univerzitetnega kliničnega centra in Onkološkega instituta v Ljubljani, Splošne bolnišnice v Celju in iz avstrijskih bolnic gorvodno od Dravograda, kjer izvajajo terapijo z omenjenim izotopom in kjer so lahko izmerjene koncentracije močno odvisne od dneva vzorčenja. Zaključke o razmerjih izotopa v obeh rekah pa je zaradi narave izvajanja terapevtskih postopkov in le dveh letnih meritev enkratnih vzorcev težko podati.

### 3.3.3 Študija K-40 na poljedeljsko intenzivnih območjih

V letu 2020 (julij–avgust) je bila izvedena posebna študija koncentracij radionuklida K-40 in drugih zaznanih gama sevalcev na poljedelskih območjih Slovenije [26], s katero bi lahko pojasnili zgoraj omenjene anomalije koncentracij aktivnosti K-40 v Savinji in Muri. Lokacije vzorčenja so bile v grobem izbrane na poljedeljsko intenzivnih območjih v bližini 11 rek v Sloveniji na 12 lokacijah in so prikazane na sliki 3.40.

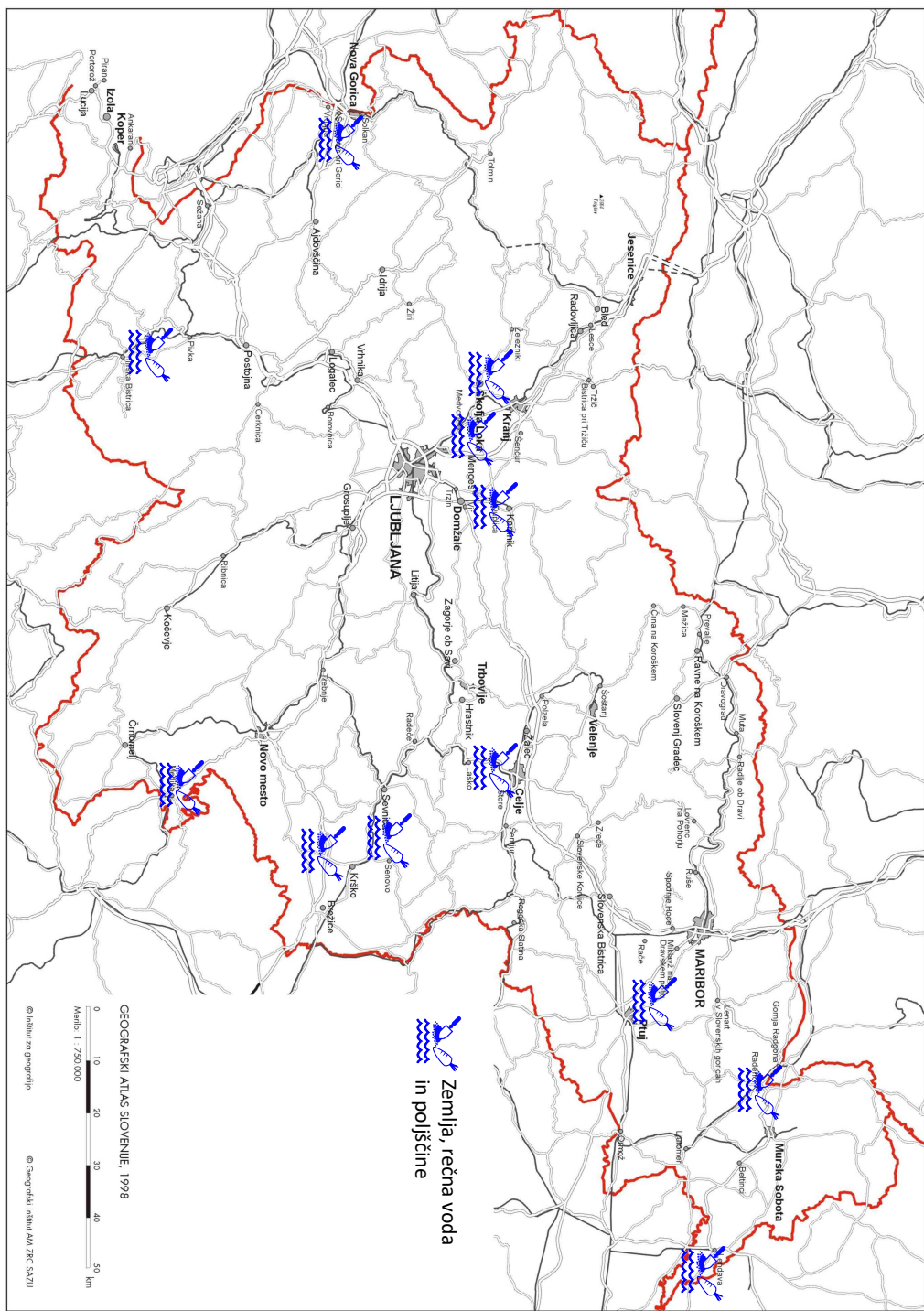
Meritve so obsegale nadzor radioaktivnosti 12 vzorcev obdelane zemlje (do globine 15 cm), 12 vzorcev tekočih vod (rek) in 12 vzorcev sezonskih poljščin na naslednjih lokacijah:

- Ledava pri Lendavi
- Mura pri Murski Soboti
- Drava na Ptuju
- Savinja pri Celju
- Sava (2 lokaciji) na Zbilju in pri Blanci
- Krka pri Kostanjevici na Krki



**Slika 3.39 |** Povprečne letne koncentracije aktivnosti Cs-137, I-131 in H-3 v reki Savi (povprečje lokacij Ljubljana in Brežice) in Dravi (lokacija Dravograd) od leta 2002 dalje.

- Kolpa pri Metliki
- Kamniška Bistrica pri Mengšu
- Sora pri Škofji Loki
- Reka pri Ilirske Bistrici



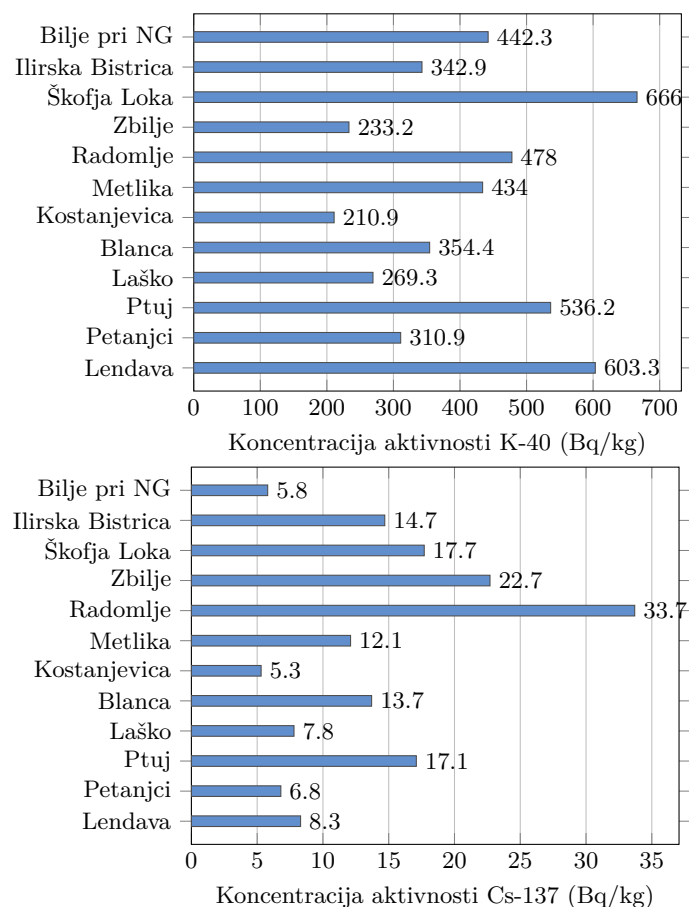
**Slika 3.40 |** Lokacije vzorčenja rečne vode, zemlje in poljščine na poljedelsko intenzivnih področjih Slovenije.

- Vipava pri Bilju pri Novi Gorici

Rezultati meritev so podani v tabelah 8.19, 8.20 in 8.21 na straneh od 148 do 150 v poglavju 8. Na slikah 3.41, 3.42 in 3.43 so grafično prikazani rezultati meritev izotopa K-40 in Cs-137 v zemlji, rečni vodi in poljščinah.

### Obdelana zemlja

V vzorcih obdelane zemlje je največ K-40 izmerjenega v Škofiji Loki, Lendavi in na Ptaju. Žal ne razpolagamo s podatki o intenzivnosti gnojenja z umetnimi gnojili, ki lahko vsebujejo večje koncentracije K-40. Vse izmerjene koncentracije K-40 v vzorcih so v obsegu 200-700 Bq/kg, večjih anomalij ni opaziti. V okviru Monitoringa radioaktivnosti v življenskem okolju v Republiki Sloveniji so rezultati meritev K-40 v vzorcih sicer neobdelane zemlje v primerljivem obsegu vrednosti.



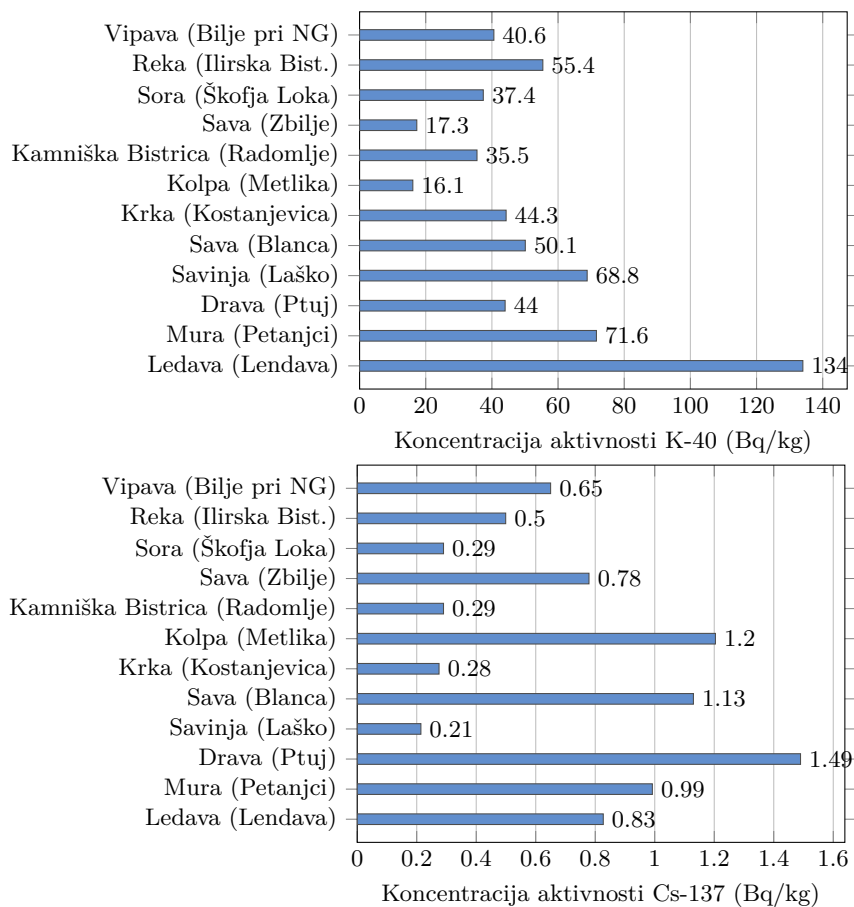
Slika 3.41 | Koncentracije K-40 in Cs-137 v obdelani zemlji na poljedeljsko intenzivnih območjih

V vzorcih zemlje so bili izmerjeni tudi radionuklidi uranove oziroma torijeve razpadne verige (U-238 in Ra-226 oziroma Ra-228 in Th-228). Vse izmerjene koncentracije uranove in torijeve verige v vzorcih so v obsegu 20-60 Bq/kg, večjih anomalij ni opaziti. Poleg naravnih radionuklidov je bil v vzorcih zemlje izmerjen tudi umetni Cs-137, ki je posledica kontaminacije življenskega okolja zaradi jedrske nesreče v Černobilu leta 1986. Vse izmerjene koncentracije Cs-137 v vzorcih so v obsegu 5-35 Bq/kg, večjih anomalij ni opaziti. Najvišje koncentracije Cs-137 v zemlji so bile izmerjene v Radomljah, na Zbilju in v Škofiji Loki. Meritve odražajo porazdelitev kontaminacije zaradi radioaktivnega useda po nesreči, kjer je bil ta največji v severozahodnem alpskem delu Slovenije. Tri največje

izmerjene koncentracije so ravno v vzorcih s t.i. predalpskega območja. Primerjava z meritvami koncentracij v okviru Monitoringa radioaktivnosti v življenjskem okolju v Republiki Sloveniji ni smiselna, saj pri obdelani zemlji pride do mešanja plasti, pri neobdelani zemlji pa lahko ugotovimo značilen globinski profil, kjer koncentracije bistveno variirajo z globino.

### Rečna voda

V vzorcih rečne vode je največ K-40 izmerjenega v Ledavi pri Lendavi, Muri pri Petanjcih in Savinji nad Laškim. Vse izmerjene koncentracije K-40 v vzorcih so v obsegu 20-140 Bq/m<sup>3</sup>, večjih anomalij ni opaziti, izstopa edino Ledava s približno dvakrat višjo koncentracijo kot v ostalih rekah. V okviru Monitoringa radioaktivnosti v življenjskem okolju v Republiki Sloveniji so rezultati meritev K-40 v vzorcih rečne vode v obsegu do okrog 100 Bq/m<sup>3</sup>, z izjemo sicer stalne anomalije koncentracije K-40 v Savinji. Po podrobnejši analizi lokacij vzorčenja v okviru monitoringa (pod čistilno napravo v Celju) in pričujoče študije (nad Laškim, več kilometrov dolvodno) lahko zaključimo, da je bistveno višja koncentracija v okviru monitoringa (npr. 470 oziroma 320 Bq/m<sup>3</sup> v letu 2020 oziroma 2019) najverjetneje posledica koncentriranih izpustov iz čistilne naprave.



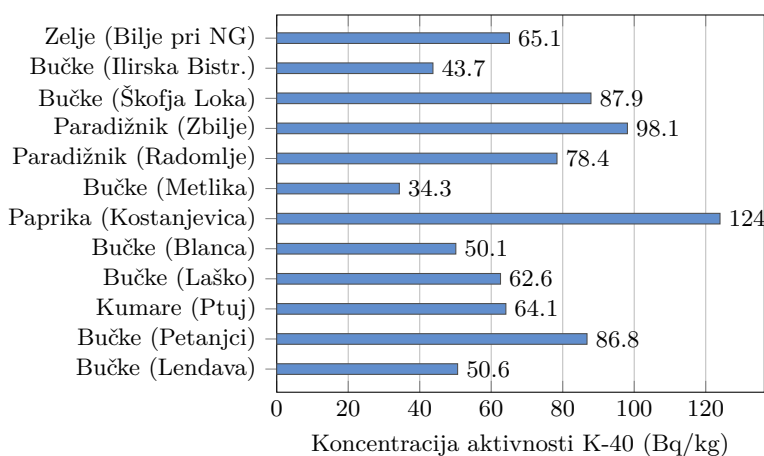
**Slika 3.42 |** Koncentracije K-40 in Cs-137 v nefiltrirani rečni vodi na različnih lokacijah intenzivnega poljedelstva

Koncentracije radionuklidov uranove in torijeve razpadne verige so merljive, vendar so zelo blizu detekcijske meje, podobno velja za umetni izotop Cs-137. Koncentracije kozmogenega Be-7 sicer močno variirajo v obsegu 7,5-130 Bq/m<sup>3</sup>, vendar so močno odvisne od vzorčenja, predvsem nanje vpliva intenziteta padavin in pretekli čas od deževja.

pred vzorčenjem. Zato kakršen koli dodaten komentar ni smiseln. Med anomalijami lahko edino izpostavimo dva izmerka I-131, v Savi (Blanca) in Savinji (pod Celjem), ki sta posledica odplak pacientov z radioterapije ščitnice v UKC Ljubljana in SB Celje.

### Poljščine

V vzorcih poljščin smo konsistentno lahko izmerili le K-40, koncentracije naravnih radionuklidov uranove in torijeve verige ter umetnega Cs-137 so le malo nad ali pod detekcijsko mejo, zato jih posebej ne analiziramo. Največ K-40 je izmerjenega v papriki iz Kostanjevice pri Krki, paradižniku iz Zbilj in bučkah iz Škofje Loke. Vse izmerjene koncentracije K-40 v vzorcih so v obsegu 40-130 Bq/kg, večjih anomalij ni opaziti. V okviru Monitoringa radioaktivnosti v življenjskem okolju v Republiki Sloveniji so rezultati meritev K-40 v vzorcih zelenjave v obsegu 50-140 Bq/kg (za leto 2020).



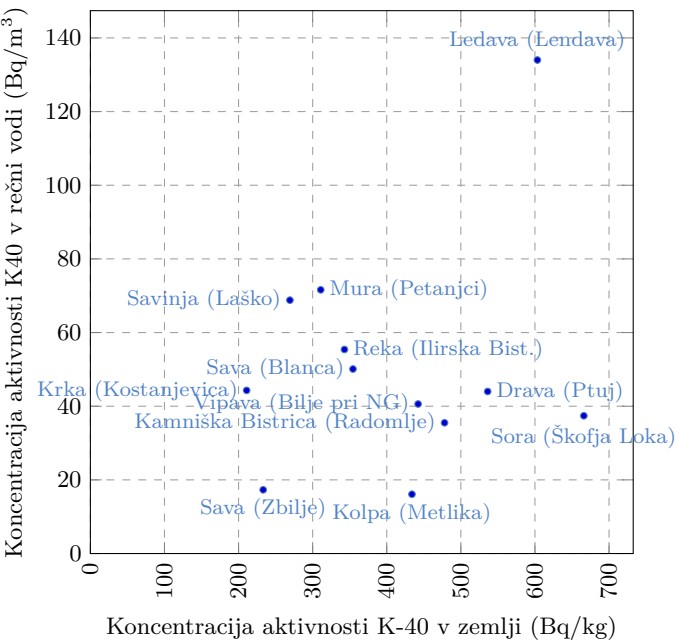
**Slika 3.43 | Koncentracije K-40 v poljščinah na različnih lokacijah intenzivnega poljedelstva**

Vzorčili smo različne vrste poljščin, zato jih je zaradi morebitnih različnih prenosnih lastnosti K-40 iz zemlje težko primerjati med sabo.

### Morebitne korelacije koncentracij

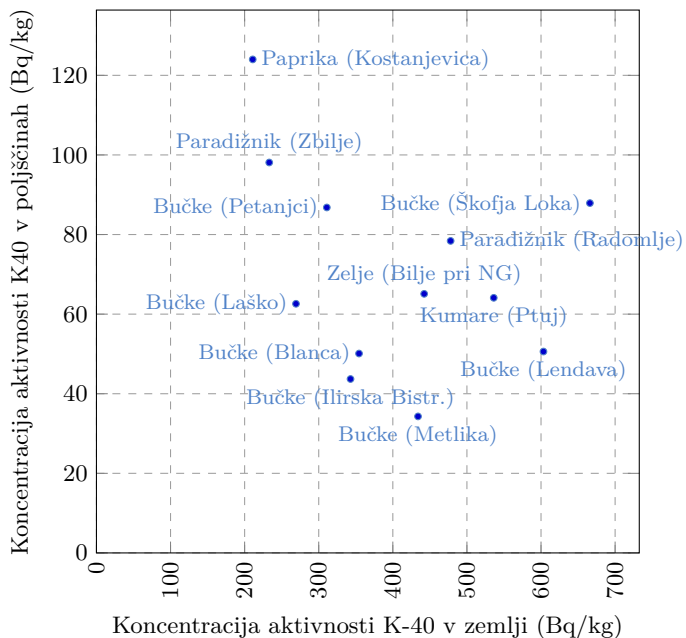
Na podlagi meritev koncentracij sevalcev gama v obdelani zemlji, rečni vodi in poljščinah smo analizirali morebitne medsebojne odvisnosti. Praktično nemogoče je oceniti, ali je višja koncentracija K-40 v zemlji posledica gnojenja z umetnimi gnojili ali geoloških lastnosti tal. Na sliki 3.44 je izrisana korelacija med koncentracijami K-40 v obdelani zemlji in K-40 v rečni vodi, ki bi bila posledica izpiranja iz okoliške obdelovalne zemlje. Načeloma lahko opazimo rahlo korelacijo, vendar je za takšno trditev premalo meritev v različnih pogojih. V grobem lahko opazimo, da višje koncentracije K-40 v zemlji načeloma povzročajo rahlo višje koncentracije K-40 v rečni vodi, najbolj je to sicer izrazito v Ledavi pri Lendavi. Najverjetnejše je tudi način in intenzivnost izpiranja posledica lastnosti tal, za kar v okviru te študije nimamo dovolj podatkov.

Na sliki 3.45 je izrisana korelacija med koncentracijami K-40 v obdelani zemlji in K-40 v poljščinah, ki bi bila posledica fiziologije oziroma metabolizma rastlin (procesi prenosa iz okoliške obdelovalne zemlje v plodove). Tudi tu je kakršna koli trditev neutemeljena zaradi premajhnega števila podatkov in različnih vrst rastlin z morebitnimi različnimi prenosnimi mehanizmi. Na sliki sicer lahko interpretiramo grafični prikaz rezultatov kot rahlo antikorelacijo, torej da bi rastline na zemlji z več gnojila lahko bolje uspevale in posledično povzročile »osiromašenje« K-40 v preostali zemlji. Vendar je za takšno trditev preveč faktorjev, ki vplivajo na koncentracije, poleg vrste poljščin in uporabe umetnih



**Slika 3.44 | Analiza korelacije izotopa K-40 v obdelani zemljji in nefiltrirani rečni vodi.**

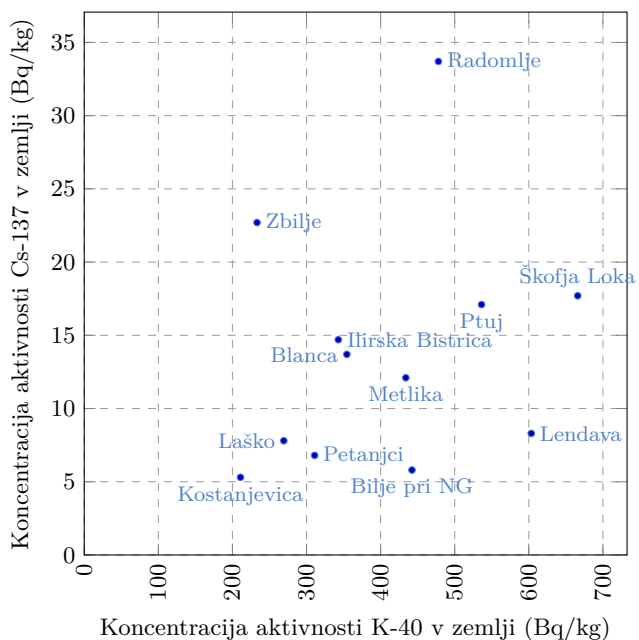
gnojil s kalijem, najverjetneje tudi intenzivnost pridelovanja, količina namakanja ipd.



**Slika 3.45 | Analiza korelacije izotopa K-40 v zemljji in poljščinah.**

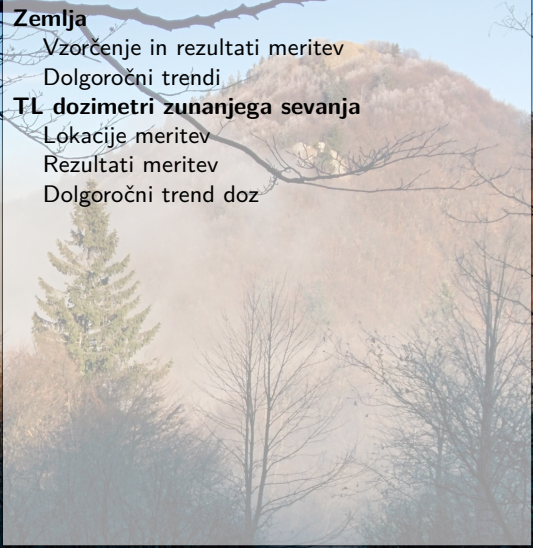
Na sliki 3.46 je izrisana korelacija med koncentracijami K-40 in Cs-137 v obdelani zemljji. V nekateri literaturi poročajo [77], da so pri nadzorovanih eksperimentih ugotovili "dekontaminacijo" s Cs-137 kontaminiranih površin pri uporabi gnojil z višjo vsebnostjo kalija. V okviru raznih raziskav po jedrski nesreči v Fukušimi so prišli do ugotovitev,

da je možna uspešnejša dekontaminacija tal z uporabo gnojil, kjer zaradi boljše rasti specifičnih rastlin (trava perjanka) in posledično večje biomase le-ta fiziološko učinkoviteje veže nase radioaktivni Cs-137 ter na ta način zmanjšuje koncentracije Cs-137 v tleh. Na sliki 3.46 pa takšna morebitna antikorelacija ni vidna, saj so poljščine lahko takšne vrste, da prenos Cs-137 iz zemlje v plodove ni pretirano učinkovit ali izrazit.



**Slika 3.46 |** Analiza korelacije izotopa K-40 in Cs-137 v zemljji.





## 4 — Monitoring zemlje in zunanjega sevanja

### 4.1 Zemlja

#### 4.1.1 Vzorčenje in rezultati meritev

Zemljo smo v letu 2022 vzorčili v spomladanskem in jesenskem obdobju na petih globinah 0-10 cm, 10-20 cm, 20-30 cm, 30-40 cm, 40-50 cm, in sicer na lokacijah Ljubljana (IJS), Kobarid in Murska Sobota (obe ZVD), ki so prikazane na sliki 4.1<sup>1</sup>.

Rezultati meritev koncentracij aktivnosti radionuklidov v vzorcih zemlje so prikazani v poglavju 8 v tabelah od 8.23 do 8.25 ter na slikah 4.2, 4.3 in 4.4.

Koncentracije aktivnosti v vseh petih plasteh so v poglavju 8 prikazane v enotah Bq/kg posušene presejane zemlje in tudi preračunane na enoto površine v Bq/m<sup>2</sup> (IJS). Pri tem so ponekod preračunane tudi vrednosti za naravne radionuklide, za katere pa vemo, da ne predstavljajo površinske kontaminacije.

#### Ljubljana.

V vzorcih zemlje iz Ljubljane je bilo povprečje koncentracije aktivnosti v vseh petih plasteh  $11,0 \pm 1,0$  Bq/kg za Cs-137 in  $0,7 \pm 0,2$  Bq/kg za Sr-90, po plasteh pa je vsebnost Cs-137 v globljih plasteh nižja, vsebnost Sr-90 pa z globino narašča in nato spet pada.

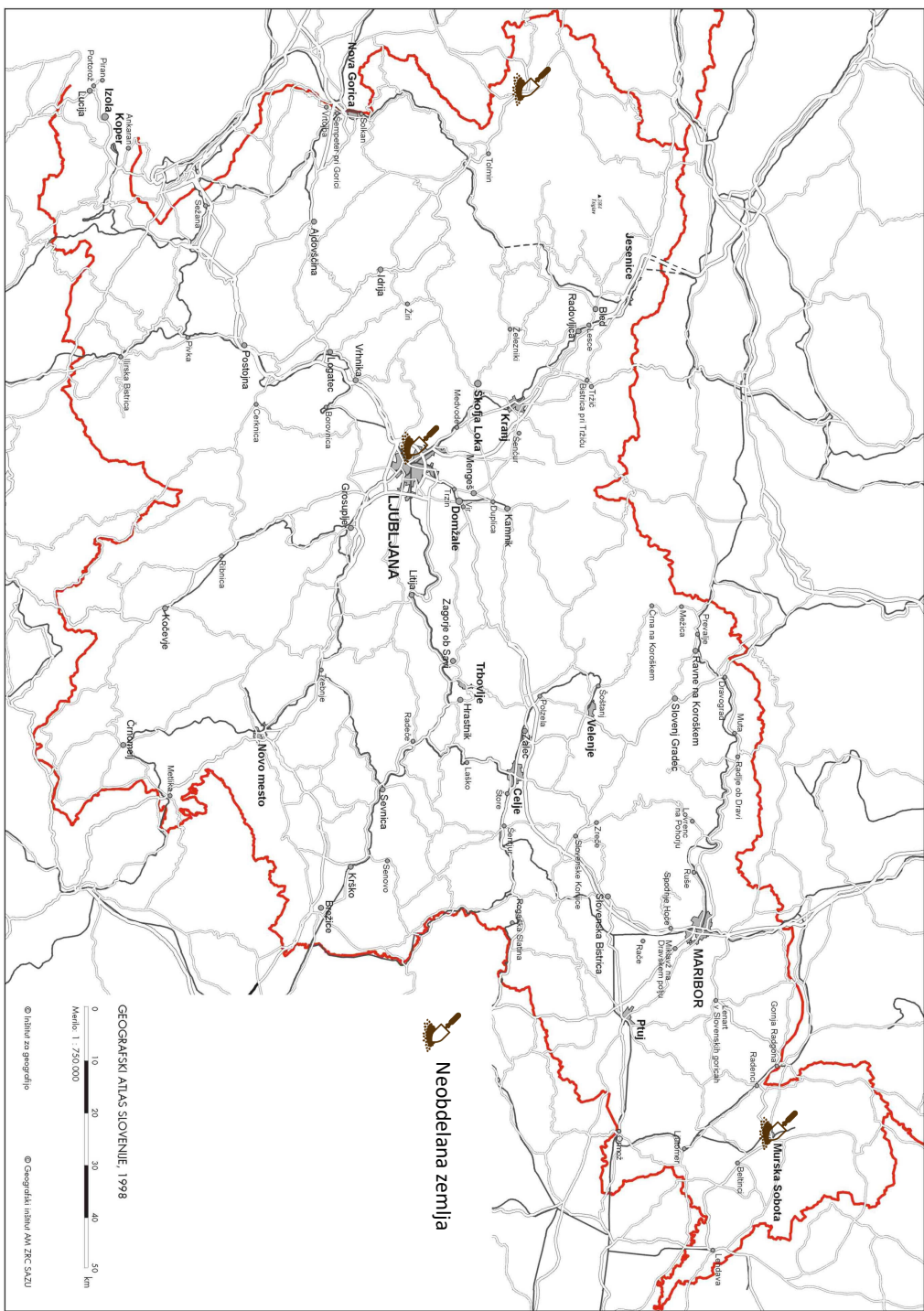
#### Kobarid.

V vzorcih zemlje iz Kobarida je bilo povprečje koncentracije aktivnosti  $37 \pm 31$  Bq/kg za Cs-137 in  $1,5 \pm 0,8$  Bq/kg za Sr-90, po plasteh pa je vsebnost Cs-137 in Sr-90 v globljih plasteh nižja. V vzorcih iz globljih plasti so aktivnosti Sr-90 že zelo blizu ali celo pod mejo detekcije.

#### Murska Sobota.

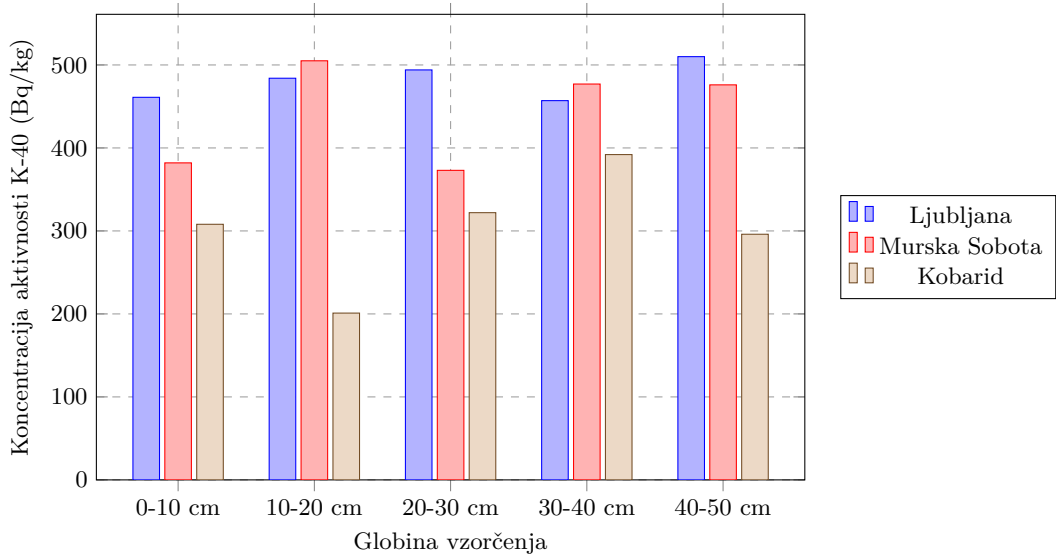
V vzorcih zemlje iz Murske Sobote je bilo povprečje koncentracije aktivnosti  $9 \pm 10$  Bq/kg za Cs-137 in  $0,2 \pm 0,2$  Bq/kg za Sr-90, pri čemer je večina meritev pod mejo detekcije,

<sup>1</sup>Do leta 2017 smo vzorčili na teh istih lokacijah ampak na drugačnih globinah, in sicer 0-5 cm, 5-10 cm, 10-15 cm, leta 2018 pa na globinah 0-10 cm, 10-20 cm, 20-30 cm, od leta 2019 dalje pa še na globinah 30-40 cm in 40-50 cm,. Od leta 2009 dalje IJS vzorči zemljo v Ljubljani na lokaciji Ceste dveh cesarjev, prejšnja leta pa je na tej lokaciji vzorčil ZVD (v letu 2008 in 2006 je vzorčenje potekalo na lokaciji IJS Podgorica).

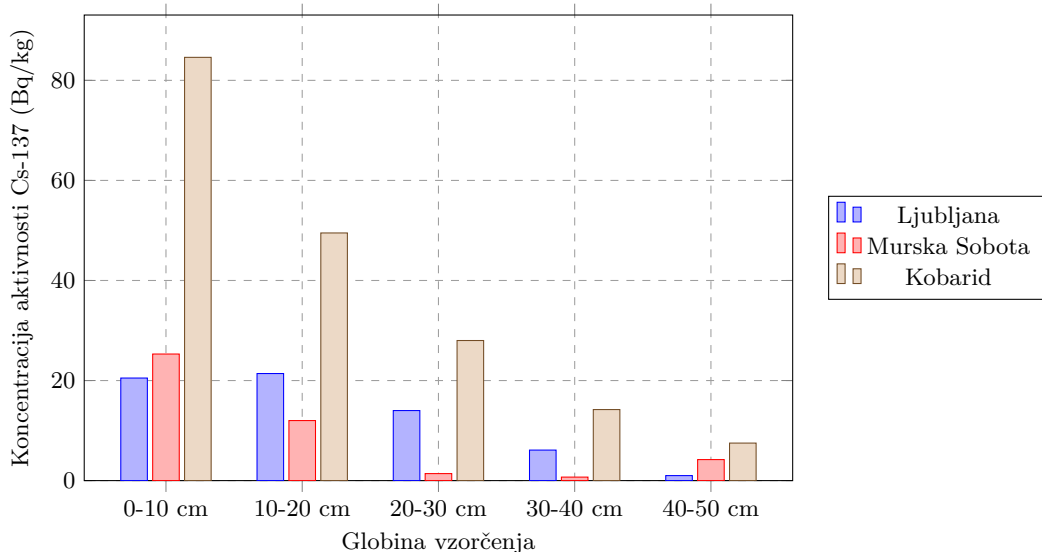


Slika 4.1 | Lokacije vzorčenja vzorcev zemlje.

po plasteh pa je vsebnost Cs-137 in Sr-90 v globljih plasteh nižja.



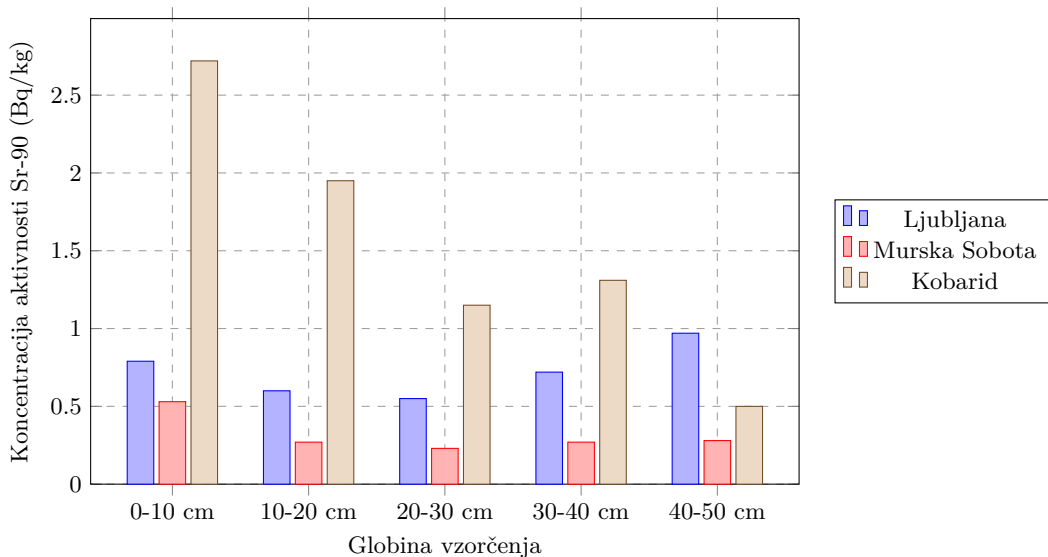
**Slika 4.2 |** Povprečna letna koncentracija aktivnosti K-40 v zemlji



**Slika 4.3 |** Povprečna letna koncentracija aktivnosti Cs-137 v zemlji

### Vpliv značilnosti mikrolokacij.

Zaradi značilnosti terena, kotanjavosti, nagnjenosti, difuzijskih lastnosti zemlje in lokalnih posebnosti padavin v času černobilske nesreče, se vrednosti koncentracij aktivnosti Cs-137 ali Sr-90 močno razlikujejo že na lokalni ravni. Že na razdalji nekaj metrov med lokacijama vzorčenja se lahko koncentracije aktivnosti razlikujejo za nekajkrat. Očitno so difuzijski procesi Sr-90 in Cs-137 v različnih tipih zemlje različni, kar potrjujejo tudi različni globinski profili v prejšnjih letih, ki med seboj niso popolnoma konsistentni.



**Slika 4.4 | Povprečna letna koncentracija aktivnosti Sr-90 v zemlji**

#### Menjava vzorčevalnih globin.

Z menjavo globin vzorčenja zemlje smo v letu 2018 prešli z 0–5 cm, 5–10 cm in 10–15 cm na 0–10 cm, 10–20 cm in 20–30 cm, v letu 2019 pa sta bili dodani še plasti na globinah 30–40 cm in 40–50 cm. Prejšnja leta smo ugotavljali vedno nižje koncentracije v zgornjih plasteh, kjer je najverjetneje že prišlo do prehajanja radionuklidov v globlje plasti. Z novimi meritvami smo to tudi potrdili. Taki trendi si dobro opazni za Cs-137, treba pa je poudariti, da so na nekaterih mestih koncentracije Sr-90 že zelo nizke in komentarji zaradi izmerkov zelo blizu meje detekcije kmalu ne bodo več smiselnii.

#### 4.1.2 Dolgoročni trendi

Na slikah 4.5, 4.6 in 4.7 so do vključno leta 2017 prikazane časovne odvisnosti specifične aktivnosti Cs-137, Cs-134 in Sr-90 v plasti 0–5 cm za Ljubljano, Kobarid in Mursko Sobo za obdobje od leta 1986 dalje (za izotop Cs-137 so prikazane vse plasti 0–5 cm, 5–10 cm in 10–15 cm). Poleg povprečnih letnih specifičnih aktivnosti so za primerjavo prikazane tudi vrednosti za naravnii radioaktivni razpad omenjenih radionuklidov za isto obdobje za pripovršinsko plast (označene s polno črto), ob privzetih začetnih vrednostih, izmerjenih v aprilu 1986. Koncentracije radionuklidov v zemlji ne sledijo eksponentni funkciji radioaktivnega razpada, saj izotopi dodatno difundirajo v globlje plasti zemlje in so sedaj že tudi globlje od 15 cm, kar smo potrdili z meritvami v letu 2018, ko smo začeli vzorčiti zemljo z globin 0–10 cm, 10–20 cm in 20–30 cm, in v letu 2019, ko smo dodali še globini 30–40 cm in 40–50 cm. Te meritve na večjih globinah do 30 cm so na slikah 4.6 in 4.7 posebej označene, a jih je težko kvalitativno primerjati s starejšimi meritvami. Upoštevajoč vrednosti za radioaktivni used ( $Bq/m^2$ ) je količina vzorca zaradi podvojenih debelin plasti približno dvakrat večja, pri večjih globinah je globinski profil drugačen ipd.

Iz slik 4.5, 4.6 in 4.7 je razviden trend padanja specifičnih aktivnosti Cs-137 in Sr-90 zaradi migracije v druge plasti in radioaktivnega razpada. Pri izotopu Cs-134 zaradi krajskega razpolovnega časa, procesov migracije ni opaziti, saj je npr. v Murski Soboti tako rekoč ostal le v prvi plasti in tam razpadel (pod mejo detekcije). Za zemljo v Murski Soboti podobno velja tudi za Sr-90, saj specifična aktivnost sledi zmanjševanju zaradi

naravnega radioaktivnega razpada. Na slikah od 4.5 do 4.7, kjer posebej analiziramo obnašanje Cs-137, lahko iz primerjave njegove aktivnosti v različnih plasteh pri meritvah do leta 2017 ugotovimo, da počasi aktivnosti v globljih plasteh postajajo višje od aktivnosti v pripovršinski plasti (v Ljubljani in Kobaridu že od približno leta 2000 dalje, v Murski Soboti pa šele ob okvirno leta 2006). To potrjuje zgoraj omenjeno hipotezo, da so mehanizmi difundiranja v spodnje plasti zelo različni od vrste zemlje. V letu 2022 vzorčimo v globljih plasteh in meritve potrjujejo prehajanje radionuklidov v te plasti.

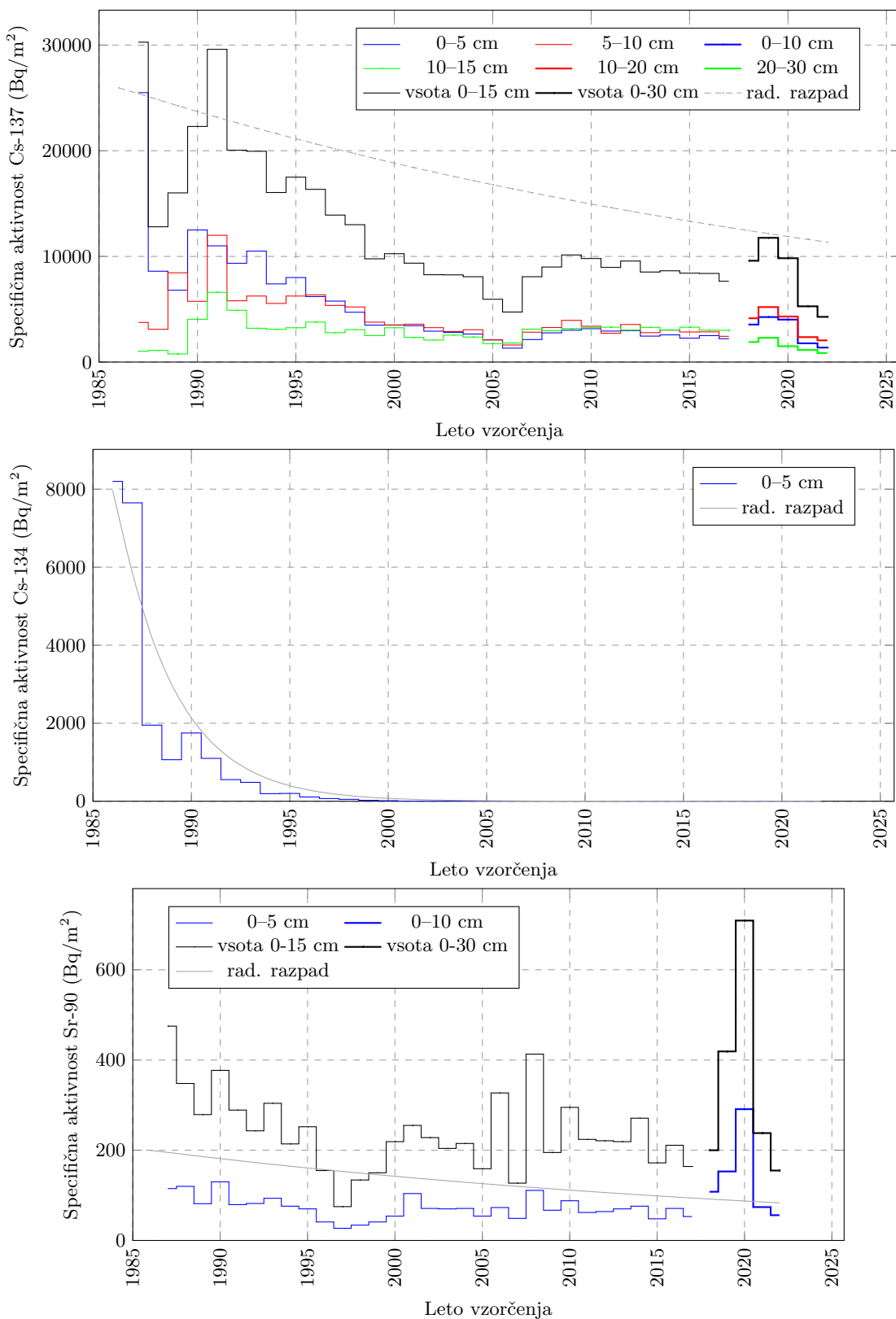
Zaradi migracije radionuklida Cs-137 v globlje plasti, je smiselna primerjava celotnega depozita v vsej globini vzorčenja do leta 2017 torej od 0 do 15 cm ozziroma od leta 2018 dalje od 0 do 30 cm, in ne le depozita v zgornji plasti 5 cm.

V prvih letih po černobilski nesreči je v celotnem depozitu v globini 0-15 cm tudi depozit zaradi bombnih poskusov. Za zadnjih 10 let pa lahko rečemo, da je celotni depozit v globini 0-15 cm posledica černobilske nesreče, saj so radionuklidi sproščeni ob poskusih razstrelitev jedrske bombi že migrirali v plasti v globini 30 cm in več.

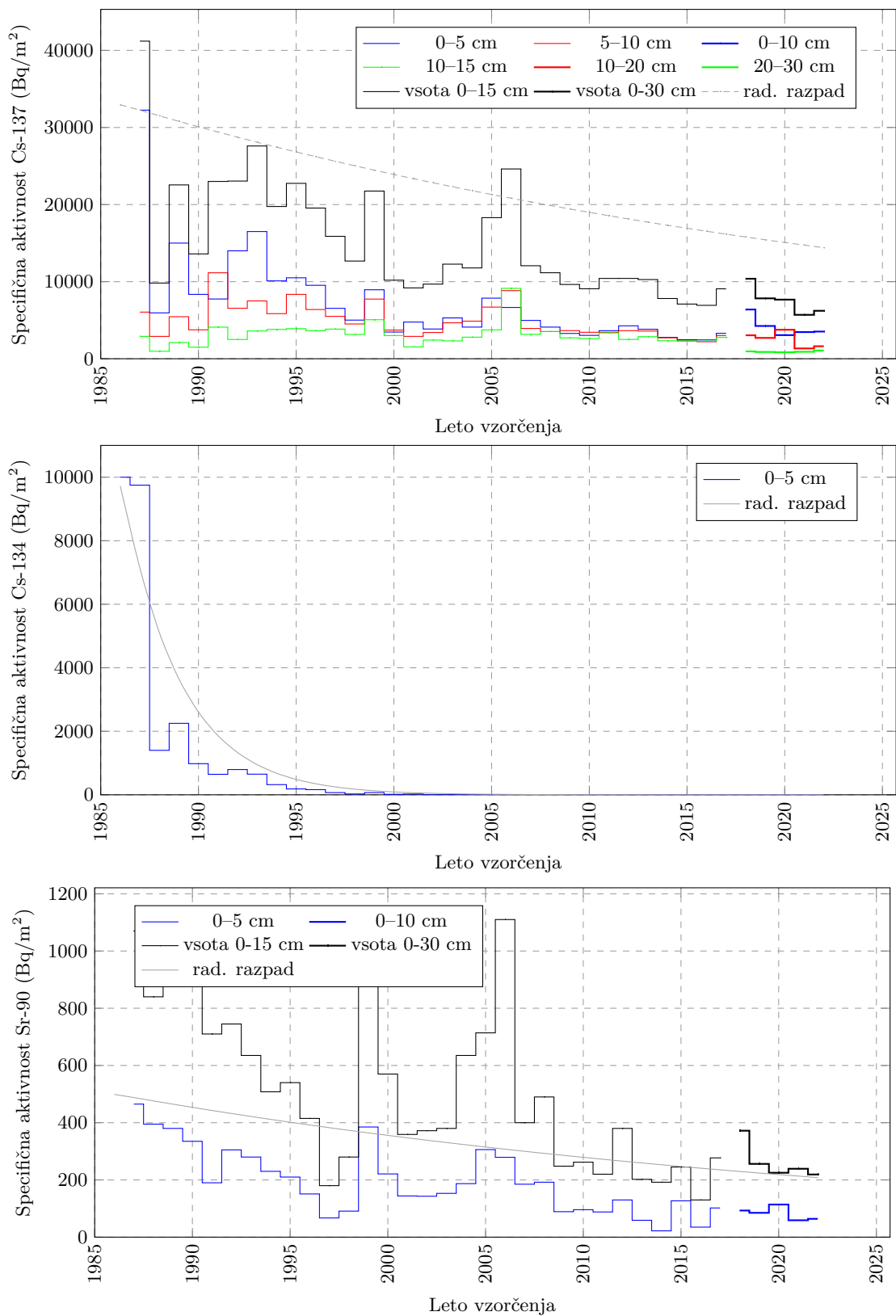
V Ljubljani, Murski Soboti in Kobaridu lahko tudi za depozit černobilske nesreče že lahko rečemo, da prehaja v globlje plasti, zato smo v letu 2018 začeli tudi z vzorčenjem plasti zemlje iz globine do 30 cm in v 2019 z vzorčenjem iz globin do 50 cm.

Na grafih za lokacijo Kobarid vidimo odstopanja od trenda zmanjševanja koncentracij Cs-137 in Sr-90, in sicer v letih 2006 in 2008, ki jih lahko pojasnimo z dejstvom, da sta vzorčila na različnih lokacijah in analize izvajala dva različna laboratorija. V letu 2006 je IJS opravil analizo zemlje na vseh treh lokacijah, leta 2008 pa samo v Ljubljani. Lokacija vzorčenja v Ljubljani je bila različna glede na vzorčevalca, IJS je vzorčil na lokaciji Reaktorskega centra Podgorica v Brinju pri Ljubljani, ZVD pa na Cesti dveh cesarjev. Od leta 2009 naprej, je lokacija vzorčenja poenotena, in sicer na Cesti dveh cesarjev.

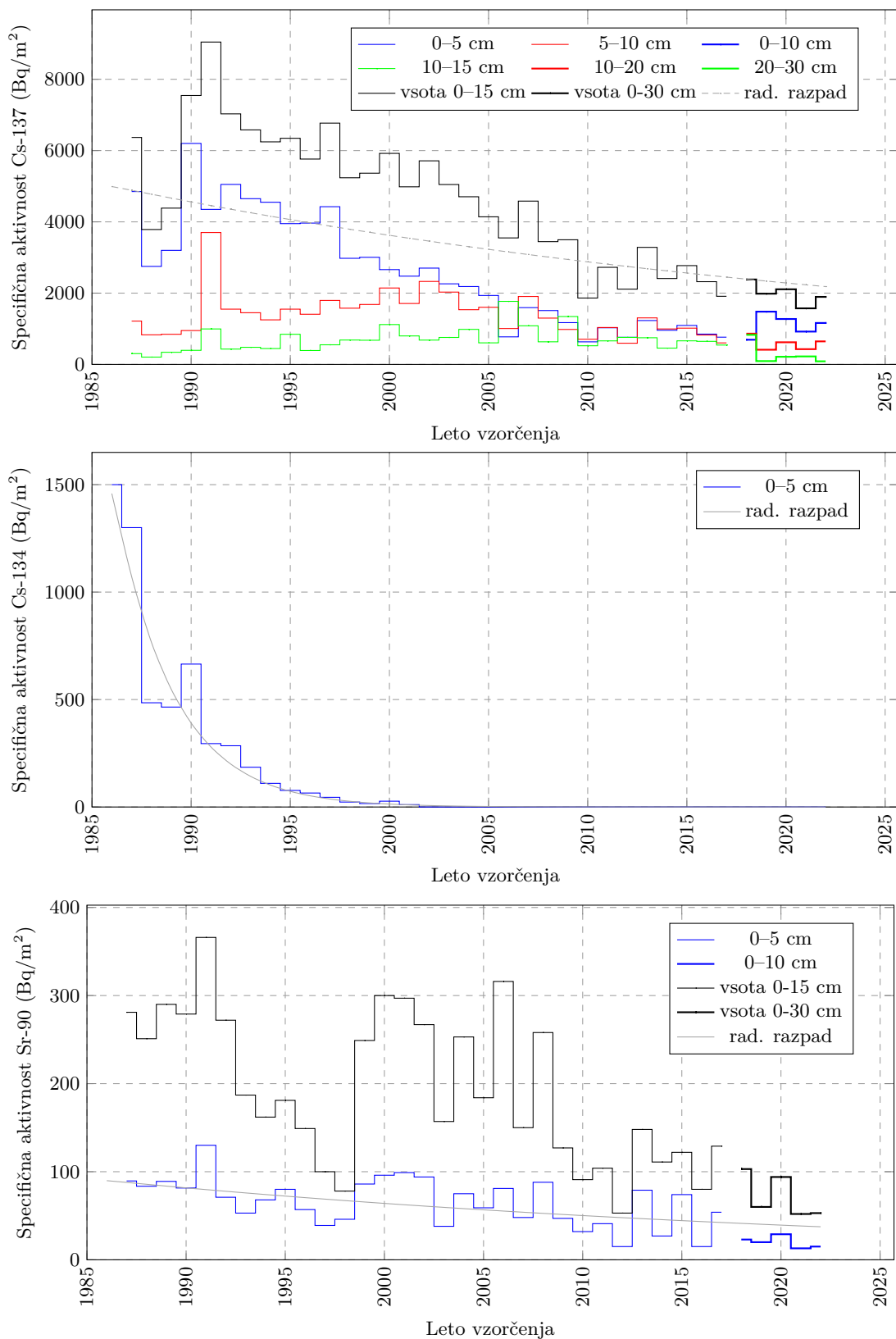
V letu 2011 je bilo moč zaznati delno povišane vrednosti Cs-137 v zgornji plasti glede na prejšnja leta, kar je vpliv posledic nesreče v elektrarni v Fukušimi na Japonskem. Vendar je povišanje na letni ravni v povprečju komaj opazno, prav tako ni vidno na grafih v slikah od 4.5 do 4.7.



**Slika 4.5** | Specifične aktivnosti — depozit — Cs-137, Cs-134 in Sr-90 v Ljubljani v različnih plasteh ter preračun radioaktivnega razpada od leta 1986 dalje.



**Slika 4.6 |** Specifične aktivnosti — depozit – Cs-137, Cs-134 in Sr-90 v Kobaridu v različnih plasteh ter preračun radioaktivnega razpada od leta 1986 dalje.



**Slika 4.7 |** Specifične aktivnosti — depozit – Cs-137, Cs-134 in Sr-90 v Murski Soboti v različnih plasti ter preračun radioaktivnega razpada od leta 1986 dalje.

## 4.2 TL dozimetri zunanjega sevanja

### 4.2.1 Lokacije meritev

Doze zaradi zunanjega sevanja se že vsaj 20 let merijo na petdesetih različnih lokacijah po Sloveniji s termoluminiscenčnimi (TL) dozimetri, ki so prikazane na sliki 4.8, podrobnosti o merskih lokacijah pa so podane v tabeli 4.1.

**Tabela 4.1 |** Seznam TL-dozimetrov v Republiki Sloveniji z GPS koordinatami

Št.	KRAJ	GPS koordinate	Št.	KRAJ	GPS koordinate
1	Kočevje	45°38'47"/14°51'02"	26	LJ-Bežigrad <sup>h</sup>	46°03'58"/14°30'46"
2	Dvor pri Žužemberku	45°48'30"/14°57'42"	27	Brnik <sup>i</sup>	46°13'39"/14°27'40"
3	Črnomelj <sup>a</sup>	45°33'36"/15°08'46"	28	Zgornje Jezersko	46°23'53"/14°30'14"
4	Metlika <sup>b</sup>	45°39'55"/15°22'34"	29	Podljubelj	46°23'58"/14°17'03"
5	Novo mesto	45°48'07"/15°10'39"	30	Lesce <sup>j</sup>	46°21'55"/14°10'28"
6	Mokronog	45°56'29"/15°09'01"	31	Planina pod Golico	46°28'03"/14°03'09"
7	Lisca	46°04'04"/15°17'06"	32	Zdenska vas	45°51'28"/14°42'27"
8	Celje	46°14'11"/15°13'34"	33	Rateče	46°29'49"/13°42'46"
9	Rogaška Slatina	46°14'40"/15°37'41"	34	Trenta	46°22'56"/13°45'13"
10	Slovenske Konjice	46°20'42"/15°25'03"	35	Log pod Mangartom	46°24'25"/13°36'10"
11	Rogla	46°26'45"/15°19'22"	36	Bovec	46°20'05"/13°32'55"
12	Maribor	46°32'22"/15°38'42"	37	Tolmin	46°10'46"/13°43'54"
13	Ptuj	46°25'48"/15°52'58"	38	Nova Gorica <sup>k</sup>	45°53'46"/13°37'28"
14	Ormož <sup>c</sup>	46°28'34"/16°11'15"	39	Kojsko <sup>l</sup>	46°00'50"/13°32'29"
15	Lendava	46°33'25"/16°28'20"	40	Lokev Pri Lipici	45°39'51"/13°55'21"
16	Murska Sobota <sup>d</sup>	46°39'08"/16°11'29"	41	Portorož <sup>m</sup>	45°28'29"/13°37'01"
17	Šalovci <sup>e</sup>	46°50'12"/16°17'16"	42	Ilirska Bistrica <sup>n</sup>	45°33'11"/14°14'05"
18	Gornja Radgona	46°40'52"/15°59'44"	43	Postojna <sup>o</sup>	45°45'57"/14°11'35"
19	Plač <sup>f</sup>	46°39'49"/15°35'29"	44	Nova vas na Blokah	45°46'23"/14°30'34 "
20	Ribnica na Pohorju	46°32'30"/15°17'30"	45	Vrhniaka	45°57'42"/14°16'26"
21	Kotlje	46°31'17"/14°58'54"	46	Vojsko	46°01'31"/13°54'09"
22	Velenje	46°21'51"/15°07'11"	47	Sorica	46°13'19"/14°01'41"
23	Mozirje <sup>g</sup>	46°19'23"/14°56'58"	48	Stara Fužina	46°17'21"/13°53'36"
24	Luče Ob Savinji	46°21'15"/14°44'48"	49	Jelenja vas <sup>p</sup>	45°33'40"/14°51'28"
25	Vače	46°07'06"/14°50'23"	50	Kredarica	46°22'59"/13°50'59"

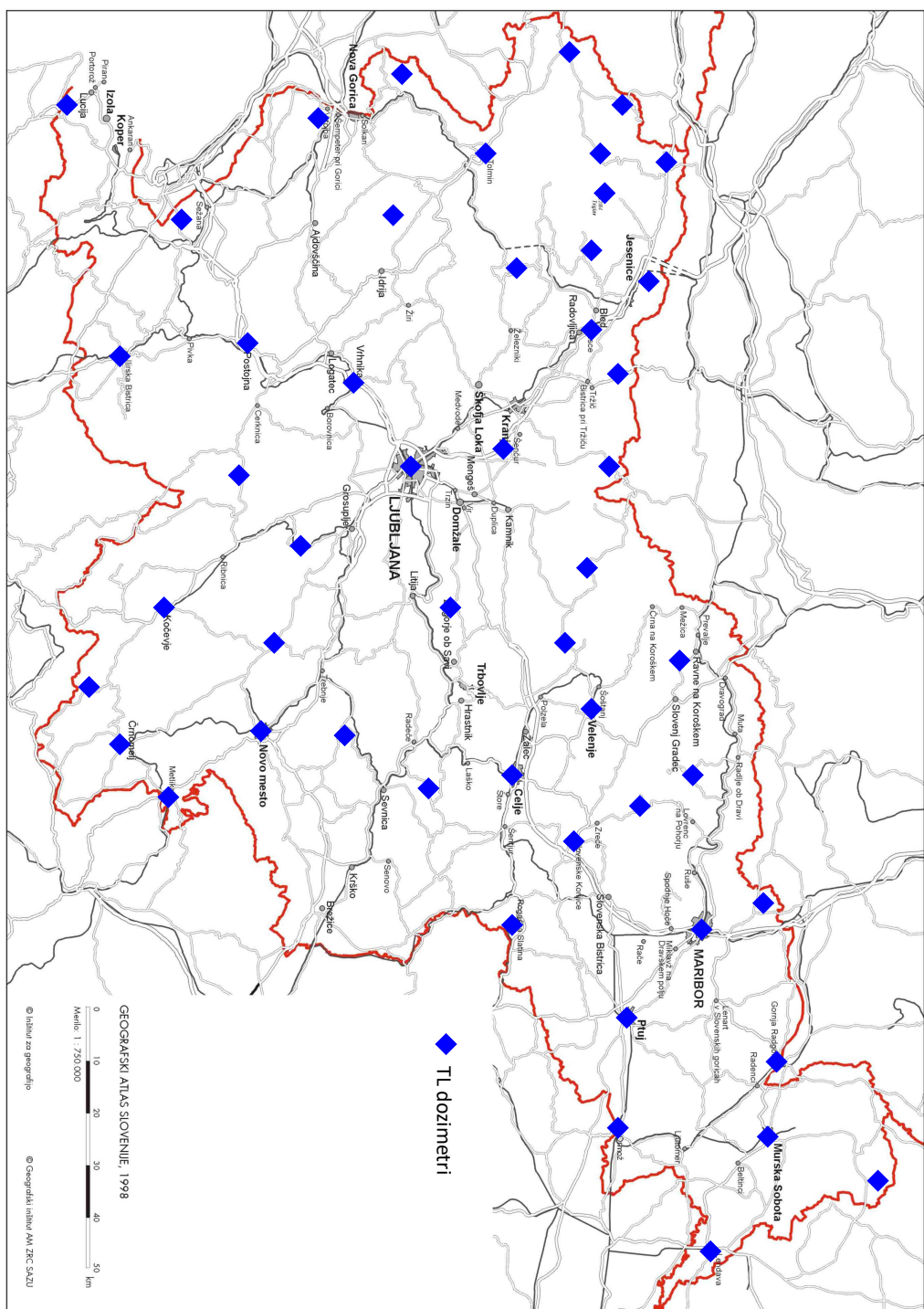
<sup>a</sup>Dobliče, <sup>b</sup>Drašiči, <sup>c</sup>Jeruzalem, <sup>d</sup>Rakičan, <sup>e</sup>Veliki Dolenci, <sup>f</sup>Svečina, <sup>g</sup>Nazarje, <sup>h</sup>ARSO, <sup>i</sup>Aerodrom,

<sup>j</sup>Hlebce, <sup>k</sup>Bilje, <sup>l</sup>Vedrijan, <sup>m</sup>Aerodrom, <sup>n</sup>Koseze, <sup>o</sup>Zalog, <sup>p</sup>Iskrba

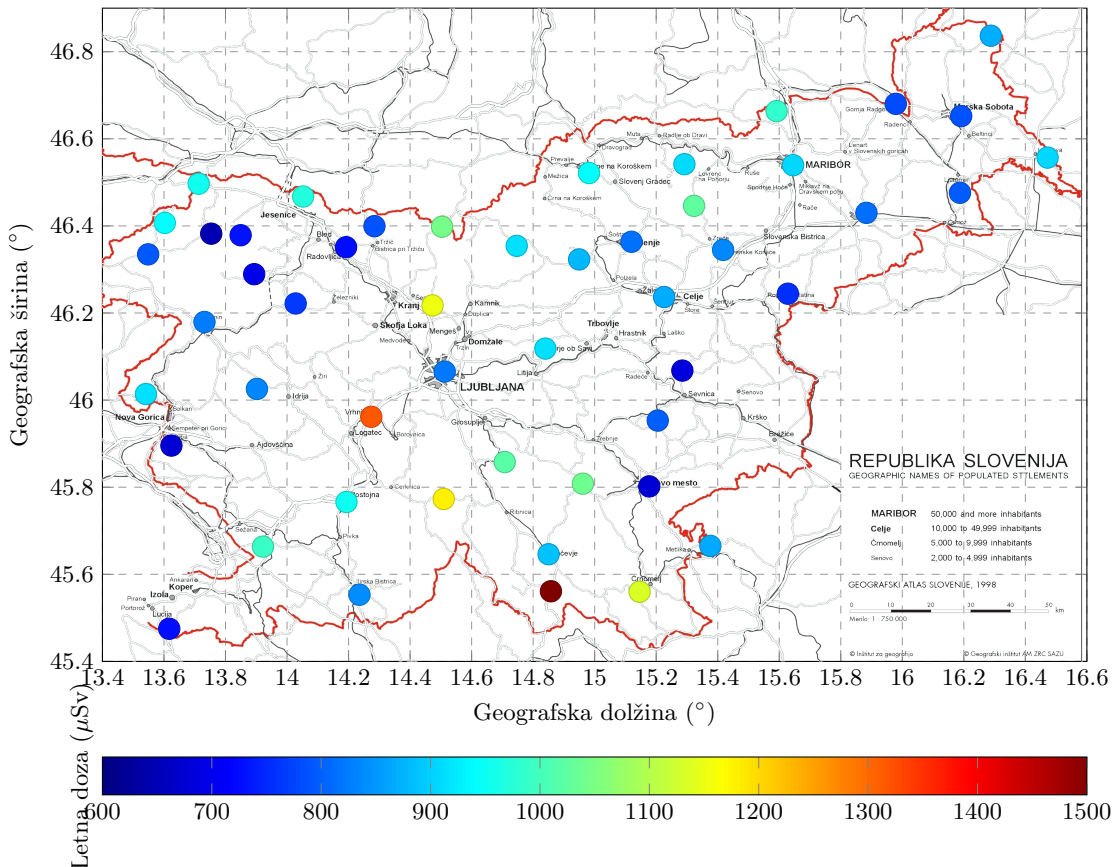
### 4.2.2 Rezultati meritev

Rezultati meritev so prikazani v poglavju 8 v tabeli 8.27 in na sliki 4.9, kjer prikazana barva izmerka ustreza letni ekvivalentni dozi v  $\mu\text{Sv}$ . Povprečni letni okoljski ekvivalent doze  $H^*(10)$  zaradi zunanjega sevanja v letu 2022 je bil  $889 \pm 164 \mu\text{Sv}$ , največji izmerjen okoliški ekvivalent doze je bil  $1505 \pm 213 \mu\text{Sv}$  v Jelenji vasi (Iskrba), najnižji pa  $645 \pm 91 \mu\text{Sv}$  v Trenti. Povprečna mesečna vrednost okoliškega ekvivalenta doze zaradi zunanjega sevanja je bila  $74 \pm 15 \mu\text{Sv}$ , območje vrednosti pa od  $53 \mu\text{Sv}$  do  $118 \mu\text{Sv}$ .

Takšne variacije letnih doz po različnih geografskih lokacijah Slovenije so najverjetneje posledica različnih koncentracij naravne radioaktivnosti v tleh (K-40 in uranova razpadna veriga) in samih lastnosti tal oziroma kamenin. Glavnino letne doze sedaj prispevajo naravni radionuklidi, prispevek Cs-137 zaradi kontaminacije po černobilski nesreči je zelo majhen oziroma zanemarljiv že od leta 1995 dalje (glej sliko 4.12). Nekatera literatura [78, 79] navaja korelacijo med radonskim potencialom v tleh oziroma koncentracijami radona in okoljsko dozno hitrostjo oziroma dozo. Za Slovenijo je radonski potencial v tleh prikazan na sliki 4.10, kjer se upošteva vsebnosti radioaktivnosti uranove razpadne

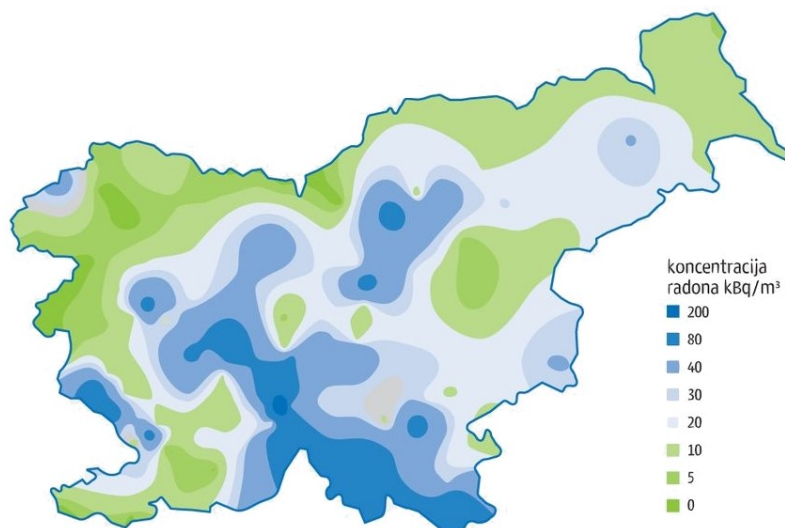


**Slika 4.8 |** Lokacije TL dozimetrov za meritve letne doze zunanjega sevanja.



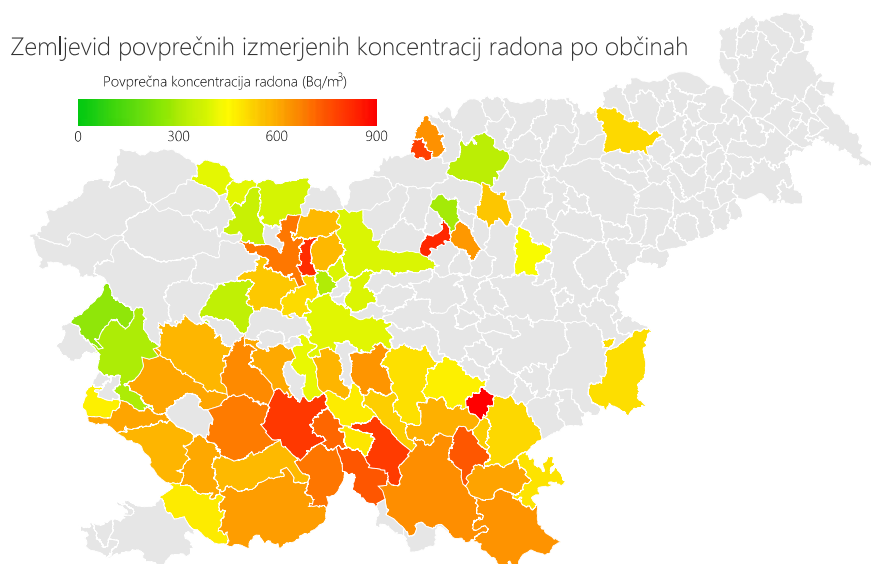
**Slika 4.9 |** Izmerjena letna doza s TL dozimetri na različnih lokacijah po Sloveniji.

verige in lastnosti prepustnosti tal. Vidimo, da je potencial največji v loku od Dolenjske, Notranjske, preko Gorenjske do Koroške ter zahodni del Krasta in severozahodni kot Julijskih Alp. Če to primerjamo z izmerki letnih doz na karti na sliki 4.9, opazimo, da najvišji oziroma povisani izmerki s TLD sovpadajo ravno z omenjenimi območji.



**Slika 4.10 |** Radonski potencial v tleh v Sloveniji.

Dodatno lahko primerjamo letne doze še s podatki o izmerjenih koncentracijah radona v bivalnih prostorih, ki se opravlja v okviru sistematičnega pregledovanja bivalnega okolja v Sloveniji [80–87]. Program financira URSSV izvaja pa ZVD, meritve pa se večinoma opravlja v občinah, kjer je prepozna večja ogroženost zaradi izpostavljenosti radonu. Mediana vrednosti koncentracij radona je prikazana na sliki 4.11, in sicer za občine, kjer so se meritve sploh opravljale. Navkljub nepokritosti celotne Slovenije, lahko opazimo dobro ujemanje letnih doz s povišanimi koncentracijami radona.

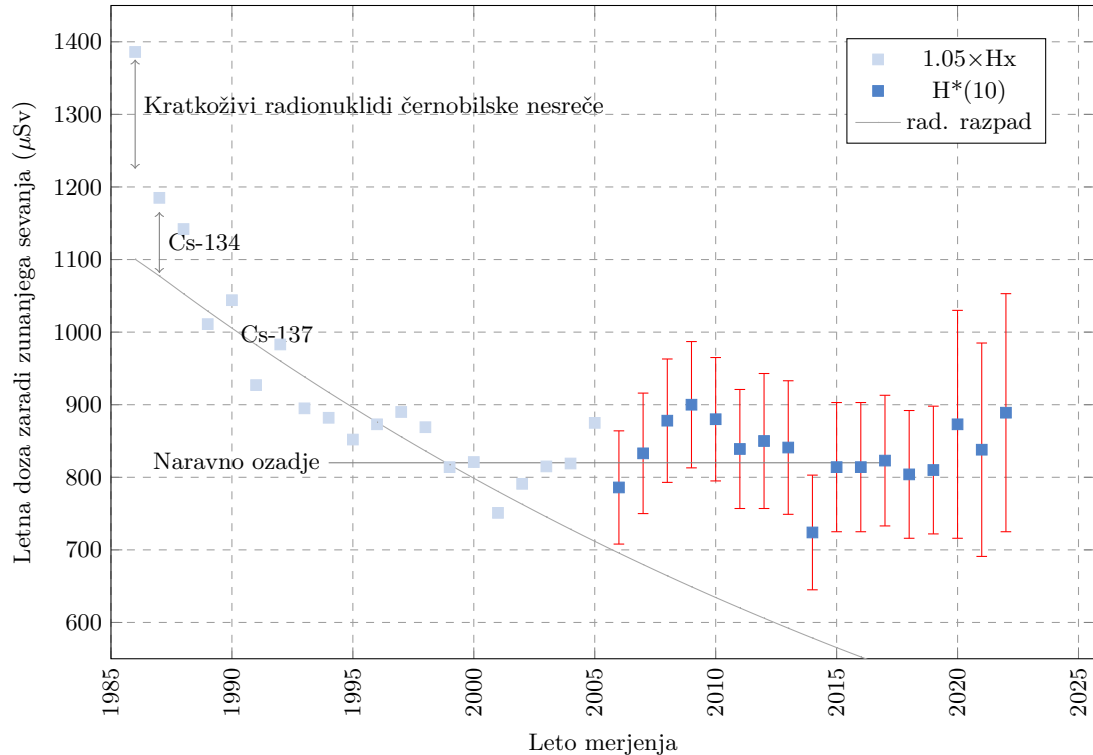


**Slika 4.11 | Izmerjene koncentracije radona v bivalnih prostorih – mediana porazdelitve.**

#### 4.2.3 Dolgoročni trend doz

Na sliki 4.12 je prikazan dolgoročni trend doz na lokaciji Ljubljana izmerjenih s TL dozimetri. Do leta 2005 so izmerjene veličine  $H_x$ , od takrat pa  $H^*(10)$ . Kljub temu, da veličini nista povsem primerljivi, pa se pri energijah sevanja gama, ki ga merimo v okolju ne razlikujeta veliko, nekaj %, in jih na sliki 4.12 prikazujemo na skupnem grafu. Kot sledi v pojasnilih o  $H_x$ , lahko upoštevamo približni pretvorbeni faktor 1.05, s katerim so na grafu že pomnoženi izmerki  $H_x$ .

Termoluminiscentni dozimetri merijo okoliški ekvivalent zunanjega sevanja naravnih in umetnih radionuklidov, ki so prisotni v okolju. V letih po černobilski nesreči je predvsem Cs-137 znatno prispeval k obremenjenosti z zunanjim sevanjem, nato pa se je prispevek zaradi radioaktivnega razpada in difuzije radionuklida v globlje plasti zmanjšal. Trenutni prispevek Cs-137 k celotni dozi zunanjega sevanja je manj kot 1%. Iz slike 4.12 je razvidno, da je doza zunanjega sevanja po letu 1995 približno konstantna, od leta 2006 pa je moč opaziti trend povečevanja (deloma je to lahko posledica menjave merjenja  $H_x$  s  $H^*(10)$ ). V letu 1986 so k dozi zunanjega sevanja prispevali tudi številni drugi sevalci gama, ki so bili posledica useda zaradi černobiliske nesreče. Zato je zunanjaja doza v letu 1986 najvišja. Kratkoživi sevalci so nato razpadli in doza je že v letu 1987 znatno padla. Nato je bil poleg prispevka Cs-137 zaznaven še prispevek Cs-134, nato pa je tudi ta že preveč razpadel. Do približno leta 2000 je bila še zaznana razlika prispevka Cs-137 k dozi glede na prispevek naravnih radionuklidov, kar lahko sklepamo iz vidnega trenda, ki sledi radioaktivnemu razpadu Cs-137 in delno difundiranju Cs-137 v globlje plasti. V letih po 2000 se izmerjena letna doza ustali in večino doze povzročajo naravni

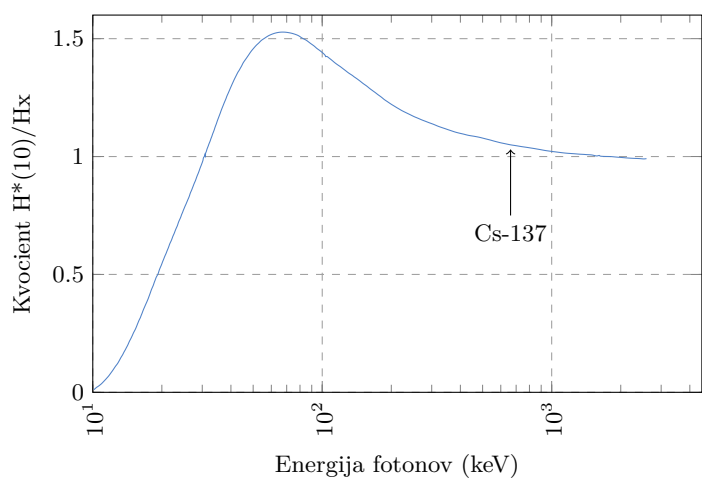


Slika 4.12 | Doza zaradi zunanjega sevanja za Ljubljano za obdobje od leta 1986 dalje.

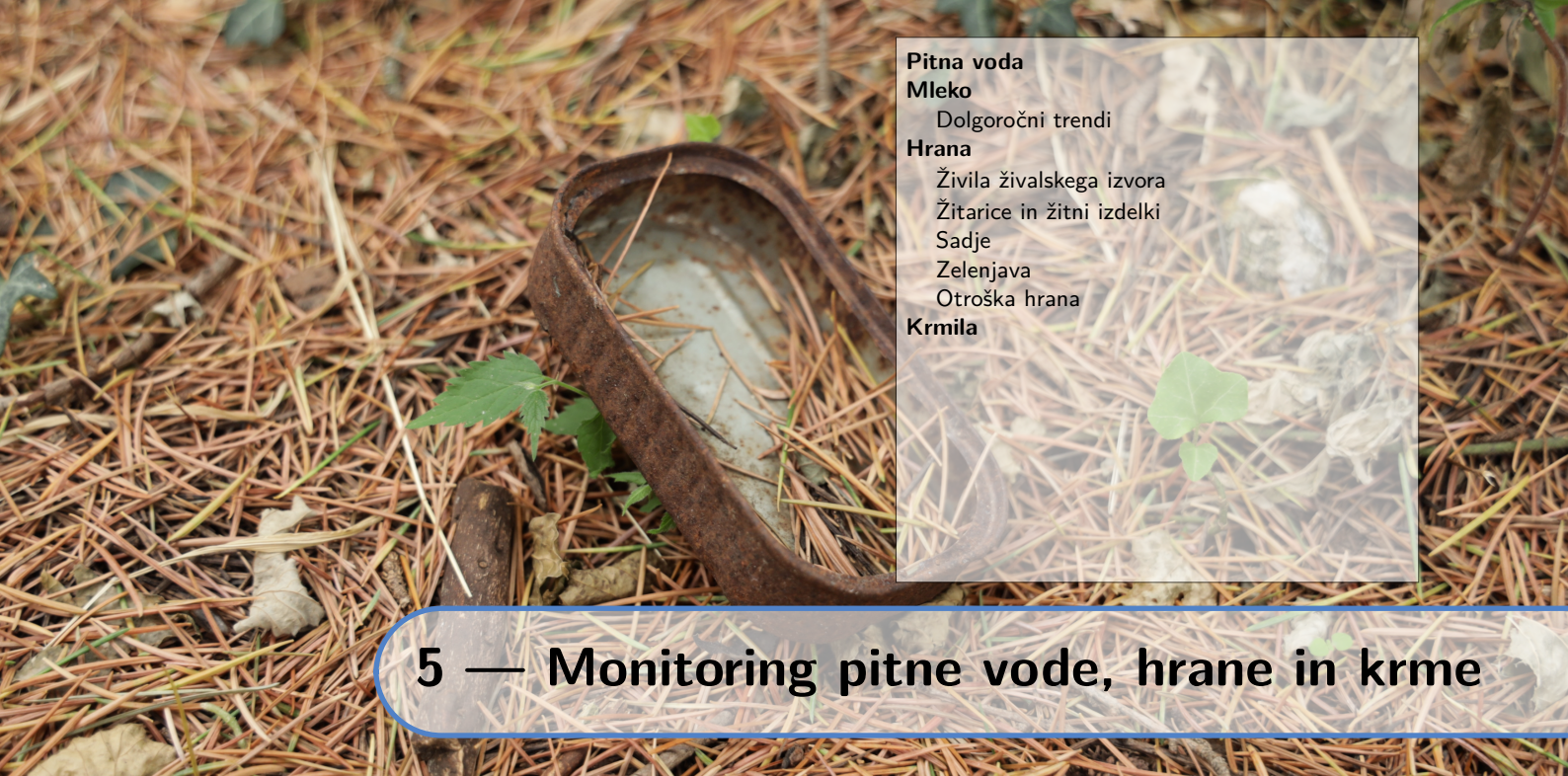
radionuklidi.

#### Pojasnila o merski veličini Hx.

Veličina Hx je fotonski dozni ekvivalent (photon dose equivalent). Veličino so uporabljali predvsem v Nemčiji [88]. V Sloveniji je sekundarni dozimetrični laboratorij na Inštitutu Jožef Stefan v preteklosti izvajal umerjanja TL dozimetrov v tej veličini. Veličini nista povsem primerljivi. Pri energijah gama sevanja pod okoli 30 keV je kvocient med  $H^*(10)/Hx$  manjši od 1, sicer pa je večji od energije 1 MeV do okoli 2 MeV, ko nato vrednost spet pada pod 1. Pri energiji Cs-137 je vrednost kvocienta približno 1,05. Natančnejša energijska odvisnost kvocienta je prikazana na sliki 4.13.



**Slika 4.13 |** Energijska odvisnost razmerja okoljskega,  $H^*(10)$ , in fotonskega doznega ekvivalenta,  $H_x$ .



#### Pitna voda

#### Mleko

Dolgoročni trendi

#### Hrana

Živila živalskega izvora

Žitarice in žitni izdelki

Sadje

Zelenjava

Otroška hrana

#### Krmila

## 5 — Monitoring pitne vode, hrane in krme

### 5.1 Pitna voda

V letu 2022 je bilo odvzetih petnajst enkratnih vzorcev pitne vode iz javnih objektov kot so šole, vrtni, bolnišnice ali gostišča na naslednjih lokacijah (urejene po regijah):

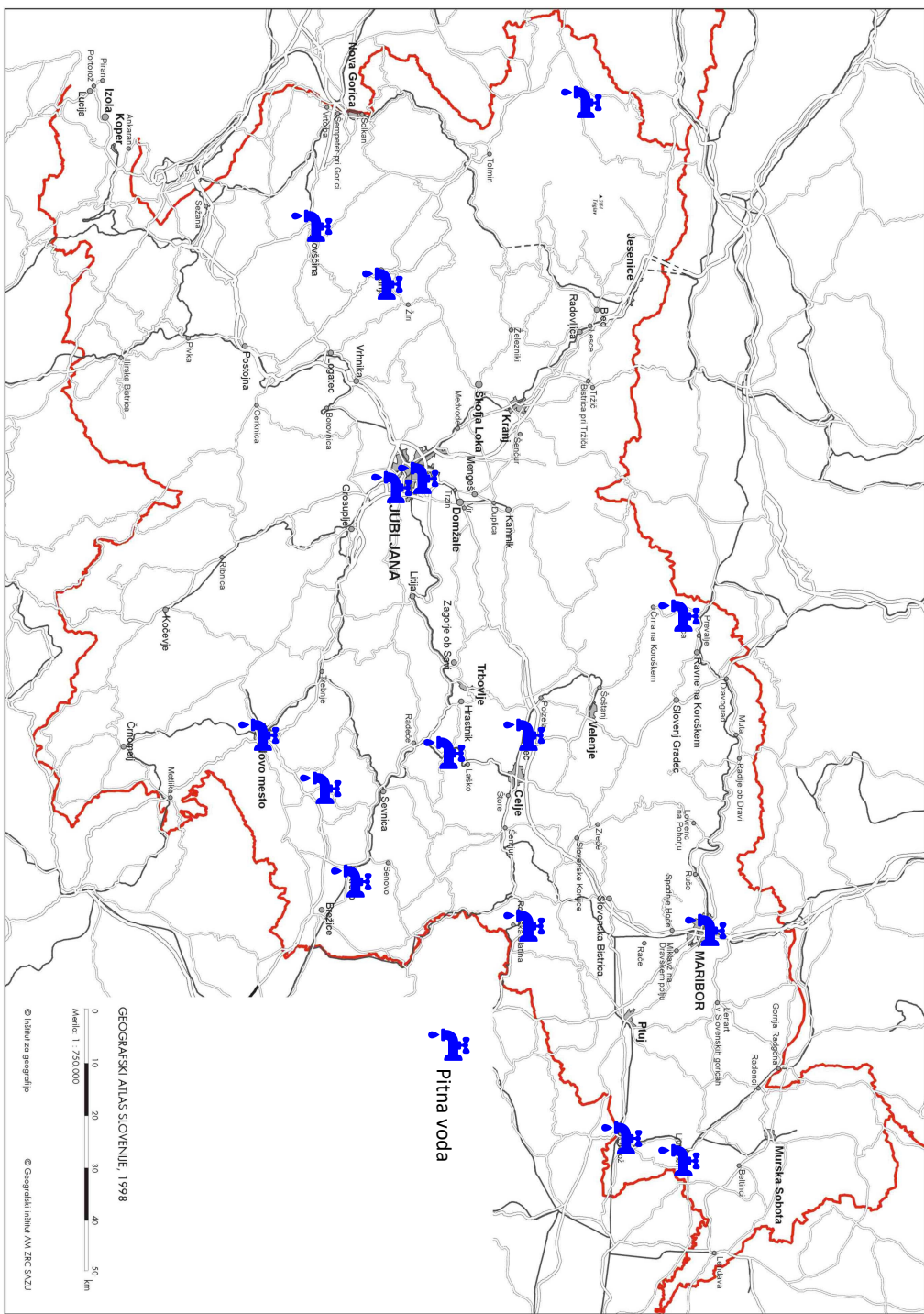
- Osrednjeslovenska regija (Ljubljana, Ljubljana)
- Gorenjska regija (brez vzorcev)
- Goriška regija (Bovec, Idrija)
- Obalno-kraška regija (Ajdovščina)
- Pomurska regija (Ljutomer)
- Podravska regija (Maribor, Ormož)
- Koroška regija (Mežica)
- Savinjska regija (Žalec)
- Posavska regija (Škocjan, Krško)
- Zasavska regija (brez vzorcev)
- Jugovzhodna Slovenija (Rimske Toplice, Novo mesto, )

ki se zaradi reprezentativnosti menjavajo vsako leto in so izbrane tako, da večinoma pokrijejo celotno področje Slovenije. Lokacije vzorčenja so prikazane na zemljevidu na sliki 5.1 na strani 96.

Rezultati meritev so prikazani v poglavju 8 v tabelah 8.28 in 8.29. IzotopA cezija, Cs-137, v letu 2022 ni bilo opaziti v nobenem vzorcu oziroma vrednosti koncentracije aktivnosti pod mejo detekcije. Povprečna vrednost koncentracij aktivnosti Sr-90 v vseh odvzetih vzorcih je  $0,8 \pm 0,1 \text{ Bq/m}^3$ , H-3 pa  $543 \pm 72 \text{ Bq/m}^3$ . Trendi povprečne vrednosti omenjenih radionuklidov so za večjo preglednost prikazane v grafih na spodnji sliki 5.2 za leta od 2008 naprej. Vrednost v grafu predstavlja povprečno aktivnost vseh odvzetih vzorcev pitnih vod, v primeru aktivnosti Cs-137 pa zgornjo vrednost, saj so izmerjene aktivnosti večinoma pod mejo detekcije.

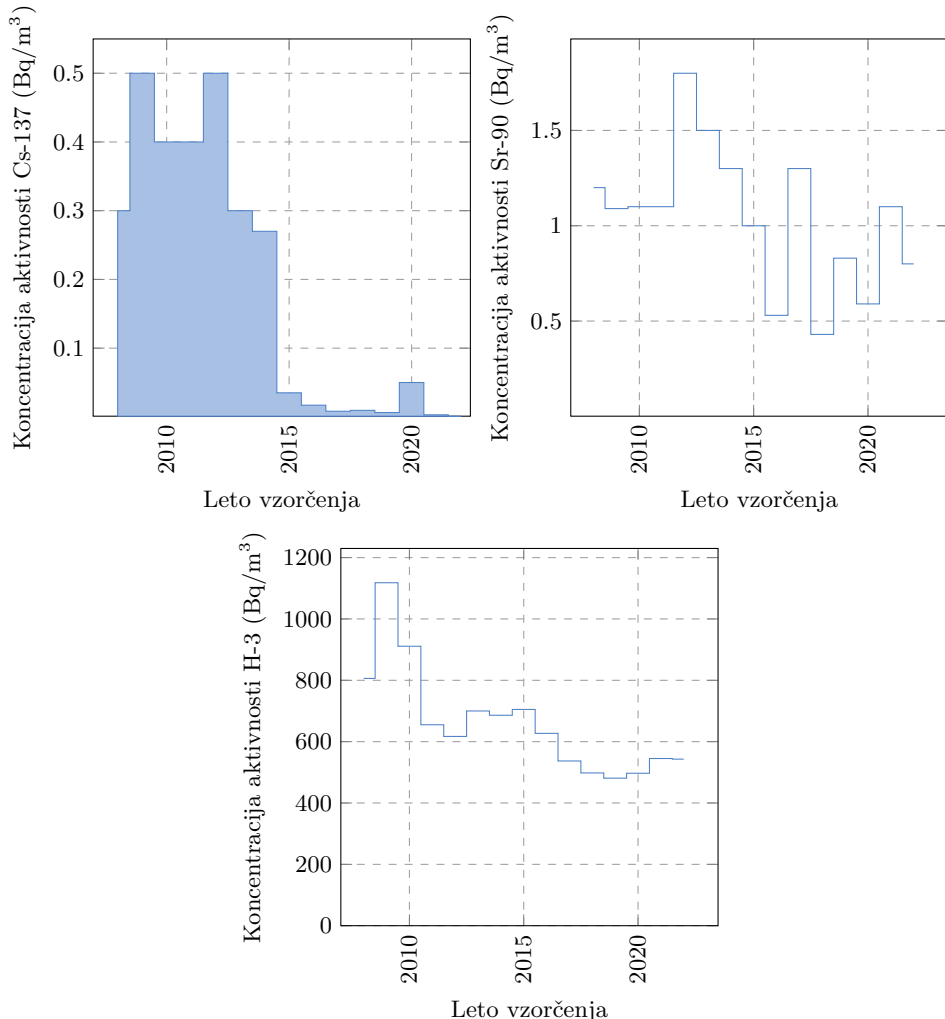
Poleg umetnih radionuklidov so se določale tudi koncentracije aktivnosti naravnih radionuklidov in kozmogenega Be-7. Povprečne vrednosti so za

- U-238  $3,2 \pm 1,4 \text{ Bq/m}^3$ ,
- Ra-226  $3,8 \pm 0,9 \text{ Bq/m}^3$ ,
- Pb-210  $3,6 \pm 4,9 \text{ Bq/m}^3$ ,
- Ra-228  $1,0 \pm 0,3 \text{ Bq/m}^3$ ,



Slika 5.1 | Lokacije vzorčenja vzorcev pitne vode.

- Th-228  $0,5 \pm 0,2$  Bq/m<sup>3</sup> in
- K-40  $28 \pm 2$  Bq/m<sup>3</sup> ter
- Be-7  $2,6 \pm 0,8$  Bq/m<sup>3</sup>.



**Slika 5.2** | Povprečne letne koncentracije aktivnosti Cs-137, Sr-90 in H-3 v pitni vodi od leta 2009 dalje (povprečje vseh vzetih vzorcev).

## 5.2 Mleko

V letu 2022 smo analizirali vzorce surovega mleka iz Ljubljane, Kobarida in Bohinjske Bistrike ter mleka v prahu iz Murske Sobote (glej zemljevid na sliki 5.3). Rezultati meritev koncentracij aktivnosti radionuklidov v vzorcih mleka za vse lokacije vzorčenja so prikazani v poglavju 8 v tabelah od 8.30 do 8.33.

Na sliki 5.4 so prikazane letne povprečne vrednosti (za preteklo leto) v vzorcih surovega mleka iz Ljubljane, Kobarida in Bohinjske Bistrike, na sliki 5.5 njihove posamične vrednosti dvomesečnega zbirnega vzorca in na sliki 5.6 posamične vrednosti dvomesečnega zbirnega mleka v prahu iz Murske Sobote, in sicer za različne izotope Cs-137, Cs-134 in ali Sr-90. Povprečne letne izmerjene vrednosti so bile:

- V Ljubljani
  - Cs-137  $34 \pm 7$  mBq/kg in
  - Sr-90  $25 \pm 27$  mBq/kg,
- v Kobaridu
  - Cs-137  $44 \pm 12$  mBq/kg in
  - Sr-90  $18 \pm 15$  mBq/kg,
- v Bohinjski Bistrici
  - Cs-137  $15 \pm 7$  mBq/kg in
  - Sr-90  $23 \pm 13$  mBq/kg ter
- v Murski Soboti
  - Cs-137  $0,46 \pm 0,21$  Bq/kg in
  - Sr-90  $0,39 \pm 0,29$  Bq/kg.

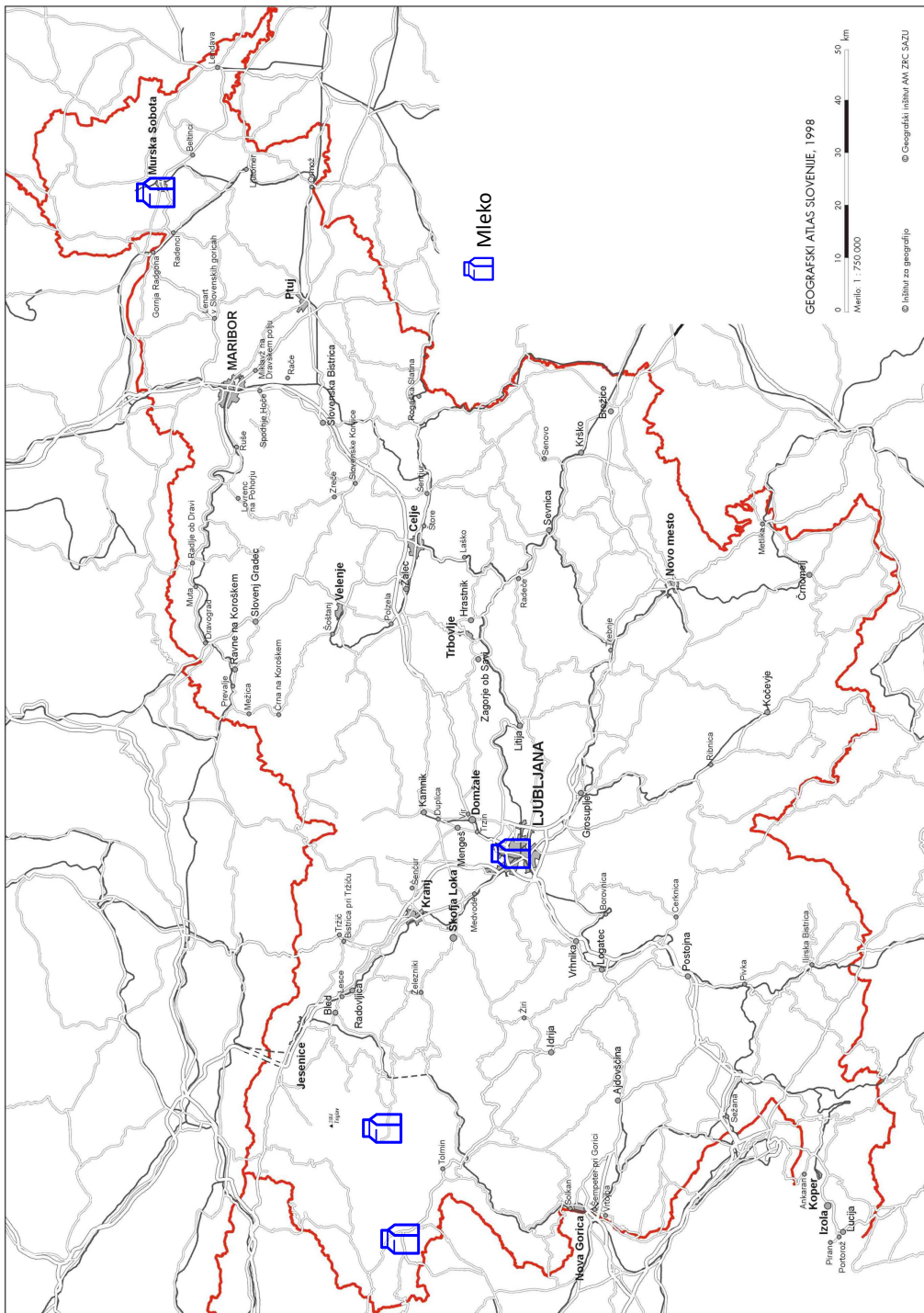
Slovensko povprečje za surovo mleko znaša za Cs-137  $31 \pm 22$  mBq/kg in za Sr-90  $26 \pm 25$  mBq/kg (brez mleka v prahu). Najvišje izmerjena vrednost Cs-137 je bila v vzorcu surovega mleka iz Kobarida v obdobju zbiranja julij-avgust, in sicer  $58 \pm 6$  mBq/kg.

Na sliki 5.5, ki prikazuje koncentracije aktivnosti izotopov v dvomesečnih vzorcih mleka iz Ljubljane, Kobarida in Bohinjske Bistrike v splošnem ugotovimo v jesenskem obdobju porast aktivnosti Cs-137, kar lahko pripisemo pašni vzreji govedi v toplejših mesecih, kjer večje aktivnosti iz narave pridejo v organizem in mleko zaradi prenosnih poti, v hladnejših mesecih pa uporabi krmil, ki imajo lahko nižje vsebnosti Cs-137. Vendar se takšna sezonska krma velikokrat meša in posledično se sezonske variacije vedno bolj izgubljajo. Po nekaterih podatkih s terena se vedno bolj v zbiralnicah mleka meša mleko iz različnih lokacij, zato je težko ugotoviti specifične lastnosti med vzorci iz lokalne vzreje krav ali vzorci od drugod. V vzorcih mleka v prahu iz Murske Sobote (slika 5.6) je povisane vrednosti Cs-137 moč opaziti s časovnim zamikom, kar je najverjetneje posledica predelave surovega mleka.

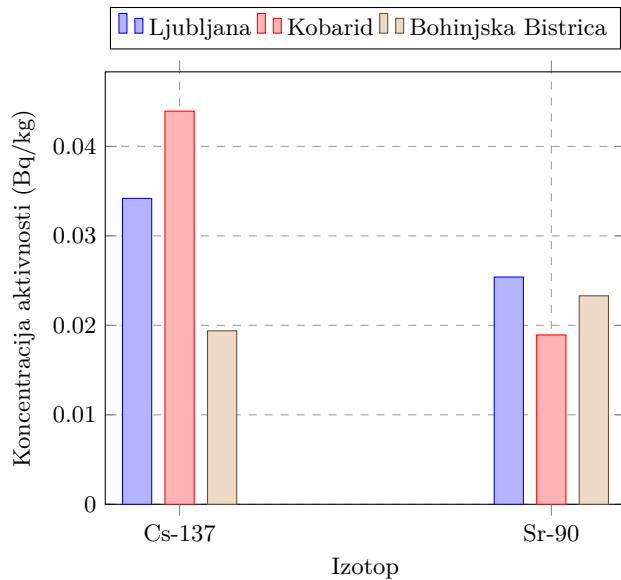
### 5.2.1 Dolgoročni trendi

Ob eksploziji jedrskega reaktorja v Černobilu 26. aprila 1986 je bila v zrak sproščena velika količina radioaktivnih snovi, ki so se razpršile po Evropi izven tedanje Sovjetske zveze. V Sloveniji je v Alpah v času nezgode padlo okoli  $100 \text{ mm/m}^2$  padavin, kar je povzročilo površinsko kontaminacijo tal preko  $100 \text{ kBq/m}^2$  [89]. Pašniki v okolici Kobarida in Bohinjske Bistrike ležijo v alpskem predelu Slovenje, kjer je po nesreči v Černobilu padlo največ padavin, zato je tudi mleko iz tega področja bolj kontaminirano s Cs-137 kot drugje po Sloveniji.

Na sliki 5.7 so prikazane povprečne letne vrednosti koncentracij aktivnosti Cs-137, Cs-134 in Sr-90 v mleku iz Ljubljane, Kobarida, Bohinjske Bistrike in Murske Sobote za obdobje od leta 1986 dalje. Opazen je trend padanja koncentracij aktivnosti vseh treh radionuklidov, Cs-137, Cs-134 in Sr-90. Cs-134 je bil najdlje merljiv v mleku iz



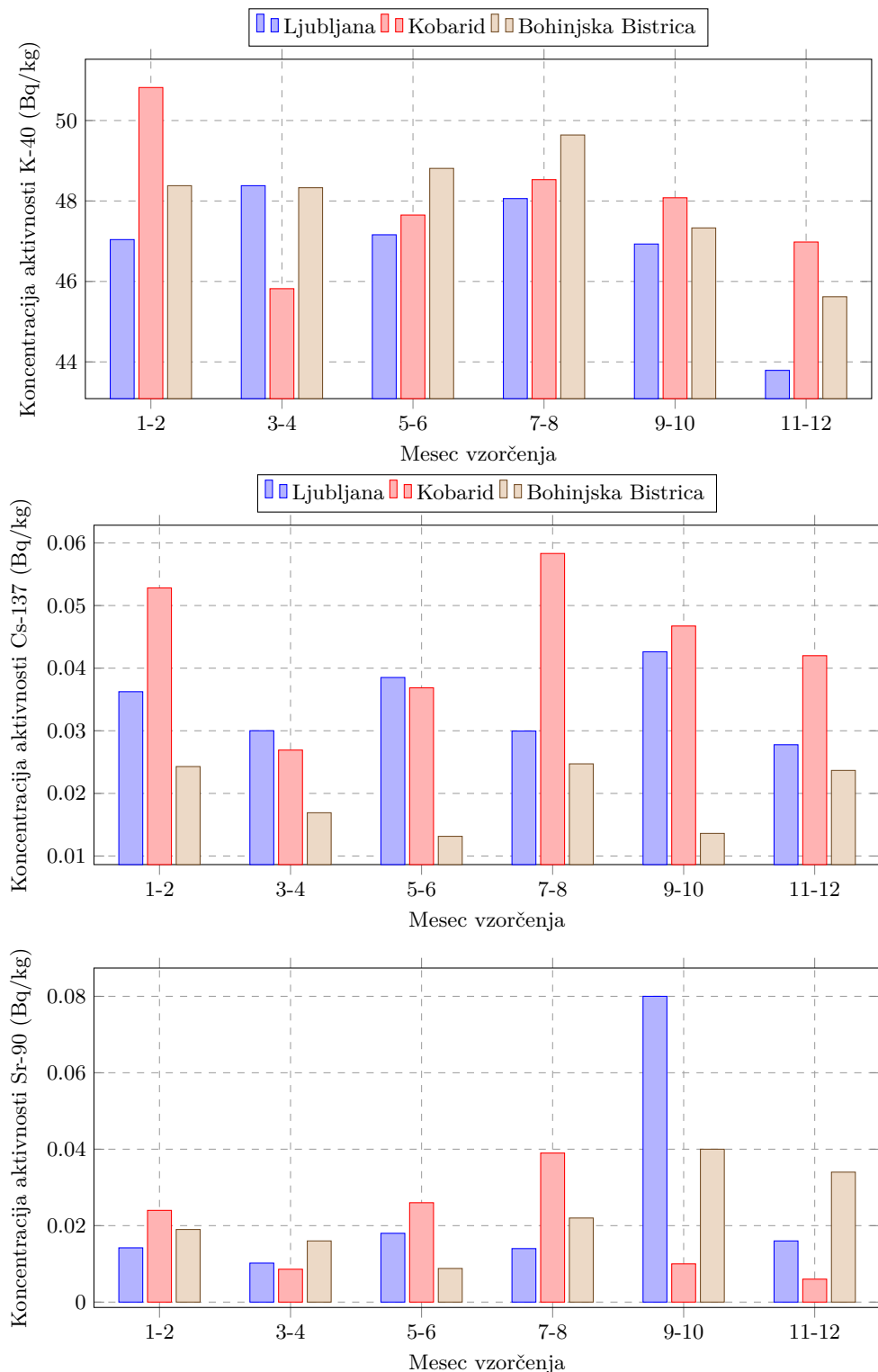
Slika 5.3 | Lokacije vzorčenja vzorcev mleka.



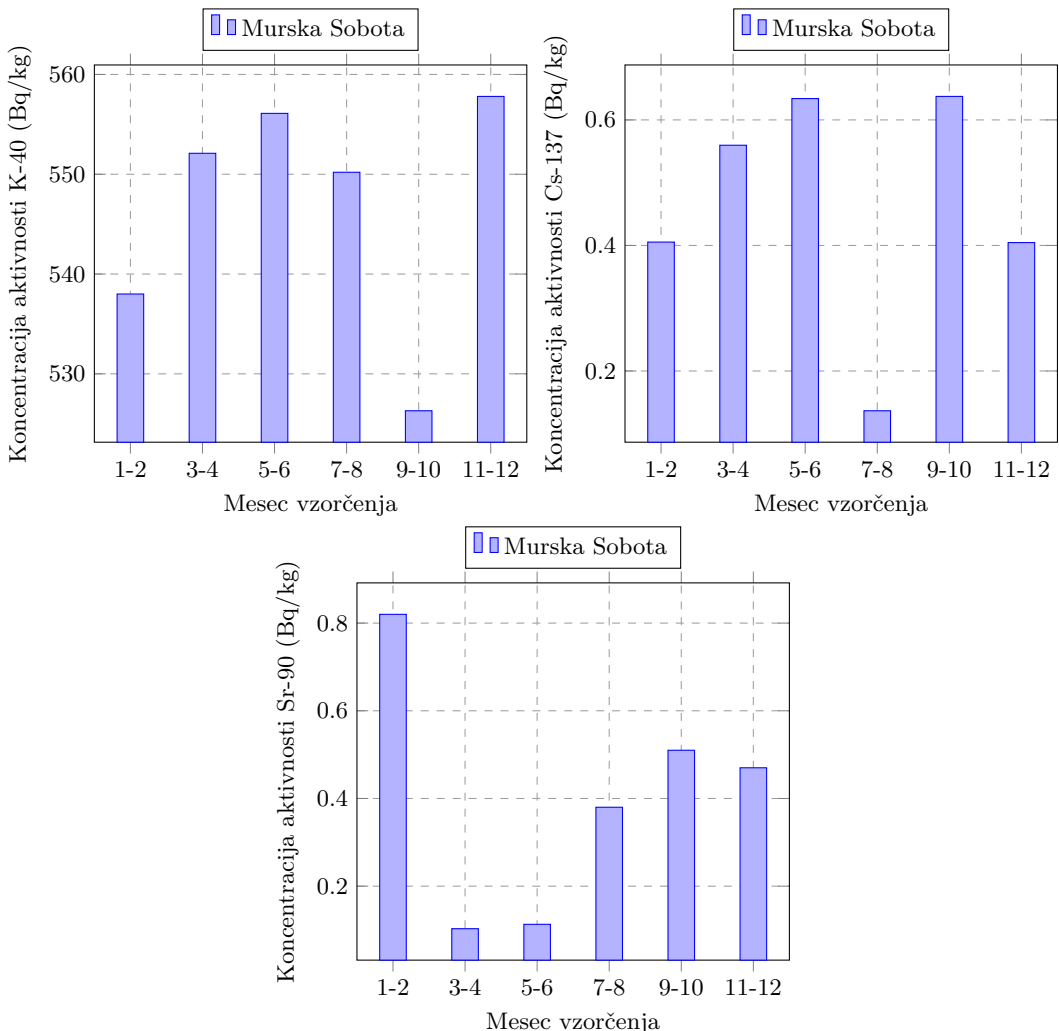
**Slika 5.4 |** Primerjava povprečnih letnih koncentracij aktivnosti Cs-137 in Sr-90 v surovem mleku na različnih lokacijah v Sloveniji za leto 2022.

Bohinjske Bistrice, do leta 1999, v mleku z ostalih lokacij pa je bil že dosti prej pod mejo detekcije.

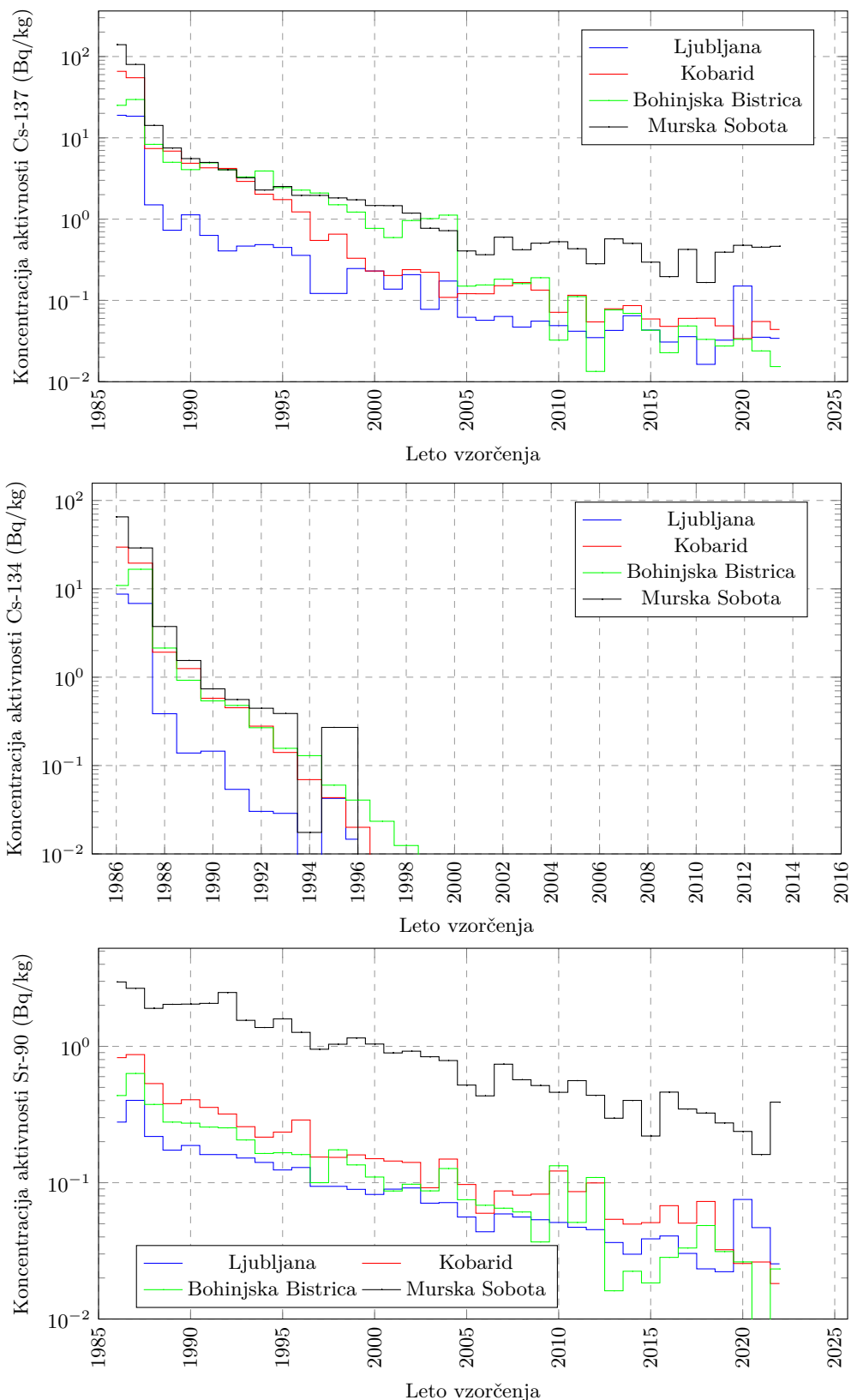
V grafih so sicer najvišje prikazane vrednosti za mleko v prahu iz Murske Sobote, kar je posledica koncentracije vzorca s sušenjem in posledično višje koncentracije aktivnosti ter zato vrednosti niso realno primerljive z vrednostmi v surovem mleku.



**Slika 5.5 |** Koncentracije aktivnosti K-40, Cs-137 in Sr-90 v posamičnih dvomesečnih vzorcih surovega mleka iz Ljubljane, Kobarida in Bohinjske Bistrike.



**Slika 5.6 |** Koncentracije aktivnosti K-40, Cs-137 in Sr-90 v posamičnih dvomesečnih vzorcih mleka v prahu iz Murske Sobote.



**Slika 5.7** | Povprečne letne koncentracije aktivnosti Cs-137, Cs-134 in Sr-90 v mleku z različnih lokacij od leta 1986 dalje.

## 5.3 Hrana

Program meritev radioaktivnosti v vzorcih hrane je bil v letu 2022 enak kot v prejšnjih letih in vsebuje meritve koncentracij aktivnosti radionuklidov v najpomembnejših živilih rastlinskega in živalskega porekla, ki se sezonsko jemljejo na različnih področjih po Sloveniji, v Prekmurju, na Štajerskem, na Gorenjskem, na Primorskem, na Notranjskem in na Dolenjskem. Lokacije vzorčenja so prikazane na zemljevidu na slikah 5.8 in 5.11. V letu 2008 smo začeli tudi z analizo celotnega obroka otroške hrane v vrtcih večjih mest, vzorčevalna mesta so prikazana na sliki 5.14.

### 5.3.1 Živila živalskega izvora

V preteklem letu smo vzorčili in analizirali osem vzorcev živil živalskega izvora:

- jajca (Gorenja vas),
- svinjsko meso (Leskovec pri Krškem),
- goveje meso (Cerkno),
- postrvi (Muta),
- piščanče meso (Križevci),
- med (Dobrova),
- divjačina (Slovenske Konjice) in
- sir (Ptuj).

Rezultati meritev so prikazani v poglavju 8 v tabeli 8.34.

Povprečna koncentracija aktivnosti Cs-137 v vseh vzorcih je  $0,6 \pm 1,0$  Bq/kg (brez divjačine  $100 \pm 17$  mBq/kg) in Sr-90  $0,03 \pm 0,03$  Bq/kg. Najvišja vsebnost Cs-137 oziroma Sr-90 je bila izmerjena v vzorcu divjačine oziroma postrvi, in sicer  $4,2 \pm 0,1$  Bq/kg oziroma  $99 \pm 55$  mBq/kg.

#### Dolgoročni trendi

Trend povprečnih vrednosti koncentracij aktivnosti Cs-137 in Sr-90 v izbranih vzorcih je za večjo preglednost prikazan v grafih na spodnji sliki 5.9 od 2008 naprej. Zaradi dokaj naključne izbire vzorcev z različnimi aktivnostmi in z različnih lokacij je težko med seboj kvantitativno primerjati izmerjene vrednosti po letih, bi pa v primeru novih kontaminacij življenskega okolja takšne anomalije na grafu vsekakor izstopale. Prav tako v letnih povprečjih izločimo zelo specifične vzorce, kjer zaradi metabolizmov pride do večje akumulacije umetnih radionuklidov.

### 5.3.2 Žitarice in žitni izdelki

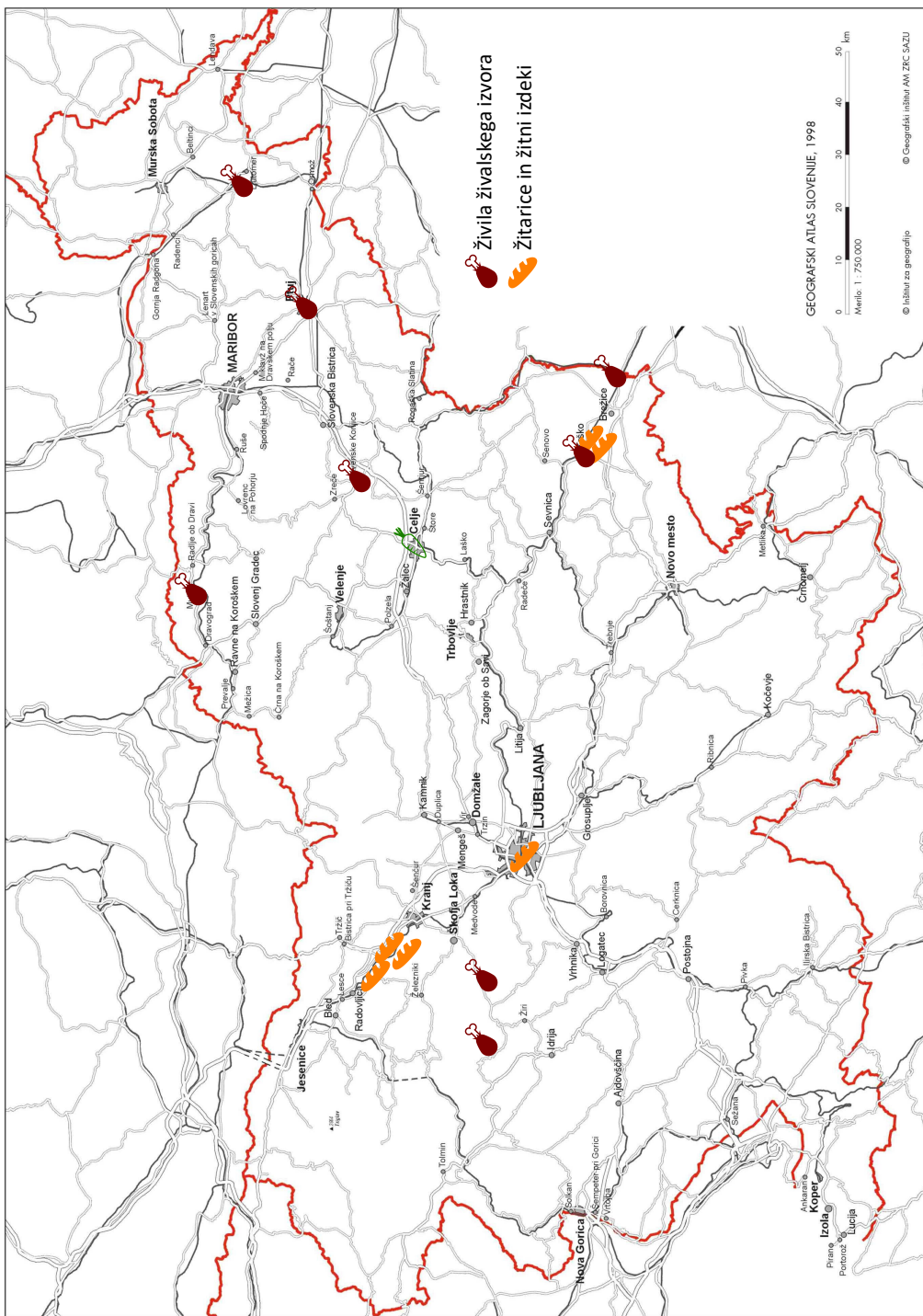
V preteklem letu smo vzorčili in analizirali šest vzorcev žitaric in žitnih izdelkov:

- ržena moka (Naklo),
- bela moka (Krško),
- beli kruh (Ljubljana),
- koruzna moka (Krško),
- ješprenj (Naklo, poreklo EU) in
- riž (Naklo, poreklo Italija).

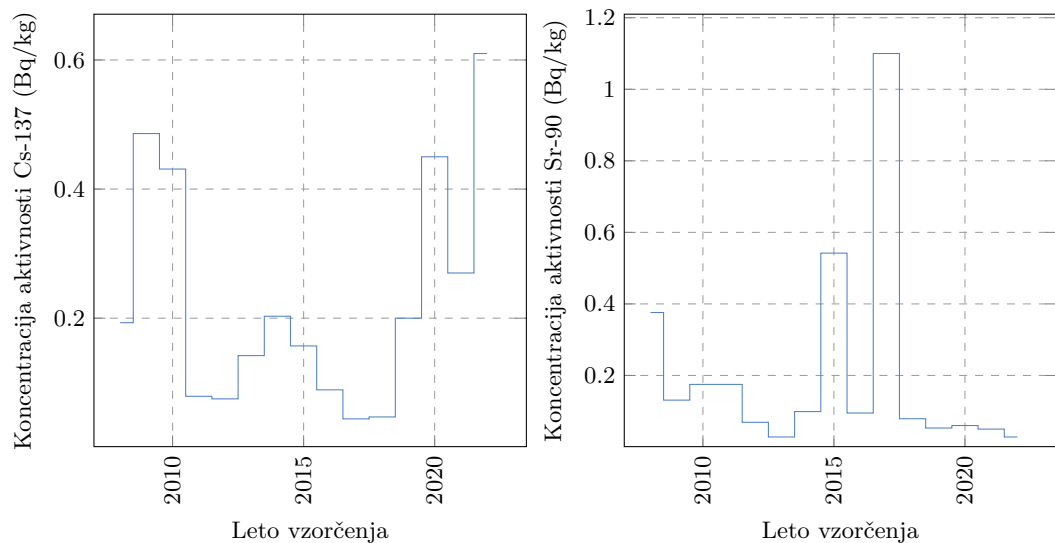
Rezultati meritev so prikazani v poglavju 8 v tabeli 8.35. Povprečna koncentracija aktivnosti Cs-137 je  $32 \pm 18$  mBq/kg, Sr-90 pa Cs-137 je  $42 \pm 74$  mBq/kg.

#### Dolgoročni trendi

Trend povprečnih vrednosti koncentracij aktivnosti Cs-137 in Sr-90 v izbranih vzorcih je za večjo preglednost prikazan v grafih na spodnji sliki 5.10 od 2008 naprej. Zaradi dokaj naključne izbire vzorcev z različnimi aktivnostmi in z različnih lokacij je težko

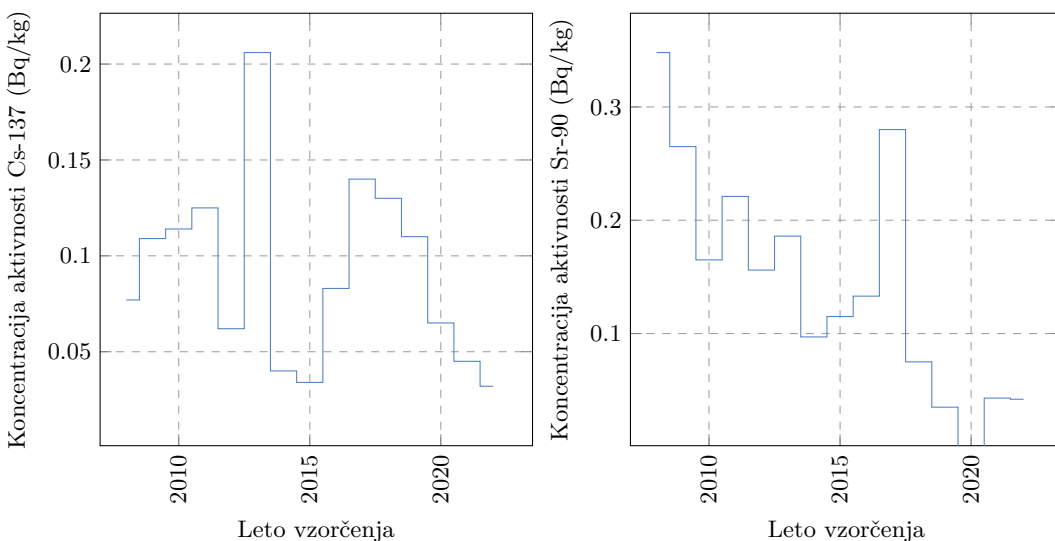


Slika 5.8 | Lokacije vzorčenja vzorcev živil živalskega izvora in žitarice in žitnih izdelkov.



**Slika 5.9** | Povprečne letne koncentracije aktivnosti Cs-137 in Sr-90 v živilih živalskega izvora od leta 2008 dalje (povprečje vseh vzetih vzorcev razen medu in divjačine).

med seboj kvantitativno primerjati izmerjene vrednosti po letih, bi pa v primeru novih kontaminacij življenjskega okolja takšne anomalije na grafu vsekakor izstopale.



**Slika 5.10** | Povprečne letne koncentracije aktivnosti Cs-137 in Sr-90 v žitaricah in žitnih izdelkih od leta 2008 dalje (povprečje vseh vzetih vzorcev).

### 5.3.3 Sadje

V preteklem letu smo vzorčili in analizirali šest vzorcev sadja:

- borovnice (Ljubljana, poreklo Slovenija),
- avokado (Ljubljana, poreklo Španija),
- češnje (Velenje, poreklo Slovenija),

- marelice (Maribor, poreklo Slovenija),
- slive (Maribor, poreklo Južna Afrika) in
- grozdje (KOpoer, poreklo Egipt).

Rezultati meritev so prikazani v poglavju 8 v tabeli 8.37. Povprečna koncentracija aktivnosti vseh Cs-137 v vseh vzorcih razen borovnic je  $24 \pm 8$  mBq/kg in Sr-90  $53 \pm 30$  mBq/kg. Vsebnosti Cs-137 in Sr-90 so bile le v sledovih in praviloma zelo nizke v večini vzorcev. Od povprečja odstopa le vsebnost Cs-137 v borovnicah, ki imajo za več velikostnih redov višjo aktivnost Cs-137  $15 \pm 1$  Bq/kg in jih v izračunu povprečja niti v izračunu doz ne upoštevamo, saj ne predstavljajo reprezentativnega vzorca za prehranjevalne navade. Višje vrednosti koncentracij Sr-90 odstopajo od dolgoletnega povprečja sadja (brez jagodičevja) ravno v vzorcih malin in borovnic, vendar jih vseeno upoštevamo tako v izračunu povprečja kot pri izračunu doz.

### Dolgoročni trendi

Trend povprečnih vrednosti koncentracij aktivnosti Cs-137 in Sr-90 v izbranih vzorcih je za večjo preglednost prikazan v grafih na spodnji sliki 5.12 od 2008 naprej. Zaradi dokaj naključne izbire vzorcev z različnimi aktivnostmi in z različnih lokacij je težko med seboj kvantitativno primerjati izmerjene vrednosti po letih, bi pa v primeru novih kontaminacij življenskega okolja takšne anomalije na grafu vsekakor izstopale. Prav tako v letnih povprečjih izločimo zelo specifične vzorce, kjer zaradi metabolizmov pride do večje akumulacije umetnih radionuklidov.

#### 5.3.4 Zelenjava

V preteklem letu smo vzorčili in analizirali šest vzorcev zelenjave:

- paradižnik (Ljubljana),
- kumare (Velenje, poreklo Hrvaška),
- radič (Celje, poreklo Italija),
- šampinjoni (Log pri Brezovici),
- česen (Koper, poreklo Egipt) in
- krompir (Koper, poreklo Egipt).

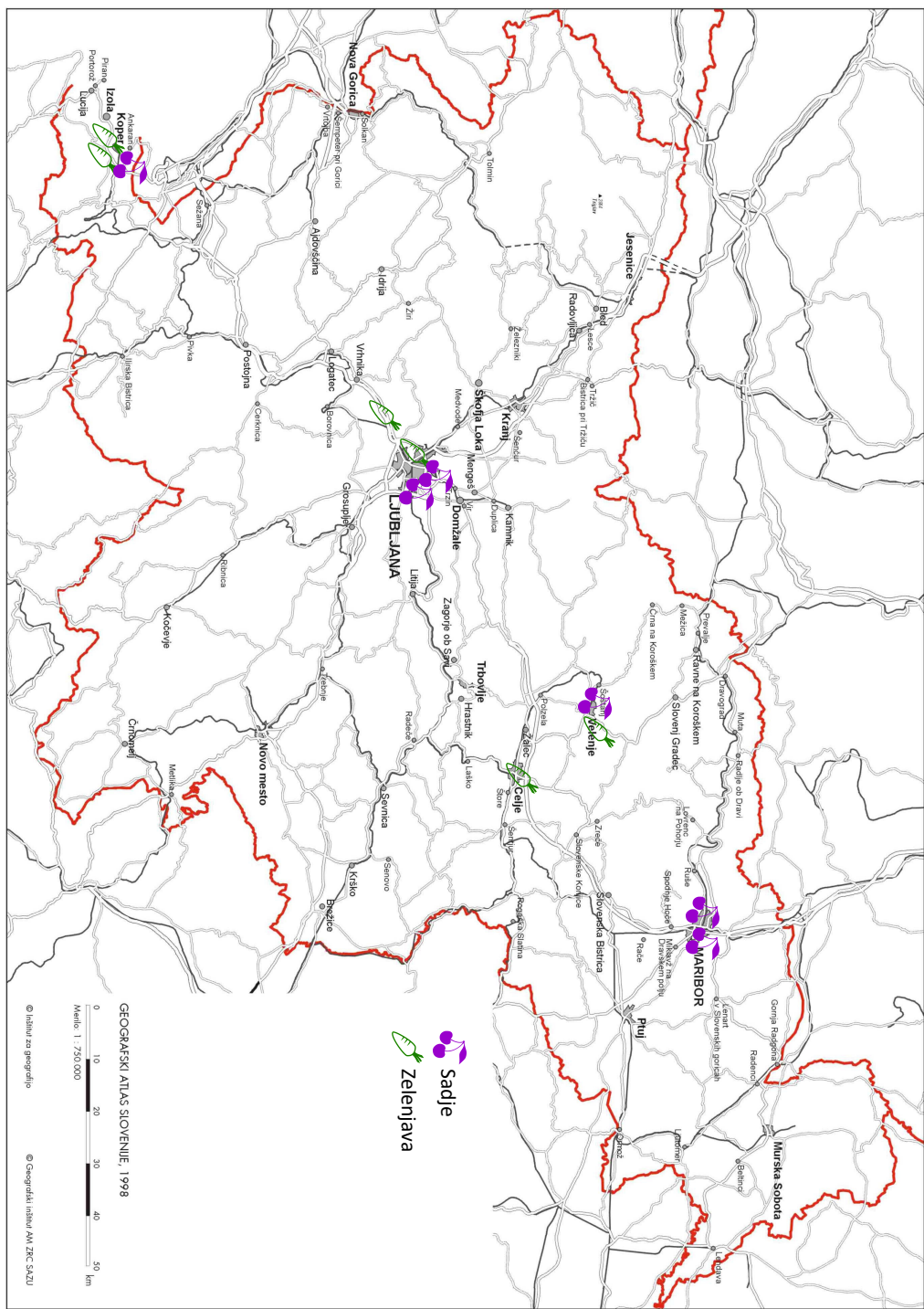
Rezultati meritev so prikazani v poglavju 8 v tabeli 8.36. Povprečna koncentracija aktivnosti v vseh vzorcih Cs-137 je  $28 \pm 18$  mBq/kg in Sr-90  $8 \pm 6$  mBq/kg. Vsebnosti Cs-137 so bile le v sledovih in praviloma zelo nizke v večini vzorcev.

### Dolgoročni trendi

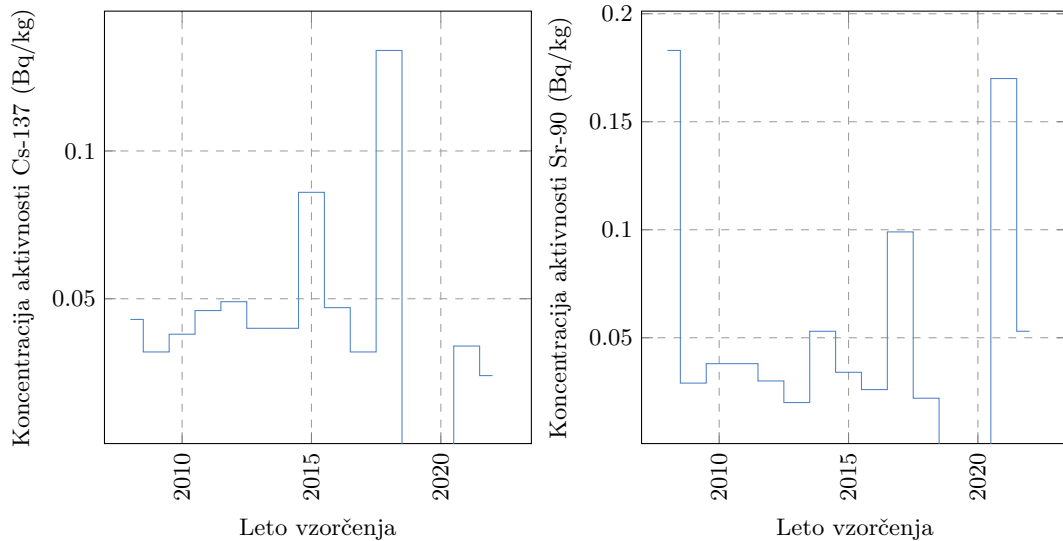
Trend povprečnih vrednosti koncentracij aktivnosti Cs-137 in Sr-90 v izbranih vzorcih je za večjo preglednost prikazan v grafih na spodnji sliki 5.13 od 2008 naprej. Zaradi dokaj naključne izbire vzorcev z različnimi aktivnostmi in z različnih lokacij je težko med seboj kvantitativno primerjati izmerjene vrednosti po letih, bi pa v primeru novih kontaminacij življenskega okolja takšne anomalije na grafu vsekakor izstopale.

#### 5.3.5 Otroška hrana

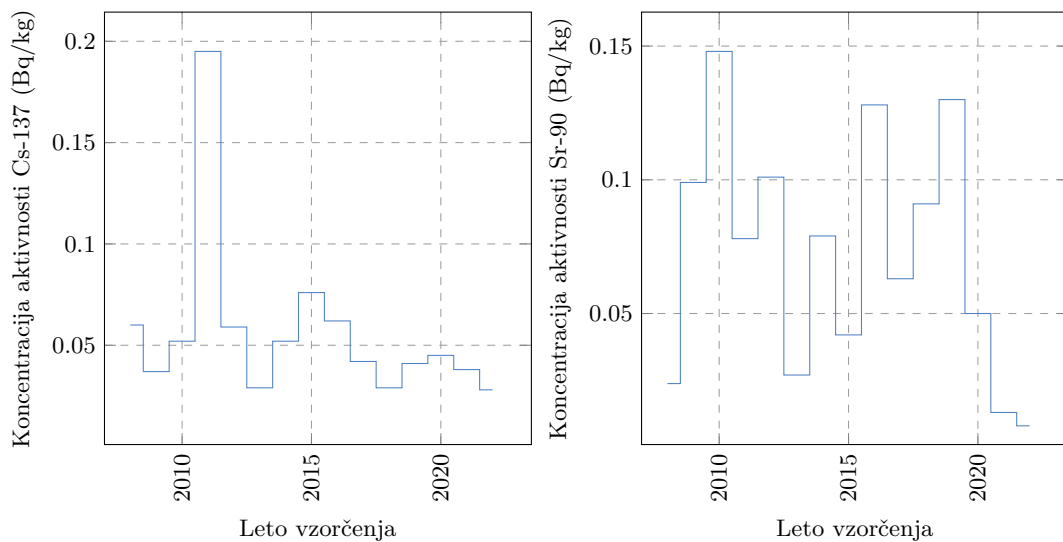
V preteklem letu smo vzorčili in analizirali 5 vzorcev celovitega obroka otrok v vzgojnih zavodih iz Kopra, Ljubljane, Novega mesta, Maribora in Kranja. Rezultati meritev so prikazani v poglavju 8 v tabeli 8.38. Povprečna koncentracija aktivnosti Cs-137 je  $14 \pm 8$  mBq/kg, povprečna koncentracija aktivnosti Sr-90 pa ni mogoče določiti, saj so bile vse meritve pod mejo detekcije.



**Slika 5.11 | Lokacije vzorčenja vzorcev sadja in zelenjav.**



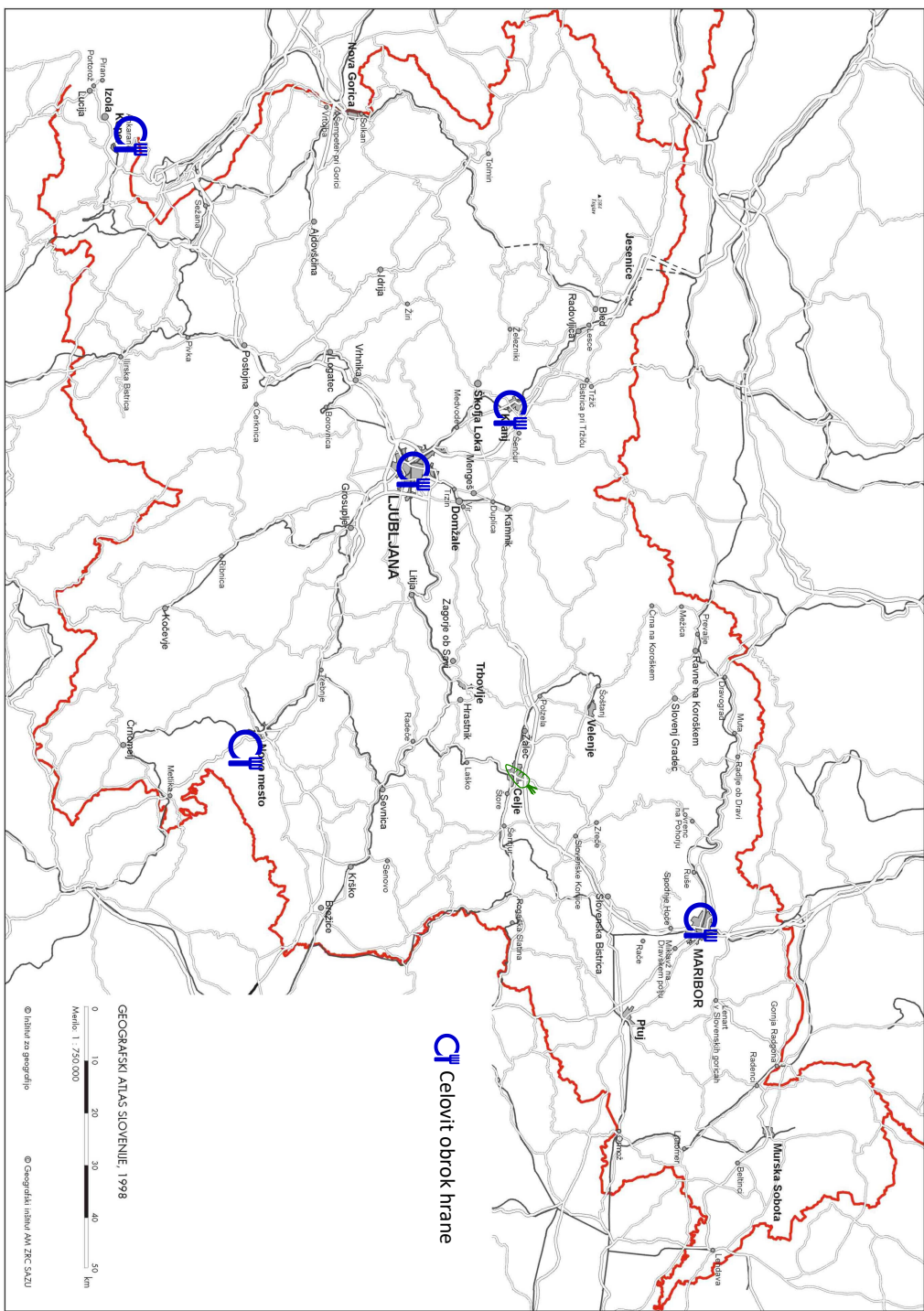
**Slika 5.12** | Povprečne letne koncentracije aktivnosti Cs-137 in Sr-90 v sadju od leta 2008 dalje (povprečje vseh vzetih vzorcev razen specifičnih z večjo akumulacijo).



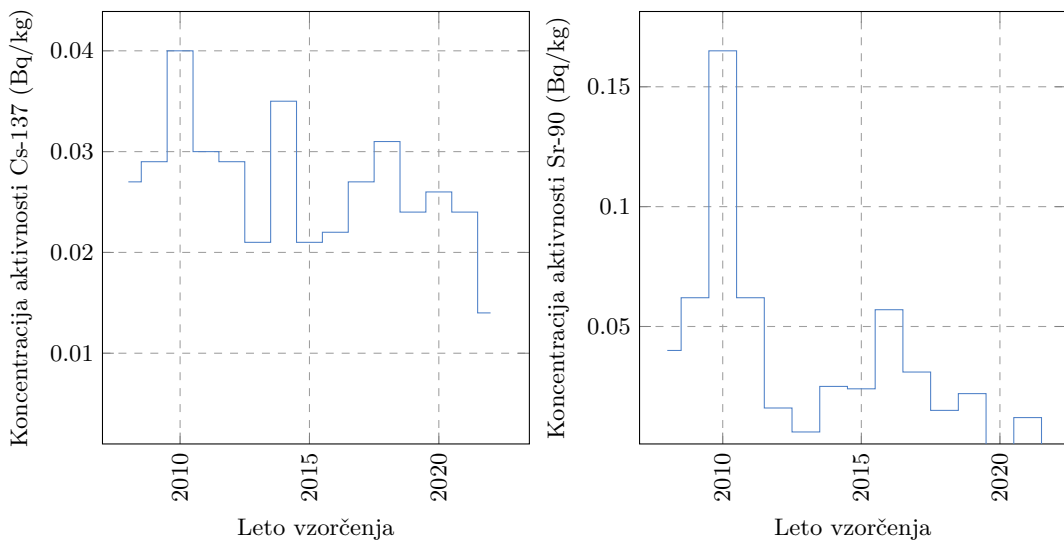
**Slika 5.13** | Povprečne letne koncentracije aktivnosti Cs-137 in Sr-90 v zelenjavi od leta 2008 dalje (povprečje vseh vzetih vzorcev brez gob).

### Dolgoročni trendi

Trend povprečnih vrednosti koncentracij aktivnosti Cs-137 in Sr-90 v izbranih vzorcih je za večjo preglednost prikazan v grafih na spodnji sliki 5.15 od 2008 naprej. Zaradi dokaj naključne izbire vzorcev z različnimi aktivnostmi in z različnih lokacij je težko med seboj kvantitativno primerjati izmerjene vrednosti po letih, bi pa v primeru novih kontaminacij življenskega okolja takšne anomalije na grafu vsekakor izstopale.



Slika 5.14 | Lokacije vzorčenja vzorcev celovitega obroka otrok.



**Slika 5.15 |** Povprečne letne koncentracije aktivnosti Cs-137 in Sr-90 v obrokih otroške hrane od leta 2008 dalje (povprečje vseh vzetih vzorcev).

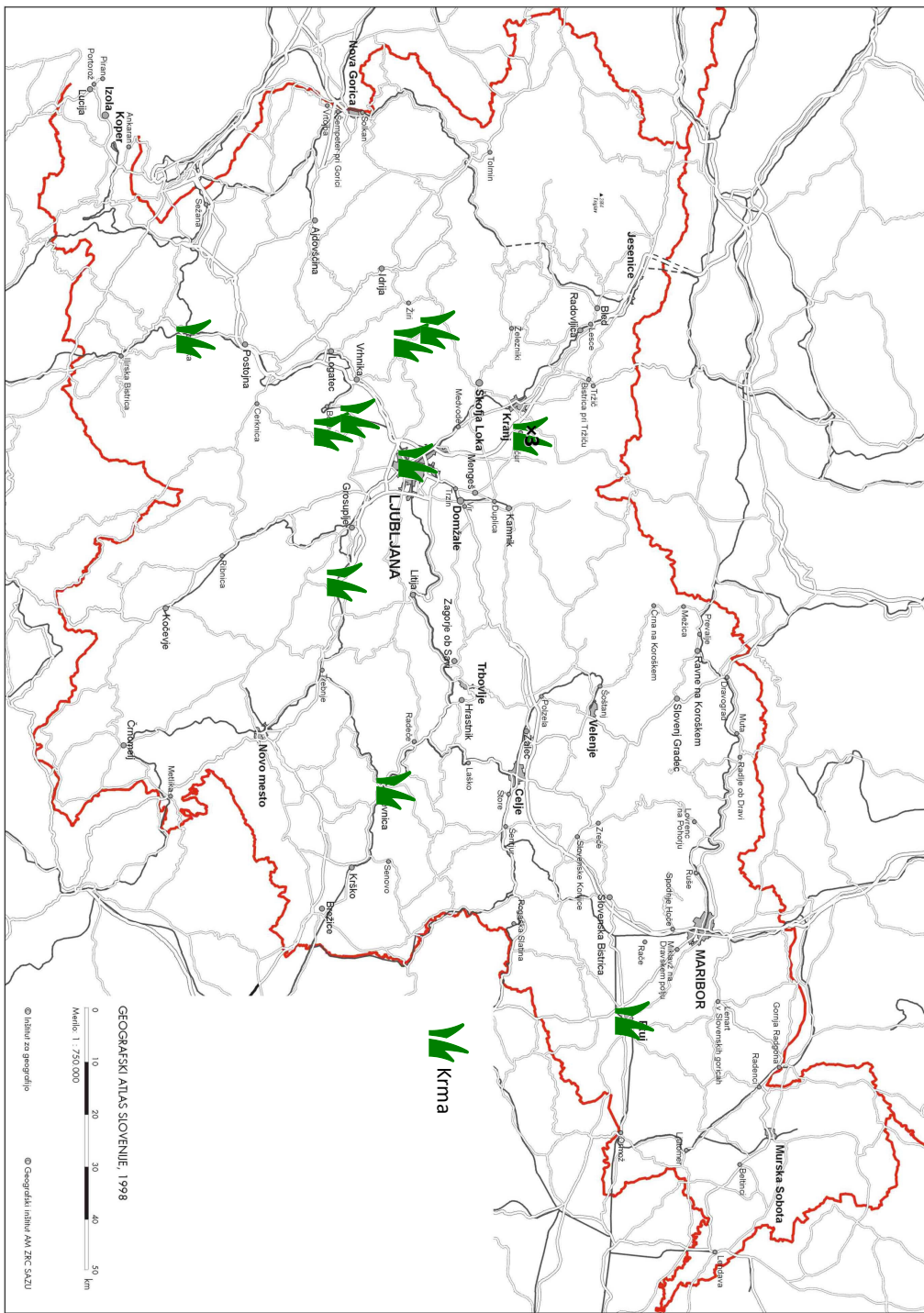
## 5.4 Krmila

V preteklem letu smo vzorčili in analizirali deset vzorcev krme:

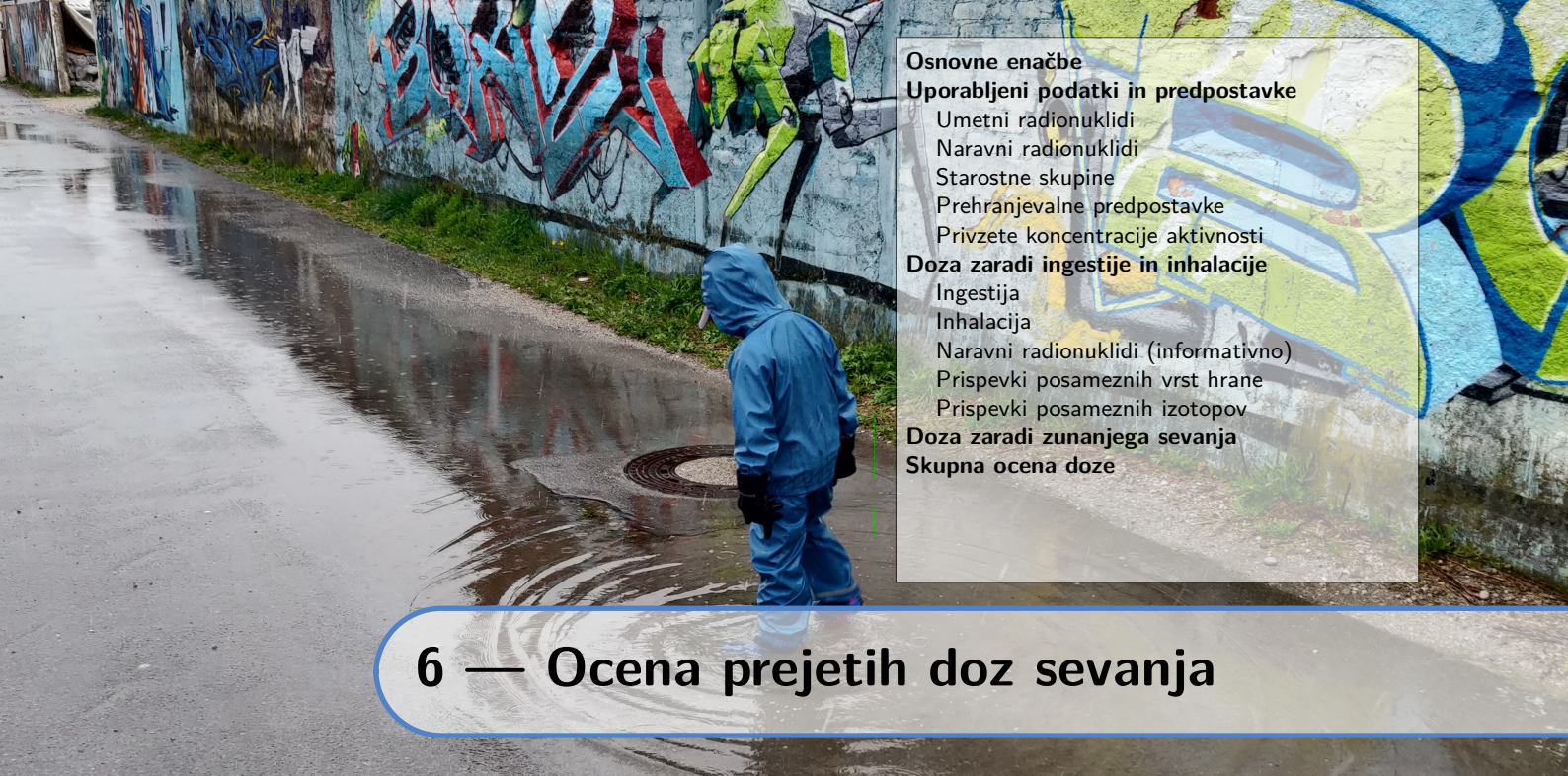
- 2 vzorca travne silaže,
- 2 vzorca koruzne silaže,
- 2 vzorci sena,
- 2 vzorci svežje trave in
- 2 vzorci krmne mešanice.

Lokacije vzorčenja (Žirovski vrh (2x), Ljubljana, Pivka, Šenčur, Sevnica, Ptuj, Ivančna Gorica in Borovnica (2x)) so prikazane na zemljevidu na sliki 5.16.

Rezultati meritev so prikazani v poglavju 8 v tabeli 8.39. Povprečna koncentracija aktivnosti Cs-137 je  $1,0 \pm 1,0$  Bq/kg in Sr-90  $0,9 \pm 1,0$  Bq/kg.



Slika 5.16 | Lokacije vzorčenja vzorcev krme.



<b>Osnovne enačbe</b>
<b>Uporabljeni podatki in predpostavke</b>
Umetni radionuklidi
Naravni radionuklidi
Starostne skupine
Prehranjevalne predpostavke
Prizete koncentracije aktivnosti
<b>Doza zaradi ingestije in inhalacije</b>
Ingestija
Inhalacija
Naravni radionuklidi (informativno)
Prispevki posameznih vrst hrane
Prispevki posameznih izotopov
<b>Doza zaradi zunanjega sevanja</b>
<b>Skupna ocena doze</b>

## 6 — Ocena prejetih doz sevanja

### 6.1 Osnovne enačbe

Na podlagi meritev prikazanih v tabelah od 8.4 do 8.39 v poglavju 8 smo v prejšnjih poglavjih analizirali dobljene rezultate. V nadaljevanju tako ocenujemo doze posameznikov iz prebivalstva, ki so izpostavljeni sevanju zaradi dolgoživih umetnih radionuklidov, ki so posledica bodisi jedrskeih bombnih poskusov v preteklosti bodisi jedrskeh nesreč z velikimi izpusti (Černobil in Fukušima). Oceno doz smo izvedli samo za umetne radionuklide in ocenili njihov dodatni prispevek k izpostavljenosti prebivalstva poleg siceršnje izpostavljenosti naravnim radionuklidom (le-te tu ne ocenujemo).

Efektivno dozo sevanja,  $E$ , za posameznika iz starostne skupine prebivalstva, g, sestavljata efektivna doza zaradi zunanjega obsevanja zaradi radioaktivnega useda v zemlji<sup>1</sup>,  $E_z$ , ter predvidena efektivna doza na enoto vnosa zaradi notranjega obsevanja,  $E_n$ . Slednja je vsota dveh prispevkov, prvi je predvidena efektivna doza zaradi zaužitja trdne in tekoče hrane (ingestija) ter vode,  $E_{ing}$ , in drugi predvidena efektivna doza zaradi vdihavanja radioaktivnih plinov in aerosolov (inhalacija),  $E_{inh}$ . Prenosne poti izpostavljenosti so shematsko prikazane na sliki 6.1. Efektivna doza  $E$  je torej

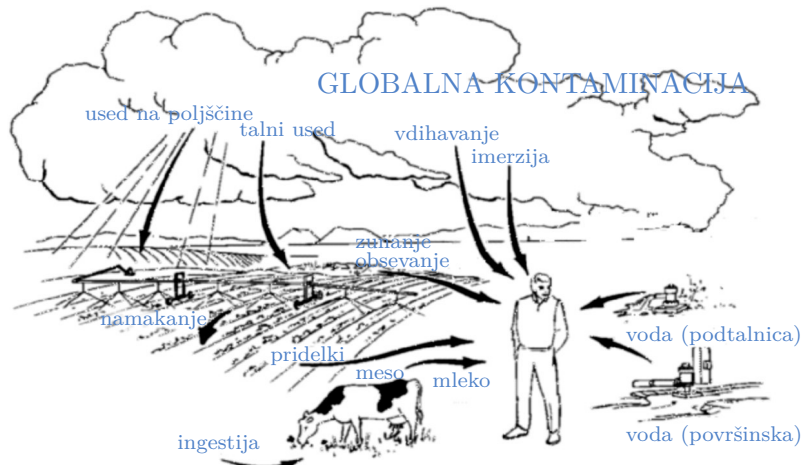
$$E = E_z + E_{ing} + E_{inh} \quad (6.1)$$

Efektivna doza zaradi zunanjega obsevanja,  $E_z$ , je vsota dveh prispevkov, prvi je enak produktu hitrosti osebnega ekvivalenta doze zunanjega sevanja,  $H_p(10)/t$  (v  $\mu\text{Sv}/\text{h}$ ) in času zadrževanja na prostem  $T_z$  (v urah), drugi pa je enak produktu hitrosti osebnega ekvivalenta doze zunanjega sevanja,  $H_p(10)/t$  (v  $\mu\text{Sv}/\text{h}$ ), času zadrževanja v bivalnem okolju  $T_n$  in faktorju ščitenja,  $F = 0,9$ , za prebivalce na deželi, za mestno populacijo pa lahko privzamemo faktor ščitenja,  $F = 0,95$ , ker je manj travnatih površin, ki so kontaminirane s Cs-137,

$$E_z = \frac{H_p(10)}{t} T_z + \frac{H_p(10)}{t} T_n (1 - F) \quad (6.2)$$

Običajno se upošteva celotno število ur v tekočem letu,  $T$ , in delež zadrževanja na

<sup>1</sup>imerzijo v zraku lahko zanemarimo



**Slika 6.1 |** Shematski prikaz prenosnih poti za notranje in zunanje obsevanje.

prostemu 0,2 ter v bivalnem okolju 0,8, kar zapišemo

$$E_z = \frac{H_p(10)}{t} T(0,2 + 0,8(1 - F)) \quad (6.3)$$

Predvidena efektivna doza zaradi ingestije,  $E_{ing}$ , za posameznika iz prebivalstva za starostno skupino  $g$  je enaka produktu vnesene aktivnosti  $A_{j,ing}$  (v Bq) posameznega radionuklida  $j$  in predvidene efektivne doze na enoto vnosa  $h(g)_{j,ing}$  zaradi zaužitja hrane (v Sv/kg), ter sešteta po vseh radionuklidih, ki jih upoštevamo pri oceni doze,

$$E_{ing} = \sum_j h(g)_{j,ing} A_{j,ing} \quad (6.4)$$

kjer je vnesena aktivnost zaradi ingestije,  $A_{j,ing}$ , enaka produktu koncentracije aktivnosti radionuklida  $j$ ,  $c_{i,j,ing}$  (v Bq/kg) v posamezni vrsti hrane  $i$  in količini zaužite posamezne vrste hrane  $m_i$  (v kg) ter sešteta po vseh vrstah hrane  $i$ ,

$$E_{ing} = \sum_j c_{i,j,ing} m_i \quad (6.5)$$

Predvidena efektivna doza zaradi inhalacije,  $E_{inh}$ , za posameznika iz prebivalstva za starostno skupino  $g$  je enaka produktu vnesene aktivnosti  $A_{j,inh}$  (v Bq) posameznega radionuklida  $j$  in predvidene efektivne doze na enoto vnosa  $h(g)_{j,inh}$  zaradi vdihavanja (v Sv/Bq), ter sešteta po vseh radionuklidih,

$$E_{inh} = \sum_j h(g)_{j,in} A_{j,in} \quad (6.6)$$

kjer je vnesena aktivnost zaradi inhalacije,  $A_{j,in}$ , enaka produktu koncentracije aktivnosti radionuklida  $j$ , v zraku,  $c_{j,in}$  (v Bq/m<sup>3</sup>), količini vdihanega zraka na uro  $\Phi$  (v m<sup>3</sup>/h) in številu ur v predvidenem časovnem obdobju (tekoče leto),  $T$  (v urah),

$$A_{j,in} = c_{j,in} \Phi T \quad (6.7)$$

## 6.2 Uporabljeni podatki in predpostavke

Oceno efektivnih doz sevanja zaradi vnosa radionuklidov, ki so posledica jedrskih bombnih poskusov v preteklosti in černobilske nesreče, v organizem s prehranjevanjem in vdihavanjem ter zaradi zunanjih doz za posamezne starostne skupine (dojenčki do enega leta starosti; otroci, stari od 7 do 12 let in odrasli, starejši od 17 let) smo naredili na podlagi rezultatov meritev koncentracij aktivnosti v vzorcih hrane, zraka in pitne vode. Meritev zunanjih doz gama sevanja s TL dozimetri ne upoštevamo, saj zaradi večje meritne negotovosti ne moremo izluščiti prispevka naravnega ozadja od prispevka dolgoživih radionuklidov zaradi jedrskih poskusov in nesreče v Černobilu. Rezultati so podani v  $\mu\text{Sv}$ .

### 6.2.1 Umetni radionuklidi

Efektivne doze za vse tri starostne skupine smo ocenili le za umetna radionuklida, Cs-137 in Sr-90, ki sta posledica globalne kontaminacije zaradi černobilske nesreče in bombnih poskusov. Efektivno dozo zaradi H-3 smo ocenili samo za pitno vodo, v ostalih vzorcih hrane in zraka se H-3 ni določal. H-3 se določa samo v vzorcih hrane iz okolice NE Krško, kar je zajeto v programu meritev radioaktivnosti v okolici NEK in kjer so doze analizirane v pripadajočih poročilih [43].

### 6.2.2 Naravni radionuklidi

Doze za K-40 ne podajamo, saj dozimetrični modeli upoštevajo, da se nahaja K-40 v organizmu v homeostatskem ravnovesju, zato bi bili izračuni doz za ta izotop nerealni. Ocenili smo tudi efektivno dozo zaradi vnosa drugih naravnih radionuklidov v telo z ingestijo in inhalacijo, vendar smatramo, da je število meritev premajhno in nerepresentativno, da bi lahko dobili prave povprečne vrednosti koncentracij aktivnosti naravnih radionuklidov, ki se razlikujejo tudi za faktor 10 ali več v isti vrsti hrane. En sam lokalno odvzeti vzorec hrane je premalo za realno oceno doze, zato bi bile ocenjene doze lahko previsoke. Poleg tega so detekcijske meje meritnih metod blizu vrednostim koncentracij aktivnosti v vzorcih, meritev pa je obremenjena z veliko negotovostjo. Zato doz zaradi naravnih radionuklidov ne poročamo, v informacijo podajamo le izračun za Pb-210, zaradi njegovega visokega pretvorbenega doznega faktorja.

### 6.2.3 Starostne skupine

Do leta 2003 se je ocenjevala efektivna doza za dve starostni skupini, in sicer za otroke do 5 let in odrasle. Na podlagi pravilnika SV5 [3] se ocenjujejo efektivne doze za tri starostne skupine, in sicer dojenčke do enega leta starosti, otroke stare od 7 do 12 let in odrasle.

### 6.2.4 Prehranjevalne predpostavke

Po podatkih kuhinje Pediatrične klinike v Ljubljani (marec 2005) popijejo dojenčki do šestega meseca od 0,6–1,0 litra mleka na dan (v obliki adaptiranega kravjega mleka, če niso dojeni). Po šestih mesecih se količina mleka zmanjša na 0,5–0,7 litra na dan, ker začnejo uživati sadje, zelenjavno in meso. V naši oceni smo za dojenčke upoštevali podatke Pediatrične klinike v Ljubljani, ki so navedeni v tabeli 6.1.

Za otroke od 7 do 12 let smo upoštevali podatke IAEA (za Nemčijo), tabela III [90], ki združuje podatke o porabi hrane za otroke od 7 do 12 let, ker za Slovenijo ni ustreznih podatkov za to starostno skupino.

Za odrasle smo upoštevali zadnje dostopne podatke Statističnega urada RS, in sicer

za zadnjih 5 let zbranih podatkov<sup>2</sup> [91] (do leta 2018 smo uporabljali fiksne podatke za leto 2004 [92]). V primeru odraslih smo poleg statističnega povprečja upoštevali dve referenčni skupini prebivalstva, živečih v urbanem in ruralnem območju, ki imajo hipotetično različne prehranjevalne navade (za ti dve skupini so količine arbitralno popravljene, kjer v mestih upoštevamo 10% manjšo porabo sadja in zelenjave ter mleka, na podeželju pa 10% večjo porabo teh živil), dodatno je zanje privzet tudi različen delež časa zadrževanja na prostem ali v zaprtih prostorih (kot je opisano v podpoglavlju 6.4 in tabeli 6.5)

Privzete količine zaužite hrane in vode v enem letu so podane v tabeli 6.1.

**Tabela 6.1 |** Podatki o letni količini zaužite hrane za starostne skupine

Starostna skupina	Povprečna količina zaužite hrane v enem letu (kg)							(m <sup>3</sup> ) voda
	zelenjava <sup>1</sup>	sadje <sup>2</sup>	moka <sup>3</sup>	meso <sup>4</sup>	mleko <sub>LJ</sub>	mleko <sub>KO</sub>	mleko <sub>BB</sub>	
dojenčki	22,5	22,5	11,0	7,5	199,4	199,4	199,4	0,165
7-12 let	76,3	37,6	55,8	71,9	73,0	73,0	73,0	0,465
odrasli	85,9	86,4	56,6	52,6	54,3	54,3	54,3	0,750
v mestu	77,3	77,7	56,6	52,6	48,9	48,9	48,9	0,750
na podeželju	94,5	95,0	56,6	52,6	59,7	59,7	59,7	0,900

<sup>1</sup> zelenjava vseh vrst <sup>2</sup> sadje vseh vrst; sadni sokovi <sup>3</sup> riž; kruh in drugi pekovski izdelki; testenine in kuskus; moka vseh vrst, kosmiči in zdrob <sup>4</sup> meso in mesni izdelki; ribe (sveže in zamrznjene); jajca

Zaradi lokalnih posebnosti zaradi povišanih vrednosti Cs-137 kot posledica useda izpustov med černobilsko nesrečo smo naredili oceno doz zaradi ingestije mleka za tri lokacije, in sicer za Ljubljano (kot slovensko povprečje) ter za Kobarid in Bohinjsko Bistrico (povišane vrednosti).

Oceno doz opišemo tako za tri starostne skupine prebivalstva, upoštevamo različne lokacije zaradi ingestije mleka ter različne prehranjevalne navade prebivalcev v urbanem in ruralnem območju. Razdelitev skupin je shematsko predstavljena na spodnji sliki 6.2, kjer so posamezne podmnogožice prebivalstva Slovenije označene z oznakami od A1 do E3 in za odrasle referenčne skupine zelo arbitralno prikazane na zemljevidu Slovenije (prebivalci nimajo zelo ozkih prehranjevalnih navad).

### 6.2.5 Privzete koncentracije aktivnosti

Povprečne vrednosti koncentracij aktivnosti umetnih radionuklidov – Cs-137, Sr-90 in H-3 – v hrani, pitni vodi in zraku za leto 2022 so predstavljene v tabeli 6.2. Podatke za naravni radionuklid Pb-210 zgolj zaradi primerjave podajamo le informativno.

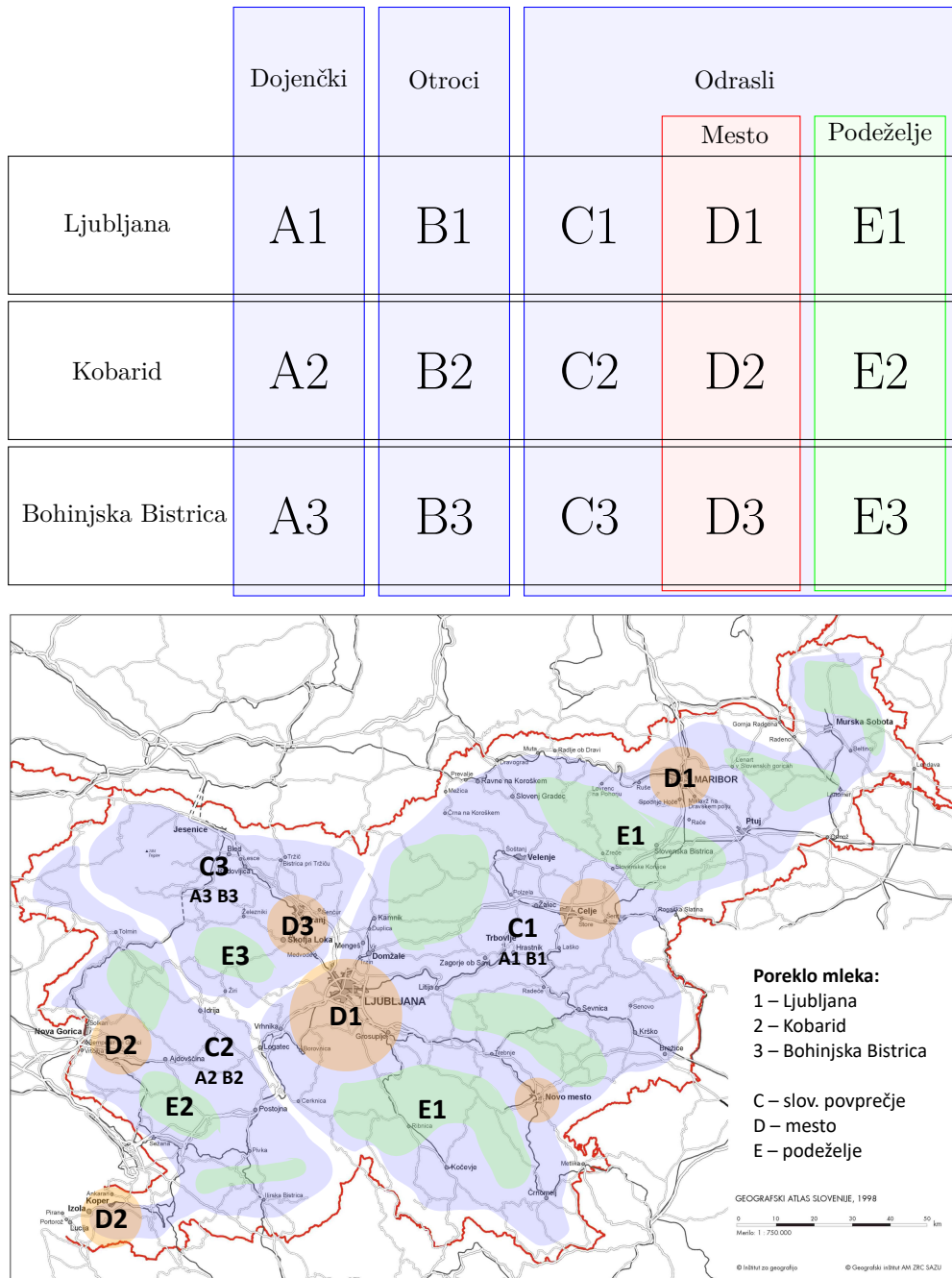
Tipično v povprečju za meso, sir in ostala živila živalskega izvora ne upoštevamo vrednosti za nekatero divjačino, v povprečju za sadje vrednosti za gozdne sadeže in v povprečju za zelenjavo vrednosti za gobe, v kolikor te vrednosti odstopajo od vrednosti siceršnjih vzorcev za en ali več velikostnih redov, saj teh živil povprečni prebivalec relativno malo zaužije v celotni prehrani, v samem povprečju koncentracij aktivnosti pa bistveno dvignejo vrednosti. Zato bi bili izračuni doz nerealni.

Za inhalacijo zraka v izračunih doz upoštevamo slovensko povprečje izmerjene vrednosti na vseh treh merskih lokacijah.

## 6.3 Doza zaradi ingestije in inhalacije

Pri oceni efektivne doze zaradi vnosa z ingestijo smo upoštevali enačbi 6.3 in 6.4, podatke o količini zaužite hrane za različne starostne skupine iz tabele 6.2 in povprečne

<sup>2</sup>zadnji dostopni podatki SURS so do leta 2018



**Slika 6.2 |** Shematski prikaz določitve različnih starostnih in referenčnih skupin, ki so specifične bodisi zaradi lokacije bodisi prehranjevalnih navad.

vrednosti koncentracij aktivnosti radionuklidov v različnih vrstah hrane in pitne vode iz tabele 6.2, pri mleku smo upoštevali koncentracije aktivnosti za Ljubljano, Kobarid in Bohinjsko Bistrico. Vrednosti iz Ljubljane upoštevamo za slovensko povprečje, vrednosti iz Kobarida in Bohinjske Bistrike pa za lokalno posebnost zaradi povišanih vrednosti Cs-137 kot posledico černobilske nesreče. Upoštevali smo dozne pretvorbene faktorje iz uredbe UV2 oziroma zbirke ICRP 119 [4, 93].

**Tabela 6.2 |** Povprečne koncentracije aktivnosti sevalcev gama in Sr-90 ter H-3 v hrani, pitni vodi in zraku za leto 2022

Izotop	Privzete koncentracije aktivnosti vzorcev zelenjava	Privzete koncentracije aktivnosti vzorcev sadje	Privzete koncentracije aktivnosti vzorcev moka	Privzete koncentracije aktivnosti vzorcev meso	(Bq/kg) mleko <sub>LJ</sub>	(Bq/kg) mleko <sub>KO</sub>	(Bq/kg) mleko <sub>BB</sub>	(Bq/m <sup>3</sup> ) voda	(mBq/m <sup>3</sup> ) zrak
Cs-137	0,028	0,017	0,032	0,100	0,034	0,044	0,015	0,000	1,9E-03
Sr-90	0,008	0,053291667	0,042	0,030	0,025	0,018	0,023	0,800	0
H-3	0	0	0	0	0	0	0	543	0
Pb-210	0,167	0,172	0,165	0,267	0,124	0,025	0,119	3,56	0,594

Pb-210 – le informativno

### 6.3.1 Ingestija

V tabeli 6.3 so prikazane efektivne doze zaradi ingestije posamezne vrste hrane in vode ter zaradi inhalacije dolgoživih černobilskih cepitvenih produktov – Cs-137 in Sr-90 (vpliv H-3 je zanemarljiv) – za dojenčke do 1 leta, otroke od 7 do 12 let in za odrasle za umetne radionuklide v hrani. Doza za odraslega prebivalca je v letu 2022 ocenjena na **0,5 ± 0,2 µSv**, za ostale skupine prebivalstva z upoštevanjem nekaterih posebnosti so doze višje, kot je razvidno iz omenjene tabele.

Efektivne doze v letu 2022 zaradi ingestije so primerljive s prejšnjimi leti (od 2003 dalje). V letu 2008 je opazna rahlo višja ocenjena vrednost, ki je posledica predvsem višje povprečne vrednosti Sr-90 v izbranih vzorcih zelenjave. V letu 2013 smo posodobili podatke o prehrani odraslih, kjer smo našli najnovejše podatke objavljene v letu 2006 [92], a se ti ne razlikujejo bistveno od starih. V letu 2019 smo ponovno posodobili podatke o prehrani [91]<sup>3</sup>, kjer so opazne razlike, predvsem manjše zaužite količine določenih vrst hrane. Zato je v letu 2022 v okviru statističnih odstopanj izbire in vzorčenja hrane pričakovano nižja ocenjena doza kot v letih pred 2019.

### 6.3.2 Inhalacija

Doze zaradi inhalacije dobimo ob upoštevanju koncentracij radionuklidov v zraku, izmerjenih v Ljubljani. Ocenjene efektivne doze zaradi inhalacije so za vse tri starostne skupine iz prebivalstva, dojenčke do enega leta, otroke od 7 – 12 let oziroma odrasle podobne kot v prejšnjih letih, in sicer **0,05 nSv, 0,07 nSv** oziroma **0,09 nSv**. Izjema je leto 2017, ko so bile doze bistveno višje od prejšnjih let zaradi vdihavanja radioaktivnega oblaka z Ru-106 [94], in sicer  $0,11 \pm 0,08 \mu\text{Sv}$ , je pa bil takratni prispevek Cs-137 k tej dozi primerljiv z ostalimi leti. V letu 2020 je zaradi gozdnega požara v izključitveni coni okrog jedrske elektrarne v Černobilu bilo v prvi polovici aprila zaznano rahlo višja koncentracija Cs-137 v zraku, vendar to na letnem nivoju zanemarljivo prispeva k dozi.

### 6.3.3 Naravni radionuklidi (informativno)

Za naravne radionuklide v tabeli 6.4 le informativno podajamo efektivno dozo samo zaradi ingestije in inhalacije Pb-210, ki ima velik dozni pretvorbeni faktor. Najvišja vrednost je za dojenčke do enega leta starosti in znaša **308 µSv**, za otroke od 7 do 12 let znaša **113 µSv** in za odrasle **40 µSv**, kjer upoštevamo ingestijo mleka v Ljubljani.

### 6.3.4 Prispevki posameznih vrst hrane

Na sliki 6.3 smo za primer vnosa ljubljanskega mleka analizirali relativne prispevke posameznih vrst hrane, vode in zraka k skupni dozi zaradi ingestije in inhalacije. Pri dojenčkih k dozi zaradi specifične prehrane prevladuje prispevek mleka (več kot polovico).

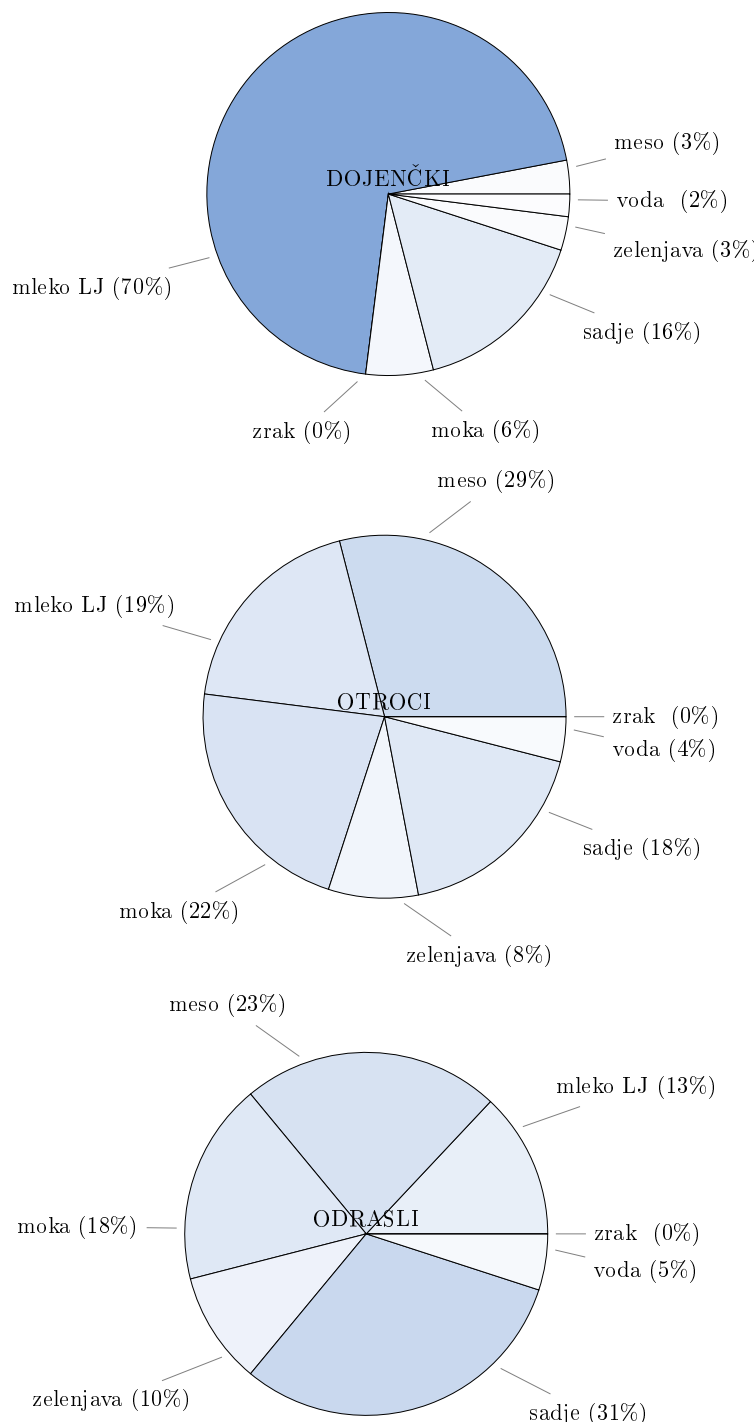
<sup>3</sup>na portalu SURS so zadnjo podatki na voljo iz leta 2018

**Tabela 6.3 | Efektivne doze zaradi ingestije in inhalacije umeđenih radionuklidov za različne skupine prebivalstva v letu 2022.**

	zelenjava	sadje	moka	meso	vista vzorca	mlekoLJ	mlekoKO	mlekoBB	voda	zrak
<b>Izotop</b>										
Cs-137	0,01	0,00	0,00	0,01	0,07	0,10	0,03	0,00E+00	5,30E-05	
Sr-90	0,04	0,28	0,11	0,05	1,16	0,84	1,07	3,04E-02	0,00E+00	
H-3	0	0	0	0	0	0	0	5,73E-03	0,00E+00	
Skupaj	0,05±0,03	0,28±0,58	0,11±0,19	0,06±0,06	1,24±1,26	0,93±0,67	1,10±0,62	0,04±0,00	5,3E-5±3,9E-5	
<b>Izotop</b>										
Cs-137	0,02	0,01	0,02	0,07	0,02	0,03	0,01	0,00E+00	7,29E-05	
Sr-90	0,04	0,12	0,14	0,13	0,11	0,08	0,10	2,23E-02	0	
H-3	0	0	0	0	0	0	0	5,81E-03	0	
Skupaj	0,06±0,03	0,13±0,25	0,16±0,25	0,20±0,15	0,14±0,12	0,11±0,06	0,11±0,06	0,03±0,00	7,3E-5±5,4E-5	
<b>Izotop</b>										
Cs-137	0,03	0,02	0,02	0,07	0,02	0,03	0,01	0,00E+00	8,65E-05	
Sr-90	0,02	0,13	0,07	0,04	0,04	0,03	0,04	1,68E-02	0	
H-3	0	0	0	0	0	0	0	7,33E-03	0	
Skupaj	0,05±0,02	0,15±0,27	0,09±0,12	0,11±0,05	0,06±0,04	0,06±0,02	0,05±0,02	0,02±0,00	8,7E-5±6,4E-5	
<b>Izotop</b>										
Cs-137	0,03	0,02	0,02	0,07	0,02	0,03	0,01	0,00E+00	8,65E-05	
Sr-90	0,02	0,12	0,07	0,04	0,03	0,02	0,03	1,68E-02	0,00E+00	
H-3	0	0	0	0	0	0	0	7,33E-03	0,00E+00	
Skupaj	0,05±0,02	0,13±0,24	0,09±0,12	0,11±0,05	0,06±0,04	0,05±0,02	0,04±0,02	0,02±0,00	8,7E-5±6,4E-5	
<b>Izotop</b>										
Cs-137	0,03	0,02	0,02	0,07	0,03	0,03	0,01	0,00E+00	8,65E-05	
Sr-90	0,02	0,14	0,07	0,04	0,04	0,03	0,04	1,68E-02	0,00E+00	
H-3	0	0	0	0	0	0	0	7,33E-03	0,00E+00	
Skupaj	0,06±0,03	0,16±0,30	0,09±0,12	0,11±0,05	0,07±0,05	0,06±0,03	0,05±0,02	0,02±0,00	8,7E-5±6,4E-5	

**Tabela 6.4** | Efektivne doze zaradi ingestije in inhalacije Pb-210 (le informativno) za različne skupine prebivalstva v letu 2022.

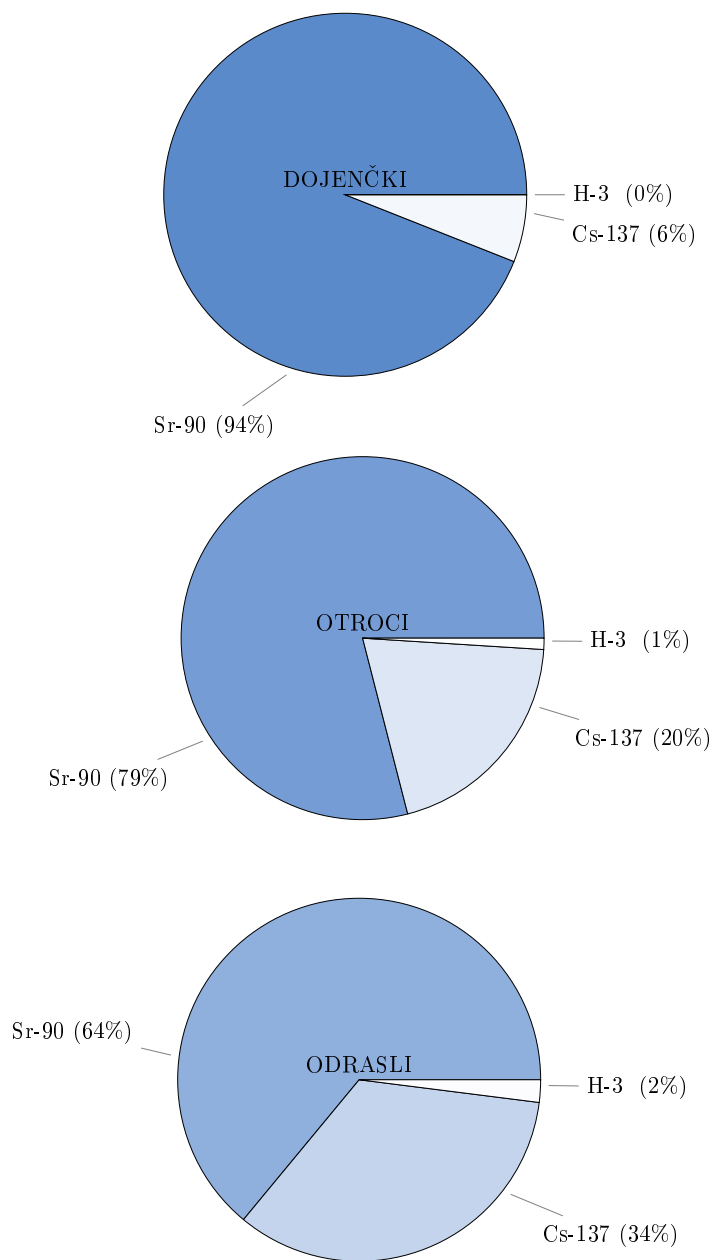
Pri otrocih oziroma odraslih v letu 2022 prevladuje prispevek mesa oziroma sadja – posamezni prispevki k dozi delno variirajo z leti in je predvsem statistična posledica izbire različnih vzorcev po različnih lokacijah v Sloveniji.



**Slika 6.3 |** Relativni prispevki k dozi zaradi ingestije in inhalacije posameznih vrst hrane, vode in zraka za tri starostne skupine prebivalstva (ljubljansko mleko).

### 6.3.5 Prispevki posameznih izotopov

Če primerjamo prispevke po posameznih izotopih, k dozi največ prispeva Sr-90, delež H-3 je zelo majhen (pod 1%), preostalo gre na račun Cs-137. Prispevek Sr-90 k dozi zaradi ingestije in inhalacije za dojenčke znaša v letu 2022 ~94%, za otroke ~79% in za odrasle ~64%, kot je tudi prikazano na sliki 6.4.



**Slika 6.4 |** Relativni prispevki k dozi posameznih radionuklidov za tri starostne skupine prebivalstva (ljubljansko mleko)

## 6.4 Doza zaradi zunanjega sevanja

Povprečni letni okoliški ekvivalent doze  $H^*(10)$  zaradi zunanjega sevanja v letu 2022 je bil  $889 \mu\text{Sv}$ . Ker je ocena černobilske doze zunanjega sevanja na osnovi meritev

TL dozimetrov zelo konservativna, sploh ker sedaj glavnino k dozi prispevajo nravni radionuklidi, in ker je negotovost podatkov izmerjenih pred letom 1986 velika, smo ocenili dozo zunanjega sevanja umetnih radionuklidov s pomočjo globinske porazdelitve černobilskega Cs-137 v zemlji [95]. Izotop Cs-137 v zemlji ni več porazdeljen eksponentno, kot v prvih letih po nesreči, pač pa se je vrh premaknil v globlje plasti. Globina vrha je odvisna od lastnosti zemlje. Porazdelitev tako lahko deloma opišemo z Gaussovo funkcijo [96]. Širina porazdelitve pa je prav tako odvisna od definicijskih lastnosti zemlje. S pomočjo te metode smo iz meritev koncentracij Cs-137 v zemlji ocenili dozo zunanjega sevanja za različne starostne in referenčne skupine prebivalstva. Pri tem smo tudi upoštevali različne deleže zadrževanja na prostem ali v zaprtih prostorih ter faktorje ščitenja v zaprtih prostorih (v mestih večje, na deželi manjše - glej tabelo 6.5), zato analiziramo doze za več referenčnih skupin, med drugim tudi za ruralno oziroma urbano območje.

**Tabela 6.5 |** Predpostavke o deležih zadrževanja v zaprtih prostorih in na prostem za izračun doz zunanjega sevanja

Lokacija	delež časa zadrževanja v zaprtih prostorih	faktor ščitenja na prostem	faktor ščitenja v zaprtih prostorih
slovensko povprečje	0,8	0,2	0,9
urbana področja	0,8	0,2	0,95
ruralna področja	0,7	0,3	0,85

V tabeli 6.7 so prikazane izračunane efektivne doze prejete zaradi zunanjega obsevanja zaradi černobilskega Cs-137 v zemlji (prispevek globalne kontaminacije zaradi jedrskih poskusov in fukušimske nesreče je zanemarljiv). Doza za odraslega prebivalca Slovenije je v letu 2022 ocenjena na **2,1 ± 0,1 µSv**, za ostale skupine prebivalstva z upoštevanjem nekaterih posebnosti so doze višje, kot je razvidno iz tabele 6.7. Doza v letu 2022 je nižja od vrednosti preteklih let predvsem zaradi izračuna iz koncentracij aktivnosti Cs-137 v zemlji, kjer močno vpliva mikrolokacija vzorčenja, kot je opisano v poglavju 4.1.1. Upoštevali smo dozne pretvorbeni faktorje med Gy in Sv za različne starostne skupine prebivalcev po UNSCEAR poročilu iz leta 2000, in sicer 0,91 za dojenčke, 0,79 za otroke in 0,69 za odrasle. Ti pretvorbeni faktorji so konservativni, saj temeljijo na naravnih radionuklidih K-40, Th-232 in U-238, ker pa v izračunu doz upoštevamo le Cs-137, bili ti faktorji v skladu s priporočili ICRU Report 57 lahko 20% nižji.

Doza za odraslega prebivalca ocenjena za pretekla leta je prikazana v tabeli 6.6, kjer so vrednosti primerljive med sabo po letih. Drugačni oceni doze v letih 2006 in 2008 sta posledica druge lokacije vzorčenja zemlje v Ljubljani in vzorčevalca, kot je bila pred letom 2006 in nato ponovno v 2007. V vseh teh letih je bilo mesto odvzema vzorcev na lokaciji ob Cesti dveh cesarjev, v letih 2006 in 2008 je bila lokacija vzorčenja na Reaktorskem izobraževalnem centru v Podgorici. Od leta 2009 dalje je lokacija ponovno ob Cesti dveh cesarjev. Koncentracije aktivnosti izmerjene v vzorcih zemlje iz lokacije na Reaktorskem centru so nekajkrat nižje od tistih iz lokacije ob Cesti dveh cesarjev. Primerjava ocenjenih doz v preteklih letih nam pokaže, da je bila černobilска kontaminacija precej neenakomerna in da je lahko Cs-137 zaradi razgibanosti terena ter difuzijskih lastnosti zemlje difundiral do različnih globin na posameznih lokacijah. Zato smo ocenili tudi dozo zunanjega sevanja na dveh ostalih lokacijah z lokalno višjimi vrednostmi Cs-137 - Kobarid in Bohinjska Bistrica (za slednjo privzamemo enako vrednost kot za Kobarid, saj tam zemlje ne vzorčimo). Rezultati prejetih letnih doz za vse referenčne skupine, prikazane na sliki 6.2, so navedene v tabeli 6.7.

**Tabela 6.6 |** Ocjenjene doze zaradi zunanjega obsevanja odraslih prebivalcev v preteklih letih

Leto	Doza zaradi zunanjega obsevanja ( $\mu\text{Sv}$ )
2003	6,5
2004	6,5
2005	4,8
2006	1,45
2007	4,8
2008	6,7
2009	7,6
2010	7,8
2011	7,0
2012	7,7
2013	6,2
2014	6,4
2015	6,0
2016	6,1
2017	5,5
2018	4,7
2019	5,6
2020	5,9
2021	2,4
2022	2,1

## 6.5 Skupna ocena doze

Na osnovi povprečne vrednosti koncentracij aktivnosti dolgoživih umetnih radionuklidov v vzorcih zraka, vode in hrane, odvzetih v letu 2022, povprečnem letnem vnosu posameznih vrst hrane in pitne vode ter ob upoštevanju doznih pretvorbenih faktorjev v uredbi UV2 [4] smo ocenili pričakovano efektivno dozo:

- za dojenčke do enega leta starosti,
- za otroke od 7 do 12 let in
- za odrasle.

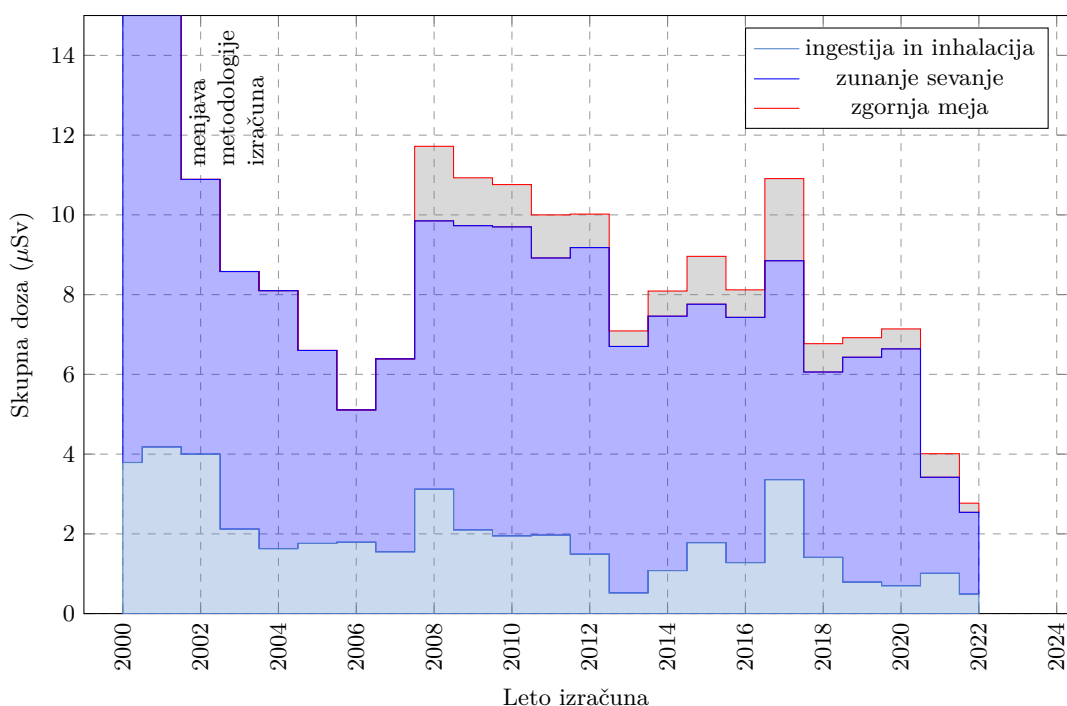
Izračun efektivnih doz smo naredili za različne referenčne skupine prebivalstva (slika 6.2), ki odražajo starostne skupine splošnih predstavnikov prebivalstva, kakor tudi specifične skupine bodisi zaradi lokalnih posebnosti, načinov prehranjevanja, bivanja ipd. Aktivnosti, zaužite s prehrano in vnesene v telo z dihanjem, ocenimo na podlagi izmerjenih vzorcev v preteklem letu. To pomeni, da lahko koncentracije aktivnosti v različnih vzorcih bistveno variirajo. Za izračun doz uporabimo metodologijo in enačbe predstavljene v poglavju 6.1, pri čemer za vhodne podatke uporabimo statistično obdelane vrednosti oziroma povprečne vrednosti aktivnosti z določeno negotovostjo oziroma standardno deviacijo ensambla vrednosti ( $a \pm \sigma_a$ ). Izračun prejetih doz opravimo tako s povprečnimi vrednostmi, ki odraža realno oceno, za primerjavo pa izračun opravimo še za t.i. zgornjo mejo doze oziroma najvišjo pričakovano dozo, kjer na ta način pokrijemo ~95 % vseh možnih primerov (95 % verjetnost, da doza posameznika iz prebivalstva ne preseže te izračunane vrednosti). Namesto negotovosti ocene doze je v našem primeru bolj smiselno podati zgornjo mejo letne doze, saj je razpon vrednosti predvsem posledica povprečenja vrednosti radionuklidov v posameznih vrstah vzorcev.

Rezultati ocenjenih doz za preteklo leto so prikazani v tabeli 6.7.

Skupna efektivna doza oziroma zgornja meja za odrasle zaradi vnosa umetnih radio-

nuklidov v telo z ingestijo in inhalacijo ter zaradi zunanjega obsevanja tal znaša **2,1  $\mu\text{Sv}$  oziroma < 2,4  $\mu\text{Sv}$**  na leto za odrasle, **3,1  $\mu\text{Sv}$  oziroma < 3,4  $\mu\text{Sv}$**  na leto za otroke od 7. do 12. leta starosti in **4,5  $\mu\text{Sv}$  oziroma < 5,8  $\mu\text{Sv}$**  na leto za dojenčke. V hrani večji del doze prispeva Sr-90, k zunanjemu sevanju pa k dozi največ prispeva Cs-137. V letu 2022 je k dozi zaradi inhalacije največ prispeval Cs-137.

Na sliki 6.5 je prikazana časovna odvisnost ocenjenih efektivnih doz za odraslega prebivalca Slovenije za obdobje od leta 2000 dalje. Na grafu je prikazana ločena doza zaradi prispevkov ingestije in inhalacije oziroma zunanjega sevanja. Padec doze zunanjega obsevanja v letu 2002 je posledica spremenjene metodologije vrednotenja doz. Do leta 2001 se je namreč dozo zunanjega sevanja zaradi černobilske kontaminacije ocenjevalo iz odčitkov TL dozimetrov, kar je bilo obremenjeno z veliko negotovostjo meritve (ocenjeni vrednosti dozi zunanjega sevanja sta znašali 53,7  $\mu\text{Sv}$  in 50,0  $\mu\text{Sv}$  v letih 2000 in 2001).



**Slika 6.5 |** Predvidena efektivna doza  $H_E$  zaradi kontaminacije okolja z dolgoživimi umetnimi radionuklidmi za odrasle (slovensko povprečje) za obdobje od leta 2000 dalje

**Tabela 6.7** | Obsevna obremenitev prebivalstva v letu 2022 zaradi kontaminacije okolja z dolgoživimi umetnimi radionuklidi – pregledna zbirna tabela

Starostna skupina	Prehramb. navade	Mleko	Ref.	Inhalacija (nSv)	Ingestija ( $\mu$ Sv)	Zumanje sevanje ( $\mu$ Sv)	Prejeta letna ekvivalentna doza	
							Skupna doza ( $\mu$ Sv)	Zgornja meja ( $\mu$ Sv)
dojenčki do 1 leta	Pediatrična klinika	LJ KB BB	A1 A2 A3	0,05 ± 0,04	1,8 ± 1,3 1,5 ± 1,0 1,6 ± 1,1	2,7 ± 0,1 10,2 ± 0,2 10,2 ± 0,2	4,5 11,7 11,9	< 5,8 < 12,7 < 13,1
	otroci od 7 do 12 let	IAEA podatki	LJ KB BB	0,07 ± 0,05	0,7 ± 0,3 0,7 ± 0,3 0,7 ± 0,3	2,3 ± 0,1 8,9 ± 0,2 8,9 ± 0,2	3,1 9,6 9,6	< 3,4 < 10,0 < 10,0
	statistični podatki	LJ KB BB	C1 C2 C3	0,09 ± 0,06	0,5 ± 0,2 0,5 ± 0,2 0,5 ± 0,2	2,1 ± 0,1 7,8 ± 0,2 7,8 ± 0,2	2,5 8,2 8,2	< 2,8 < 8,5 < 8,5
odrasli	urbano okolje	LJ KB BB	D1 D2 D3	0,09 ± 0,06	0,5 ± 0,2 0,5 ± 0,2 0,4 ± 0,2	1,8 ± 0,1 6,7 ± 0,2 6,7 ± 0,2	2,2 7,1 7,1	< 2,4 < 7,4 < 7,4
	ruralno okolje	LJ KB BB	E1 E2 E3	0,09 ± 0,06	0,5 ± 0,2 0,5 ± 0,2 0,5 ± 0,2	3,0 ± 0,1 11,2 ± 0,3 11,2 ± 0,3	3,5 11,7 11,7	< 3,7 < 12,1 < 12,1

## 7 — Zaključki

### 7.1 Ugotovitve

V splošnem lahko rečemo, da je obremenitev prebivalca Slovenije zaradi prisotnosti ume-tnih radionuklidov v okolju kot posledica černobilske kontaminacije in bombnih poskusov nekaj  $\mu\text{Sv}$  letno. Določene letne variacije v oceni doze so posledica posameznih vzorcev z večjimi ali manjšimi koncentracijami radionuklidov ter seveda negotovosti meritev. Ocenjene doze zaradi ume-tnih radionuklidov v letu 2022 so primerljive s preteklimi leti. Zaradi specifičnosti vzorčenja zemlje in vpliva mikrolokacije je koncentracija aktivnosti Cs-137 bila nižja kot v preteklih letih, posledično so nižje ocenjene doze zaradi zunanjega obsevanja, ki sicer prispeva glavnino doze. Ocenjena doza po vseh prenosnih poteh, znaša v letu 2022 za dojenčke **4,5  $\mu\text{Sv}$  oziroma  $< 5,8 \mu\text{Sv}$** , za otroke od 7 do 12 let **3,1  $\mu\text{Sv}$  oziroma  $< 3,4 \mu\text{Sv}$**  in za odrasle **2,1  $\mu\text{Sv}$  oziroma  $< 2,4 \mu\text{Sv}$** . Ta vrednost predstavlja približno 1 % mejne letne doze za dolgoročno izpostavljenost posameznika iz prebivalstva ionizirajočemu sevanju.

#### Zgodovinski pregled

V Sloveniji glavnino doze zaradi dolgoživih ume-tnih radionuklidov prispeva radioaktivni used po nesreči v jedrski elektrarni Černobil v letu 1986. Vpliv izpustov zaradi jedrske nesreče v Fukušimi 11. marca 2011 je bil v Sloveniji zanemarljiv. Nekaj mesecev po nesreči so bile merljive le vsebnosti izotopov I-131, Cs-134 in Cs-137 v zraku ter padavinah, in sicer v marcu, aprilu ter delno maju 2011. V letu 2017 je delno povišan prispevek k dozi zaradi prehoda radioaktivnega oblaka nad Evropo, ki je posledica izpusta zaradi nesreče v predelovalnem obratu izrabljenega jedrskega goriva nekje južno od Urala v Rusiji [97]. Ru-106 je bil merljiv v septembru, oktobru in delno v novembru 2017. Prispevek Ru-106 v letu 2017 k dozi zaradi ingestije in inhalacije je znašal okrog 3%, k skupni dozi (vključno z zunanjim obsevanjem) pa le okrog 1% [94]. V letu 2020 je v prvi polovici aprila dva tedna gorelo več gozdnih požarov v izključitveni coni okrog jedrske elektrarne v Černobilu. Upoštevajoč meritve v mesecih pred in po požaru ter meritve v prvi in drugi polovici aprila lahko zaključimo, da je bila v prvi polovici aprila zaznano rahlo višja koncentracija Cs-137 v zraku, vendar to na letnem nivoju zanemarljivo prispeva k dozi.

### Primerjava z mejnimi vrednostmi

Na podlagi meritev radioaktivnosti življenjskega okolja Republike Slovenije v letu 2022 ugotavljamo, da so bile koncentracije aktivnosti umetnih radionuklidov v hrani in zraku okrog 1% od mejnih vrednosti, predpisanih v uredbi UV2 [4].

Letne efektivne doze zaradi ingestije umetnih radionuklidov in letne doze zaradi izpostavljenosti zunanjem sevanju so v okviru povprečnih svetovnih vrednosti, navedenih v poročilih UNSCEAR 2000 [72] in UNSCEAR 2006 [98].

## 7.2 Priporočila

V preteklih letih je bilo upoštevanih več naših predlogov:

- vzorčenje zemlje v plasteh do globin 50 cm,
- meritve vzorcev lesnih kuri,
- študija koncentracij K-40 in ostalih sevalcev gama na poljedeljsko intenzivnih območjih blizu slovenskih rek.

Na podlagi analiz meritev, preteklih izkušenj ali subjektivne strokovne ocene v nadaljevanju spodaj predlagamo nekaj priporočil za dodatno izboljšanje sevalne varnosti ali pridobivanje novih podatkov za določevanje izpostavljenosti prebivalcev Slovenije.

### Odkrivanje in pripravljenost na izredne dogodke

V letu 2017 je nad Evropo v septembru in oktobru prešel radioaktivni oblak, kjer je bil izmerjen izotop Ru-106 (v nekaterih državah tudi Ru-103). Po ocenah tujih inštitutov je bil izpust konec septembra, nekje v Rusiji [69, 70, 97]. Nad Evropo je bila glavnina oblaka ravno zadnje dneve septembra, zato so bili izpusti odkriti v začetku oktobra. V primeru zamika izpusta za nekaj dni bi v Sloveniji zaradi mesečne periodike vzorčenja in meritev zraka, radioaktivni oblak odkrili šele v začetku novembra. V aprilu 2020 je zaradi gozdnega požara v izključitveni coni okrog jedrske elektrarne v Černobilu bila z meritvami IJS v Ljubljani v prvi polovici aprila zaznano višja koncentracija Cs-137 v zraku kot v drugi polovici. Z meritvami ZVD v Murski Soboti, je bila za višja koncentracija zaznana šele po koncu meseca. V februarju 2022 se je začela vojna zaradi ruske agresije na Ukrajino, ki je kršila 56. člen Dodatnega protokola I Ženevske konvencije [99], s katerim je prepovedan kakršenkoli napad na jedrske objekte. Da zaključka pisanja tega poročila so potekali boji, napad ali zavzetje območja na lokaciji oziroma v bližini jedrskih elektrarn Černobil in Zaporozje, vendar zaradi ugodnega spleteta okoliščin ni prišlo do izpustov v okolje.

**Priporočilo 7.1** Zaradi zgoraj navedenih različnih razlogov, predlagamo, da se preide z mesečne frekvence vzorčenja zraka na vsaj dvotedensko ali pogostejo, saj bi le v takem primeru dovolj hitro odkrili morebitno kontaminacijo v zraku in bi lahko v primeru večjih izpustov državni organi izdali pravočasne zaščitne ukrepe oziroma obvestili javnost. Trenutno se Republika Slovenija zanaša na obveščanje drugih držav.

■

V primeru izrednih dogodkov ali nesreč z večjim vplivom na okolje bodo izrednega pomena meritve na terenu. Ker se takšne meritve sicer redko izvajajo (z izjemo v okolici NEK), jih je smiseln vključit v redni monitoring.

**Priporočilo 7.2** Poleg stacionarnih meritev okoljskega doznega ekvivalenta s TL dozimetri predlagamo, da se začnejo izvajati tudi terenske sprotne meritve s sledenjem hitrostim doz po vnaprej izbrani in standardizirani poti. Lokacije oziroma poti bi se

lahko vsako leto menjavale po različnih področjih Slovenije, lahko se tudi določijo kot del nacionalnega načrta za ukrepanje v primeru jedrske ali sevalne nesreče, kjer po teh poteh podrobno analiziramo stanje sevanja v okolju po regijah.

**Priporočilo 7.3** Za pridobivanje novih podatkov o radioaktivnosti v okolju predlagamo vključitev rednih meritev zemlje z visoko ločljivo spektrometrijo gama in-situ (standardna meritev 1 m od tal). Lokacije bi se lahko vsako leto menjavale po različnih področjih Slovenije.

**Priporočilo 7.4** Poleg zgoraj omenjene standardne gama spektrometrije in-situ bi lahko začeli z določevanjem globinskega profila Cs-137 v zemlji tudi po relativno novi metodi sledenja globinskim koncentracijam v vrtinah [100] z uporabo bolj občutljivih detektorjev (NaI ali LaBr) s sicer slabšo ločljivostjo. Lokacije bi se prav tako lahko vsako leto menjavale po različnih področjih Slovenije.

### Zniževanje spodnjih mej detekcije

Meje detekcije pri meritvah so lahko odvisne od načinov vzorčenja, merilne opreme, časov merjenja in prispevkov ozadja. Ker se koncentracije aktivnosti umetnih radionuklidov znižujejo, je smiselno, da temu trendu sledijo tudi ukrepi na področju meritev.

**Priporočilo 7.5** Izvajalcem meritev radioaktivnosti še naprej predlagamo, da vzorce zraka poletnih mesecev vzorčijo in merijo pod takšnimi pogojmi, da so detekcijske meje Cs-137 precej znižane in na ta način dobljene vrednosti odražajo realnejše stanje spremeljanja sezonskih variacij in dolgoročnih trendov. V prvi vrsti lahko pomeni daljši čas meritve, nato pa postopoma na primer optimalna izbira pri prihodnji zamenjavi iztrošene merske ali vzorčevalne opreme – občutljivost detektorja, znižanje ozadja, kapaciteta črpalke za čim večji vzorčeni volumen ipd.

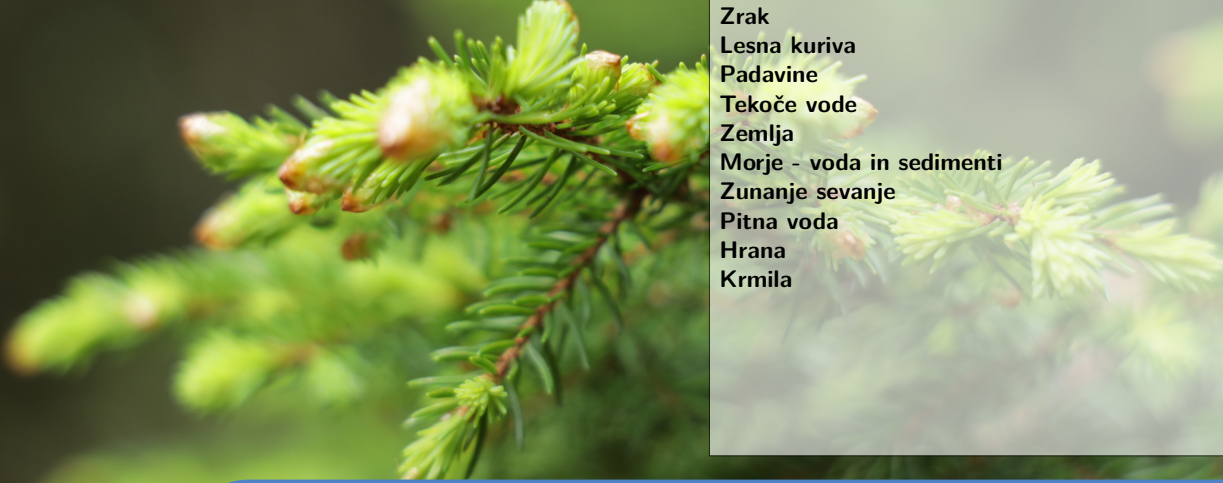
ZVD je skladno s priporočilom v letu 2021 na lokaciji Predmeja zamenjalo staro zračno črpalko z novejšo s skoraj 6-krat večjo zmogljivostjo.

### Ugotavljanje korelacij doze zunanjega sevanja in koncentracij radona

V poglavju 4.2.2 smo zelo na grobo ugotovili morebitno korelacijo med letno dozo zunanjega sevanja in radonskim potencialom oziroma koncentracijami radona. Obstojče meritve radona so sicer dostopne le za notranje koncentracije v bivalnih ali delovnih prostorih, le-te pa so močno odvisne od lastnosti zgradb, etaže, protiradonskih ukrepov ipd. Takšno hipotezo morebitnih korelacij bi lahko preverili s hkratnimi meritvami doz in zunanjih koncentracij radona po celotni površini Slovenije.

**Priporočilo 7.6** Predlagamo morebitni projekt s študijo morebitnih korelacij povprečnega letnega okoljskega ekvivalenta doze H\*(10) zaradi zunanjega sevanja in zunanjih koncentracij radona. Tako bi lahko na dokaj gosti mreži nekaj 100 lokacij merili dozo zunanjega sevanja s pasivnimi TL ali OSL dozimetri, koncentracijo radona pa s pasivnimi detektorji jedrskej sledi.





#### Pojasnila k tabelam

Zapisi meritev ZVD

Zapisi meritev IJS

#### Zrak

Lesna kuriva

Padavine

Tekoče vode

Zemlja

Morje - voda in sedimenti

Zunanje sevanje

Pitna voda

Hrana

Krmila

## 8 — Rezultati meritev

### 8.1 Pojasnila k tabelam

#### 8.1.1 Zapisi meritev ZVD

Za vse rezultate koncentracij aktivnosti ali specifičnih aktivnosti v izmerjenih vzorcih velja:

- Koncentracije aktivnosti ali specifične aktivnosti so preračunane na datum vzorčenja, v kolikor ni posebej navedeno.
- Število podano za znakom  $\pm$  je skupna standardna negotovost in se nanaša na interval zaupanja z 68% zanesljivostjo (v kolikor ni drugače navedeno).
- Število podano za znakom  $<$  je spodnja meja aktivnosti, ki jo lahko določimo za dani izotop in se nanaša na interval zaupanja z 68% zanesljivosti.
- Aktivnosti navedene v poročilu v poglavju 8 se nanašajo le na izmerjeni vzorec in ne na celotni vzorčeni material.
- Ekshalacija radona iz posode z vzorcem ni upoštevana.
- Ostale opombe so razložene ob vsaki tabeli.
- Izračun polletnih ali letnih povprečij poteka po internem navodilu ND-LMSAR-06 oziroma na naslednji način:

Neizmerjena vrednost v danem obdobju k povprečju prispeva vrednost 0

Poročana spodnja meja detekcije k povprečju prispeva polovico njene vrednosti, če je vsaj ena meritev v letu bila poročana nad mejo detekcije

Poročana spodnja meja detekcije k povprečju prispeva vrednost 0, če v letu ni bila poročana nobena vrednost nad mejo detekcije

#### 8.1.2 Zapisi meritev IJS

Izmerki v tabelah so zapisani po naslednjih pravilih:

- Specifične aktivnosti in koncentracije aktivnosti sevalcev gama pri enkratno odvezitih vzorcih so preračunane na datum vzorčenja.
- Rezultati meritev z visokoločljivostno spektrometrijo gama so izraženi kot neposredni merski rezultati,  $y \pm u(y)$ , pri čemer je  $u(y)$  združena standardna negotovost specifične aktivnosti in se nanaša na interval zaupanja z 68-odstotno zanesljivostjo (faktor pokritja  $k = 1$ ). Združena standardna negotovost pri rutinskih meritvah na visokoločljivosti spektrometriji gama vključuje statistično negotovost števila

sunkov v vrhovih v spektru, negotovost metode določanja števila sunkov v vrhovih, ozadja, umeritve spektrometra, jedrskega podatkov in količine vzorca. Negotovosti, ki izvirajo iz vzorčevanja, razen količine vzorca, niso upoštevane.

- Če je pri detektirani prisotnosti radionuklida negotovost aktivnosti večja od 80 % vrednosti izmerka, poročamo neposredni merski rezultat, ki ga označimo z znakom ‡, pod tabelo pa dopišemo, da gre za merski rezultat pod mejo kvantifikacije; v prejšnjih poročilih se je vrednost izmerka prištela k razširjeni negotovosti ( $k = 2$ ), rezultat pa smo označili kot manjši (<) od dobljene številčne vrednosti.
- Specifične aktivnosti in koncentracije aktivnosti sevalcev gama pri kontinuirano zbiranih vzorcih so izračunane pri predpostavki, da sta bili hitrost zbiranja vzorca in kontaminacija konstantni v času vzorčevanja.
- Poročane negotovosti so izračunane v skladu z vodili GUM [101].
- Spodnjo mejo aktivnosti se zaradi visoke detekcijske meje poroča le za Pb-210, ki je zaradi visokega doznega faktorja pomemben pri oceni doz. To se poroča kot mersko negotovost. Številska vrednost spodnje meje aktivnosti pri danih pogojih meritve se nanaša na interval zaupanja s 95 % zanesljivostjo.
- Pri ostalih nedetektiranih radionuklidih zaradi preglednosti njihove spodnje meje aktivnosti v tabelle ne pišemo. Pri izračunih mesečnih povprečij se prazna polja upoštevajo kot ničle.
- V tabele ne pišemo spodnjih detekcijskih mej, ki so ocenjene iz velikosti ozadja, verjetnosti za detekcijo in količine vzorca.
- Aktivnost Ra-226 je določena iz aktivnosti kratkoživih radonovih potomcev (Pb-214 in Bi-214). Faktor, ki opisuje ravnovesje med radijem in radonovimi potomci smo izračunali iz ekshalacije in časovnega intervala med pripravo in meritvijo vzorca.
- Aktivnost urana je določena pri predpostavki, da je U-238 v ravnovesju s potomci Th-234 in Pa-234M, ter da sta koncentraciji izotopov U-235 in U-238 v naravnem razmerju.
- Označba Sr-90/Sr-89 pomeni, da ni bila narejena analiza na Y-90. Ločitev za Y-90 se izvede samo v primerih, ko iz ponovitev meritev Sr-90/Sr-89 ugotovimo, da je izmerjena hitrost štetja res manjša od predhodno določene in je ta razlika hitrosti štetja posledica radioaktivnega razpada Sr-89.
- Radiokemična analiza stroncija Sr-89/Sr-90 je bila narejena na Odseku O-2, na Odsek F-2 so bile specifične aktivnosti (koncentracije aktivnosti v  $\text{Bq}/\text{m}^3$  za vodne in aerosolne vzorce) poročane v enotah  $\text{Bq}/\text{kg}$  suhe snovi. V tem poročilu je podan izračun specifične aktivnosti na dejanski vzorec ( $\text{Bq}/\text{kg}$  sveže snovi ali  $\text{Bq}/\text{m}^3$  za vodne in aerosolne vzorce), ki je bil izведен na Odseku F-2.

## 8.2 Zrak

Nadaljevanje na naslednji strani 134.

**Tabela 8.1 | Koncentracije aktivnosti izotopov v vzorcih zraka - Ljubljana IJS**

**Rezultati meritev**



Vzorec, mesto	Ljubljana IJS										Mesečno povprečje (za 1. polletje) (*)								
	Datum vzor.	1. 2. 2022	-	1. 3. 2022	1. 3. 2022	-	4. 4. 2022	4. 4. 2022	-	3. 5. 2022	3. 5. 2022	-	1. 6. 2022	1. 6. 2022	-	4. 7. 2022			
Kol. vzorca (m <sup>3</sup> )	1.12657,4			1.26396,3			1.5320,7,4			1.32687,4			1.32078,3			1.49263,7			
IZOTOP																			
Na-22																			
U-238																			
Ra-226																			
Pb-210	6,7E-04	±	4E-04		4,7E-06	±	3E-06	6,2E-07	±	2E-07	6,4E-07	±	1E-07	5,2E-06	±	4E-06	7,9E-07	±	2E-07
Ra-228																			
Th-230																			
Th-228																			
K-40																			
Be-7																			
I-131																			
Cs-134																			
Cs-137																			
Co-58																			
Co-60																			
Cr-51																			
Mn-54																			
Zn-65																			
Nb-95																			
Ru-106																			
Sr-125																			
Vzorec, mesto	Ljubljana IJS										KONCENTRACIJA AKTIVNOSTI (Bq/m <sup>3</sup> )				Mesečno povprečje (za celo leto) (*)				
Datum vzor.	4. 7. 2022	-	1. 8. 2022	1. 8. 2022	-	1. 9. 2022	1. 9. 2022	-	3. 10. 2022	-	3. 10. 2022	3.12831,8		1.12811,8	1.12555,1	RP22AE1C1			
Kol. vzorca (m <sup>3</sup> )	1.27407,6			1.40146,6			1.42652,6					RP22AE1A1		RP22AE1B1					
Oznaka vzorca	RP22AE171			RP22AE181			RP22AE191												
IZOTOP																			
Na-22	1,1E-06	±	2E-07		6,4E-07	±	2E-07	2,8E-07	±	2E-07	4,5E-07	±	3E-07	8,6E-06	±	5E-06	3,7E-07	±	5E-08
U-238	2,4E-06	±	4E-06	*													1,9E-06	±	8E-07
Ra-226																			
Pb-210	8,0E-04	±	3E-05		3,8E-06	±	2E-05	8,5E-04	±	6E-05	6,6E-04	±	4E-05	1,9E-03	±	8E-05	9,7E-04	±	5E-05
Ra-228																			
Th-230																			
Th-228																			
K-40	1,9E-06	±	5E-07		1,3E-06	±	4E-07	9,5E-07	±	5E-07	1,5E-06	±	5E-07	2,8E-06	±	6E-07	1,9E-06	±	5E-07
Be-7	6,6E-03	±	2E-04		5,7E-03	±	2E-04	2,8E-03	±	1E-04	4,2E-03	±	2E-04	1,9E-03	±	8E-05	2,3E-03	±	9E-05
I-131																			
Cs-134																			
Cs-137	1,7E-07	±	2E-07	*	2,5E-07	±	9E-08				9,0E-07	±	1E-07	1,2E-06	±	2E-07	1,7E-06	±	2E-07
Co-58																			
Co-60																			
Cr-51																			
Mn-54																			
Zn-65																			
Nb-95																			
Ru-106																			
Sr-125																			

**Ljubljana IJS**

KONCENTRACIJA AKTIVNOSTI (Bq/m<sup>3</sup>)  
(iz celo leta) (\*)

**Tabela 8.2 | Koncentracije aktivnosti izotopov v vzorcih zraka v obdobju jedrske nesreče v Fukušimi marca 2011 - Ljubljana IJS**

Vzorč. mesto	Ljubljana IJS					
Datum vzor.	1. 2. 2011 - 1. 3. 2011	1. 3. 2011 - 4. 4. 2011	4. 4. 2011 - 3. 5. 2011	3. 5. 2011 - 1. 6. 2011	1. 6. 2011 - 4. 7. 2011	
Kol. vzorca (m <sup>3</sup> )	9640,7	181323,2	154131,2	154667,4	175404,2	
Oznaka vzorca	RP11AE121	RP11AE13P	RP11AE141	RP11AE151	RP11AE161	
IZOTOP	SPECIFIČNA AKTIVNOST (Bq/m <sup>3</sup> )					
Na-22			7,8E-07 ± 1E-07	7,6E-07 ± 2E-07	9,0E-07 ± 2E-07	
U-238			< 4E-06			
Ra-226						
Pb-210	1,3E-03 ± 1E-04	7,1E-04 ± 4E-05	5,7E-04 ± 3E-05	6,2E-04 ± 4E-05	5,2E-04 ± 3E-05	
Ra-228				< 2E-06		
Th-228		5,7E-05 ± 4E-05			4,6E-07 ± 3E-07	
Th-230						
K-40						
Be-7	4,3E-03 ± 2E-04	4,5E-03 ± 3E-04	5,6E-03 ± 3E-04	5,9E-03 ± 3E-04	5,7E-03 ± 3E-04	
I-131		1,4E-04 ± 7E-06	3,5E-05 ± 2E-06			
Cs-134		5,5E-06 ± 3E-07	1,4E-05 ± 7E-07	8,2E-07 ± 1E-07		
Cs-137	< 2E-06	7,2E-06 ± 4E-07	1,6E-05 ± 8E-07	1,8E-06 ± 2E-07	3,5E-07 ± 9E-08	
Co-58						
Co-60						
Cr-51						
Mn-54						
Zn-65						
Nb-95						
Ru-106						
Sb-125						

Vzorč. mesto	Ljubljana IJS			
Datum vzor.	1. 3. 2011 - 16. 3. 2011	16. 3. 2011 - 4. 4. 2011	1. 3. 2011 - 4. 4. 2011	
Kol. vzorca (m <sup>3</sup> )	79776,5	101546,7	181323,2	
Oznaka vzorca	RP11AE131	RP11AE132	RP11AE13P	
IZOTOP	SPECIFIČNA AKTIVNOST (Bq/m <sup>3</sup> )			
Na-22				
U-238				
Ra-226				
Pb-210	8,7E-04 ± 5E-05	5,8E-04 ± 3E-05	7,1E-04 ± 3,7E-05	
Ra-228				
Th-228			1,0E-04 ± 8E-05	5,7E-05 ± 4,3E-05
Th-230				
K-40				
Be-7	4,1E-03 ± 3E-04	4,8E-03 ± 2E-04	4,5E-03 ± 2,5E-04	
I-131	1,2E-06 ± 5E-07	2,5E-04 ± 1E-05	1,4E-04 ± 7,2E-06	
Cs-134		9,8E-06 ± 5E-07	5,5E-06 ± 2,7E-07	
Cs-137	1,7E-06 ± 1E-07	1,2E-05 ± 7E-07	7,2E-06 ± 4,3E-07	
Co-58				
Co-60				
Cr-51				
Mn-54				
Zn-65				
Nb-95				
Ru-106				
Sb-125				

**Tabela 8.3 | Koncentracije aktivnosti izotopov v vzorcih zraka v obdobju požara v Černobilu aprila 2020 - Ljubljana IJS**

Vzorč. mesto	1. 4. 2020 - 16. 4. 2020	16. 4. 2020 - 4. 5. 2020	Mesečno povprečje april 2020
IZOTOP			
Na-22	5,7E-07 ± 3E-07	1,4E-06 ± 7E-07	9,7E-07 ± 4E-07
U-238	1,1E-06 ± 6E-06	#	5,6E-07 ± 3E-06
Ra-226		3,4E-07 ± 4E-05	1,7E-07 ± 2E-05
Pb-210	7,3E-04 ± 4E-05	6,1E-04 ± 4E-05	6,7E-04 ± 3E-05
Ra-228			
Th-230			
Th-228	6,5E-06 ± 1E-06	2,8E-06 ± 9E-07	4,7E-06 ± 7E-07
K-40			
Be-7	7,3E-03 ± 5E-04	6,3E-03 ± 3E-04	6,8E-03 ± 3E-04
I-131			
Cs-134			
Cs-137	2,7E-06 ± 3E-07	1,6E-06 ± 3E-07	2,1E-06 ± 2E-07
Co-58			
Co-60			
Cr-51			
Mn-54			
Zn-65			
Nb-95			
Ru-106			
Sb-125			

## 8.2 Zrak

**Tabela 8.4 | Koncentracije aktivnosti izotopov v vzorcih zraka - Murska Sobota ZDV**

Oznaka vzorca	ZRMS0122	ZRMS0222	ZRMS0322	ZRMS0422	ZRMS0522	ZRMS0722	ZRMS0922	ZRMS1122	ZRMS1322
Vzorec	Zračni filter	Zračni filter	Zračni filter	Zračni filter	Zračni filter	Zračni filter	Zračni filter	Zračni filter	#N/A
Lokacija	Murska Sobota	Murska Sobota	Murska Sobota	Murska Sobota	Murska Sobota	Murska Sobota	Murska Sobota	Murska Sobota	#N/A
Dat. vzorčenja†	1.1.22-31.1.22	1.2.22-28.2.22	1.3.22-31.3.22	1.4.22-30.4.22	1.5.22-31.5.22	1.6.22-30.6.22	1.7.22-31.7.22	1.8.22-31.8.22	1.11.22-30.11.22
Dat. meritve	10.2.22	18.3.22	14.4.22	18.5.22	13.6.22	7.7.22	5.8.22	13.9.22	8.12.22
Količ. vzorca†	38043 m <sup>3</sup>	34159 m <sup>3</sup>	37625 m <sup>3</sup>	36779 m <sup>3</sup>	37963 m <sup>3</sup>	29401 m <sup>3</sup>	31327 m <sup>3</sup>	33776 m <sup>3</sup>	36568 m <sup>3</sup>
Izotop	KONCENTRACIJA AKTIVNOSTI [Bq/m <sup>3</sup> ]								
U-238	2.3E-6 ± 3E-7	2.5E-6 ± 3E-7	4.0E-6 ± 3E-7	1.8E-6 ± 4E-7	1.9E-6 ± 4E-7	1.8E-6 ± 4E-7	2.4E-6 ± 4E-7	<7.6E-6	<1.5E-5
Ra-226	4.0E-4 ± 2E-5	2.6E-4 ± 1E-5	4.6E-4 ± 2E-5	2.9E-4 ± 1E-5	3.2E-4 ± 1E-5	5.2E-4 ± 2E-5	4.8E-4 ± 2E-5	9.0E-4 ± 4E-5	2.1E-6 ± 8E-7
Pb-210	2.0E-6 ± 5E-7	1.5E-6 ± 6E-7	1.9E-6 ± 5E-7	2.9E-6 ± 7E-7	2.7E-6 ± 5E-7	1.1E-6 ± 8E-7	3.8E-4 ± 2E-5	7.8E-4 ± 3E-5	4.9E-4 ± 2E-4
Ra-228	Th-228	2.7E-4 ± 8E-6	2.6E-4 ± 8E-6	2.3E-4 ± 9E-6	2.6E-4 ± 9E-6	2.3E-4 ± 7E-6	2.1E-6 ± 7E-7	2.4E-6 ± 4E-7	1.4E-6 ± 1E-6
K-40	2.7E-3 ± 7E-5	2.8E-3 ± 8E-5	5.1E-3 ± 1E-4	3.8E-3 ± 1E-4	5.1E-3 ± 1E-4	4.3E-3 ± 1E-4	3.7E-4 ± 1E-5	2.3E-4 ± 9E-6	1.7E-6 ± 2E-6
B-7	Cs-134	1.8E-6 ± 2E-7	8.5E-7 ± 2E-7	1.1E-6 ± 1E-7	<1.9E-6	<1.3E-6	<8.7E-7	4.7E-3 ± 1E-4	2.3E-4 ± 7E-6
Cs-137	I-131	H-3	Sr-90	**	**	**	**	2.7E-3 ± 7E-5	3.0E-4 ± 1E-5
									2.0E-3 ± 5E-5
									3.6E-3 ± 2E-3

\* Izhanjanje radona iz posodice pri izračunu ni upoštevano

\*\* Meritev izotopa ni v programu meritve

† podatke nam sporoči podprogodbeni vzčevalec. Na podlagi podatka izračunamo koncentracijo aktivnosti

**Tabela 8.5 | Koncentracije aktivnosti izotopov v vzorcih zraka - Predmeja ZDV**

Oznaka vzorca	ZRPMM0122	ZRPMM0222	ZRPMM0322	ZRPMM0422	ZRPMM0522	ZRPMM0722	ZRPMM0922	ZRPMM1122	ZRPMM1322
Vzorec	Zračni filter	Zračni filter	Zračni filter	Zračni filter	Zračni filter	Zračni filter	Zračni filter	Zračni filter	#N/A
Lokacija	Predmeja	Predmeja	Predmeja	Predmeja	Predmeja	Predmeja	Predmeja	Predmeja	#N/A
Dat. vzorčenja†	1.1.22-31.1.22	1.2.22-28.2.22	1.3.22-31.3.22	1.4.22-30.4.22	1.5.22-31.5.22	1.6.22-30.6.22	1.7.22-31.7.22	1.8.22-31.8.22	1.11.22-30.11.22
Dat. meritve	4.2.22	18.3.22	14.4.22	18.5.22	14.6.22	8.7.22	5.8.22	13.9.22	8.11.22
Količ. vzorca†	38983 m <sup>3</sup>	26599 m <sup>3</sup>	37167 m <sup>3</sup>	3559 m <sup>3</sup>	36627 m <sup>3</sup>	34235 m <sup>3</sup>	34363 m <sup>3</sup>	35320 m <sup>3</sup>	34566 m <sup>3</sup>
Izotop	KONCENTRACIJA AKTIVNOSTI [Bq/m <sup>3</sup> ]								
U-238	9.5E-7 ± 7E-7	1.7E-6 ± 1E-6	2.6E-6 ± 2E-6	1.7E-6 ± 2E-7	1.8E-6 ± 5E-7	1.7E-6 ± 3E-7	1.8E-6 ± 4E-7	3.9E-6 ± 3E-7	<1.4E-5
Ra-226	*	1.1E-6 ± 1E-7	1.8E-6 ± 2E-7	3.3E-4 ± 1E-5	2.2E-4 ± 1E-5	4.0E-4 ± 2E-5	3.5E-4 ± 2E-5	3.8E-4 ± 2E-5	2.4E-6 ± 5E-7
Pb-210	2.7E-4 ± 1E-5	1.7E-4 ± 7E-6							3.4E-4 ± 1E-5
Ra-228	Th-228	1.5E-6 ± 2E-7	1.8E-6 ± 4E-7	4.8E-7 ± 3E-7	1.1E-6 ± 5E-7	1.6E-6 ± 6E-7	1.2E-6 ± 5E-7	1.9E-6 ± 9E-7	4.6E-7 ± 9E-7
K-40	2.2E-4 ± 5E-6	3.1E-4 ± 8E-6	2.3E-4 ± 7E-6	2.1E-4 ± 8E-6	2.7E-4 ± 7E-6	2.6E-4 ± 8E-6	2.5E-4 ± 8E-6	2.3E-4 ± 1E-5	8.6E-7 ± 8E-7
B-7	Cs-134	2.3E-3 ± 6E-5	2.5E-3 ± 7E-5	4.2E-3 ± 1E-4	3.1E-3 ± 8E-5	4.4E-3 ± 1E-4	4.5E-3 ± 1E-4	2.1E-3 ± 6E-5	1.6E-3 ± 4E-5
Cs-137	I-131	H-3	Sr-90	**	**	**	**	6.1E-7 ± 2E-7	1.0E-6 ± 2E-7
									5.8E-7 ± 3E-7

\* Izhanjanje radona iz posodice pri izračunu ni upoštevano

\*\* Meritev izotopa ni v programu meritve

† podatke nam sporoči podprogodbeni vzčevalec. Na podlagi podatka izračunamo koncentracijo aktivnosti

## 8.3 Lesna kuriva

**Tabela 8.6 | Koncentracije aktivnosti izotopov v vzorcih lesa in lesnih kuriv ZVD ŠIJS**

Oznaka vzorca	LES010122	LES020122	LES030222	LES040222	
Vzorec	Peleti (mešano)	Peleti (iglavci)	Peleti (iglavci)	Peleti (iglavci)	
Lokacija	Todraž (RUŽV)	Avstria	Bled	Cerknica	letno
Dat. vzorčenja	28.1.22	28.1.22	26.2.22	26.2.22	povprečje
Dat. meritve	3.2.22	9.2.22	4.3.22	4.3.22	vseh
Količina vzorca	2000 g	2000 g	2000 g	2000 g	vzorcev
Izotop	SPECIFIČNA AKTIVNOST (Bq/kg)		preračunana na datum vzorčenja		
U-238			1,0E-1 ± 4E-2	2,6E-2 ± 5E-2	
Ra-226 *	1,2E+0 ± 4E-2	4,0E-1 ± 2E-2	9,1E-1 ± 3E-2	5,5E-1 ± 2E-2	7,7E-1 ± 4E-1
Pb-210	9,1E-1 ± 2E-1	5,1E-1 ± 1E-1		1,7E+0 ± 1E-1	7,8E-1 ± 7E-1
Ra-228	1,4E-1 ± 4E-2	1,2E-1 ± 3E-2		1,7E-1 ± 1E-2	1,1E-1 ± 8E-2
Th-228	4,5E-1 ± 3E-2	1,4E-1 ± 3E-2		1,9E-1 ± 2E-2	2,0E-1 ± 2E-1
K-40	1,6E+1 ± 1E+0	1,3E+1 ± 8E-1		2,2E+1 ± 1E+0	1,3E+1 ± 9E+0
Be-7			2,5E-1 ± 6E-2	3,7E-1 ± 3E-2	1,5E-1 ± 2E-1
Cs-134					
Cs-137	1,6E+0 ± 6E-2	1,3E+0 ± 4E-2	9,7E-1 ± 3E-2	1,9E+0 ± 6E-2	1,4E+0 ± 4E-1
I-131					
Sr-90 **					
H-3 **					

\* Izhajanje radona iz posodice pri izračunu ni upoštevano

\*\* Meritev izotopa ni v programu meritvev

Vzorč. mesto	Ljubljana - Črnuče	Homec - Radomlje	Homec - Radomlje	Gornji Grad
Vrsta vzorca	Les - Bukev (BIH)	Les - bukev (HR)	Les - bukev (SI)	Les - Breza (SLO)
Datum vzor.	14. 1. 2022	14. 1. 2022	14. 1. 2022	12. 1. 2022
Kol. vzorca (kg)	0,091	0,091	0,09	0,08
Odstotek suhe snovi	100,00			100,00
Oznaka vzorca	rp22les1231ba11	RP22LES1235HR11	rp22les1235si11	rp22les3342si11
IZOTOP	SPECIFIČNA AKTIVNOST SUHE SNOVI (Bq/kg)			
U-238	8,7E+00 ± 4E+00	3,1E+00 ± 4E+00 ‡	6,0E+00 ± 6E+00 ‡	4,4E-01 ± 1E+00 ‡
Ra-226	2,5E+00 ± 2E+00	2,0E+00 ± 2E+00	1,5E+00 ± 1E+00	1,1E+00 ± 9E-01
Pb-210	8,9E-01 †	1,9E+00 ± 5E+00 ‡	5,2E-01 †	1,0E+01 ± 1E+00
Ra-228	2,4E-01 ± 1E+00 ‡	4,2E-01 ± 7E-01 ‡	5,7E-01 ± 5E-01 ‡	
Th-228	7,6E-01 ± 3E-01	4,2E-01 ± 2E-01	6,6E-01 ± 2E-01	9,7E-01 ± 1E-01
Th-230				
K-40	2,6E+01 ± 7E+00	5,1E+01 ± 5E+00	5,0E+01 ± 3E+00	1,9E+01 ± 2E+00
Be-7				
I-131				
Cs-134				
Cs-137	2,91E-01 ± 1E+00 ‡	1,03E+00 ± 2E-01	4,08E-01 ± 9E-02	6,60E-01 ± 3E-01
Co-58				
Co-60				
Cr-51				
Mn-54				
Zn-65				
Nb-95				
Ru-106				
Sb-125				

## 8.4 Padavine

**Tabela 8.7 | Specifične aktivnosti izotopov v vzorcih padavin - Novo mesto ZVD**

Oznaka vzorca	FANMK122	FANMK222	FANMK322	FANMK422	
Vzorec	Padavine	Padavine	Padavine	Padavine	letna
Lokacija	Novo mesto	Novo mesto	Novo mesto	Novo mesto	količina
Dat. vzorčenja	1.3.22-31.3.22	1.4.22-30.6.22	1.7.22-30.9.22	1.10.22-31.12.22	padavin
Količ. padavin#	<b>86,0 mm</b>	<b>366,0 mm</b>	<b>381,7 mm</b>	<b>308,1 mm</b>	<b>1141,8 mm</b>
Dat. meritve	7.6.22	2.9.22	5.12.22	23.1.23	letni used
Količina vzorca	24,30 L	78,33 L	74,45 L	88,60 L	radioaktivnosti
Izotop	SPECIFIČNA AKTIVNOST (Bq/m <sup>2</sup> )			preračunana na sredino intervala vzorčenja	
U-238					
Ra-226 *	< 1,6E-1	4,5E-1 ± 5E-2	4,5E-1 ± 3E-2	7,3E-2 ± 3E-2	1,1E+0 ± 8E-2
Pb-210	4,3E+0 ± 4E-1	2,8E+1 ± 1E+0	3,8E+1 ± 3E+0	1,1E+1 ± 9E-1	8,2E+1 ± 3E+0
Ra-228		1,6E-1 ± 1E-1		1,2E-1 ± 3E-2	2,7E-1 ± 1E-1
Th-228					
K-40	5,7E-1 ± 3E-1	3,3E+0 ± 7E-1	2,6E+0 ± 4E-1	3,2E-1 ± 2E-1	6,8E+0 ± 9E-1
Be-7	1,2E+1 ± 5E-1	1,7E+2 ± 5E+0	2,0E+2 ± 6E+0	5,2E+1 ± 2E+0	4,3E+2 ± 8E+0
Cs-134					
Cs-137	< 1,0E-1	< 1,4E-1	< 1,1E-1	2,1E-2 ± 5E-3	2,0E-1 ± 4E-2
I-131					
Sr-90	< 6,8E-2	< 5,1E-2	< 5,7E-2	< 8,3E-2	
H-3 **					

\* Izhajanje radona iz posodice pri izračunu ni upoštevano      \*\* Meritev izotopa ni v programu meritve

meriteve označene z # se nanašajo na neakreditirano dejavnost

**Tabela 8.8 | Specifične aktivnosti izotopov v vzorcih padavin - Murska Sobota ZVD**

Oznaka vzorca	FAMSK122	FAMSK222	FAMSK322	FAMSK422	
Vzorec	Padavine	Padavine	Padavine	Padavine	letna
Lokacija	Murska Sobota	Murska Sobota	Murska Sobota	Murska Sobota	količina
Dat. vzorčenja	1.1.22-31.3.22	1.4.22-30.6.22	1.7.22-30.9.22	1.10.22-31.12.22	padavin
Količ. padavin#	<b>51,9 mm</b>	<b>265,5 mm</b>	<b>263,5 mm</b>	<b>122,9 mm</b>	<b>703,8 mm</b>
Dat. meritve	7.6.22	2.9.22	5.12.22	3.1.23	letni used
Količina vzorca	16,90 L	48,85 L	49,40 L	35,20 L	radioaktivnosti
Izotop	SPECIFIČNA AKTIVNOST (Bq/m <sup>2</sup> )			preračunana na sredino intervala vzorčenja	
U-238	4,7E-1 ± 3E-1			4,6E-1 ± 3E-1	9,2E-1 ± 4E-1
Ra-226 *		3,2E-1 ± 5E-2	1,3E+0 ± 6E-2	5,7E-2 ± 3E-2	1,7E+0 ± 8E-2
Pb-210	3,4E+0 ± 4E-1	3,5E+1 ± 2E+0	1,2E+1 ± 1E+0	2,6E+0 ± 3E-1	5,3E+1 ± 2E+0
Ra-228	1,4E-1 ± 1E-1	2,1E-1 ± 9E-2	3,6E-1 ± 1E-1		7,0E-1 ± 2E-1
Th-228		1,7E-1 ± 1E-1	2,3E-1 ± 9E-2		4,0E-1 ± 1E-1
K-40	3,1E+0 ± 6E-1	5,3E+0 ± 7E-1	8,2E+0 ± 8E-1	3,2E+0 ± 5E-1	2,0E+1 ± 1E+0
Be-7	9,8E+0 ± 6E-1	1,5E+2 ± 4E+0	4,3E+1 ± 2E+0	1,2E+1 ± 5E-1	2,2E+2 ± 5E+0
Cs-134					
Cs-137	< 2,3E-1	9,0E-2 ± 2E-2	< 2,0E-1	< 1,5E-1	3,8E-1 ± 7E-2
I-131					
Sr-90	< 6,9E-2	< 3,7E-2	< 5,1E-2	< 8,1E-2	
H-3 **					

\* Izhajanje radona iz posodice pri izračunu ni upoštevano      \*\* Meritev izotopa ni v programu meritve

meriteve označene z # se nanašajo na neakreditirano dejavnost

**Tabela 8.9 |** Specifične aktivnosti izotopov v vzorcih padavin - Bovec ZVD

Oznaka vzorca	FABOK122	FABOK222	FABOK322	FABOK422	
Vzorec	Padavine	Padavine	Padavine	Padavine	letna
Lokacija	Bovec	Bovec	Bovec	Bovec	količina
Dat. vzorčenja	1.1.22-31.3.22	1.4.22-30.6.22	1.7.22-30.9.22	1.10.22-31.12.22	padavin
Količ. padavin #	<b>223,9 mm</b>	<b>390,0 mm</b>	<b>698,7 mm</b>	<b>726,8 mm</b>	<b>2039,4 mm</b>
Dat. meritve	7.6.22	2.9.22	5.12.22	23.1.23	letni used
Količina vzorca	35,25 L	18,70 L	50,90 L	69,30 L	radioaktivnosti
Izotop	SPECIFIČNA AKTIVNOST (Bq/m <sup>2</sup> )		preračunana na sredino intervala vzorčenja		
U-238	1,3E+0 ± 9E-1				1,3E+0 ± 9E-1
Ra-226 *	5,1E-1 ± 2E-1	1,6E+0 ± 1E-1	1,7E+0 ± 2E-1	2,7E+0 ± 1E-1	6,5E+0 ± 4E-1
Pb-210	7,5E+1 ± 6E+0	3,3E+1 ± 3E+0	3,3E+1 ± 3E+0	8,6E+0 ± 1E+0	1,5E+2 ± 7E+0
Ra-228			1,0E+0 ± 4E-1	4,3E-1 ± 3E-1	1,5E+0 ± 5E-1
Th-228		3,5E-1 ± 3E-1		3,8E-1 ± 2E-1	7,3E-1 ± 4E-1
K-40	6,1E+0 ± 2E+0	1,1E+1 ± 2E+0		1,1E+1 ± 2E+0	2,8E+1 ± 3E+0
Be-7	1,8E+2 ± 6E+0	1,2E+2 ± 4E+0	1,6E+2 ± 6E+0	7,7E+1 ± 3E+0	5,5E+2 ± 1E+1
Cs-134					
Cs-137	2,6E-1 ± 6E-2	3,1E-1 ± 8E-2	2,5E-1 ± 8E-2	< 4,7E-1	1,1E+0 ± 2E-1
I-131					
Sr-90	< 3,2E-1	< 2,3E-1	< 2,7E-1	8,7E-1 ± 2E-1	1,3E+0 ± 3E-1
H-3 **					

\* Izhajanje radona iz posodice pri izračunu ni upoštevano

\*\* Meritev izotopa ni v programu meritve

meritve označene z # se nanašajo na neakreditirano dejavnost

**Tabela 8.10** | Specifične aktivnosti izotopov v vzorcih padavin - Ljubljana ZVD

**Tabela 8.11** | Koncentracije aktivnosti H-3 v vzorci padavin - Ljubljana ☀IJS

Ljubljana																					
Vzorč. mesto																					
Datum vzorevšanja	1.7.2022	-	31.7.2022	1.2.2022	-	28.2.2022	1.3.2022	-	31.3.2022	1.4.2022	-	30.4.2022	1.5.2022	-	31.5.2022	1.6.2022	-	30.6.2022			
Koř. vzorca (L)	1,00			1,00			1,00			1,00			1,00			1,00			1,00		
Padavine (mm)***	122,3			53,3			6,8			112,6			50,9			35,8					
Oznaka vzorca	FAUJ0122			FAUJ0322			FAUJ0422			FAUJ0522			FAUJ0622								
IZTOP																					
H-3	4,0E+02	±	8E+01	4,2E+02	±	8E+01	6,5E+02	±	9E+01	1,1E+03	±	1E+02	1,4E+03	±	1E+02	9,0E+02	±	1E+02	8,0E+02	±	4E+01
Vzorč. mesto										SPECIFIČNA AKTIVNOST [Bg/m³]											
Ljubljana										SPECIFIČNA AKTIVNOST [Bg/m³]											
Datum meritev	1.7.2022	-	31.7.2022	1.8.2022	-	31.8.2022	1.9.2022	-	30.9.2022	1.10.2022	-	31.10.2022	1.11.2022	-	30.11.2022	1.12.2022	-	31.12.2022	Mesečno povrteče (za celo leta) (*)		
Koř. vzorca (L)	1,00			1,00			1,00			1,00			1,00			1,00					
Padavine (mm)***	86,5			54,1			469,1			77,7			82,3			195,4					
Oznaka vzorca	FAUJ0722			FAUJ0822			FAUJ0922			FAUJ1022			FAUJ1122			FAUJ1222					
IZTOP																					
H-3	1,5E+03	±	1E+02	9,3E+02	±	1E+02	5,5E+02	±	8E+01	3,6E+02	±	8E+01	4,1E+02	±	8E+01	7,4E+02	±	3E+01			

## 8.5 Tekoče vode

**Tabela 8.12 | Koncentracije aktivnosti izotopov v vzorcih rek - Sava ŠIJS**

Vzorč. mesto	Sava Laze			Polletno povprečje (za celo leto)
	Datum vzor.	14. 1. 2022	9. 9. 2022	
Pretok (m <sup>3</sup> /s)***		34	25,5	
Kol. vzorca (L)		51,83	54,05	
Koda vzorca		RP22SN111	RP22SN191	
IZOTOP	KONCENTRACIJA AKTIVNOSTI (Bq/m <sup>3</sup> )			
U-238	6,6E+00 ± 1E+00	6,2E+00 ± 2E+00	6,4E+00 ± 1E+00	
Ra-226	1,3E+00 ± 9E-01	3,2E+00 ± 1E+00	2,3E+00 ± 7E-01	
Pb-210	4,1E+00 ± 2E+00	3,0E+00 ± 1E+00	3,5E+00 ± 1E+00	
Ra-228	1,3E+00 ± 4E-01	1,1E+00 ± 9E-01 *	1,2E+00 ± 5E-01	
Th-228	4,9E-01 ± 4E-01	9,5E-01 ± 2E-01	7,2E-01 ± 2E-01	
Th-230		2,4E+00 ± 7E+00 *	1,2E+00 ± 4E+00	
K-40	2,8E+01 ± 2E+00		1,4E+01 ± 1E+00	
Be-7	5,0E+00 ± 1E+00	2,4E+00 ± 1E+00	3,7E+00 ± 9E-01	
I-131	1,1E+01 ± 7E-01	1,7E+01 ± 2E+00	1,36E+01 ± 9E-01	
Cs-134				
Cs-137	1,5E-01 ± 1E-01 *		7,26E-02 ± 6E-02	
Co-58				
Co-60				
Cr-51				
Mn-54				
Zn-65				
Nb-95				
Ru-106				
Lu-177		1,1E+02 ± 9E+00	5,7E+01 ± 4E+00	
Sr-89/Sr-90	2,3E+00 ± 2E-01	1,8E+00 ± 1E-01	2,1E+00 ± 1E-01	
H-3	5,6E+02 ± 5E+01	5,3E+02 ± 3E+01	5,4E+02 ± 3E+01	

Vzorč. mesto	Sava Brežice			Polletno povprečje (za celo leto)
	Datum vzor.	24. 2. 2022	31. 8. 2022	
Pretok (m <sup>3</sup> /s)***		142,4	45,35	
Kol. vzorca (L)		53,41	52,78	
Koda vzorca		rp22sn82521	RP22SN82581	
IZOTOP	KONCENTRACIJA AKTIVNOSTI (Bq/m <sup>3</sup> )			
U-238	7,1E+00 ± 1E+00	1,9E+00 ± 2E+00 *	4,5E+00 ± 1E+00	
Ra-226	4,8E+00 ± 2E+00	2,0E+00 ± 6E-01	3,4E+00 ± 1E+00	
Pb-210	2,8E+01 ± 2E+00	2,8E+00 ± 2E+00	1,5E+01 ± 1E+00	
Ra-228	2,5E+00 ± 3E-01	1,7E+00 ± 4E-01	2,1E+00 ± 3E-01	
Th-228	2,1E+00 ± 2E-01	6,3E-01 ± 2E-01	1,4E+00 ± 2E-01	
Th-230				
K-40	4,7E+01 ± 2E+00	6,8E+01 ± 4E+00	5,7E+01 ± 2E+00	
Be-7	4,0E+01 ± 3E+00	8,3E-01 ± 2E+00 *	2,0E+01 ± 2E+00	
I-131	3,2E+00 ± 4E-01	1,7E+00 ± 5E-01	2,42E+00 ± 3E-01	
Cs-134				
Cs-137	5,9E-01 ± 4E-01	7,0E-02 ± 1E-01 *	3,28E-01 ± 2E-01	
Co-58				
Co-60				
Cr-51				
Mn-54				
Zn-65				
Nb-95				
Ru-106				
Sb-125				
Lu-177				
H-3	5,7E+02 ± 5E+01	4,1E+04 ± 1E+03	2,1E+04 ± 7E+02	

**Tabela 8.13 | Koncentracije aktivnosti izotopov v vzorcih rek - Drava †IJS**

Vzorč. mesto	Drava Dravograd		Polletno povprečje (za celo leto)	
	Datum vzor.	14. 4. 2022	28. 9. 2022	
Pretok (m <sup>3</sup> /s)***		247,4	144,4	
Kol. vzorca (L)		52,88	53,80	
Koda vzorca		RP22SN2341	RP22SN2391	
IZOTOP				
KONCENTRACIJA AKTIVNOSTI (Bq/m <sup>3</sup> )				
U-238	5,0E+00 ± 5E-01	3,2E+00 ± 5E-01	4,1E+00 ± 3E-01	
Ra-226	2,1E+00 ± 2E-01	9,2E+00 ± 1E+00	5,6E+00 ± 6E-01	
Pb-210	1,3E+00 ± 3E-01	2,0E+00 ± 4E-01	1,7E+00 ± 2E-01	
Ra-228	1,2E+00 ± 2E-01	1,6E+00 ± 2E-01	1,4E+00 ± 1E-01	
Th-228	4,6E-01 ± 2E-01	8,3E-01 ± 1E-01	6,4E-01 ± 1E-01	
Th-230				
K-40	3,0E+01 ± 1E+00	4,3E+01 ± 2E+00	3,6E+01 ± 1E+00	
Be-7	5,3E-01 ± 6E-01 ‡	2,4E+00 ± 4E-01	1,5E+00 ± 4E-01	
I-131	2,7E-01 ± 3E-01 ‡		1,3E-01 ± 1E-01	
Cs-134				
Cs-137	2,1E-01 ± 9E-02	4,5E-01 ± 8E-02	3,3E-01 ± 6E-02	
Co-58				
Co-60				
Cr-51				
Mn-54				
Zn-65				
Nb-95				
Ru-106				
Sb-125				
Lu-177				
Sr-89/Sr-90	8,8E-01 ± 1E-01	1,1E+00 ± 1E-01	9,9E-01 ± 8E-02	
H-3	6,2E+02 ± 6E+01	6,1E+02 ± 3E+01	6,1E+02 ± 3E+01	

Vzorč. mesto	Drava Dogoš - Maribor		Polletno povprečje (za celo leto)	
	Datum vzor.	14. 4. 2022	28. 9. 2022	
Pretok (m <sup>3</sup> /s)***		23,5	114,4	
Kol. vzorca (L)		52,66	53,49	
Koda vzorca		RP22SN20041	RP22SN20091	
IZOTOP				
KONCENTRACIJA AKTIVNOSTI (Bq/m <sup>3</sup> )				
U-238	4,2E+00 ± 1E+00	3,9E+00 ± 2E+00	4,1E+00 ± 1E+00	
Ra-226	2,8E+00 ± 5E-01	1,5E+01 ± 2E+00	8,9E+00 ± 1E+00	
Pb-210	1,6E+00 ± 3E-01	5,0E-01 †	1,1E+00 ± 6E-01 x	
Ra-228	1,0E+00 ± 2E-01	1,0E+00 ± 3E-01	1,0E+00 ± 2E-01	
Th-228	4,7E-01 ± 7E-02	5,8E-01 ± 1E-01	5,2E-01 ± 7E-02	
Th-230				
K-40	1,4E+01 ± 1E+00	4,9E+01 ± 3E+00	3,1E+01 ± 1E+00	
Be-7	1,5E+00 ± 8E-01	5,8E-01 ± 3E+00 ‡	1,0E+00 ± 2E+00	
I-131	1,1E-01 ± 8E-02	2,9E-01 ± 1E-01	2,0E-01 ± 7E-02	
Cs-134				
Cs-137	7,3E-02 ± 6E-02 ‡	1,7E-01 ± 1E-01	1,2E-01 ± 6E-02	
Co-58				
Co-60				
Cr-51				
Mn-54				
Zn-65				
Nb-95				
Ru-106				
Sb-125				
Lu-177		2,0E+01 ± 2E+00	9,8E+00 ± 9E-01	

**Tabela 8.14 | Koncentracije aktivnosti izotopov v vzorcih rek - Mura** 

Vzorč. mesto	Mura Petanjci			Polletno povprečje (za celo leto)
	Datum vzor.	14. 4. 2022	28. 9. 2022	
Pretok (m <sup>3</sup> /s)***		120,9	98,9	
Kol. vzorca (L)		52,82	53,07	
Koda vzorca		RP22SN941	RP22SN991	
IZOTOP	KONCENTRACIJA AKTIVNOSTI (Bq/m <sup>3</sup> )			
U-238	4,9E+00 ± 2E+00	2,2E+00 ± 2E+00	3,5E+00 ± 1E+00	
Ra-226	3,8E+00 ± 7E-01	1,4E+00 ± 4E-01	2,6E+00 ± 4E-01	
Pb-210	5,9E+00 ± 3E+00	3,0E+00 ± 3E+01 *	4,5E+00 ± 1E+01	
Ra-228	3,0E+00 ± 4E-01	1,1E+00 ± 3E-01	2,0E+00 ± 3E-01	
Th-228	1,8E+00 ± 3E-01	3,6E-01 ± 2E-01	1,1E+00 ± 2E-01	
Th-230				
K-40	7,5E+01 ± 4E+00	5,4E+01 ± 3E+00	6,4E+01 ± 2E+00	
Be-7	4,0E+00 ± 8E-01	3,8E+00 ± 8E-01	3,9E+00 ± 6E-01	
I-131		8,1E-01 ± 2E-01	4,1E-01 ± 8E-02	
Cs-134				
Cs-137	1,3E+00 ± 1E-01	3,5E-01 ± 7E-02	8,3E-01 ± 7E-02	
Co-58				
Co-60				
Cr-51				
Mn-54				
Zn-65				
Nb-95				
Ru-106				
Sb-125				
Lu-177		2,6E+00 ± 1E+00	1,3E+00 ± 7E-01	
Sr-89/Sr-90	2,0E+00 ± 1E-01	1,5E+00 ± 1E-01	1,7E+00 ± 9E-02	
H-3	8,3E+02 ± 8E+01	8,6E+02 ± 4E+01	8,4E+02 ± 4E+01	

**Tabela 8.15 | Koncentracije aktivnosti izotopov v vzorcih rek - Savinja** 

Vzorč. mesto	Savinja Celje			Polletno povprečje (za celo leto)
	Datum vzor.	14. 4. 2022	28. 9. 2022	
Pretok (m <sup>3</sup> /s)***		15,07	63,8	
Kol. vzorca (L)		53,83	55,26	
Koda vzorca		RP22SN341	RP22SN391	
IZOTOP	KONCENTRACIJA AKTIVNOSTI (Bq/m <sup>3</sup> )			
U-238	3,1E+00 ± 1E+00	1,2E+01 ± 2E+00	7,7E+00 ± 1E+00	
Ra-226	2,3E+00 ± 6E-01	4,6E+00 ± 1E+00	3,5E+00 ± 7E-01	
Pb-210	3,7E+00 ± 9E-01	9,9E+00 ± 2E+00	6,8E+00 ± 1E+00	
Ra-228	1,7E+00 ± 4E-01	3,6E+00 ± 1E+00	2,7E+00 ± 6E-01	
Th-228	1,2E+00 ± 1E-01	2,5E+00 ± 4E-01	1,8E+00 ± 2E-01	
Th-230				
K-40	2,7E+02 ± 1E+01	1,6E+02 ± 7E+00	2,2E+02 ± 8E+00	
Be-7	2,8E+00 ± 1E+00	1,5E+01 ± 2E+00	8,8E+00 ± 1E+00	
I-131		2,0E+00 ± 3E-01	1,0E+00 ± 1E-01	
Cs-134				
Cs-137	3,3E-01 ± 1E-01	7,1E-01 ± 1E-01	5,2E-01 ± 8E-02	
Co-58				
Co-60				
Cr-51				
Mn-54				
Zn-65				
Nb-95				
Ru-106				
Sb-125				
Lu-177		5,8E+01 ± 4E+00	2,9E+01 ± 2E+00	

**Tabela 8.16 | Koncentracije aktivnosti izotopov v vzorcih rek - Soča** 

Vzorč. mesto	Soča Plave		Polletno povprečje (za celo leto)
	Datum vzor.	25. 5. 2022	
Pretok (m <sup>3</sup> /s)***	20,8	16,9	
Kol. vzorca (L)	<b>56,28</b>	<b>54,91</b>	
Koda vzorca	RP22SN551	RP22SN581	
IZOTOP	KONCENTRACIJA AKTIVNOSTI (Bq/m <sup>3</sup> )		
U-238	5,6E-01 ± 3E-01	1,4E+00 ± 5E-01	9,8E-01 ± 3E-01
Ra-226	1,6E+00 ± 3E-01	1,2E+00 ± 3E-01	1,4E+00 ± 2E-01
Pb-210	1,9E+00 ± 7E-01	1,8E+00 ± 6E-01	1,8E+00 ± 5E-01
Ra-228	5,9E-01 ± 3E-01		2,9E-01 ± 2E-01
Th-228	4,1E-01 ± 1E-01	5,3E-01 ± 7E-02	4,7E-01 ± 6E-02
Th-230			
K-40	6,8E+00 ± 9E-01	1,0E+01 ± 1E+00	8,4E+00 ± 8E-01
Be-7	3,6E+00 ± 7E-01	3,3E+00 ± 7E-01	3,5E+00 ± 5E-01
I-131			
Cs-134			
Cs-137	1,3E-01 ± 1E-01		6,5E-02 ± 5E-02
Co-58			
Co-60			
Cr-51			
Mn-54			
Zn-65			
Nb-95			
Ru-106			
Sb-125			
Lu-177			

**Tabela 8.17 | Koncentracije aktivnosti izotopov v vzorcih rek - Krka** 

Vzorč. mesto	Krka Otočec		Polletno povprečje (za celo leto)
	Datum vzor.	24. 2. 2022	
Pretok (m <sup>3</sup> /s)***	42,9	5,92	
Kol. vzorca (L)	<b>49,77</b>	<b>53,14</b>	
Koda vzorca	rp22sn82221	RP22SN82281	
IZOTOP	KONCENTRACIJA AKTIVNOSTI (Bq/m <sup>3</sup> )		
U-238	1,5E+00 ± 1E+00 ‡	2,3E+00 ± 2E+00	1,9E+00 ± 1E+00
Ra-226	1,4E+00 ± 5E-01	1,4E+00 ± 6E-01	1,4E+00 ± 4E-01
Pb-210	3,0E+00 ± 1E+00	5,5E+00 ± 1E+00	4,3E+00 ± 9E-01
Ra-228	1,3E+00 ± 5E-01	9,4E-01 ± 4E-01	1,1E+00 ± 3E-01
Th-228	8,5E-01 ± 2E-01	2,4E-01 ± 1E-01	5,5E-01 ± 1E-01
Th-230			
K-40	2,0E+01 ± 2E+00	5,7E+01 ± 3E+00	3,9E+01 ± 2E+00
Be-7		4,2E+00 ± 9E-01	2,1E+00 ± 4E-01
I-131			
Cs-134			
Cs-137		1,1E-01 ± 1E-01 ‡	5,3E-02 ± 7E-02
Co-58			
Co-60			
Cr-51			
Mn-54			
Zn-65			
Nb-95			
Ru-106			
Sb-125			
Lu-177			
H-3	6,3E+02 ± 5E+01	4,9E+02 ± 3E+01	5,6E+02 ± 3E+01

**Tabela 8.18 |** Koncentracije aktivnosti izotopov v vzorcih rek - Kolpa  IJS

Vzorč. mesto	Kolpa Vinica				Polletno povprečje (za celo leto)
	Datum vzor.	24. 2. 2022	31. 8. 2022		
Pretok (m <sup>3</sup> /s)***	69,7	9,99			
Kol. vzorca (L)	53,96	54,21			
Koda vzorca	rp22sn83421	RP22SN83481			
IZOTOP	KONCENTRACIJA AKTIVNOSTI (Bq/m <sup>3</sup> )				
U-238	1,4E+00 ± 2E+00 ‡	4,5E+00 ± 7E-01	3,0E+00 ± 9E-01		
Ra-226	8,8E-01 ± 4E-01	1,5E+00 ± 2E-01	1,2E+00 ± 2E-01		
Pb-210	4,5E-01 †	3,5E+00 ± 3E-01	2,0E+00 ± 2E+00 ×		
Ra-228	3,8E-01 ± 4E-01 ‡	4,6E-01 ± 1E-01	4,2E-01 ± 2E-01		
Th-228		3,6E-01 ± 5E-02	1,8E-01 ± 3E-02		
Th-230					
K-40	1,1E+01 ± 2E+00	1,3E+01 ± 9E-01	1,2E+01 ± 1E+00		
Be-7		3,2E+00 ± 7E-01	1,6E+00 ± 3E-01		
I-131					
Cs-134					
Cs-137					
Co-58					
Co-60					
Cr-51					
Mn-54					
Zn-65					
Nb-95					
Ru-106					
Sb-125					
Lu-177					

**Tabela 8.19 | Koncentracije aktivnosti izotopov v vzorcih neobdelane zemlje na poljedeljsko intenzivnih področjih ZWD**

<b>Opis vzorca</b>	<b>RV4050820</b>	<b>RV3090820</b>	<b>RV3100820</b>	<b>RV2440820</b>	<b>RV2950820</b>	<b>RV3120820</b>	<b>RV3130820</b>	<b>RV2730820</b>	<b>RV2430820</b>			
Vzorec	Tla obdelana (0-15 cm)	Tla obdelana (0-15 cm)	Tla obdelana (0-15 cm)	Tla obdelana (0-15 cm)	Tla obdelana (0-15 cm)	Tla obdelana (0-15 cm)	Tla obdelana (0-15 cm)	Tla obdelana (0-15 cm)	Tla obdelana (0-15 cm)			
Lokacija	Lendava	Petanjci (Tišina)	Ptuj	Laško	Blačna	Kostanjevica na Krki	Metlika	Radomlje (Zgornje Jarše)	Medvode (Zbilje)	Škofja Loka	Illiška Bistrica	Blijs pri Novi Gorici (Rentré)
Reka	Ledava	Mura	Drava	Savinja	Sava	Krka	Kolpa	Kamniška Bistrica	Sava	Sora	Reka	Vipava
Dat. vzorčenja	22.8.20	22.8.20	24.8.20	23.8.20	1.8.20	16.8.20	23.8.20	23.8.20	23.8.20	9.8.20	2.8.20	13.8.20
Dat. meritve	4.9.20	10.9.20	16.9.20	15.9.20	14.8.20	8.9.20	2.9.20	15.9.20	15.9.20	14.8.20	13.8.20	
Količina vzorca	973,2 g	996,9 g	997,0 g	726,2 g	167,4 g	891,1 g	1180,6 g	707,9 g	654,7 g	1113,1 g	1158,7 g	1210,7 g
Izotop	SPECIFIČNA AKTIVNOST (Bq/kg)											
U-238	3,8E+1 ± 9E+0	2,0E+1 ± 5E+0	5,2E+1 ± 1E+1	1,8E+1	2,8E+1 ± 6E+0	3,4E+1 ± 7E+0	4,6E+1 ± 9E+0	4,4E+1 ± 8E+0	3,3E+1 ± 7E+0	5,6E+1 ± 1E+1	3,2E+1 ± 7E+0	2,9E+1 ± 6E+0
Ra-226	*	3,3E+1 ± 1E+0	2,0E+1 ± 6E-1	4,6E+1 ± 1E+0	2,1E+1 ± 1E-1	3,1E+1 ± 7E-1	2,9E+1 ± 8E-1	4,6E+1 ± 9E-1	4,2E+1 ± 8E-1	3,8E+1 ± 9E-1	5,4E+1 ± 1E-0	2,8E+1 ± 7E-1
Pb-210	4,9E+1 ± 8E+0	3,0E+1 ± 4E+0	6,1E+1 ± 7E+0	4,3E+1 ± 4E+0	4,0E+1 ± 5E+0	5,9E+1 ± 7E+0	7,1E+1 ± 7E+0	8,8E+1 ± 8E+0	6,5E+1 ± 7E+0	7,4E+1 ± 8E+0	5,3E+1 ± 6E+0	6,0E+1 ± 6E+0
Ra-228	4,0E+1 ± 2E+0	2,5E+1 ± 1E+0	4,3E+1 ± 2E+0	2,2E+1 ± 8E-1	3,2E+1 ± 1E+0	2,8E+1 ± 1E+0	4,1E+1 ± 1E+0	5,8E+1 ± 2E+0	2,7E+1 ± 1E+0	2,5E+1 ± 1E+0	3,4E+1 ± 1E+0	3,4E+1 ± 1E+1
Th-228	4,2E+1 ± 2E+0	2,0E+1 ± 2E+0	3,9E+1 ± 2E+0	2,0E+1 ± 9E-1	3,0E+1 ± 2E+0	2,8E+1 ± 2E+0	3,8E+1 ± 1E+0	3,4E+1 ± 1E+0	2,6E+1 ± 1E+0	5,0E+1 ± 2E+0	2,3E+1 ± 1E+0	3,1E+1 ± 1E+0
K-40	6,0E+2 ± 3E+1	3,1E+2 ± 2E+1	5,4E+2 ± 3E+1	2,7E+2 ± 2E+1	3,5E+2 ± 2E+1	2,1E+2 ± 1E+1	4,3E+2 ± 2E+1	4,8E+2 ± 3E+1	2,3E+2 ± 1E+1	6,7E+2 ± 4E+1	3,4E+2 ± 2E+1	4,4E+2 ± 2E+1
Be-7					2,8E+0 ± 1E-1			7,9E+0 ± 1E+0				8,9E-1 ± 2E+0
Cs-134												
Cs-137	8,3E+0 ± 6E-1	6,8E+0 ± 4E-1	1,7E+1 ± 7E-1	7,8E+0 ± 3E-1	1,4E+1 ± 6E-1	5,3E+0 ± 5E-1	1,2E+1 ± 4E-1	3,4E+1 ± 9E-1	2,3E+1 ± 9E-1	1,8E+1 ± 7E-1	1,5E+1 ± 6E-1	5,8E+0 ± 3E-1
I-131												1,4E+1 ± 8E+0

\* Izrajenje radona iz posodice pri izračunu ni upoštevano

**Tabela 8.20 | Koncentracije aktivnosti izotopov v vzorcih nefiltrirane rečne vode na poljedeljsko intenzivnih področjih ZD**

Oznaka vzorca	RV2150920	RV3170820	RV3160820	RV3180820	RV2410820	RV2270820	RV2980820	RV3190820	RV2200820	RV3210820	RV2710820	RV2420820
Vzorec Rečna voda (nefiltrana)												
Lokacija												
Reka	Lendava	Petanjci (Trščina)	Ptuj	Laško	Kostanjevica na Krki	Metlika	Radomlje (Zgorje Jarše)	Medvode (Zbilje)	Škofja Loka	Ilirska Bistrica	Reka	Bilje pri Novi Gorici (Renče) Vipava
Dat. vzorčenja	22.8.20	Mura	Drava	Savinja	Krka	Kolpa	Kamniška Bistrica	Sava	Sora	9.8.20	9.8.20	2.8.20
Dat. meritve	14.9.20	22.8.20	22.8.20	16.9.20	16.9.20	16.8.20	23.8.20	23.8.20	23.8.20	17.9.20	17.9.20	28.8.20
Količina vzorca	50,00 L	12.9.20	12.9.20	17.9.20	17.9.20	12.9.20	15.9.20	15.9.20	49,60 L	48,35 L	49,54 L	vzorcev
Izotop												preudomina na datum vzorčenja
U-238	9.8E+0 ± 2E+0	3.6E+0 ± 3E+0	2.5E+0 ± 2E+0	3.0E+0 ± 3E+0	8.3E+0 ± 2E+0	2.7E+0 ± 3E+0	8.4E+0 ± 2E+0	2.7E+0 ± 2E+0	1.1E+1 ± 2E+0	1.1E+0 ± 4E+0	4.1E+0 ± 4E+0	
Ra-226 *	4.3E+0 ± 2E+1	3.8E+0 ± 3E+1	1.8E+0 ± 3E+1	2.7E+0 ± 2E+1	3.8E+0 ± 3E+1	2.7E+0 ± 1E+1	2.3E+0 ± 3E+1	2.7E+0 ± 1E+1	1.4E+0 ± 3E+1	2.5E+0 ± 8E+2	2.1E+0 ± 2E+1	
Pb-210	1.0E+1 ± 9E+1	8.1E+0 ± 2E+0	8.1E+0 ± 2E+0	2.1E+1 ± 2E+0	1.7E+1 ± 3E+0	6.5E+0 ± 6E+1	2.4E+0 ± 2E+0	5.7E+0 ± 6E+1	6.1E+0 ± 2E+0	9.5E+0 ± 6E+1	1.1E+1 ± 2E+0	8.1E+0 ± 6E+0
Ra-228	6.8E+0 ± 4E+1	3.9E+0 ± 5E+1	1.9E+0 ± 7E+1	4.3E+0 ± 5E+1	3.1E+0 ± 7E+1	1.3E+0 ± 2E+1	2.2E+0 ± 2E+1	2.2E+0 ± 2E+1	1.4E+0 ± 6E+1	1.4E+0 ± 1E+1	1.7E+0 ± 4E+1	2.2E+0 ± 2E+0
Th-228	4.4E+0 ± 3E+1	1.3E+0 ± 6E+1	4.4E+1 ± 5E+0	6.9E+1 ± 4E+0	5.0E+1 ± 5E+0	1.3E+0 ± 2E+1	2.2E+0 ± 6E+1	1.3E+0 ± 2E+1	1.2E+0 ± 6E+1	1.1E+0 ± 2E+1	1.2E+0 ± 1E+0	
K-40	1.3E+2 ± 4E+0	7.2E+1 ± 4E+0	1.2E+1 ± 4E+0	7.5E+0 ± 2E+0	1.2E+1 ± 5E+1	4.4E+1 ± 2E+0	1.6E+1 ± 5E+0	3.5E+1 ± 2E+0	1.7E+1 ± 4E+0	5.5E+1 ± 2E+0	4.1E+1 ± 4E+0	
Be-7	2.6E+1 ± 1E+0	1.5E+1 ± 1E+0	9.9E+1 ± 1E+1	<1.5E+0	2.1E+1 ± 6E+2	<1.1E+0	2.7E+1 ± 6E+2	<1.2E+0	1.4E+1 ± 1E+0	9.3E+0 ± 1E+0	2.2E+1 ± 9E+1	1.3E+2 ± 4E+0
Cs-134	Cs-137	8.3E-1 ± 1E-1	9.9E+1 ± 1E+1	4.7E+0 ± 6E-1	4.7E+0 ± 6E-1	2.4E+0 ± 6E-1	<1.2E+0	2.9E-1 ± 7E-2	<7.8E-1	<2.9E-1	<6.5E-1	4.7E-1 ± 3E-1
I-131												5.9E-1 ± 1E+0

\* izhajanje radona iz posodice prizračeno in upoštevano

**Tabela 8.21 | Koncentracije aktivnosti izotopov v vzorcih poljščin na poljedeljsko intenzivnih področjih ZWD**

Omaka vzorca	RV3010820	RV3020820	RV3030820	RV3040820	RV2450820	RV2930820	RV2940820	RV3050820	RV3060820	RV3070820	RV2770820	RV2460820	
Vzorec	Bučke	Bučke	Kumare	Bučke	Paprika	Bučke	Paradižnik	Paradižnik	Bučke	Bučke	Bučke	Zelje	
Lokacija	Lendava	Petanjci (Tršina)	Ptuj	Laško	Blanca	Kostanjevica na Krki	Metlika	Radomlje (Zgornje Jarše)	Medvode (Zbilje)	Škofja Loka	Istarska Bistrica	Bilje pri Novi Gorici (Rente)	
Reka	LEDVA	Mura	Drava	Savinja	Sava	Krka	Kolpa	Kamniška Bistrica	Sava	Sora	Reka	Vipava	
Dat.vzorečnja	22.8.20	22.8.20	22.8.20	23.8.20	1.8.20	16.8.20	16.8.20	23.8.20	23.8.20	9.8.20	25.8.20	25.8.20	povprečje
Dat.meritve	3.9.20	3.9.20	4.9.20	11.9.20	28.8.20	1.9.20	27.8.20	12.9.20	11.9.20	11.9.20			vseh
Količina vzorca	3238 g	3860 g	2820 g	3410 g	2240 g	3670 g	2478 g	2266 g	3708 g	4706 g	5464 g		vzorcev
IZOTOP	SPECIFIČNA AKTIVNOST (Bq/kg)												
U-238	9.2E+0 ± 8E-2	3.2E-2 ± 4E-3	2.4E-2 ± 6E-3	3.4E-2 ± 2E-2	4.3E-2 ± 8E-3	3.1E-2 ± 1E-2	4.4E-2 ± 1E-2	2.9E-2 ± 6E-3	7.4E-2 ± 6E-2	7.4E-2 ± 2E-2	3.0E-2 ± 2E-2	1.4E-2 ± 3E-2	
Ra-226	*	4.8E-2 ± 1E-3	1.2E-1 ± 8E-2	< 4.0E-1	< 6.6E-1	< 3.3E-1	< 4.5E-1	1.4E-1 ± 7E-2	9.4E-2 ± 6E-2	< 5.0E-1	1.7E-1 ± 1E-1	8.6E-2 ± 3E-2	3.2E-2 ± 4E-2
Ra-228	< 3.3E-1	6.4E-2 ± 2E-2	9.5E-2 ± 1E-2	3.5E-2 ± 2E-2	4.7E-2 ± 3E-3	4.3E-2 ± 2E-2	5.9E-2 ± 3E-2	4.5E-2 ± 3E-2	5.8E-2 ± 3E-2	4.5E-2 ± 3E-2	2.9E-2 ± 5E-2	6.5E-1 ± 3E-0	7.0E+1 ± 3E-1
Th-228	4.4E-2 ± 2E-2	1.5E-1 ± 4E-2	6.3E-1 ± 3E-0	5.0E+1 ± 3E+0	1.2E+2 ± 7E+0	3.4E+1 ± 2E+0	7.8E+1 ± 4E+0	9.8E+1 ± 5E+0	8.8E+1 ± 4E+0	4.4E+1 ± 2E+0	1.3E+1 ± 3E-2	1.1E+1 ± 2E-1	2.3E-2 ± 2E-2
K-40	5.1E+1 ± 3E+0	8.7E+1 ± 5E+0	6.4E+1 ± 3E+0	5.0E+1 ± 3E+0	1.2E+2 ± 7E+0	3.4E+1 ± 2E+0	7.8E+1 ± 4E+0	9.8E+1 ± 5E+0	8.8E+1 ± 4E+0	4.4E+1 ± 2E+0	1.3E+1 ± 3E-2	1.1E+1 ± 2E-1	
Be-7	3.3E-1 ± 5E-2	3.3E-1 ± 5E-2	5.0E-1 ± 3E-2	< 1.7E-2	< 5.1E-2	< 8.0E-2	< 3.4E-2	< 6.7E-2	< 3.1E-2	5.3E-2 ± 5E-3	< 3.3E-2		
Cs-134													
Cs-137	1.3E-2 ± 3E-3	< 5.6E-2	< 2.6E-2	< 8.0E-2	< 3.4E-2	< 6.7E-2	< 3.1E-2						
I-131													

\*zbiraljenje radona z posodre pri izračunu ni upoštevano

## 8.6 Zemlja

Nadaljevanje na naslednji strani 153.

**Tabela 8.22 | Koncentracije aktivnosti izotopov v vzorcih zemlje - Ljubljana řlus**

Rezultati meritev



Vzorč. mesto		Ljubljana							
Datum vzor.	Gl. vzor. [cm] Kol.vzor. [kg/m <sup>3</sup> ]	20.5.2022				20.5.2022			
		trava 0,2	0-10 81,0	10-20 102,9	20-30 114,0	30-40 118,8	40-50 114,2	0-30 298,0	0-30 + trava 298,2
<b>Izotop</b>		<b>SPECIFIČNA AKTIVNOSTI [Bq/kg]</b>							
U-238	2,0E+00 ± 1E+00	3,9E+01 ± 5E+00	2,9E+01 ± 3E+00	3,6E+01 ± 3E+00	2,8E+01 ± 4E+00	2,6E+01 ± 3E+00	3,4E+01 ± 2E+00	3,4E+01 ± 2E+00	
Ra-226	1,6E+01 ± 3E+00	4,7E+01 ± 5E+00	4,6E+01 ± 4E+00	4,6E+01 ± 4E+00	4,6E+01 ± 4E+00	4,6E+01 ± 4E+00	4,6E+01 ± 3E+00	4,6E+01 ± 3E+00	
Pb-210	5,4E+01 ± 4E+01	9,0E+01 ± 3E+01	5,0E+01 ± 4E+00	3,7E+01 ± 2E+00	8,2E+00 ± 4E+00	2,7E+01 ± 2E+00	2,7E+01 ± 2E+00	2,7E+01 ± 2E+00	x
Ra-228	8,3E-01 ± 1E-01	3,8E+01 ± 1E+00	3,9E+01 ± 1E+00	4,0E+01 ± 1E+00	3,8E+01 ± 1E+00	3,8E+01 ± 1E+00	3,9E+01 ± 7E-01	3,9E+01 ± 7E-01	
Th-228	6,9E+02 ± 2E+01	4,6E+02 ± 2E+01	4,5E+01 ± 2E+01	4,2E+01 ± 1E+00	4,2E+01 ± 1E+00	4,2E+01 ± 1E+00	4,1E+01 ± 7E-01	4,1E+01 ± 7E-01	
Th-230							3,3E+01 ± 2E+01	3,3E+01 ± 2E+01	
K-40	1,3E+02 ± 5E+00						4,5E+02 ± 2E+01	4,8E+02 ± 1E+01	
Be-7							5,1E-01 ± 7E-01	*	
I-131							1,68E+00 ± 1E-01	1,7E+01 ± 4E-01	
Cs-134							9,5E+00 ± 3E+01	1,7E+01 ± 4E-01	
Cs-137	2,7E-01 ± 1E-01	2,02E+01 ± 8E-01	2,17E+01 ± 1E+00	9,53E+00 ± 3E+01	2,54E+00 ± 3E+01	9,5E-01 ± 8E-02	5,1E-01 ± 4E-02	5,1E-01 ± 4E-02	
Co-58									
Co-60									
Cr-51									
Mn-54									
Zn-65									
Nb-95									
Ru-106									
Sb-125									
Sr-89/Sr-90			5,1E-01 ± 7E-02	5,3E-01 ± 6E-02	4,9E-01 ± 6E-02	6,3E-01 ± 1E-01	9,5E-01 ± 8E-02	5,1E-01 ± 4E-02	5,1E-01 ± 4E-02

Vzorč. mesto		Ljubljana							
Datum vzor.	Gl. vzor. [cm] Kol.vzor. [kg/m <sup>3</sup> ]	12.9.2022				SPECIFIČNA AKTIVNOSTI [Bq/kg]			
		trava 0,2	0-10 63,3	10-20 82,4	20-30 98,2	30-40 95,2	40-50 94,8	0-30 243,9	0-30 + trava 244,0
<b>Izotop</b>		<b>SPECIFIČNA AKTIVNOSTI [Bq/kg]</b>							
U-238	3,2E+00 ± 2E+00	3,2E+01 ± 3E+00	3,3E+01 ± 4E+00	3,5E+01 ± 3E+00	3,0E+01 ± 3E+00	3,9E+01 ± 3E+00	3,3E+01 ± 2E+00	3,3E+01 ± 2E+00	
Ra-226	6,9E+00 ± 4E+00	4,9E+01 ± 4E+00	4,9E+01 ± 4E+00	4,9E+01 ± 4E+00	4,2E+01 ± 3E+00	3,2E+01 ± 2E+01	4,8E+01 ± 3E+00	4,8E+01 ± 3E+00	
Pb-210	5,5E+01 ± 4E+00	5,7E+01 ± 2E+01	5,7E+01 ± 2E+01	4,2E+01 ± 3E+00	4,2E+01 ± 3E+00	3,6E+01 ± 2E+00	5,6E+01 ± 8E+00	5,6E+01 ± 8E+00	
Ra-228	2,4E+00 ± 4E-01	3,9E+01 ± 1E+00	4,1E+01 ± 1E+00	4,1E+01 ± 1E+00	4,1E+01 ± 1E+00	4,7E+01 ± 1E+00	4,1E+01 ± 7E-01	4,1E+01 ± 7E-01	
Th-228	2,4E+00 ± 2E-01	4,9E+01 ± 1E+00	4,2E+01 ± 1E+00	4,2E+01 ± 1E+00	4,0E+01 ± 1E+00	4,8E+01 ± 1E+00	4,1E+01 ± 6E-01	4,1E+01 ± 6E-01	
Th-230							1,7E+01 ± 1E+01	1,1E+01 ± 1E+01	
K-40	6,5E+02 ± 2E+01	4,6E+02 ± 2E+01	4,9E+02 ± 2E+01	4,9E+02 ± 2E+01	4,6E+02 ± 2E+01	5,5E+02 ± 2E+01	4,8E+02 ± 9E+00	4,8E+02 ± 9E+00	
Be-7	4,1E-02 ± 2E-01	6,1E+00 ± 1E+00					1,7E+00 ± 3E-01	1,9E+00 ± 3E-01	
I-131									
Cs-134									
Cs-137	1,4E+00 ± 1E-01	1,75E+01 ± 6E-01	2,27E+01 ± 7E-01	6,39E+00 ± 2E-01	2,66E+00 ± 3E-01		1,37E+00 ± 9E-02	1,5E+01 ± 3E-01	
Co-58									
Co-60									
Cr-51									
Mn-54									
Zn-65									
Nb-95									
Ru-106									
Sb-125									
Sr-89/Sr-90			7,3E-01 ± 7E-02	6,9E-01 ± 7E-02	5,7E-01 ± 7E-02	9,6E-01 ± 1E-01	1,3E-01 ± 1E-01	6,5E-01 ± 4E-02	6,5E-01 ± 4E-02

Tabela 8.23 | Specifične aktivnosti izotopov v vzorcih zemlje - Ljubljana plus

Vzorč. mesto			Ljubljana												
			20. 5. 2022					20. 5. 2022							
Datum vzor.	Gl. vzor. (cm)	Kol. vzor. (kg/m <sup>3</sup> )	trava	0-10	10-20	20-30	30-40	40-50	50-60	0-30	0-30 + travo				
Ornala vzorca	RP22ZN11751	RP22ZN1A51	RP22ZN1B51	RP22ZN1C51	RP22ZN1D51	RP22ZN1E51	RP22ZN1F51	RP22ZN1G51	RP22ZN1H51	RP22ZN1I51	RP22ZN1J51				
IZOTOP															
U-238	4.0E-01 ± 2E-01	3.0E+03 ± 4E+02	2.9E+03 ± 3E+02	4.1E+03 ± 3E+02	3.3E+03 ± 4E+02	2.9E+03 ± 3E+02	2.9E+03 ± 3E+02	2.9E+03 ± 3E+02	1.0E+04 ± 6E+02	1.0E+04 ± 6E+02	1.4E+04 ± 8E+02				
Ra-226	3.2E+00 ± 6E-01	3.8E+03 ± 4E+02	7.2E+02 *	5.2E+03 ± 5E+02	4.7E+03 ± 5E+02	5.5E+03 ± 5E+02	9.8E+02 *	1.0E+04 ± 5E+02	3.1E+03 ± 3E+03	4.7E+03 ± 4E+03	1.0E+04 ± 1.0E+02 ×				
Pb-210	1.1E-01 ± 9E-02	3.1E+03 ± 1E+02	4.0E+03 ± 1E+02	4.5E+03 ± 1E+02	1.2E+04 ± 2E+02	1.2E+04 ± 2E+02	1.2E+04 ± 2E+02								
Ra-228	1.7E-01 ± 3E-02	3.3E+03 ± 9E+01	4.2E+03 ± 1E-02	4.8E+03 ± 1E-02	5.2E+03 ± 1E-02	5.2E+03 ± 1E-02	5.2E+03 ± 1E-02	5.2E+03 ± 1E-02	1.2E+04 ± 2E+02	1.2E+04 ± 2E+02	1.2E+04 ± 2E+02				
Th-228	1.7E-01 ± 3E-02	3.3E+03 ± 9E+01	4.6E+03 ± 2E-03	5.0E+03 ± 2E-03	5.4E+03 ± 2E-03	5.4E+03 ± 2E-03	5.4E+03 ± 2E-03	5.4E+03 ± 2E-03	1.1E+04 ± 2E+03	1.1E+04 ± 2E+03	1.1E+04 ± 2E+03				
Th-230	1.4E+02 ± 4E+00	3.7E+04 ± 1E+03	5.7E+04 ± 2E+03	5.4E+04 ± 2E+03	1.4E+05 ± 3E+03	1.4E+05 ± 3E+03	1.4E+05 ± 3E+03								
K-40	2.6E+01 ± 1E-00	I-131	1.6E+03 ± 6E+01	2.2E+03 ± 1E-02	1.1E+03 ± 4E+01	3.0E+02 ± 3E+01	1.1E+03 ± 4E+01	1.1E+03 ± 4E+01	5.0E+03 ± 1E+02	5.0E+03 ± 1E+02	5.0E+03 ± 1E+02				
Be-7	5.4E-02 ± 2E-02	Cs-134	1.6E+03 ± 6E+01	2.2E+03 ± 1E-02	1.1E+03 ± 4E+01	3.0E+02 ± 3E+01	1.1E+03 ± 4E+01	1.1E+03 ± 4E+01	5.0E+03 ± 1E+02	5.0E+03 ± 1E+02	5.0E+03 ± 1E+02				
Co-58	Cr-51	Mn-54	Zn-65	Nb-95	Ru-106	Sr-125	Sr-89/Sr-90	4.1E+01 ± 6E+00	5.4E+01 ± 6E+00	5.6E+01 ± 6E+00	7.5E+01 ± 1E+01	1.1E+02 ± 9E+00	1.1E+02 ± 9E+00	1.5E+02 ± 1E+01	1.5E+02 ± 1E+01
Sr-89/Sr-90															
IZOTOP															
U-238	5.5E-01 ± 3E-01	2.0E+03 ± 2E+02	2.7E+03 ± 3E+02	3.4E+03 ± 3E+02	3.4E+03 ± 3E+02	2.8E+03 ± 3E+02	3.7E+03 ± 3E+02	3.7E+03 ± 3E+02	8.1E+03 ± 5E+02	8.1E+03 ± 5E+02	8.1E+03 ± 5E+02				
Ra-226	1.2E+00 ± 6E-01	2.8E+03 ± 3E+02	4.1E+03 ± 4E+02	4.8E+03 ± 4E+02	4.4E+03 ± 5E+02	4.4E+03 ± 4E+02	5.0E+03 ± 5E+02	5.0E+03 ± 5E+02	1.2E+04 ± 7E+02	1.2E+04 ± 7E+02	1.3E+04 ± 7E+02				
Pb-210	9.6E+00 ± 7E-01	4.7E+03 ± 1E+03	2.5E+03 ± 1E-02	4.1E+03 ± 1E-02	4.1E+03 ± 1E-02	3.0E+03 ± 2E-03	3.4E+03 ± 2E-03	3.4E+03 ± 2E-03	9.9E+03 ± 2E+02	9.9E+03 ± 2E+02	9.9E+03 ± 2E+02				
Ra-228	4.1E-01 ± 7E-02	2.5E+03 ± 7E+01	3.4E+03 ± 8E-01	3.4E+03 ± 8E-01	3.4E+03 ± 8E-01	1.0E+02	1.0E+02	1.0E+02	1.0E+04 ± 2E+02	1.0E+04 ± 2E+02	1.0E+04 ± 2E+02				
Th-228	4.2E+01 ± 4E-02	2.5E+03 ± 7E+01	3.4E+03 ± 8E-01	3.4E+03 ± 8E-01	3.4E+03 ± 8E-01	3.8E+03 ± 1E+02	4.6E+03 ± 1E+02	4.6E+03 ± 1E+02	7.4E+03 ± 1E+03	7.4E+03 ± 1E+03	7.4E+03 ± 1E+03				
Th-230	1.1E+02 ± 4E+00	2.9E+04 ± 1E+03	4.0E+04 ± 1E+03	4.8E+04 ± 1E+03	4.4E+04 ± 1E+03	4.4E+04 ± 1E+03	5.2E+04 ± 1E+03	5.2E+04 ± 1E+03	1.2E+05 ± 3E+03	1.2E+05 ± 3E+03	1.2E+05 ± 3E+03				
K-40	7.1E+01 ± 3E+00	3.9E+02 ± 6E+01	I-131	Cs-134	Cs-137	2.4E+01 ± 2E+02	1.1E+03 ± 4E+01	1.9E+03 ± 6E+01	6.3E+02 ± 2E+01	2.5E+02 ± 3E+01	1.3E+02 ± 9E+00	1.3E+02 ± 9E+00	1.3E+02 ± 9E+00		
Be-7	Cr-51	Mn-54	Zn-65	Nb-95	Ru-106	Sr-125	Sr-89/Sr-90	4.6E+01 ± 4E+00	5.7E+01 ± 6E+00	5.5E+01 ± 6E+00	9.1E+01 ± 9E+00	1.2E+02 ± 9E+00	1.2E+02 ± 9E+00	1.6E+02 ± 1E+01	1.6E+02 ± 1E+01
Sr-89/Sr-90															
Vzorč. mesto	Ljubljana										Ljubljana				
Datum vzor.	Gl. vzor. (cm)	Kol. vzor. (kg/m <sup>3</sup> )	trava	0-10	10-20	20-30	30-40	40-50	50-60	0-30	0-30 + travo				
Ornala vzorca	RP22ZN11751	RP22ZN1A91	RP22ZN1B91	RP22ZN1C91	RP22ZN1D91	RP22ZN1E91	RP22ZN1F91	RP22ZN1G91	RP22ZN1H91	RP22ZN1I91	RP22ZN1J91				
IZOTOP															
U-238	1.2E+00 ± 6E-01	2.8E+03 ± 3E+02	4.1E+03 ± 4E+02	4.7E+03 ± 4E+02	4.4E+03 ± 5E+02	3.0E+03 ± 2E-03	3.4E+03 ± 2E-03	3.4E+03 ± 2E-03	8.1E+03 ± 5E+02	8.1E+03 ± 5E+02	8.1E+03 ± 5E+02				
Ra-226	9.6E+00 ± 7E-01	4.7E+03 ± 1E+03	2.5E+03 ± 1E-02	3.4E+03 ± 1E-02	3.4E+03 ± 1E-02	1.0E+02	1.0E+02	1.0E+02	1.3E+04 ± 7E+02	1.3E+04 ± 7E+02	1.3E+04 ± 7E+02				
Pb-210	4.1E-01 ± 7E-02	2.5E+03 ± 7E+01	3.4E+03 ± 8E-01	3.4E+03 ± 8E-01	3.4E+03 ± 8E-01	3.8E+03 ± 1E+02	4.6E+03 ± 1E+02	4.6E+03 ± 1E+02	9.9E+03 ± 2E+02	9.9E+03 ± 2E+02	9.9E+03 ± 2E+02				
Ra-228	4.2E+01 ± 4E-02	2.5E+03 ± 7E+01	3.4E+03 ± 8E-01	3.4E+03 ± 8E-01	3.4E+03 ± 8E-01	3.8E+03 ± 1E+02	4.6E+03 ± 1E+02	4.6E+03 ± 1E+02	1.0E+04 ± 2E+02	1.0E+04 ± 2E+02	1.0E+04 ± 2E+02				
Th-228	1.1E+02 ± 4E+00	2.9E+04 ± 1E+03	4.0E+04 ± 1E+03	4.8E+04 ± 1E+03	4.4E+04 ± 1E+03	4.4E+04 ± 1E+03	5.2E+04 ± 1E+03	5.2E+04 ± 1E+03	1.2E+05 ± 3E+03	1.2E+05 ± 3E+03	1.2E+05 ± 3E+03				
Th-230	2.4E+01 ± 2E+02	I-131	Cs-134	Cs-137	2.4E+01 ± 2E+02	1.1E+03 ± 4E+01	1.9E+03 ± 6E+01	6.3E+02 ± 2E+01	2.5E+02 ± 3E+01	1.3E+02 ± 9E+00	1.3E+02 ± 9E+00	1.3E+02 ± 9E+00			
K-40	Cr-51	Mn-54	Zn-65	Nb-95	Ru-106	Sr-125	Sr-89/Sr-90	4.6E+01 ± 4E+00	5.7E+01 ± 6E+00	5.5E+01 ± 6E+00	9.1E+01 ± 9E+00	1.2E+02 ± 9E+00	1.2E+02 ± 9E+00	1.6E+02 ± 1E+01	1.6E+02 ± 1E+01
Sr-89/Sr-90															
Vzorč. mesto	Ljubljana										Ljubljana				
Datum vzor.	Gl. vzor. (cm)	Kol. vzor. (kg/m <sup>3</sup> )	trava	0-10	10-20	20-30	30-40	40-50	50-60	0-30	0-30 + travo				
Ornala vzorca	RP22ZN11751	RP22ZN1A91	RP22ZN1B91	RP22ZN1C91	RP22ZN1D91	RP22ZN1E91	RP22ZN1F91	RP22ZN1G91	RP22ZN1H91	RP22ZN1I91	RP22ZN1J91				
IZOTOP															
U-238	1.2E+00 ± 6E-01	2.8E+03 ± 3E+02	4.1E+03 ± 4E+02	4.7E+03 ± 4E+02	4.4E+03 ± 5E+02	3.0E+03 ± 2E-03	3.4E+03 ± 2E-03	3.4E+03 ± 2E-03	8.1E+03 ± 5E+02	8.1E+03 ± 5E+02	8.1E+03 ± 5E+02				
Ra-226	9.6E+00 ± 7E-01	4.7E+03 ± 1E+03	2.5E+03 ± 1E-02	3.4E+03 ± 1E-02	3.4E+03 ± 1E-02	1.0E+02	1.0E+02	1.0E+02	1.3E+04 ± 7E+02	1.3E+04 ± 7E+02	1.3E+04 ± 7E+02				
Pb-210	4.1E-01 ± 7E-02	2.5E+03 ± 7E+01	3.4E+03 ± 8E-01	3.4E+03 ± 8E-01	3.4E+03 ± 8E-01	3.8E+03 ± 1E+02	4.6E+03 ± 1E+02	4.6E+03 ± 1E+02	9.9E+03 ± 2E+02	9.9E+03 ± 2E+02	9.9E+03 ± 2E+02				
Ra-228	4.2E+01 ± 4E-02	2.5E+03 ± 7E+01	3.4E+03 ± 8E-01	3.4E+03 ± 8E-01	3.4E+03 ± 8E-01	3.8E+03 ± 1E+02	4.6E+03 ± 1E+02	4.6E+03 ± 1E+02	1.0E+04 ± 2E+02	1.0E+04 ± 2E+02	1.0E+04 ± 2E+02				
Th-228	1.1E+02 ± 4E+00	2.9E+04 ± 1E+03	4.0E+04 ± 1E+03	4.8E+04 ± 1E+03	4.4E+04 ± 1E+03	4.4E+04 ± 1E+03	5.2E+04 ± 1E+03	5.2E+04 ± 1E+03	1.2E+05 ± 3E+03	1.2E+05 ± 3E+03	1.2E+05 ± 3E+03				
Th-230	2.4E+01 ± 2E+02	I-131	Cs-134	Cs-137	2.4E+01 ± 2E+02	1.1E+03 ± 4E+01	1.9E+03 ± 6E+01	6.3E+02 ± 2E+01	2.5E+02 ± 3E+01	1.3E+02 ± 9E+00	1.3E+02 ± 9E+00	1.3E+02 ± 9E+00			
K-40	Cr-51	Mn-54	Zn-65	Nb-95	Ru-106	Sr-125	Sr-89/Sr-90	4.6E+01 ± 4E+00	5.7E+01 ± 6E+00	5.5E+01 ± 6E+00	9.1E+01 ± 9E+00	1.2E+02 ± 9E+00	1.2E+02 ± 9E+00	1.6E+02 ± 1E+01	1.6E+02 ± 1E+01
Sr-89/Sr-90															

**Tabela 8.24 | Koncentracije aktivnosti izotopov v vzorcih zemlje - Kobarid ZVD**

Omaka vorca	ZKO00522	ZKO200522	ZKO300522	ZKO400522	ZKO500522	ZKO101022	ZKO201022	ZKO301022	ZKO401022	ZKO501022
Vzorec	Tla (0-10 cm)	Tla (10-20 cm)	Tla (20-30 cm)	Tla (30-40 cm)	Tla (40-50 cm)	Tla (0-10 cm)	Tla (10-20 cm)	Tla (20-30 cm)	Tla (30-40 cm)	Tla (40-50 cm)
Lokacija	Kobarid	Kobarid	Kobarid	Kobarid	Kobarid	Kobarid	Kobarid	Kobarid	Kobarid	Kobarid
Dat. vzorčenja	7.5.22	7.5.22	7.5.22	7.5.22	7.5.22	1.10.22	1.10.22	1.10.22	1.10.22	1.10.22
Dat. meritev	24.8.22	24.8.22	24.8.22	26.8.22	26.8.22	29.11.22	29.11.22	29.11.22	1.12.22	1.12.22
Količina vorca	620,3 g	539,1 g	622,1 g	507,2 g	655,2 g	675,6 g	562,7 g	711,0 g	912,7 g	vzorcev
Izotop	SPECIFIČNA AKTIVNOST (Bq/kg)									
U-238	2,6E+1 ± 5E+0	3,3E+1 ± 6E+0	3,2E+1 ± 6E+0	3,5E+1 ± 6E+0	2,4E+1 ± 4E+0	3,4E+1 ± 6E+0	1,8E+1 ± 4E+0	1,9E+1 ± 4E+0	2,2E+1 ± 4E+0	2,3E+1 ± 4E+0
Ra-226	*	1,8E+1 ± 4E-1	1,8E+1 ± 4E-1	2,9E+1 ± 7E-1	2,9E+1 ± 6E-1	1,8E+1 ± 4E-1	3,2E+1 ± 5E-1	1,9E+1 ± 4E-1	2,0E+1 ± 4E-1	1,8E+1 ± 4E-1
Pb-210	8,8E+1 ± 7E+0	5,1E+1 ± 5E+0	4,4E+1 ± 5E+0	3,8E+1 ± 4E+0	1,9E+1 ± 2E+0	1,3E+2 ± 1E+1	5,1E+1 ± 5E+0	3,8E+1 ± 4E+0	4,1E+1 ± 4E+0	3,1E+1 ± 3E+0
Ra-228	2,1E+1 ± 7E-1	2,2E+1 ± 8E-1	3,6E+1 ± 1E+0	3,6E+1 ± 1E+0	2,3E+1 ± 7E-1	3,7E+1 ± 9E-1	2,0E+1 ± 7E-1	2,3E+1 ± 8E-1	2,3E+1 ± 8E-1	2,3E+1 ± 7E-1
Th-228	2,0E+1 ± 8E-1	2,0E+1 ± 1E+0	3,3E+1 ± 1E+0	3,4E+1 ± 1E+0	2,1E+1 ± 8E-1	3,3E+1 ± 1E+0	2,0E+1 ± 9E-1	1,9E+1 ± 9E-1	2,2E+1 ± 9E-1	2,0E+1 ± 8E-1
K-40	2,1E+2 ± 1E+1	2,0E+2 ± 1E+1	4,1E+2 ± 2E+1	5,2E+2 ± 3E+1	3,2E+2 ± 2E+1	4,1E+2 ± 2E+1	2,0E+2 ± 1E+1	2,3E+2 ± 1E+1	2,7E+2 ± 1E+1	3,0E+2 ± 1E+2
Be-7	2,2E+0 ± 7E-1					9,8E+0 ± 6E-1				1,2E+0 ± 3E+0
G-134										
G-137	6,5E+1 ± 2E+0	5,5E+1 ± 1E+0	9,1E+0 ± 3E-1	2,3E+0 ± 1E-1	1,0E+2 ± 3E+0	4,4E+1 ± 1E+0	2,1E+1 ± 6E-1	1,9E+1 ± 6E-1	1,3E+1 ± 4E-1	3,7E+1 ± 3E+1
I-131										
Sr-90	2,5E+0 ± 3E-1	2,0E+0 ± 2E-1	1,1E+0 ± 2E-1	1,2E+0 ± 2E-1	3,3E+1 ± 2E-1	3,0E+0 ± 4E-1	1,9E+0 ± 2E-1	1,2E+0 ± 2E-1	1,4E+0 ± 2E-1	6,6E-1 ± 1E-1
H-3	**									1,5E+0 ± 8E-1
Izotop	SPECIFIČNA AKTIVNOST (Bq/m <sup>3</sup> )									
G-137	2,6E+3 ± 6E+1	1,9E+3 ± 5E+1	1,4E+3 ± 4E+1	2,9E+2 ± 1E+1	9,8E+1 ± 6E+0	4,5E+3 ± 1E+2	1,4E+3 ± 4E+1	7,7E+2 ± 2E+1	8,7E+2 ± 3E+1	7,4E+2 ± 2E+1
Sr-90	9,8E+1 ± 1E+1	6,7E+1 ± 8E+0	4,4E+1 ± 7E+0	3,9E+1 ± 7E-0	1,4E+1 ± 7E+0	1,3E+2 ± 2E+1	6,0E+1 ± 7E+0	4,2E+1 ± 6E+0	6,3E+1 ± 8E+0	3,8E+1 ± 8E+0

\* Izračanje radona iz posodice pri izračunu ni upoštevano

\*\* Meritev izračuna v programu meritev

Tabela 8.25 | Koncentracije aktivnosti izotopov v vzorcih zemlje - Murska Sobota **ZD**

Oznaka vzorca	ZMS100422	ZMS0200422	ZMS300422	ZMS400422	ZMS500422	ZMS100922	ZMS200922	ZMS300922	ZMS400922	ZMS500922
Vzorec	Tla (0-10 cm)	Tla (10-20 cm)	Tla (20-30 cm)	Tla (30-40 cm)	Tla (40-50 cm)	Tla (0-10 cm)	Tla (10-20 cm)	Tla (20-30 cm)	Tla (30-40 cm)	Tla (40-50 cm)
Lokacija	Murska Sobota	Murska Sobota	Murska Sobota	Murska Sobota	Murska Sobota	Murska Sobota	Murska Sobota	Murska Sobota	Murska Sobota	Murska Sobota
Dat. vzorčenja	30.4.22	30.4.22	30.4.22	30.4.22	30.4.22	10.9.22	10.9.22	10.9.22	10.9.22	10.9.22
Dat. meritve	24.8.22	24.8.22	24.8.22	24.8.22	24.8.22	10.11.22	10.11.22	10.11.22	10.11.22	10.11.22
Količina vzorca	787,9 g	800,2 g	930,1 g	939,0 g	907,6 g	676,2 g	897,1 g	1077,2 g	1129,8 g	1038,2 g
Izotop						SPECIFIČNA AKTIVNOST (Bq/kg)				
U-238	3,6E+1 ± 7E+0	4,7E+1 ± 9E+0	4,4E+1 ± 8E+0	4,3E+1 ± 8E+0	4,3E+1 ± 8E+0	4,4E+1 ± 8E+0	4,3E+1 ± 6E+0	3,3E+1 ± 6E+0	4,9E+1 ± 9E+0	6,8E+1 ± 1E+1
Ra-226 *	2,3E+1 ± 5E-1	4,0E+1 ± 8E-1	4,2E+1 ± 8E-1	4,0E+1 ± 7E-1	3,9E+1 ± 7E-1	3,6E+1 ± 7E-1	2,3E+1 ± 5E-1	4,0E+1 ± 7E-1	3,5E+1 ± 7E-1	3,5E+1 ± 7E+0
Pb-210	7,5E+1 ± 7E+0	4,8E+1 ± 5E+0	4,5E+1 ± 5E+0	4,2E+1 ± 4E+0	4,7E+1 ± 4E+0	7,3E+1 ± 7E+0	3,6E+1 ± 4E+0	2,7E+1 ± 3E+0	5,2E+1 ± 4E+0	4,7E+1 ± 5E+0
Ra-228	2,7E+1 ± 9E-1	4,9E+1 ± 2E+0	4,9E+1 ± 1E+0	4,7E+1 ± 1E+0	4,6E+1 ± 1E+0	4,5E+1 ± 1E+0	4,6E+1 ± 1E+0	2,8E+1 ± 8E-1	4,7E+1 ± 1E+0	4,6E+1 ± 1E+0
Th-228	2,5E+1 ± 1E+0	4,4E+1 ± 2E+0	4,5E+1 ± 2E+0	4,2E+1 ± 1E+0	4,0E+1 ± 1E+0	3,9E+1 ± 1E+0	4,4E+1 ± 1E+0	2,5E+1 ± 1E+0	4,0E+1 ± 1E+0	3,9E+1 ± 7E+0
K-40	2,7E+2 ± 2E+1	5,1E+2 ± 3E+1	4,8E+2 ± 3E+1	4,8E+2 ± 3E+1	4,8E+2 ± 3E+1	5,0E+2 ± 3E+1	4,9E+2 ± 3E+1	5,0E+2 ± 3E+1	4,7E+2 ± 3E+1	4,8E+2 ± 3E+1
Be-7						6,7E+0 ± 1E+0				6,7E-1 ± 2E+0
Cs-134										
Cs-137	2,1E+1 ± 7E-1	1,3E+1 ± 5E-1	1,8E+0 ± 2E-1	6,8E-1 ± 9E-2	< 9E-1	3,0E+1 ± 8E-1	1,1E+1 ± 4E-1	9,6E-1 ± 1E-1	6,3E-1 ± 9E-2	7,5E+0 ± 3E-1
I-131										
Sr-90	4,0E-1 ± 1E-1	< 2,7E-1	< 3,7E-1	< 2,2E-1	< 3,0E-1	6,6E-1 ± 1E-1	2,7E-1 ± 1E-1	< 9,0E-2	< 3,1E-1	< 2,5E-1
H-3 **										
Izotop						SPECIFIČNA AKTIVNOST (Bq/m <sup>2</sup> )				
Cs-137	1,0E+3 ± 3E+1	6,6E+2 ± 3E+1	1,1E+2 ± 1E-1	4,0E+1 ± 6E+0	< 5,3E+1	1,3E+3 ± 4E+1	6,3E+2 ± 2E+1	6,6E-1 ± 7E+0	4,6E+1 ± 6E+0	4,9E+2 ± 2E+1
Sr-90	2,0E+1 ± 7E+0	< 1,4E+1	< 2,2E+1	< 1,3E+1	< 1,7E+1	2,8E+1 ± 5E+0	1,5E+1 ± 6E+0	< 6,2E-0	< 2,2E+1	< 1,7E+1

\* Izhaljanje radonu iz posodice pri izračunu ni upoštevano

\*\* Meritev izotopa niv programu meritev

## 8.7 Morje - voda in sedimenti

**Tabela 8.26 | Koncentracije aktivnosti izotopov v vzorcih morja - vode in sedimentov** 

Vzorč. mesto	Piranski zaliv
Datum vzor.	25. 5. 2022
Kol. vzorca (kg)	0,40
Koda vzorca	RP22SD63351
IZOTOP	SPECIFIČNA AKTIVNOST (Bq/kg)
U-238	3,2E+01 ± 2E+00
Ra-226	2,6E+01 ± 2E+00
Pb-210	8,2E+01 ± 3E+01
Ra-228	2,5E+01 ± 7E-01
Th-228	2,5E+01 ± 7E-01
Th-230	3,9E+01 ± 1E+01
K-40	5,2E+02 ± 2E+01
Be-7	5,8E-01 ± 5E-01 †
I-131	
Cs-134	
Cs-137	3,8E+00 ± 2E-01
Co-58	
Co-60	
Cr-51	
Mn-54	
Zn-65	
Nb-95	
Ru-106	
Sb-125	

Vzorč. mesto	Piranski zaliv
Datum vzor.	25. 5. 2022
Kol. vzorca (L)	51,00
Koda vzorca	RP22VM63351
IZOTOP	KONCENTRACIJA AKTIVNOSTI (Bq/m <sup>3</sup> )
Cs-137	1,1E+00 ± 2E-01

## 8.8 Zunanje sevanje

**Tabela 8.27 | Izmerjene vrednosti zunanjega sevanja s TL dozimetri ♦IJS**

Št. TLD	Mesto postavitev	Izmerjena doza $H^*(10)$ (mSv) v obdobju				Letna doza $H^*(10)$ (mSv)		Povprečna mesečna doza $H^*(10)$ (mSv na mesec) v obdobju				Povprečna mesečna doza $H^*(10)$ (mSv na mesec)	
		od do 1. 1. 2021 1. 7. 2021		od do 1. 7. 2021 1. 1. 2022		v 2021		od do 1. 1. 2021 1. 7. 2021		od do 1. 7. 2021 1. 1. 2022		v 2021	
1	KOČEVJE	0,451 ± 0,090		0,462 ± 0,092		0,913 ± 0,129		0,076 ± 0,015		0,076 ± 0,015		0,076 ± 0,022	
2	DVOR PRI ŽUŽEMBERKU	0,452 ± 0,090		0,471 ± 0,094		0,923 ± 0,131		0,076 ± 0,015		0,078 ± 0,016		0,077 ± 0,022	
3	DOBLOČ ČRНОМЕЛЈ	0,591 ± 0,118		0,550 ± 0,110		1,141 ± 0,161		0,099 ± 0,020		0,091 ± 0,018		0,095 ± 0,027	
4	DRAŠIČI METLIKA	0,423 ± 0,085		0,436 ± 0,087		0,858 ± 0,121		0,071 ± 0,014		0,072 ± 0,014		0,072 ± 0,020	
5	NOVO MESTO	0,333 ± 0,067		0,334 ± 0,067		0,667 ± 0,094		0,056 ± 0,011		0,055 ± 0,011		0,056 ± 0,016	
6	MALKOVEC MOKRONOG	0,371 ± 0,074		0,365 ± 0,073		0,736 ± 0,104		0,062 ± 0,012		0,060 ± 0,012		0,061 ± 0,017	
7	LISCA	0,367 ± 0,073		0,374 ± 0,075		0,741 ± 0,105		0,062 ± 0,012		0,062 ± 0,012		0,062 ± 0,017	
8	CELJE	0,417 ± 0,083		0,409 ± 0,082		0,826 ± 0,117		0,070 ± 0,014		0,068 ± 0,014		0,069 ± 0,019	
9	ROGAŠKA SLATINA	0,388 ± 0,078		0,395 ± 0,079		0,783 ± 0,111		0,065 ± 0,013		0,065 ± 0,013		0,065 ± 0,018	
10	SLOVENSKE KONJICE	0,415 ± 0,083		0,400 ± 0,080		0,815 ± 0,115		0,070 ± 0,014		0,066 ± 0,013		0,068 ± 0,019	
11	ROGLA	0,487 ± 0,097		0,530 ± 0,106		1,017 ± 0,144		0,082 ± 0,016		0,088 ± 0,018		0,085 ± 0,024	
12	MARIBOR AERODROM	0,388 ± 0,078		0,378 ± 0,076		0,767 ± 0,108		0,065 ± 0,013		0,063 ± 0,013		0,064 ± 0,018	
13	PTUJ	0,385 ± 0,077		0,392 ± 0,078		0,777 ± 0,110		0,065 ± 0,013		0,065 ± 0,013		0,065 ± 0,018	
14	JERUZALEM ORMOŽ	0,376 ± 0,075		0,402 ± 0,080		0,779 ± 0,110		0,063 ± 0,013		0,067 ± 0,013		0,065 ± 0,018	
15	LENDAVA	0,437 ± 0,087		0,435 ± 0,087		0,872 ± 0,123		0,074 ± 0,015		0,072 ± 0,014		0,073 ± 0,021	
16	MURSKA SOBOTA	0,374 ± 0,075		0,386 ± 0,077		0,759 ± 0,107		0,063 ± 0,013		0,064 ± 0,013		0,063 ± 0,018	
17	GORNJI PETROVCI	0,414 ± 0,083		0,441 ± 0,088		0,855 ± 0,121		0,070 ± 0,014		0,073 ± 0,015		0,071 ± 0,020	
18	GORNJA RADGONA	0,383 ± 0,077		0,355 ± 0,071		0,738 ± 0,105		0,064 ± 0,013		0,059 ± 0,012		0,062 ± 0,017	
19	SVEČINA PLAČ	0,466 ± 0,093		0,475 ± 0,095		0,941 ± 0,133		0,078 ± 0,016		0,079 ± 0,016		0,078 ± 0,022	
20	RIBNICA NA POHORJU	0,428 ± 0,086		0,422 ± 0,084		0,851 ± 0,120		0,072 ± 0,014		0,070 ± 0,014		0,071 ± 0,020	
21	KOTLJE	0,489 ± 0,098		0,455 ± 0,091		0,943 ± 0,133		0,082 ± 0,016		0,075 ± 0,015		0,079 ± 0,022	
22	VELENJE	0,421 ± 0,084		0,410 ± 0,082		0,832 ± 0,118		0,071 ± 0,014		0,068 ± 0,014		0,069 ± 0,020	
23	NAZARJE MOZIRJE	0,421 ± 0,084		0,399 ± 0,080		0,820 ± 0,116		0,071 ± 0,014		0,066 ± 0,013		0,068 ± 0,019	
24	LUČE OB SAVINJI	0,414 ± 0,083		0,414 ± 0,083		0,827 ± 0,117		0,069 ± 0,014		0,068 ± 0,014		0,069 ± 0,019	
25	VAČE	0,454 ± 0,091		0,422 ± 0,084		0,876 ± 0,124		0,076 ± 0,015		0,070 ± 0,014		0,073 ± 0,021	
26	LJUBLJANA BEŽIGRAD	0,377 ± 0,075		0,382 ± 0,076		0,759 ± 0,107		0,063 ± 0,013		0,063 ± 0,013		0,063 ± 0,018	
27	BRNIK AERODROM	0,536 ± 0,107		0,552 ± 0,110		1,088 ± 0,154		0,090 ± 0,018		0,091 ± 0,018		0,091 ± 0,026	
28	JEZERSKO	0,490 ± 0,098		0,505 ± 0,101		0,995 ± 0,141		0,082 ± 0,016		0,083 ± 0,017		0,083 ± 0,023	
29	PODLJUBELJ	0,365 ± 0,073		0,378 ± 0,076		0,743 ± 0,105		0,061 ± 0,012		0,063 ± 0,013		0,062 ± 0,018	
30	LESCE VRBNJE	0,341 ± 0,068		0,354 ± 0,071		0,695 ± 0,098		0,057 ± 0,011		0,059 ± 0,012		0,058 ± 0,016	
31	PLANINA POD GOLICO	0,401 ± 0,080		0,465 ± 0,093		0,866 ± 0,123		0,067 ± 0,013		0,077 ± 0,015		0,072 ± 0,020	
32	ZDENSKA VAS	0,453 ± 0,091		0,478 ± 0,096		0,930 ± 0,132		0,076 ± 0,015		0,079 ± 0,016		0,078 ± 0,022	
33	RATEČE	0,385 ± 0,077		0,437 ± 0,087		0,822 ± 0,117		0,065 ± 0,013		0,072 ± 0,014		0,069 ± 0,019	
34	TRENTA	0,279 ± 0,056		0,285 ± 0,057		0,563 ± 0,080		0,047 ± 0,009		0,047 ± 0,009		0,047 ± 0,013	
35	LOG POD MANGARTOM	0,389 ± 0,078		0,452 ± 0,090		0,841 ± 0,119		0,065 ± 0,013		0,075 ± 0,015		0,070 ± 0,020	
36	BOVEC	0,348 ± 0,070		0,372 ± 0,074		0,720 ± 0,102		0,059 ± 0,012		0,061 ± 0,012		0,060 ± 0,017	
37	TOLMIN	0,349 ± 0,070		0,377 ± 0,075		0,726 ± 0,103		0,059 ± 0,012		0,062 ± 0,012		0,061 ± 0,017	
38	BILJE NOVA GORICA	0,297 ± 0,059		0,309 ± 0,062		0,606 ± 0,086		0,050 ± 0,010		0,051 ± 0,010		0,051 ± 0,014	
39	VEDRJAN KOJSKO	0,415 ± 0,083		0,390 ± 0,078		0,805 ± 0,114		0,070 ± 0,014		0,064 ± 0,013		0,067 ± 0,019	
40	LOKEV PRI LIPICI	0,475 ± 0,095		0,478 ± 0,096		0,953 ± 0,135		0,080 ± 0,016		0,079 ± 0,016		0,079 ± 0,022	
41	SEČOVLJE AERODROM	0,331 ± 0,066		0,351 ± 0,070		0,682 ± 0,096		0,056 ± 0,011		0,058 ± 0,012		0,057 ± 0,016	
42	KOSEZE IL. BISTRICA	0,390 ± 0,078		0,381 ± 0,076		0,771 ± 0,109		0,066 ± 0,013		0,063 ± 0,013		0,064 ± 0,018	
43	ZALOG POSTOJNA	0,426 ± 0,085		0,446 ± 0,089		0,872 ± 0,123		0,072 ± 0,014		0,074 ± 0,015		0,073 ± 0,021	
44	NOVA VAS NA BLOKAH	0,525 ± 0,105		0,578 ± 0,116		1,103 ± 0,156		0,088 ± 0,018		0,096 ± 0,019		0,092 ± 0,026	
45	VRHNIKA	0,452 ± 0,090		0,659 ± 0,132		1,112 ± 0,160		0,076 ± 0,015		0,109 ± 0,022		0,093 ± 0,027	
46	VOJSKO	0,352 ± 0,070		0,395 ± 0,079		0,747 ± 0,106		0,059 ± 0,012		0,065 ± 0,013		0,062 ± 0,018	
47	SORICA	0,341 ± 0,068		0,366 ± 0,073		0,707 ± 0,100		0,057 ± 0,011		0,061 ± 0,012		0,059 ± 0,017	
48	STARNA FUŽINA	0,287 ± 0,057		0,321 ± 0,064		0,609 ± 0,086		0,048 ± 0,010		0,053 ± 0,011		0,051 ± 0,014	
49	JELENJA VAS ISKRBA	0,632 ± 0,126		0,709 ± 0,142		1,341 ± 0,190		0,106 ± 0,021		0,117 ± 0,023		0,112 ± 0,032	
50	KREDARICA	0,412 ± 0,082		0,359 ± 0,072		0,771 ± 0,109		0,069 ± 0,014		0,059 ± 0,012		0,064 ± 0,018	
Število merilnih mest		50	št.	50	št.	50	št.	50	št.	50	št.	50	št.
Povprečje - merilna mesta		0,412 ± 0,084		0,426 ± 0,087		0,838 ± 0,147		0,069 ± 0,014		0,070 ± 0,014		0,070 ± 0,020	
Najvišja doza		0,632 ± 0,126 <sup>(49)</sup>		0,709 ± 0,142 <sup>(49)</sup>		1,341 ± 0,190 <sup>(49)</sup>		0,106 ± 0,021 <sup>(49)</sup>		0,117 ± 0,023 <sup>(49)</sup>		0,112 ± 0,032 <sup>(49)</sup>	
Najnižja doza		0,279 ± 0,056 <sup>(34)</sup>		0,285 ± 0,057 <sup>(34)</sup>		0,563 ± 0,080 <sup>(34)</sup>		0,047 ± 0,009 <sup>(34)</sup>		0,047 ± 0,009 <sup>(34)</sup>		0,047 ± 0,013 <sup>(34)</sup>	

\* Dozimeter je bil izgubljen, ukraden, oz. do priprave tega poročila še ni bil vrnjen v odčitovanje; če so bili podatki na voljo, so navedene vrednosti dobljene z ekstrapolacijo iz podatkov za prvo oz. drugo polletje.

\*\* Negotovost rezultatov meritev podajamo za interval zaupanja 95 % .

## 8.9 Pitna voda

**Tabela 8.28 | Koncentracije aktivnosti izotopov v vzorcih pitne vode PJS**

Vzorč. mesto	Ljubljana - Jarše (Vrtec Jarše)	Ljubljana (Vrtec Pod Gradom)	Ormož (OŠ Miklavž pri Ormožu)	Maribor (Vrtec Kamnica)
Datum vzor.	25. 3. 2022	25. 3. 2022	10. 3. 2022	10. 3. 2022
Kol. vzorca (L)	<b>52,29</b>	<b>52,40</b>	<b>51,76</b>	<b>52,16</b>
Koda vzorca	RP22VD1000A31	RP22VD1000B31	RP22VD227531	RP22VD235131
IZOTOP	KONCENTRACIJA AKTIVNOSTI (Bq/m <sup>3</sup> )			
U-238	1,8E+00 ± 1E+00	2,6E-01 ± 4E+00 ‡	1,6E+01 ± 2E+00	6,5E+00 ± 1E+00
Ra-226	3,3E+00 ± 5E-01	1,7E+00 ± 9E-01	5,7E+00 ± 7E-01	7,3E+00 ± 1E+00
Pb-210	4,4E-01 †	5,8E-01 ± 2E+00 ‡	1,8E+01 ± 1E+00	3,4E+00 ± 3E+00 ‡
Ra-228	5,3E-01 ± 2E-01	7,9E-01 ± 4E-01	2,6E+00 ± 2E-01	2,8E+00 ± 4E-01
Th-228	1,0E+00 ± 3E-01	2,6E-01 ± 2E-01	3,6E-01 ± 6E-02	7,8E-01 ± 3E-01
Th-230				
K-40	4,4E+01 ± 2E+00	1,8E+01 ± 2E+00	5,4E+01 ± 3E+00	9,1E+01 ± 4E+00
Be-7		2,8E-01 ± 2E+00 ‡	9,6E+00 ± 1E+00	2,3E+00 ± 1E+00
I-131				
Cs-134				
Cs-137				
Co-58				
Co-60				
Cr-51				
Mn-54				
Zn-65				
Nb-95				
Ru-106				
Sb-125				
Sr-89/Sr-90	2,2E-01 ± 6E-02	3,6E-02 †	3,0E+00 ± 2E-01	1,4E+00 ± 1E-01
H-3	4,5E+02 ± 5E+01	5,6E+02 ± 6E+01	6,0E+02 ± 6E+01	6,8E+02 ± 7E+01

Vzorč. mesto	Mežica (Šumc) Vrtec Mežica	Poljčane - Rogaška Slatina (I. osnovna šola Rogaška Slatina)	Rimske Toplice (Vrtec Rimske Toplice)	Žalec (Podružnična OŠ Trje)
Datum vzor.	11. 5. 2022	11. 5. 2022	15. 4. 2022	10. 3. 2022
Kol. vzorca (L)	<b>51,45</b>	<b>51,50</b>	<b>49,09</b>	<b>51,90</b>
Koda vzorca	RP22VD239251	RP22VD325051	RP22VD327241	RP22VD331031
IZOTOP	KONCENTRACIJA AKTIVNOSTI (Bq/m <sup>3</sup> )			
U-238	1,4E+00 ± 3E+00 ‡	1,1E+01 ± 2E+00	4,8E+00 ± 1E+00	1,4E+00 ± 1E+00
Ra-226	3,5E+00 ± 1E+00	5,9E-01 †	6,6E-01 †	4,0E+00 ± 7E-01
Pb-210	1,8E+00 ± 2E+00 ‡	5,7E-01 ± 3E-01	6,8E-01 ± 2E-01	3,4E+00 ± 2E+00
Ra-228	1,0E+00 ± 4E-01	4,1E-01 ± 2E-01	7,8E+00 ± 2E+00	1,2E+00 ± 3E-01
Th-228	7,2E-01 ± 2E-01			3,6E-01 ± 2E-01
Th-230				
K-40	6,1E+00 ± 2E+00	1,8E+01 ± 3E+00		
Be-7	1,0E+00 ± 1E+00 ‡	4,5E+00 ± 9E-01		
I-131				
Cs-134				
Cs-137				
Co-58				
Co-60				
Cr-51				
Mn-54				
Zn-65				
Nb-95				
Ru-106				
Sb-125				
Sr-89/Sr-90	4,0E-02 †	5,0E-02 †	5,1E-02 †	2,8E-01 ± 6E-02
H-3	5,1E+02 ± 8E+01	4,2E+02 ± 8E+01	3,3E+02 ± 8E+01	4,6E+02 ± 5E+01

**Tabela 8.29** | Koncentracije aktivnosti izotopov v vzorcih pitne vode – nadaljevanje  IJS

Vzorč. mesto	Bovec - Čezsoča (OŠ Čezsoča)	Idrija (Otroški vrtec Idrija, Za Gradom)	Branik (Hubelj, Ajdovščina) (Sirarstvo Orel)	Novo mesto - Stopiče (Gostilna Slatnik)
Datum vzor.	24. 3. 2022	24. 3. 2022	11. 5. 2022	14. 4. 2022
Kol. vzorca (L)	51,98	52,10	52,84	51,85
Koda vzorca	RP22VD523031	RP22VD528031	RP22VD529551	RP22VD800041
IZOTOP	KONCENTRACIJA AKTIVNOSTI (Bq/m <sup>3</sup> )			
U-238	8,4E-01 ± 5E-01		1,9E+00 ± 9E-01	4,6E+00 ± 3E+00
Ra-226	5,4E-01 ± 2E-01	4,8E+00 ± 8E-01	9,4E-01 ± 8E-01 ‡	7,1E-01 ± 5E-01
Pb-210	1,8E+00 ± 4E-01	5,2E-01 ± 2E+00 ‡	3,4E+00 ± 3E+00 ‡	3,5E+00 ± 2E+00
Ra-228	4,8E-01 ± 2E-01	8,9E-02 ± 3E-01 ‡	4,4E-01 ± 5E-01 ‡	4,3E-01 ± 5E-01 ‡
Th-228	2,4E-01 ± 1E-01	2,2E-01 ± 2E-01	8,3E-01 ± 1E-01	2,2E-01 ± 2E-01 ‡
Th-230		2,3E+01 ± 1E+01		
K-40	7,3E+00 ± 8E-01	8,0E+00 ± 2E+00	4,7E+00 ± 2E+00	1,7E+01 ± 2E+00
Be-7	4,9E+00 ± 9E-01		4,7E+00 ± 8E-01	3,4E+00 ± 1E+00
I-131				
Cs-134				
Cs-137				
Co-58				
Co-60				
Cr-51				
Mn-54				
Zn-65				
Nb-95				
Ru-106				
Sb-125				
Sr-89/Sr-90	3,0E+00 ± 2E-01	6,1E-01 ± 8E-02	1,9E+00 ± 1E-01	6,3E-01 ± 8E-02
H-3	4,4E+02 ± 8E+01	4,6E+02 ± 5E+01	3,7E+02 ± 8E+01	5,4E+02 ± 8E+01

Vzorč. mesto	Krško - Leskovec (VVO Veliki Podlog)	Škocjan (Rabzelj)	Ljutomer - Mota (Vrtec Cven)
Datum vzor.	14. 4. 2022	14. 4. 2022	10. 3. 2022
Kol. vzorca (L)	48,95	50,46	51,55
Koda vzorca	RP22VD827341	RP22VD827541	RP22VD924031
IZOTOP	KONCENTRACIJA AKTIVNOSTI (Bq/m <sup>3</sup> )		
U-238	4,5E+00 ± 1E+00	4,4E+00 ± 1E+00	3,8E+00 ± 2E+00
Ra-226	2,4E+00 ± 4E-01	3,7E+00 ± 5E-01	2,0E+00 ± 5E-01
Pb-210	1,5E+00 ± 3E+00 ‡	1,0E+01 ± 4E+00	3,4E+00 ± 3E+01 ‡
Ra-228	1,3E+00 ± 4E-01	1,4E+00 ± 4E-01	1,5E+00 ± 3E-01
Th-228	7,6E-01 ± 2E-01	4,8E-01 ± 2E-01	2,4E-01 ± 2E-01 ‡
Th-230			
K-40	2,8E+01 ± 2E+00	1,5E+01 ± 2E+00	6,8E+01 ± 3E+00
Be-7		5,0E+00 ± 9E-01	3,7E+00 ± 1E+00
I-131			
Cs-134			
Cs-137			
Co-58			
Co-60			
Cr-51			
Mn-54			
Zn-65			
Nb-95			
Ru-106			
Sb-125			
Sr-89/Sr-90	2,1E-01 ± 6E-02	4,3E-02 †	2,5E-01 ± 6E-02
H-3	1,4E+03 ± 1E+02	2,9E+02 ± 8E+01	6,7E+02 ± 7E+01

## 8.10 Hrana

**Tabela 8.30 | Koncentracije aktivnosti izotopov v vzorcih mleka - Ljubljana ZVD**

Oznaka vzorca	MLJ0222	MLJ0422	MLJ0622	MLJ0822	MLJ1022	MLJ1222	
Vzorec	Mleko (kravje)	Mleko (kravje)	Mleko (kravje)	Mleko (kravje)	Mleko (kravje)	Mleko (kravje)	
Lokacija	Ljubljana	Ljubljana	Ljubljana	Ljubljana	Ljubljana	Ljubljana	
Dat. vzorčenja	1.1.22-28.2.22	1.3.22-30.4.22	1.5.22-30.6.22	1.7.22-31.8.22	1.9.22-31.10.22	1.11.22-31.12.22	povprečje
Dat. meritve	6.4.22	13.6.22	31.8.22	24.10.22	19.12.22	23.1.23	vseh
Količina vzorca	10846 g	10870 g	10816 g	9900 g	10842 g	10928 g	vzorcev
Izotop	SPECIFIČNA AKTIVNOST (Bq/kg)					preračunana na datum vzorčenja	
U-238	7,0E-2 ± 6E-2						1,2E-2 ± 3E-2
Ra-226 *	1,7E-2 ± 6E-3	1,4E-2 ± 4E-3		2,5E-2 ± 8E-3	5,1E-2 ± 7E-3	1,1E-2 ± 7E-3	2,0E-2 ± 2E-2
Pb-210	< 2,5E-1	< 2,0E-1	9,4E-2 ± 6E-2	< 4,0E-1	< 3,6E-1	4,6E-2 ± 4E-2	1,2E-1 ± 8E-2
Ra-228						2,3E-2 ± 1E-2	3,9E-3 ± 1E-2
Th-228	3,7E-2 ± 2E-2				6,5E-2 ± 2E-2	1,6E-2 ± 1E-2	2,0E-2 ± 3E-2
K-40	4,7E+1 ± 3E+0	4,8E+1 ± 3E+0	4,7E+1 ± 3E+0	4,8E+1 ± 2E+0	4,7E+1 ± 2E+0	4,4E+1 ± 2E+0	4,7E+1 ± 3E+0
Be-7							
Cs-134							
Cs-137	3,6E-2 ± 5E-3	3,0E-2 ± 4E-3	3,9E-2 ± 6E-3	3,0E-2 ± 5E-3	4,3E-2 ± 5E-3	2,8E-2 ± 3E-3	3,4E-2 ± 7E-3
I-131							
Sr-90	1,4E-2 ± 8E-3	1,0E-2 ± 5E-3	1,8E-2 ± 4E-3	1,4E-2 ± 4E-3	8,0E-2 ± 1E-2	1,6E-2 ± 4E-3	2,5E-2 ± 3E-2
H-3 **							

\* Izhajanje radona iz posodice pri izračunu ni upoštevano

\*\* Meritev izotopa ni v programu meritve

**Tabela 8.31 | Koncentracije aktivnosti izotopov v vzorcih mleka - Kobarid ZVD**

Oznaka vzorca	MLKO0222	MLKO0422	MLKO0622	MLKO0822	MLKO1022	MLKO1222	
Vzorec	Mleko (kravje)	Mleko (kravje)	Mleko (kravje)	Mleko (kravje)	Mleko (kravje)	Mleko (kravje)	
Lokacija	Kobarid	Kobarid	Kobarid	Kobarid	Kobarid	Kobarid	
Dat. vzorčenja	1.1.22-28.2.22	1.3.22-30.4.22	1.5.22-30.6.22	1.7.22-31.8.22	1.9.22-31.10.22	1.11.22-31.12.22	povprečje
Dat. meritve	6.4.22	13.6.22	31.8.22	24.10.22	19.12.22	23.1.23	vseh
Količina vzorca	10620 g	10068 g	10238 g	10628 g	10544 g	10645 g	vzorcev
Izotop	SPECIFIČNA AKTIVNOST (Bq/kg)					preračunana na datum vzorčenja	
U-238							
Ra-226 *	1,3E-2 ± 3E-3	6,0E-3 ± 2E-3	2,0E-2 ± 6E-3	2,9E-2 ± 8E-3	1,2E-2 ± 3E-3	3,8E-2 ± 5E-3	2,0E-2 ± 1E-2
Pb-210	< 1,5E-1	< 1,1E-1	< 2,8E-1	1,0E-2 ± 6E-2	< 1,5E-1	3,8E-2 ± 3E-2	6,4E-2 ± 6E-2
Ra-228		8,5E-2 ± 3E-2	4,3E-2 ± 2E-2			2,1E-2 ± 1E-2	2,5E-2 ± 4E-2
Th-228	2,6E-2 ± 7E-3	2,9E-2 ± 1E-2	3,8E-2 ± 2E-2	8,8E-3 ± 6E-3	1,9E-1 ± 5E-2	4,9E-2 ± 7E-2	
K-40	5,1E+1 ± 3E+0	4,6E+1 ± 2E+0	4,8E+1 ± 3E+0	4,9E+1 ± 3E+0	4,8E+1 ± 3E+0	4,7E+1 ± 2E+0	4,8E+1 ± 3E+0
Be-7							
Cs-134							
Cs-137	5,3E-2 ± 3E-3	2,7E-2 ± 2E-3	3,7E-2 ± 4E-3	5,8E-2 ± 6E-3	4,7E-2 ± 3E-3	4,2E-2 ± 3E-3	4,4E-2 ± 1E-2
I-131							
Sr-90	2,4E-2 ± 4E-3	< 8,6E-3	2,6E-2 ± 5E-3	3,9E-2 ± 5E-3	1,0E-2 ± 1E-2	6,0E-3 ± 4E-3	1,8E-2 ± 1E-2
H-3 **							

\* Izhajanje radona iz posodice pri izračunu ni upoštevano

\*\* Meritev izotopa ni v programu meritve

**Tabela 8.32 | Koncentracije aktivnosti izotopov v vzorcih mleka - Bohinjska Bistrica ZVD**

Oznaka vzorca	MLBB0222	MLBB0422	MLBB0622	MLBB0822	MLBB1022	MLBB1222	
Vzorec	Mleko (kravje)	Mleko (kravje)	Mleko (kravje)	Mleko (kravje)	Mleko (kravje)	Mleko (kravje)	
Lokacija	Bohinjska Bistrica	Bohinjska Bistrica	Bohinjska Bistrica	Bohinjska Bistrica	Bohinjska Bistrica	Bohinjska Bistrica	
Dat. vzorčenja	1.1.22-28.2.22	1.3.22-30.4.22	1.5.22-30.6.22	1.7.22-31.8.22	1.9.22-31.10.22	1.11.22-31.12.22	povprečje
Dat. meritve	6.4.22	13.6.22	31.8.22	24.10.22	19.12.22	11.1.23	vseh
Količina vzorca	9912 g	9370 g	9750 g	10436 g	10560 g	9649 g	vzorcev
Izotop	SPECIFIČNA AKTIVNOST (Bq/kg)					preračunana na datum vzorčenja	
U-238					1,1E-1 ± 6E-2		1,8E-2 ± 4E-2
Ra-226 *	4,5E-2 ± 1E-2	1,6E-2 ± 4E-3	1,5E-2 ± 6E-3	2,6E-2 ± 8E-3	2,1E-2 ± 7E-3	4,9E-2 ± 6E-3	2,9E-2 ± 2E-2
Pb-210	1,2E-1 ± 5E-2	< 1,9E-1	< 2,3E-1	< 2,0E-1	< 2,9E-1	< 2,8E-1	1,2E-1 ± 5E-2
Ra-228	3,4E-2 ± 2E-2						5,7E-3 ± 1E-2
Th-228		1,6E-1 ± 9E-2	2,8E-2 ± 1E-2		1,8E-2 ± 2E-2		3,5E-2 ± 7E-2
K-40	4,8E+1 ± 3E+0	4,8E+1 ± 3E+0	4,9E+1 ± 3E+0	5,0E+1 ± 3E+0	4,7E+1 ± 3E+0	4,6E+1 ± 2E+0	4,8E+1 ± 3E+0
Be-7							
Cs-134							
Cs-137	2,4E-2 ± 5E-3	1,7E-2 ± 3E-3	1,3E-2 ± 3E-3	< 2,5E-2	1,4E-2 ± 7E-3	< 2,4E-2	1,5E-2 ± 7E-3
I-131							
Sr-90	1,9E-2 ± 9E-3	1,6E-2 ± 7E-3	8,8E-3 ± 4E-3	2,2E-2 ± 6E-3	4,0E-2 ± 1E-2	3,4E-2 ± 5E-3	2,3E-2 ± 1E-2
H-3 **							

\* Izhajanje radona iz posodice pri izračunu ni upoštevano

\*\* Meritev izotopa ni v programu meritve

**Tabela 8.33 | Koncentracije aktivnosti izotopov v vzorcih mleka - Murska Sobota ZVD**

Oznaka vzorca	MLMS022	MLMS0422	MLMS0622	MLMS0822	MLMS1022	MLMS1222	
Vzorec	Mleko v prahu (kravje)	Mleko v prahu (kravje)	Mleko v prahu (kravje)	Mleko v prahu (kravje)	Mleko v prahu (kravje)	Mleko v prahu (kravje)	
Lokacija	Murska Sobota	Murska Sobota	Murska Sobota	Murska Sobota	Murska Sobota	Murska Sobota	
Dat. vzorčenja	1.12.22-28.2.22	1.3.22-30.4.22	1.5.22-30.6.22	1.7.22-31.8.22	1.9.22-31.10.22	1.11.22-31.12.22	povprečje
Dat. meritve	6.4.22	13.6.22	31.8.22	24.10.22	19.12.22	23.1.23	vseh
Količina vzorca	500 g	500 g	500 g	520,5 g	500 g	500 g	vzorcev
Izotop	SPECIFIČNA AKTIVNOST (Bq/kg)					preračunana na datum vzorčenja	
U-238	1,1E+0 ± 8E-1						1,9E-1 ± 5E-1
Ra-226 *	2,4E-1 ± 1E-1						8,8E-2 ± 1E-1
Pb-210	1,8E+0 ± 9E-1	< 5,1E+0	5,1E-1 ± 9E-1	< 4,3E+0	1,4E+0 ± 1E+0	< 3,5E+0	1,7E+0 ± 1E+0
Ra-228		7,6E-1 ± 3E-1	5,3E-1 ± 4E-1		4,7E-1 ± 5E-1		2,9E-1 ± 4E-1
Th-228	3,1E-1 ± 2E-1		1,2E+0 ± 3E-1	8,6E-1 ± 3E-1		3,4E+0 ± 1E+0	9,6E-1 ± 1E+0
K-40	5,4E+2 ± 3E+1	5,5E+2 ± 3E+1	5,6E+2 ± 4E+1	5,5E+2 ± 4E+1	5,3E+2 ± 4E+1	5,6E+2 ± 4E+1	5,5E+2 ± 4E+1
Be-7							
Cs-134							
Cs-137	4,1E-1 ± 6E-2	5,6E-1 ± 9E-2	6,3E-1 ± 1E-1	1,4E-1 ± 1E-1	6,4E-1 ± 1E-1	4,0E-1 ± 7E-2	4,6E-1 ± 2E-1
I-131							
Sr-90	8,2E-1 ± 2E-1	1,0E-1 ± 7E-2	< 1,1E-1	3,8E-1 ± 7E-2	5,1E-1 ± 9E-2	4,7E-1 ± 7E-2	3,9E-1 ± 3E-1
H-3 **							

\* Izhajanje radona iz posodice pri izračunu ni upoštevano

\*\* Meritev izotopa ni v programu meritve

**Tabela 8.34 | Koncentracije aktivnosti izotopov v vzorcih živil živalskega izvora ZVD**

Oznaka vzorca	MS010522	MS020522	MS030522	MS040522	MS050522	MS060622	MS070622	MS080822	
Vzorec	Meso (govedina)	Meso (piščanče)	Meso (svinjina)	Jajca (kokošja)	Divjadična (divja svinja)	Med	Postrv	Sir (kravji)	
Lokacija	Cerkno	Križevci	Leskovec pri Krškem	Gorenja vas	Slovenske Konjice	Dobrova	Muta	Ptuj	
Poreklo, oznaka naroč.	Slovenija, ni št.vzorca	Slovenija, 11747321	Slovenija, 11705857	Slovenija, 11845270	Slovenija, 11229674	Slovenija, 11391494	Slovenija, 11280651	Slovenija, 11196600	
Dat. vzorčenja	4.5.22	4.5.22	9.5.22	10.5.22	17.5.22	8.6.22	21.6.22	9.8.22	povprečje
Dat. meritve	31.8.22	31.8.22	31.8.22	31.8.22	26.9.22	26.9.22	2.9.22	14.10.22	vseh
Količina vzorca	1630 g	1422 g	2000 g	1412 g	1300 g	1742 g	1176 g	1308 g	vzorcev
Izotop	SPECIFIČNA AKTIVNOST (Bq/kg)					preračunana na datum vzorčenja			
U-238									
Ra-226 *	6,4E-2 ± 2E-2	1,6E-2 ± 1E-2	1,1E-1 ± 2E-2	1,8E-1 ± 1E-2		2,6E-2 ± 4E-3	8,8E-2 ± 3E-2	6,9E-2 ± 2E-2	6,9E-2 ± 6E-2
Pb-210	2,2E-1 ± 1E-1	< 4,4E-1	< 8,8E-1	< 3,0E-1	< 1,3E+0	1,1E-1 ± 2E-2	3,5E-1 ± 3E-1	1,2E-2 ± 2E-1	2,7E-1 ± 2E-1
Ra-228	1,3E-1 ± 4E-2			7,2E-2 ± 2E-2					2,5E-2 ± 5E-2
Th-228							1,0E-1 ± 8E-2		1,3E-2 ± 4E-2
K-40	8,3E+1 ± 5E+0	4,3E+1 ± 2E+0	6,6E+1 ± 4E+0	4,2E+1 ± 2E+0	9,5E+1 ± 5E+0	2,2E+1 ± 1E+0	1,1E+2 ± 7E+0	2,9E+1 ± 2E+0	6,2E+1 ± 3E+1
Be-7						2,2E-1 ± 2E-2			2,8E-2 ± 8E-2
Cs-134									
Cs-137	7,4E-2 ± 1E-2	< 6,4E-2	9,1E-2 ± 1E-2	1,5E-2 ± 5E-3	4,2E+0 ± 1E-1	3,3E-1 ± 9E-3	< 2,0E-1	< 1,1E-1	6,1E-1 ± 1E+0
I-131									
Sr-90	< 2,6E-2	< 1,9E-2	< 2,6E-2	< 1,5E-2	< 3,4E-2	4,2E-2 ± 1E-2	9,9E-2 ± 6E-2	< 7,8E-2	3,0E-2 ± 3E-2
H-3 **									

\* Izhajanje radona iz posodice pri izračunu ni upoštevano

\*\* Meritev izotopa ni v programu meritve

**Tabela 8.35 | Koncentracije aktivnosti izotopov v vzorcih kruha in žitaric ZVD**

Oznaka vzorca	MO010322	MO020322	MO030322	MO040422	MO050422	MO060422	
Vzorec	Kruh (beli)	Moka (koruzna)	Moka (bela)	Moka (ržena)	Ješprenj	Riž	
Lokacija	Ljubljana	Krško	Krško	Naklo	Naklo	Naklo	
Poreklo, oznaka naroč.	Slovenija, 12114085	Slovenija, 12114061	Slovenija, 12114078	Slovenija, 11864097	EU, 11864066	Italija, 11864073	
Dat. vzorčenja	23.3.22	23.3.22	23.3.22	13.4.22	13.4.22	13.4.22	povprečje
Dat. meritve	19.5.22	19.5.22	19.5.22	9.6.22	9.6.22	15.6.22	vseh
Količina vzorca	2800 g	3000 g	3000 g	2000 g	2000 g	2000 g	vzorcev
Izotop	SPECIFIČNA AKTIVNOST (Bq/kg)					preračunana na datum vzorčenja	
U-238	1,1E-1 ± 1E-1						1,8E-2 ± 5E-2
Ra-226 *	2,9E-2 ± 1E-2	5,3E-1 ± 2E-2	5,3E-3 ± 3E-3	2,8E-1 ± 2E-2	8,3E-2 ± 1E-2	7,2E-1 ± 2E-2	2,7E-1 ± 3E-1
Pb-210	< 4,8E-1	1,1E-1 ± 8E-2	< 1,0E-1	3,0E-1 ± 1E-1	1,2E-1 ± 9E-2	< 3,2E-1	1,6E-1 ± 1E-1
Ra-228	6,7E-2 ± 2E-2	8,4E-2 ± 6E-2	4,0E-2 ± 6E-3	8,8E-2 ± 3E-2	9,8E-2 ± 3E-2		6,3E-2 ± 4E-2
Th-228	1,2E-1 ± 3E-2		2,0E-2 ± 6E-3	1,1E-1 ± 3E-2		7,5E-2 ± 2E-2	5,5E-2 ± 6E-2
K-40	3,4E+1 ± 2E+0	3,7E+1 ± 2E+0	3,9E+1 ± 2E+0	1,7E+2 ± 9E+0	1,2E+2 ± 6E+0	2,1E+1 ± 1E+0	7,0E+1 ± 6E+1
Be-7							
Cs-134							
Cs-137	< 6,1E-2	< 5,4E-2	< 1,3E-2	< 7,7E-2	3,6E-2 ± 8E-3	5,3E-2 ± 8E-3	3,2E-2 ± 2E-2
I-131							
Sr-90	2,5E-2 ± 1E-2	< 1,6E-2	< 8,0E-3	1,9E-1 ± 3E-2	< 2,0E-2	< 2,5E-2	4,2E-2 ± 7E-2
H-3 **							

\* Izhajanje radona iz posodice pri izračunu ni upoštevano

\*\* Meritev izotopa ni v programu meritve

Tabela 8.36 | Koncentracije aktivnosti izotopov v vzorcih zelenjave ZVD

Oznaka vzorca	SZ010422	SZ020522	SZ030522	SZ040622	SZ050722	SZ060922	
Vzorec	Paradižnik	Kumare	Radič	Šampinjoni	Česen	Krompir	
Lokacija	Ljubljana	Velenje	Celje	Log pri Brezovici	Koper	Koper	
Poreklo, oznaka naroč.	Slovenija, 11632542	Hrvaška, 11960126	Italija, 11960119	Slovenija, 11915157	Egipt, 11998976	Egipt, 11999416	
Dat. vzorčenja	6.4.22	26.5.22	26.5.22	8.6.22	8.7.22	9.9.22	povprečje
Dat. meritve	19.5.22	29.8.22	29.8.22	22.9.22	22.9.22	14.10.22	vseh
Količina vzorca	4042 g	6246 g	3700 g	4700 g	1736 g	4000 g	vzorcev
Izotop	SPECIFIČNA AKTIVNOST (Bq/kg)					preračunana na datum vzorčenja	
U-238	8,2E-2 ± 4E-2						1,4E-2 ± 3E-2
Ra-226 *	2,5E-2 ± 2E-2	1,6E-2 ± 5E-3			1,1E-1 ± 2E-2	4,0E-2 ± 7E-3	3,2E-2 ± 4E-2
Pb-210	9,2E-2 ± 8E-2	< 2,2E-1	< 4,2E-1	< 2,0E-1	3,5E-1 ± 1E-1	< 2,9E-1	1,7E-1 ± 1E-1
Ra-228	6,5E-2 ± 5E-2	4,2E-2 ± 1E-2			9,8E-2 ± 6E-2	2,8E-2 ± 2E-2	3,9E-2 ± 4E-2
Th-228	5,8E-2 ± 2E-2		3,6E-2 ± 2E-2		8,7E-1 ± 3E-1	1,5E-2 ± 1E-2	1,6E-1 ± 4E-1
K-40	8,9E+1 ± 5E+0	5,3E+1 ± 3E+0	6,8E+1 ± 4E+0	1,1E+2 ± 6E+0	1,4E+2 ± 8E+0	9,8E+1 ± 5E+0	9,4E+1 ± 3E+1
Be-7				7,0E-2 ± 2E-2			1,2E-2 ± 3E-2
Cs-134							
Cs-137	< 5,1E-2	< 2,4E-2	< 5,5E-2	3,1E-2 ± 3E-3	< 1,1E-1	< 3,0E-2	2,8E-2 ± 2E-2
I-131							
Sr-90	< 2,2E-2	1,4E-2 ± 4E-3	< 7,0E-3	< 5,0E-3	< 2,8E-2	< 7,0E-3	8,1E-3 ± 6E-3
H-3 **							

\* Izhanjanje radona iz posodice pri izračunu ni upoštevano

\*\* Meritev izotopa ni v programu meritve

Tabela 8.37 | Koncentracije aktivnosti izotopov v vzorcih sadja ZVD

Oznaka vzorca	SS010422	SS020422	SS030522	SS040522	SS050622	SS060722	
Vzorec	Borovnica	Avokado	Češnje	Marelice	Slive	Grozđje	
Lokacija	Ljubljana	Ljubljana	Velenje	Maribor	Maribor	Koper	
Poreklo, oznaka naroč.	Slovenija, 11632559	Španija, 11632535	Slovenija, 11960102	Slovenija, 11542889	Južna Afrika, 11542872	Egipt, 11998914	
Dat. vzorčenja	7.4.22	6.4.22	26.5.22	31.5.22	1.6.22	4.7.22	povprečje
Dat. meritve	19.5.22	19.5.22	29.8.22	29.8.22	29.8.22	2.9.22	vseh
Količina vzorca	4050 g	2454 g	2710 g	3600 g	3874 g	3780,4 g	vzorcev
Izotop	SPECIFIČNA AKTIVNOST (Bq/kg)					preračunana na datum vzorčenja	
U-238	5,9E-2 ± 4E-2						9,8E-3 ± 3E-2
Ra-226 *	1,9E-1 ± 8E-3	2,7E-2 ± 5E-3	2,7E-2 ± 1E-2	9,1E-3 ± 9E-3	1,5E-2 ± 5E-3	5,2E-2 ± 7E-3	5,3E-2 ± 7E-2
Pb-210	4,2E-1 ± 5E-2	< 1,9E-1	< 3,1E-1	1,3E-1 ± 5E-2	< 1,4E-1	< 2,3E-1	1,6E-1 ± 1E-1
Ra-228	2,3E-1 ± 2E-2						3,8E-2 ± 9E-2
Th-228	7,6E-2 ± 1E-2						1,3E-2 ± 3E-2
K-40	3,0E+1 ± 2E+0	9,8E+1 ± 5E+0	6,4E+1 ± 3E+0	7,6E+1 ± 4E+0	5,1E+1 ± 3E+0	7,5E+1 ± 4E+0	6,6E+1 ± 2E+1
Be-7	1,9E-1 ± 5E-2		3,6E-1 ± 4E-2	5,3E-1 ± 3E-2			1,8E-1 ± 2E-1
Cs-134							
Cs-137	1,5E+1 ± 4E-1	2,3E-2 ± 3E-3	2,1E-2 ± 5E-3	< 2,8E-2	< 1,9E-2	< 3,1E-2	2,4E+0 ± 6E+0
I-131							
Sr-90	2,8E-1 ± 3E-2	< 2,7E-2	< 1,3E-2	< 8,0E-3	< 1,4E-2	< 1,8E-2	5,3E-2 ± 1E-1
H-3 **							

\* Izhanjanje radona iz posodice pri izračunu ni upoštevano

\*\* Meritev izotopa ni v programu meritve

Tabela 8.38 | Koncentracije aktivnosti izotopov v vzorcih obroka hrane ZVD

Oznaka vzorca	OHNM0322	OHKP0322	OHLJ0322	OHMB0322	OHKR0422	
Vzorec	Otroška hrana	Otroška hrana	Otroška hrana	Otroška hrana	Otroška hrana	
Lokacija	Novo mesto	Koper	Ljubljana	Maribor	Kranj	letno
Dat. vzorčenja	7.3.22-11.3.22	14.3.22-18.3.22	28.2.22-4.3.22	21.3.22-25.3.22	19.4.22-22.4.22	povprečje
Dat. meritve	19.5.22	19.5.22	16.5.22	16.5.22	15.6.22	vseh
Količina vzorca	4662 g	3344 g	4522 g	4134 g	4300 g	vzorcev
Izotop	SPECIFIČNA AKTIVNOST (Bq/kg)					preračunana na datum oz. sredino intervala vzorčenja
U-238	5,7E-2 ± 5E-2					
Ra-226 *	8,6E-3 ± 2E-3	5,5E-2 ± 4E-2	1,6E-2 ± 9E-3		3,3E-2 ± 3E-3	2,3E-2 ± 2E-2
Pb-210	< 1,0E-1	< 2,5E-1	1,3E-1 ± 6E-2	< 3,3E-1	< 1,3E-1	1,1E-1 ± 7E-2
Ra-228	9,7E-3 ± 6E-3	3,1E-2 ± 2E-2		4,2E-2 ± 2E-2	2,4E-2 ± 8E-3	2,1E-2 ± 2E-2
Th-228			8,7E-2 ± 2E-2	4,2E-2 ± 2E-2	2,2E-2 ± 7E-3	3,0E-2 ± 4E-2
K-40	3,2E+1 ± 2E+0	4,9E+1 ± 3E+0	5,2E+1 ± 3E+0	4,9E+1 ± 3E+0	4,6E+1 ± 2E+0	4,6E+1 ± 8E+0
Be-7						
Cs-134						
Cs-137	3,9E-3 ± 1E-3	2,2E-2 ± 4E-3	2,2E-2 ± 4E-3	1,3E-2 ± 4E-3	1,1E-2 ± 2E-3	1,4E-2 ± 8E-3
I-131						
Sr-90	< 6,0E-3	< 7,0E-3	< 6,0E-3	< 7,0E-3	< 9,0E-3	
H-3 **						

\* Izhanjanje radona iz posodice pri izračunu ni upoštevano

\*\* Meritev izotopa ni v programu meritve

## 8.11 Krmila

Nadaljevanje na naslednji strani 164.

**Tabela 8.39 | Koncentracije aktivnosti izotopov v vzorcih krme ZVD**

Ornaka vorca	RV1580522	RV160522	RV1740622	RV179622	RV2180622	RV2190622	RV2250822	RV2260822	RV2280822
Vzorec	Trava	Krnila	Trava	Seno	Seno	Silaža (travna)	Silaža (koruzna)	Silaža (travna)	Silaža (koruzna)
Lokacija	šenčur	ljubljana - Zalog	Pivka	Sevnica	Boršt (RUŽV)	Gorenja Dobrava (RUŽV)	Ptuj	Ivančna Gorica	Borovnica
GPS koordinate	46°15'42.2"N 14°24'22.5"E	46°03'49.7"N 14°32'08.4"E	45°40'12.4"N 31.5.22	45°00'49.7"N 5.62	46°05'19.6"N 30.6.22	46°00'48.7"N 15°18'35.2"E	45°00'49.7"N 25.8.22	45°34'50.2"N 15°05'28.3"E	45°34'50.2"N 14°22'12.0"E
Dat. vzročenja	21.5.22	22.9.22	22.9.22	22.9.22	22.9.22	26.9.22	26.9.22	28.8.22	28.8.22
Dat. meritve	22.9.22	22.9.22	22.9.22	22.9.22	22.9.22	26.9.22	26.9.22	26.9.22	26.9.22
Kočična vorca	900 g	900 g	1000 g	700 g	520 g	590 g	570 g	1100 g	6200 g
Izotop									
U-238									
U-234									
Th-230									
Ra-226 *	5.9E-1 ± 6E-2	6.5E-1 ± 4E-2	2.6E+0 ± 1E-1	1.2E+0 ± 2E-1	1.1E+0 ± 2E-1	2.3E+0 ± 2E-1	3.8E+0 ± 2E-1	8.0E-1 ± 9E-2	3.1E+0 ± 9E-2
Pb-210	7.5E+0 ± 8E-1	< 1.2E+0	1.3E+0 ± 5E-1	1.4E+1 ± 2E+0	2.4E+1 ± 3E+0	8.4E+1 ± 7E+0	2.0E+1 ± 2E+0	2.4E+1 ± 2E+0	1.7E+1 ± 1E+0
Ra-228	3.5E-1 ± 1E-1	7.8E-1 ± 7E-2	1.1E+0 ± 6E-1	1.1E+0 ± 5E-1	1.4E+0 ± 4E-1	1.4E+0 ± 4E-1	5.4E-1 ± 2E-1	1.9E-1 ± 1E-1	1.7E-1 ± 1E-1
Th-228	1.9E-1 ± 1E-1	2.9E-1 ± 6E-2	6.2E-1 ± 2E-1	5.3E-1 ± 3E-1	7.0E-1 ± 3E-1	5.7E-1 ± 3E-1	3.4E-1 ± 2E-1	1.1E+0 ± 1E-1	1.8E-1 ± 9E-2
Ra-224									
Pb-212									
U-235									
K-40	4.9E+2 ± 3E+1	3.0E+2 ± 2E+1	2.5E+2 ± 1E+1	6.1E+2 ± 3E+1	5.3E+2 ± 4E+1	4.9E+2 ± 3E+1	7.0E+2 ± 4E+1	2.0E+2 ± 1E+1	7.1E+2 ± 4E+1
Be-7	4.7E+1 ± 2E+0			1.1E+2 ± 4E+0	2.1E+2 ± 1E+1	3.3E+1 ± 2E+0	6.6E+1 ± 3E+0	2.5E+1 ± 9E-1	7.6E+1 ± 9E+1
Cs-134									
Cs-137	2.6E-1 ± 3E-2								
I-131									
Sr-90	3.5E-1 ± 1E-1	2.0E-1 ± 1E-1	< 7.0E-2	2.4E-1 ± 1E-1	4.8E-1 ± 1E-1	4.3E+0 ± 8E-1	1.5E+0 ± 3E-1	2.5E-1 ± 8E-2	8.0E-1 ± 2E-1
H-3 **									

\* Izračanje radonja iz posodice pri izračunu ni upoštevano

\*\* Meritev izotopa niz program meritov



## 9 — Literatura

- [1] Državni zbor RS. Zakon o varstvu pred ionizirajočimi sevanji in jedrski varnosti. Ur. list RS št. 76/2017, 26/2019 in 172/2021, 2021.
- [2] Ministrstvo za okolje in prostor. Pravilnik o monitoringu radioaktivnosti. Ur. list RS št. 27/2018, 2018.
- [3] Ministrstvo za zdravje. Pravilnik o posebnih zahtevah varstva pred sevanji in načinu ocene doz. Ur. list RS št. 47/2018 in 30/2021, 2021.
- [4] Vlada RS. Uredba o mejnih dozah, referenčnih ravneh in radioaktivni kontaminaciji. Ur. list RS št. 18/2018, 2018.
- [5] ZVD. Sistem evidentiranja vzorcev za gamaspektrometrične in radiokemijske meritve ter spremeljanje vzorcev. delovni postopek številka DP-LMSAR-01, zadnja veljavna revizija.
- [6] ZVD. Vzorčenje, pakiranje in pošiljanje vzorcev iz biosfere, hrane in drugih bioloških vzorcev. delovni postopek številka DP-LMSAR-02, zadnja veljavna revizija.
- [7] ZVD. Priprava bioloških in nebioloških vzorcev za gamaspektrometrišno in radiokemijsko analizo. delovni postopek številka DP-LMSAR-03, zadnja veljavna revizija.
- [8] ZVD. Izračun aktivnosti in napaka meritve. delovni postopek številka DP-LMSAR-07, zadnja veljavna revizija.
- [9] ZVD. Metoda visokoločljivostne gamaspektrometrije. delovni postopek številka DP-LMSAR-09, zadnja veljavna revizija.
- [10] ZVD. Določitev specifične aktivnosti I-131 v mleku. delovni postopek številka DP-LMSAR-16, zadnja veljavna revizija.
- [11] ZVD. Kalibracije beta števca za določitev specifične aktivnosti I-131. delovni postopek številka DP-LMSAR-18, zadnja veljavna revizija.

- [12] ZVD. Opis metode za določitev aktivnosti Sr-89/90 v vzorcih iz okolja. delovni postopek številka DP-LMSAR-4.01, zadnja veljavna revizija.
- [13] ZVD. Kemijska obdelava vzorcev in merjenje aktivnosti Sr-89/90. delovni postopek številka DP-LMSAR-4.02, zadnja veljavna revizija.
- [14] ZVD. Izračun specifične aktivnosti Sr-89/90 in merilna negotovost. delovni postopek številka DP-LMSAR-4.03, zadnja veljavna revizija.
- [15] IJS. Visokoločljivostna spektrometrija gama v laboratoriju. delovni postopek številka LMR-DN-10, zadnja veljavna revizija.
- [16] IJS. Določanje stroncija z beta štetjem. delovni postopek številka SDN-O2-STC(01), zadnja veljavna revizija.
- [17] IJS. Navodilo za uporabo proporcionalnega števca. delovni postopek številka DP-O2-STC(01), zadnja veljavna revizija.
- [18] IJS. Meritev, analiza in izračun vsebnosti tritija. delovni postopek številka LSC-DN-07, zadnja veljavna revizija.
- [19] IJS. Določanje tritija s tekočinskim scintilacijskim štetjem. delovni postopek številka SDN-O2-SZC(02), zadnja veljavna revizija.
- [20] ZVD. Poročilo o izvajanju monitoringa radioaktivnosti v življenjskem okolju v Republiki Sloveniji v 2022. Poročilo LMSAR-20220018-D-MG, ZVD Zavod za varstvo pri delu, 2023.
- [21] IJS. Letno poročilo o opravljenih meritvah aktivnosti sevalcev gama in beta, Monitoring radioaktivnosti v življenjskem okolju v Republiki Sloveniji za leto 2022. Poročilo 2/2023, Institut "Jožef Stefan", 2023.
- [22] IJS. Ovrednotenje merskih podatkov o radioaktivnosti v življenjskem okolju v Republiki Sloveniji v letu 2022. Poročilo IJS-DP-14269, Institut "Jožef Stefan", 2023.
- [23] ZVD. Poročilo o izvajanju monitoringa radioaktivnosti živil v Republiki Sloveniji v 2022. Poročilo LMSAR-20220020-3-MP, ZVD Zavod za varstvo pri delu, 2023.
- [24] IJS. Letno poročilo o opravljenih meritvah aktivnosti sevalcev gama in beta, Monitoring radioaktivnosti pitne vode za leti 2022 (sklop 2). Poročilo 67/2022, Institut "Jožef Stefan", 2022.
- [25] ZVD. Poročilo o izvedbi vzorčenja in preiskav krme na aktivnost sevalcev gama in beta za leto 2022. Technical Report LMSAR-20220027-A-PJ, ZVD Zavod za varstvo pri delu, 2022.
- [26] ZVD. Poročilo o meritvah radioaktivnosti koncentracije radionuklida K-40 in drugih gama sevalcev na poljedelskih območjih. Poročilo LMSAR-20200031-MG, ZVD Zavod za varstvo pri delu, 2020.
- [27] ZVD. Poročanje posameznih in povprečnih vrednosti nizkih aktivnosti radionuklidov. navodilo za delo številka ND-LMSAR-06, zadnja veljavna revizija.

- [28] P. Jovanovič. Radiological incident in Spain and its influence in Slovenia. In *Proceedings of the Fourth Symposium of the Croatian Radiation Protection Association*, 11-13 Nov 19 1998. Zagreb (Croatia).
- [29] Ukrainian arborist. Forest fires in the ukraine chernobyl exclusion zone. [http://www.fire.uni-freiburg.de/GFMCnew/2016/07/20161707\\_ua-chernobyl.htm](http://www.fire.uni-freiburg.de/GFMCnew/2016/07/20161707_ua-chernobyl.htm), 2016.
- [30] State agency of Ukraine on Exclusion Zone management. Fire in the Chernobyl Exclusion Zone, Photo from the plane, april 2020. <http://dazv.gov.ua/en/news-and-media.html>, 2020.
- [31] The Guardian Andrew Roth. 'Bad news': radiation 16 times above normal after forest fire near Chernobyl, 06.04.2020. <https://www.theguardian.com/environment/2020/apr/06/bad-news-radiation-spikes-16-times-above-normal-after-forest-fire-near-chernobyl>, 2020.
- [32] Emergency Management Service Mapping COPERNICUS. EMSR435: Fire in Chernobyl, Ukraine, 02.05.2020. <https://emergency.copernicus.eu/mapping/list-of-components/EMSR435>, 2020.
- [33] S. Stoulos, A. Ioannidou, E. Vagena, P. Koseoglou, and M. Manolopoulou. Post-Chernobyl Cs-137 in the atmosphere of Thessaloniki: a consequence of the financial crisis in greece. *Journal of Environmental Radioactivity*, 128:68–74, 2014.
- [34] M. Hus, Košutić. K., and S. Lulić. Radioactive contamination of wood and its products. *Journal of Environmental Radioactivity*, 55(2):179–186, 2001. ISSN 0265-931X. doi: [http://dx.doi.org/10.1016/S0265-931X\(00\)00191-0](http://dx.doi.org/10.1016/S0265-931X(00)00191-0). URL <http://www.sciencedirect.com/science/article/pii/S0265931X00001910>.
- [35] I. Suchara, P. Rulík, J. Hůlka, and H. Pilátová. Retrospective determination of Cs-137 specific activity distribution in spruce bark and bark aggregated transfer factor in forests on the scale of the Czech Republic ten years after the Chernobyl accident. *Science of the Total Environment*, 409(11):1927–1934, 2011.
- [36] I. Lovrenčić, M. Volner, D. Barišić, M. Popijac, N. Kezić, I. Seletković, and S. Lulić. Distribution of Cs-137 , K-40 and Be-7 in silver fir-tree (*abies alba l.*) from gorski kotar, croatia. *Journal of Radioanalytical and Nuclear Chemistry*, 275(1):71–79, 2008. ISSN 0236-5731. doi: 10.1007/s10967-007-7009-2. URL <http://dx.doi.org/10.1007/s10967-007-7009-2>.
- [37] A. H. Rantavaara and L. J. Aro. Radiological impact of using forest tree biomass for energy and recycling the ash. *Radioprotection*, 44:927–932, 1 2009. ISSN 1769-700X. doi: 10.1051/radiopro/20095165. URL [http://www.radioprotection.org/article\\_S0033845109051655](http://www.radioprotection.org/article_S0033845109051655).
- [38] Constantin Cosma, Andra Rada Iurian, Reka Incze, Tibor Kovacs, and Zora Š. Žunić. The use of tree bark as long term biomonitor of <sup>137</sup>Cs deposition. *Journal of Environmental Radioactivity*, 153:126–133, 3 2016. ISSN 0265-931X. doi: 10.1016/j.jenvrad.2015.12.019.
- [39] ZVD. Poročilo o obsevanosti prebivalcev slovenije v letu 2013. Poročilo LMSAR-20140003-MG, ZVD Zavod za varstvo pri delu, 2014.

- [40] ZVD. Poročilo o obsevanosti prebivalcev Slovenije v letu 2014. Poročilo LMSAR-20150005-MG, ZVD Zavod za varstvo pri delu, 2015.
- [41] ZVD. Poročilo o obsevanosti prebivalcev Slovenije v letu 2015. Poročilo LMSAR-20160009-MG, ZVD Zavod za varstvo pri delu, 2016.
- [42] ZVD. Letna poročila o radioaktivnosti v življenjskem okolju Slovenije. Poročilo od 1964 dalje, ZVD Zavod za varstvo pri delu, 1964-.
- [43] IJS. Letna poročila o nadzoru radioaktivnosti v okolini Nuklearne elektrarne Krško. Poročilo od 2003 dalje, Institut "Jožef Stefan", 2003-.
- [44] Agencija RS za okolje. Državne evidence izpustov onesnaževal zraka, Agencija RS za okolje, 2022; preglednica ZR15-2: Struktura izpustov delcev, po sektorjih, Slovenija in EU-27, 2022. <http://kazalci.ars.si/sl/content/izpusti-delcev-v-zrak-9>, 2022.
- [45] Agencija RS za okolje. Povprečna mesečna koncentracija delcev PM10 v letu 2013. [http://www.ars.si/zrak/kakovost%20zraka/podatki/PM10\\_dec013\\_slo.pdf](http://www.ars.si/zrak/kakovost%20zraka/podatki/PM10_dec013_slo.pdf), 2014.
- [46] Agencija RS za okolje. Povprečna mesečna koncentracija delcev PM10 v letu 2014. [http://www.ars.si/zrak/kakovost%20zraka/podatki/PM10\\_dec2014\\_slo.pdf](http://www.ars.si/zrak/kakovost%20zraka/podatki/PM10_dec2014_slo.pdf), 2015.
- [47] Agencija RS za okolje. Povprečna mesečna koncentracija delcev PM10 v letu 2015. [http://www.ars.si/zrak/kakovost%20zraka/podatki/PM10\\_dec2015\\_slo.pdf](http://www.ars.si/zrak/kakovost%20zraka/podatki/PM10_dec2015_slo.pdf), 2016.
- [48] Agencija RS za okolje. Povprečna mesečna koncentracija delcev PM10 v letu 2016. [http://www.ars.si/zrak/kakovost%20zraka/podatki/PM10\\_dec16\\_slo.pdf](http://www.ars.si/zrak/kakovost%20zraka/podatki/PM10_dec16_slo.pdf), 2017.
- [49] Agencija RS za okolje. Povprečna mesečna koncentracija delcev PM10 v letu 2017. [http://www.ars.si/zrak/kakovost%20zraka/podatki/PM10\\_jan18\\_slo.pdf](http://www.ars.si/zrak/kakovost%20zraka/podatki/PM10_jan18_slo.pdf), 2018.
- [50] Agencija RS za okolje. Povprečna mesečna koncentracija delcev PM10 v letu 2018. [http://www.ars.si/zrak/kakovost%20zraka/podatki/PM10\\_dec18\\_slo.pdf](http://www.ars.si/zrak/kakovost%20zraka/podatki/PM10_dec18_slo.pdf), 2019.
- [51] Agencija RS za okolje. Povprečna mesečna koncentracija delcev PM10 v letu 2019. [https://www.ars.si/zrak/kakovost%20zraka/podatki/PM10\\_dec19\\_slo.pdf](https://www.ars.si/zrak/kakovost%20zraka/podatki/PM10_dec19_slo.pdf), 2020.
- [52] Agencija RS za okolje. Povprečna mesečna koncentracija delcev PM10 v letu 2020. [https://www.ars.si/zrak/kakovost%20zraka/podatki/PM10\\_dec20\\_slo.pdf](https://www.ars.si/zrak/kakovost%20zraka/podatki/PM10_dec20_slo.pdf), 2021.
- [53] Agencija RS za okolje. Povprečna mesečna koncentracija delcev PM10 v letu 2021. [https://www.ars.si/zrak/kakovost%20zraka/podatki/PM10\\_dec21.pdf](https://www.ars.si/zrak/kakovost%20zraka/podatki/PM10_dec21.pdf), 2022.

- [54] Agencija RS za okolje. Povprečna mesečna koncentracija delcev PM10 v letu 2022. [https://www.arso.gov.si/zrak/kakovost%20zraka/podatki/PM10\\_dec22.pdf](https://www.arso.gov.si/zrak/kakovost%20zraka/podatki/PM10_dec22.pdf), 2023.
- [55] ARSO. Naše okolje. Mesečni bilten Agencije Republike Slovenije za okolje Letnik XXVIII, številka 6, Agencija RS za okolje, junij 2021.
- [56] Agencija RS za okolje. Kazalci okolja v sloveniji, EN18 obnovljivi viri energije, preglednica EN18-3: Raba obnovljivih virov energije. [http://kazalci.arso.gov.si/xml\\_table?data=graph\\_table&graph\\_id=13179&ind\\_id=643](http://kazalci.arso.gov.si/xml_table?data=graph_table&graph_id=13179&ind_id=643), 2014.
- [57] Statistični urad RS. Kazalci okolja v sloveniji, EN18 obnovljivi viri energije, preglednica EN18-3: Raba obnovljivih virov energije. [http://kazalci.arso.gov.si/sl/tablefield/export/node/57649/field\\_table\\_data/und/0](http://kazalci.arso.gov.si/sl/tablefield/export/node/57649/field_table_data/und/0), 2021.
- [58] EUROSTAT. Energy from renewable sources, SHARES summary results 2021. <https://ec.europa.eu/eurostat/en/web/energy/data/shares>, 2023.
- [59] Agencija RS za okolje. Kazalci okolja v sloveniji, EN18 obnovljivi viri energije. [http://kazalci.arso.gov.si/?data=indicator&ind\\_id=643](http://kazalci.arso.gov.si/?data=indicator&ind_id=643), 2014.
- [60] Statistični urad RS. Podatkovni portal SI-STAT - končna poraba energije po vrsti energetskega vira (naravne enote), gospodinjstva, Slovenija, letno. <https://pxweb.stat.si/SiStatData/pxweb/sl/Data/Data/1815404S.px/>, 2023.
- [61] IJS. Ovrednotenje merskih podatkov o radioaktivnosti v življenjskem okolju v Republiki Sloveniji v letu 2019. Poročilo IJS-DP-12748, Institut "Jožef Stefan", 2020.
- [62] European Space Agency. The force that protects our planet. [http://www.esa.int/spaceinimages/Images/2014/05/The\\_force\\_that\\_protects\\_our\\_planet](http://www.esa.int/spaceinimages/Images/2014/05/The_force_that_protects_our_planet), 2014.
- [63] M. Yoshimori. Atmospheric transport inferred from seasonal variations in cosmogenic Be-7 concentrations. In *Proceedings of the 30th International Cosmic Ray Conference*, July 3–11, 2007 2007. Mérida, Yucatán.
- [64] H. W. Feely, R. J. Larsen, and C. G. Sanderson. Factors that cause seasonal variations in Beryllium-7 concentrations in surface air. *Journal of Environmental Radioactivity*, 9(3):223–249, 1989.
- [65] K. Tokieda, T. Yamanaka, K. Harada, and S. Tsunogai. Seasonal variations of residence time and upper atmospheric contribution of aerosols studied with Pb-210, Bi-210, Po-210 and Be-7. *Tellus B*, 48(5):690–702, 1996.
- [66] National Academy of Sciences Space Studies Board, National Research Council. *Exploration of the Outer Heliosphere and the Local Interstellar Medium: A Workshop Report*. The National Academies Press, Washington, D.C., USA, 2004.
- [67] Brussels WDC-SILSO, Royal Observatory of Belgium. Total sunspot number. <http://sidc.oma.be/silso/datafiles>, 2019.
- [68] National Aeronautics and Space Administration. Sunspots and solar flares. [https://www.nasa.gov/multimedia/imagegallery/image\\_feature\\_2201.html](https://www.nasa.gov/multimedia/imagegallery/image_feature_2201.html), 2017.

- [69] Institut de Radioprotection et de Surete Nucléaire. Report on the IRSN's investigations following the widespread detection of Ru-106 in Europe early October 2017. [http://www.irsn.fr/FR/Actualites\\_presse/Actualites/Documents/IRSN\\_Report-on-IRSN-investigations-of-Ru-106-in-Europe-in-october-2017.pdf](http://www.irsn.fr/FR/Actualites_presse/Actualites/Documents/IRSN_Report-on-IRSN-investigations-of-Ru-106-in-Europe-in-october-2017.pdf), 2018.
- [70] SCK-CEM Belgian Nuclear Research Centre. SCK-CEN publishes study on the presence of radioactive ruthenium-106 together with the RMI. [http://www.sckcen.be/en/News/20171221\\_Ruthenium](http://www.sckcen.be/en/News/20171221_Ruthenium), 2018.
- [71] L. Lebaron-Jacobs, J. Garnier-Laplace, B. Lopez, C. Adam-Guillermin, I. Dublineau, S. Roussel-Debet, C. Antonelli, B. Fievet, P. Bailly du Bois, and M. Masson. Tritium, volume 30 of *Toxicologie nucléaire environnementale et humaine*. Lavoisier, 2009.
- [72] UNSCEAR. *Sources and Effects of Ionizing Radiation, Volume I - Annex A: Dose Assessment Methodologies*. UNSCEAR Report 2000. United Nations Scientific Committee on the Effects of Atomic Radiation, Vienna, Austria, 2000.
- [73] P. Guétat, C. Douche, and J.C. Hubinois. Le tritium et l'environnement: sources, mesures et transferts. *Radioprotection*, 43:547–569, 2008.
- [74] World Nuclear Association. World nuclear power reactors and uranium requirements. <http://www.world-nuclear.org/information-library/facts-and-figures/world-nuclear-power-reactors-and-uranium-requireme.aspx>, 2016.
- [75] IAEA. *Heavy water reactors: status and projected development*. IAEA Technical Reports Series 407. International Atomic Energy Agency, Vienna, Austria, 2002.
- [76] Umweltbundesamt GmbH. 35 years since the Chernobyl reactor accident. <https://www.umweltbundesamt.at/en/news210423en-1>, 2022.
- [77] DJ. Kang, H. Tazoe, and Y. Ishii. Effect of Fertilizer with Low Levels of Potassium on Radiocesium-137 Decontamination. *Journal of Crop Science and Biotechnology*, 21:113–119, 2018.
- [78] K. Fujimoto. Correlation between indoor radon concentration and dose rate in air from terrestrial gamma radiation in japan. *Health Physics*, 75:291–296, 1998. URL [https://journals.lww.com/health-physics/Abstract/1998/09000/Correlation\\_Between\\_Indoor\\_Radon\\_Concentration\\_and\\_8.aspx](https://journals.lww.com/health-physics/Abstract/1998/09000/Correlation_Between_Indoor_Radon_Concentration_and_8.aspx).
- [79] D.E. Tchorz-Trzeciakiewicz and M. Rysiukiewicz. Ambient gamma dose rate as an indicator of geogenic radon potential. *Science of The Total Environment*, 755:142771, 2021. ISSN 0048-9697. doi: <https://doi.org/10.1016/j.scitotenv.2020.142771>. URL <https://www.sciencedirect.com/science/article/pii/S0048969720363002>.
- [80] ZVD. Poročilo o meritvah koncentracije radona v okviru projektne naloge sistematično pregledovanje in izvajanje meritev radona v bivalnih prostorih v letu 2018. Poročilo LMSAR-240/2018-PJ, ZVD Zavod za varstvo pri delu, 2018.
- [81] ZVD. Poročilo o meritvah povprečne koncentracije radona z detektorji jedrskih sledi. Poročilo LMSAR-RN-DJS-20190513-1, ZVD Zavod za varstvo pri delu, 2019.

- [82] ZVD. Poročilo o meritvah povprečne koncentracije radona z detektorji jedrskih sledi. Poročilo LMSAR-RN-DJS-20210921-1, ZVD Zavod za varstvo pri delu, 2019.
- [83] ZVD. Poročilo o meritvah povprečne koncentracije radona z detektorji jedrskih sledi. Poročilo LMSAR-RN-DJS-20200603-1, ZVD Zavod za varstvo pri delu, 2020.
- [84] ZVD. Poročilo o meritvah povprečne koncentracije radona z detektorji jedrskih sledi. Poročilo LMSAR-RN-DJS-20210510-1, ZVD Zavod za varstvo pri delu, 2021.
- [85] ZVD. Poročilo o meritvah povprečne koncentracije radona z detektorji jedrskih sledi. Poročilo LMSAR-RN-DJS-20210921-1, ZVD Zavod za varstvo pri delu, 2021.
- [86] ZVD. Poročilo o meritvah povprečne koncentracije radona z detektorji jedrskih sledi. Poročilo LMSAR-RN-DJS-20220512-1, ZVD Zavod za varstvo pri delu, 2022.
- [87] ZVD. Poročilo o meritvah povprečne koncentracije radona z detektorji jedrskih sledi. Poročilo LMSAR-RN-DJS-20221115-1, ZVD Zavod za varstvo pri delu, 2022.
- [88] W. G. Alberts, P. Ambrosi, J. Böhm, G. Dietze, K. Hohlfeld, and W. Will. New dose quantities in radiation protection. Poročilo PTB-Dos-23e, PTB Physikalisch-Technische Bundesanstalt, 1995.
- [89] P. Jovanovič. Radioaktivna kontaminacija alpskega predela slovenije kot posledica černobilske nesreče in jedrskih poskusov. Poročilo, ZVD Zavod za varstvo pri delu, 2004.
- [90] IAEA. *Assessment of doses to the public from ingested radionuclides*. IAEA Safety Reports Series 14. International Atomic Energy Agency, Vienna, Austria, 1999.
- [91] Statistični urad RS. Količine doma porabljenih živil in pijač na člana gospodinjstva, slovenija, večletno, ID tabele H155. [https://pxweb.stat.si/SiStatDb/pxweb/s1/HITRE\\_Repozitorij/HITRE\\_Repozitorij/H155S.px/](https://pxweb.stat.si/SiStatDb/pxweb/s1/HITRE_Repozitorij/HITRE_Repozitorij/H155S.px/), 2020.
- [92] Statistični urad RS. Anketa o porabi v gospodinjstvih, slovenija, 2004 - količina porabljenih živil in pijač na člana gospodinjstva, letno povprečje, 2004. <http://www.stat.si/PrikaziDatoteko.aspx?id=247>, 2006.
- [93] International Commission on Radiological Protection. *Compendium of Dose Coefficients based on ICRP Publication 60*, volume ICRP Publication 119. Ann. ICRP 41(Suppl.) of *Annals of the ICRP*. Elsevier, Amsterdam, Netherlands, 2012.
- [94] ZVD. Poročilo o obsevanosti prebivalcev slovenije v letu 2017. Technical Report LMSAR-20180005-MG, ZVD Zavod za varstvo pri delu, 2018.
- [95] A. Likar, T. Vidmar, and B. Pucelj. Monte Carlo determination of gamma-ray dose rate with the GEANT system. *Health Physics*, 75(2):165–169, 1998.
- [96] A. Likar, G. Omahen, M. Lipoglavšek, and T. Vidmar. A theoretical description of diffusion and migration of Cs-137 in soil. *Journal of Environmental Radioactivity*, 57:191–201, 2001.
- [97] P. Bossew, F. Gering, E. Petermann, T. Hamburger, C. Katzberger, M.A. Hernandez-Ceballos, M. De Cort, K. Gorzkiewicz, R. Kierepko, and J.W. Metelski. An episode of ru-106 in air over europe, september-october 2017 -

- geographical distribution of inhalation dose over europe. *Journal of Environmental Radioactivity*, 205-206:79 – 92, 2019. ISSN 0265-931X. doi: <https://doi.org/10.1016/j.jenvrad.2019.05.004>. URL <http://www.sciencedirect.com/science/article/pii/S0265931X18306039>.
- [98] UNSCEAR. *Effects of ionizing radiation, Volume I - Annex A: Epidemiological studies of radiation and cancer*. UNSCEAR Report 2006. United Nations Scientific Committee on the Effects of Atomic Radiation, Vienna, Austria, 2008.
- [99] international Committeeof the Red Cross. Protocol additional to the geneva conventions of 12 august 1949, and relating to the protection of victims of international armed conflicts (protocol i), 8 june 1977, article 56 – Protection of works and installations containing dangerous forces. <https://www.umweltbundesamt.at/en/news210423en-1>, 2022.
- [100] Md Moudud Hasan, Bart Rogiers, Eric Laloy, Jos Rutten, Johan Camps, Tim Vidmar, and Marijke Huysmans. Soil radioactivity-depth profiles from regularized inversion of borehole gamma spectrometry data. *Journal of Environmental Radioactivity*, 243:106807, 2022. ISSN 0265-931X. doi: <https://doi.org/10.1016/j.jenvrad.2021.106807>. URL <https://www.sciencedirect.com/science/article/pii/S0265931X21002794>.
- [101] Joint Committee for Guides in Metrology. Evaluation of measurement data – guide to the expression of uncertainty in measurement. [http://www.bipm.org/utils/common/documents/jcgm/JCGM\\_100\\_2008\\_E.pdf](http://www.bipm.org/utils/common/documents/jcgm/JCGM_100_2008_E.pdf), 2008.

V Republiki Sloveniji poteka redni monitoring radioaktivnosti v okolju, ki ga finančirata Ministrstvo za naravne vire in prostor ter Ministrstvo za zdravje, delno tudi Ministrstvo za kmetijstvo, gozdarstvo in prehrano. Namen monitoringa je odkrivanje in spremljanje stanja obstoječe radioaktivne kontaminacije življenjskega okolja, ki je posledica človekove dejavnosti, t.j. globalnega onesnaženja zaradi poskusnih jedrskeh eksplozij v ozračju in jedrskega nesreč v Černobilu in Fukušimi (prispevek slednje je v Sloveniji zanemarljiv) ter morebitnih drugih sevalnih nesreč z večjimi izpusti v okolje.

V pričujočem poročilu so zbrani, analizirani in komentirani rezultati meritev radioaktivnosti antropogenih umetnih in naravnih radionuklidov v vzorcih biosfere, kakor tudi v posameznih členih prehrambne verige. Na podlagi rezultatov meritev radioaktivnosti, smo izdelali oceno doz prebivalstva zaradi izpostavljenosti dolgoživim umetnim radionuklidom (naravnii so izvzeti). Poročilo o obsevanosti prebivalcev Slovenije nima namena prikazati sevalnih obremenitev, katerim je izpostavljeno prebivalstvo zaradi naravnih virov ali tehnološko modificiranih naravnih virov sevanja (radon v bivalnem okolju, rudnik urana Žirovski vrh), delovanja jedrske elektrarne Krško ali vpliva medicinskih virov.

Že vrsto let ocenujemo smo doze sevanja za dojenčke, za otroke od 7 do 12 let in za odrasle po različnih ekspozicijskih prenosnih poteh, ki tipično znašajo okrog  $1 \mu\text{Sv}$ . Te vrednosti predstavljajo približno 1 % mejne letne doze  $1 \text{ mSv}$  za dolgoročno izpostavljenost posameznika iz prebivalstva ionizirajočemu sevanju.

